

М. Д. Павлова

ПРАКТИКУМ
ПО СЕЛЬСКОХОЗЯЙСТВЕННОЙ
МЕТЕОРОЛОГИИ



УЧЕБНИКИ И УЧЕБНЫЕ ПОСОБИЯ ДЛЯ ВЫСШИХ СЕЛЬСКОХОЗЯЙСТВЕННЫХ УЧЕБНЫХ ЗАВЕДЕНИЙ

М. Д. ПАВЛОВА

ПРАКТИКУМ ПО СЕЛЬСКОХОЗЯЙСТВЕННОЙ МЕТЕОРОЛОГИИ

Допущено Главным управлением высшего и среднего сельскохозяйственного образования Министерства сельского хозяйства СССР в качестве учебного пособия для агрономических специальностей сельскохозяйственных вузов



ИЗДАТЕЛЬСТВО „КОЛОС“
Москва — 1968

ВВЕДЕНИЕ

Оннатори

«Практикум по геометеорологической методике» написан в соответствии с программой по курсу «Метеорология» для гидрометрических факультетов сельскохозяйственных вузов и состоит из пяти разделов. В каждом разделе выделены главы, относящиеся к определенным темам занятий. Глази, в свою очередь, подразделяются на практики, применявшие узкиме вопросы темы. В начале каждой главы дается «аппарат», который определяет объем работы по данной теме.

В некоторый томах (первой главе) для измерения одного метеорологического элемента (температура воздуха) прибором. В этом случае выбор приборов для измерения определяется оснащенностью кафедры.

Следует отметить также, что в разделе «Агрометеорологические прогнозы» используются лишь те методы состояния агрометеорологических производств, имеющие место методы состояния сельского хозяйства. Поэтому в отличии от геометеорологического положения дела в специализации сельскохозяйственного производства данный раздел может быть изучены и иные методы агрометеорологических приборов.

На практических занятиях вся группа студентов выполняет задание одной темы, то в рабочей по следующим: при работе с метеорологическими приборами отдельное место (1—4 занятия), в зависимости от количества приборов) самостоятельно получает их устройство, устройство, проводят наблюдения и наблюдают погоду регулируя по шкале на приборов, после этого звенья обрабатывают приборами и прикладывают работу.

Такой метод практического занятия дает возможность, не синтезируя агрометеорологическими спартиками студентам дают индивидуальные задания. Например, агрометеорологическую характеристику каждого студента составляет по разным пунктам, а количество практической погоды в почве к началу весны определяется для разных полей сельского хозяйства.

Такой метод практического занятия, сохранить целность курса, так как практические занятия в этом случае тесно связаны с лекционным материалом.

Автор благодарен за все замечания и советы, направленные на

улучшение практикума.

В книге 56 таблиц и 82 рисунка.

Глава I. ОРГАНИЗАЦИЯ И РАБОТА МЕТЕОРОЛОГИЧЕСКИХ СТАНЦИЙ

§ 1. Метеорологические станции и посты

Физическое состояние атмосферы характеризуется метеорологическими элементами, которые изменяются во времени и пространстве. Основными метеорологическими элементами, оказываемыми большое влияние на хозяйственную деятельность человека, являются солнечная радиация, атмосферное давление, температура и влажность воздуха, ветер, облачность, осадки, температура и влажность почвы, испарение, а также атмосферные явления (туман, метели, грозы и др.).

Для количественной оценки физического состояния атмосферы метеорологические элементы измеряются на метеорологических станциях и постах, оборудованных соответствующими приборами.

Посты отличаются от метеорологических станций меньшей оснащенностью и более простой программой наблюдений. Обычно наблюдения на постах проводят один человек.

Метеорологические станции в зависимости от содержания работ подразделяются на основные и специальные. К специальным относятся станции и посты, изучающие отдельные явления погоды и обслуживающие определенные отрасли народного хозяйства, например агрометеорологическую производственную.

На агрометеорологических станциях и постах наряду с основными метеорологическими наблюдениями ведут наблюдения за влажностью, температурой, глубиной промерзания и оттаивания почвы, за испарением и просачиванием воды в почву, за высотой и характером залегания снежного покрова и другими факторами.

Одновременно агрометеорологические станции и посты ведут наблюдения за состоянием посевов сельскохозяйственных культур. На специально выделенных опытных участках или непосредственно на полях колхозов и совхозов отмечаются даты наступления основных фаз развития культур, степень повреждения их неблагоприятными метеорологическими факторами (заморозками, засухами, суховеями, градом и др.), определяется прирост растительной массы, величина урожая и т. д.

Параллельные метеорологические наблюдения и наблюдения за ростом и развитием растений позволяют определить влияние погоды и отдельных метеорологических факторов на рост, развитие и урожай сельскохозяйственных культур.

Для ускоренного изучения влияния метеорологических факторов на развитие и урожай сельскохозяйственных культур агрометстанции проводятся посевы однолетней и той же культуры в пунктах с разными почвенно-климатическими условиями или посева с различными сроками сева (через 5—10 лет) в одном пункте. Данные таких наблюдений позволяют короткое время выявить влияние различных условий погоды на развитие растений и дать соответствующие практические рекомендации производству.

Агрометеорологические наблюдения проводят также основные метеорологические станции, расположенные в сельских районах. Все метеорологические станции, в том числе аэрологические, величие наблюденных за высокими слоями атмосферы, гидрологические, изучающие режим водоемов, получаются Главному управлению Гидрометеорологической службы СССР. В состав Гидрометеорологической службы СССР входит оперативные органы (областные и республиканские бюро погоды), а также центральные и центральные научно-исследовательские гидрометеорологические учреждения.

Агрометеорологические станции и посты передают результаты своих наблюдений в оперативные органы Гидрометслужбы (метеобюро, обсерватории) и сообщают в ближайшие колхозы и совхозы сведения о текущей и скользящей погоде, предупреждают о наступлении опасных явлений погоды, сообщают об условиях проведения полевых работ (определяют сроки сева) и состояния посевов.

Данные наблюдений метеорологических станций представляют научную и практическую ценность только в том случае, если они сравнимы между собой. Для обеспечения этого условия все метеорологические станции ведут наблюдения по специальным инструкциям, разработанным Главным управлением гидрометслужбы и согласованным с другими странами, по однотипным приборам и в определенное время.

§ 2. Метеорологическая площадка

Наблюдения за большинством метеорологических элементов проводятся на метеорологической площадке. Для сравнности наблюдений очень важно выбрать место для метеорологической плошадки и правильно разместить приборы на ней.

Метеорологическая площадка должна быть расположена на ровном, открытом, горизонтальном участке, типичном для данного района, чтобы полученные наблюдения характеризовали соседние территории. Защищенность площадки и наличие неровностей на ней нарушают действительный ход метеорологических элементов. Метеорологическая площадка имеет форму прямоугольника, стороны которого должны быть направлены с севера на юг и с запада на восток. Размеры площадки зависят от количества установок на ней. Стандартные площадки имеют размеры 26×26 м,

площадки с меньшим объемом работы — 20×16 м, а агрометплощадки — 6×5 м.

Участок, отведенный для метеорологической площадки, огораживают. Изгородь не должна препятствовать обмену воздуха.

Поэтому применяют стандартную ограду из металлической сетки (размеры ячеек 10×20 см), паянной на металлические рамы, которые укрепляют между забетонированными в землю трубами. Если стандартной ограды нет, изгородь может быть слепана из проволоки, которую на-

тягивают рядами через 10—20 см на деревянные столбы высотой 1,5 м. В районах с незначительным снежным покровом можно применять редкие штакетные ограды. С северной стороны для входа на площадку должна быть калитка.

Приборы на метеорологической площадке устанавливают в определенном порядке (рис. 1). Чтобы они не затеняли друг друга и не препятствовали свободному обмену воздуха, расстояние между приборами и от ограды до приборов должно быть 4—6 м.

С северной стороны площадки размещают более высокие установки: флюгер с легкой доской, флюгер с тяжелой доской и голландский станок. В виде исключения на некоторых метеорологических станциях флюгер устанавливают на крыше здания. В южной части площадки отводятся оголенный и с естественным покровом участки для почвенных термометров. На участке с естественным покровом устанавливают также мерзлотометр и снегомерную рейку. В средней части площадки размещают тихоректометрическую будку для самописцев, осадкометр, пловиграф.

Активометрические приборы устанавливают в южной части площадки. Все другие приборы и установки размещают на свободных местах, преимущественно на северной стороне площадки.

Для сохранения естественного покрова на метеорологической площадке хождение допускается по дорожкам шириной 40—50 см. Их прокладывают так, чтобы наблюдатель мог подходить к приборам с северной стороны и меньше загрязнять времени на переходы от одной установки к другой. Зимой при равномерном залегании снежного покрова не рекомендуется очищать дорожки от снега. Высота растительного покрова на площадке не должна

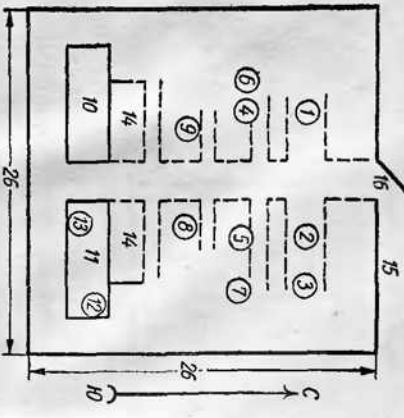


Рис. 1. План метеорологической площадки:

1 — флюгер с легкой доской; 2 — флюгер с тяжелой доской; 3 — голландский стакон; 4 — психрометрическая будка; 5 — будка для самописцев; 6—7 — дополнительные будки; 8 — осадкометр; 9 — пловиграф; 10 — участок для измерения количества термометров; 11 — участок для измерения термометров; 12 — психрометр; 13 — снегомерная рейка; 14 — площадка для активометрических наблюдений; 15 — ограда; 16 — калитка.

превышающую 20 см. Скошенную траву немедленно убирают с площадки.

При выборе места для агрометеорологического поста придерживаются всех требований, предъявляемых к метеорологической площадке. Основная установка агрометра — будка Селянина, в которую помещают термометры для измерения температуры воздуха, и осадкометр. Термо-

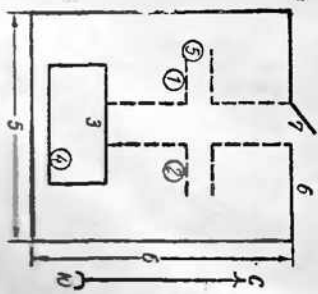


Рис. 2. Чертеж метеостанции

прицкой площадки и приборы

метеостанции:

1 — будка Селянина;

2 — погодный

участок для измерения темп-

ературы;

3 — сотовый тер-

мометр;

4 — сотовый тер-

мометр;

5 — горизонтальная

линия;

6 — калибр.

термометр для измерения температуры почвы и пахотного слоя размещают на отдельном участке. Зимой здесь устанавливают снегометрическую решетку. Аспирационный психрометр помещают на столбе подле будки (рис. 2).

Пектограф метеорологические наблюдения проводят на переделами площадки. На примере высоты снежного покрова измеряют в точках с различным характером подстилки (песчаной поверхности (или глины), опушки леса, волнистости и др.), испарение на полях колхозов и сельскохозяйственных участках.

§ 3. Сроки и порядок наблюдений

Для обеспечения сравнимости и однородности результатов наблюдений метеорологических станций необходимо строго соблюдать сроки и порядок наблюдений.

С 1 января 1965 г. наблюдения на всех метеорологических станциях СССР проводятся одновременно в 00, 03, 09, 12, 15, 18 и 21 час по московскому декретному времени и только некоторые станции продолжают вести наблюдения в 01, 07, 13, 19 часов по местному времени, или среднему солнечному времени (климатологические сроки).

Во все сроки наблюдений измеряют температуру воздуха и почвы, влажность воздуха, направление и скорость ветра, облачность, горизонтальную видимость, атмосферное давление и состояния поверхности почвы. Наблюдения за осадками проводят четырежды в сутки: в 03, 15 часов по московскому декретному и в 07, 19 часов по местному времени или в сроки, близкие к этому времени. Высоту снежного покрова и глубину промерзания почвы измеряют один раз в утренний срок. Половые снегометрические съемки проводят через 5 дней. Испарение определяется также один раз в 5 дней, влажность почвы — один раз в 10 дней (на последний день декады). Фенологические наблюдения в большинстве случаев ведутся

через день, прирост растительной массы учитывается через 10 дней (на последний день декады).

Так как измерения по всем приборам целиком производятся точно в срок наблюдений, то принято при четырехразовых измерениях (01, 07, 13, 19 часов) точно в сроки отсчитывать показания сухого термометра в психрометрической будке. При восмиразовых наблюдениях (00, 03, 06, 09, 12, 15, 18, 21 час) температура по сухому термометру отсчитывается за 10 минут, давление воздуха — за 2 минуты до срока наблюдений. Все остальные измерения начинаятся за несколько минут до срока и заканчиваются после срока.

Общая продолжительность наблюдений составляет 20—30 минут. На колхозных и совхозных агрометростах достаточно проводить наблюдения один раз в сутки, но срок наблюдений обязательно должен быть всегда один и тот же и совпадать с одним из сроков наблюдений на метеорологических станциях. Более удобно для этого 09 и 12 часов по московскому декретному времени или 07 и 13 часов по местному времени.

Так как на метеорологических станциях приходится иметь дело с различным временем, то необходимы основные понятия о существующем измерении времени.

§ 4. Понятие о времени

Основой исчисления времени служит движение Солнца по небесному своду, обусловленное вращением Земли вокруг своей оси. Называется оно *истинным солнечным временем*.

Период времени между двумя последовательными прохождениями (кульминацией) солнца через меридиан данного места называется *истинными солнечными сутками*.

Продолжительность истинных солнечных суток в течение года не постоянна, так как кажущееся движение Солнца по небесному своду происходит неравномерно из-за неравномерного вращения Земли вокруг Солнца (Земля движется не по кругу, а по эллипсу, в одном из фокусов которого находится Солнце) и наклона эклиптики к экватору. Поэтому вместо истинного солнечного времени введено более удобное *среднее солнечное время*. Определяется оно по воображаемому «среднему» Солнцу, которое в отличие от «истинного» движется равномерно и совершает полный годовой оборот в одно время с «истинным» Солнцем. Соответственно и продолжительность *средних солнечных суток* в течение года остается постоянной и равняется средней величине из всех истинных суток за год.

Таким образом, за единицу измерения времени приняты средние солнечные сутки. Они, в свою очередь, делятся на часы (24 часа), минуты (1 час = 60 минут) и секунды (1 минута = 60 секунд).

Разница между средним и истинным солнечным временем называется «уравнением времени», величина которого в течение года

меняется в пределах от $+14$ (середина февраля) до -16 минут (начало ноября). В приложении I приведены значения среднего солнечного времени в истинный полдень на каждый день. Например, истинный полдень 10 января будет в 12 часов 07 минут, 10 ноября — в 11 часов 44 минуты по среднему солнечному времени, которое называется истинным временем и используется для метеорологических наблюдений.

Время наступления истинного полууда может быть использовано на практике для определения направления полуединой линии, т. е. направления север — юг. В истинный полдень, тень от вертикально установленного шеста лежит на строго по меридиану север — юг*. Зимой направление полуединой линии, можно определить, направление линий — посток и промежуточные направления. Эти линии необходимы при работе метеорологической плащадки, установленной приборов на пост, а также для многих работ на полях колхозов и совхозов (размещение лесных полос, парезка полей, планировки поселков и т. д.).

Среднее солнечное время неудобно, так как с изменением долготы места оно меняется. Полный оборот (360°) Земли совершает за 24 часа. Следовательно, при 1° долготы время изменяется на 4 минуты ($24 \text{ час} : 360$), и при $1'$ долготы — на 4 секунды ($4 \text{ мин.} : 60$).

Каждую секунду движения Солнца происходит с постока на запад. Поэтому время уменьшается на посток и увеличивается на запад. Таким образом, для каждого пункта на земном шаре существует свое среднее солнечное, или местное, время. Например, если в Москве ($\lambda = 37^\circ 33'$) 12 часов по местному времени, то в Оренбурге, расположенному посторонне на $17^\circ 33'$ ($\psi = 55^\circ 06'$), будет 13 часов 10 минут ($4 \text{ мин.} \times 17 + 4 \text{ сек.} \times 33$).

В быту и настолько время принято *поясное время*.

Сущность поясного времени заключается в следующем. Весь

земной шар разделен меридиальными плоскостями на 24 пояса, по 15° в каждом. Разделение это произведено из того расчета, что на каждые 15° время меняется на 1 час ($4 \text{ мин.} \times 15$). За центральный меридиан каждого пояса берется меридиан, кратный 15. Границы между поясами теоретически должны проходить по меридианам, лежащим на $7^\circ 30'$ к востоку и западу от центрального меридiana. Практически же при проведении границ учитываются государственные границы и административные деления внутри государств.

Счет поясов ведется от 0 до 23, причем за нулевой пояс принят тот, центральный меридиан которого проходит через Гринвич (нулевой меридиан). К востоку от Гринвича номера поясов увеличиваются.

* Для определения направления север — юг не рекомендуется пользоваться компасом, так как его стрелка указывает направление на магнитный полюс, а не на географический. Кроме того, стрелка может давать отклонения из-за близости железных предметов.

Среднее солнечное, или местное, время центрального меридиана распространяется на весь часовой пояс и называется *поясным временем*. Так, поясным временем в нулевом пояссе является местное время нулевого меридиана, в первом пояссе — 15° -го меридиана, во втором пояссе — 30° -го меридиана и т. д. При переходе из одного поясса в другой время меняется на один час. В результате этого, если известно время одного поясса, легко определить поясное время любого поясса. Разность во времени соответствует разности в номинах поясов.

В СССР в целях наиболее рационального использования светового времени на основании декрета Совета Народных Комиссаров от 16 июля 1930 г. введено *декретное время*, которое в отличие от поясного в каждом пояссе на час больше.

Декретное время второго поясса называется *декретным московским временем*. По нему и производят наблюдения на метеорологических станциях.

В связи с тем что метеорологические наблюдения проводят по местному и декретному московскому времени в ряде случаев возникает необходимость перехода от декретного времени к местному. Для этого надо знать долготу (например, $\lambda = 36^\circ 15'$) и время своего пояса (декретное время 13 часов 35 минут). Расчеты можно проводить по следующей форме.

1. Определяют поясное время уменьшением декретного на 1 час (13 час. 35 мин. — 1 час = 12 час. 35 мин.).

2. Определяют номер часового пояса. Номер пояса высчитывается делением долготы места на 15 ($36^\circ 15' : 15 = 2$).

3. Определяют центральный меридиан. Это делается умножением 15 $^\circ$ на номер пояса ($15^\circ \times 2 = 30^\circ$).

4. Определяют разницу в долготе центрального меридиана я данного места ($36^\circ 15' - 30^\circ = 6^\circ 15'$) и, пользуясь соотношением: 1° дуги соответствует 4 минутам, $1'$ дуги — 4 секундам, переводят эту разницу во время ($4 \text{ мин.} \times 6 + 4 \text{ сек.} \times 15 = 25 \text{ мин.}$).

5. Для определения местного времени полученную разницу во времени прибавляют или отнимают от поясного времени в зависимости от расположения данного пункта по отношению к центральному меридиану (12 час. 35 мин. + 25 мин. = 13 час., данный пункт расположен восточнее центрального меридиана).

МЕТЕОРОЛОГИЧЕСКИЕ ПРИБОРЫ

ГЛАВА II. ИЗМЕРЕНИЕ СОЛНЕЧНОЙ РАДИАЦИИ

ЗАДАНИЕ

1. Дать определение видов солнечной радиации и методов измерения их.
2. Изучить устройство термоэлектрического актинометра, привести измерения прямой солнечной радиации и рассчитать интенсивность ее на перпендикулярную и горизонтальную поверхности.
3. Изучить устройство термоколориметрического спектрометра, измерить интенсивность суммарной и рассеянной радиации, а также вычислить интенсивность прямой радиации на горизонтальную поверхность.
4. Изучить устройство походного термоэлектрического алибадометра и определить отражательную способность двух различных по цвету покрытий.
5. Изучить устройство билинисомера, измерить радиационный баланс деятельности поверхности и обработать полученные результаты.
6. Изучить устройство гелиографа, установить его и обработать ленту гелиографа.

§ 5. Виды солнечной радиации и единицы измерения

Солнечная радиация является одним из важнейших метеорологических элементов. Жизнь на Земле во всем многообразии обусловлена солнечной радиацией. Особенную важную роль играет солнечная радиация в биологических процессах.

Рост и развитие растений происходит в результате использования тепла и света. Поэтому сельскохозяйственное производство возможно при определенном минимуме солнечной радиации. Так как для растений важно не только количество, но и качество солнечной радиации, то в сельском хозяйстве необходимо учитывать как радиационный баланс в целом, так и отдельные виды радиации.

Прямая солнечная радиация (S) — это часть солнечной энергии, доходящая до земной поверхности в виде пучка параллельных лучей.

Интенсивность прямой солнечной радиации измеряется количеством тепла в калориях, поступающего в 1 минуту на 1 см², абсолютно черной поверхности, перпендикулярной солнечным лучам. В Международной системе единиц интенсивность солнечной радиа-

ции выражается в джоулях на 1 м² в сек.: 1 кал/см²мин = = 700 дж/м²сек.
Интенсивность прямой солнечной радиации на горизонтальную поверхность (S_1) вычисляют по формуле:

$$S_1 = S \sin h, \quad (1)$$

где S — интенсивность прямой солнечной радиации на перпендикулярную поверхность,

S_1 — интенсивность солнечной радиации на горизонтальную поверхность,

h — высота солнца над горизонтом. \int_{π}^{θ} .

Часть солнечной энергии, которая поступает на земную поверхность после рассеяния солнечной радиации атмосферой и взвешенными в ней частицами, называется *рассеянной радиацией (D)*.

Интенсивность рассеянной радиации измеряется количеством тепла в калориях, поступающего на 1 см² абсолютно черной горизонтальной поверхности в 1 минуту, или выражается в процентах по отношению к прямой солнечной радиации.

Сумма прямой и рассеянной солнечной радиации, падающей на горизонтальную поверхность, называется *суммарной радиацией (Q)*:

$$Q = S_1 + D. \quad (2)$$

Суммарная радиация составляет приходную часть радиационного баланса подстилающей поверхности.

Часть суммарной радиации, отраженной от земной поверхности, называется *отраженной радиацией (R)*.

Отраженная радиация измеряется количеством тепла в калориях, поступающего на 1 см² абсолютно черной горизонтальной поверхности, обращенной к Земле, в 1 минуту.

На практике измеряют чаще отражательную способность, или альбедо (A).

Альбедо называется отношение интенсивности отраженной радиации к суммарной, выраженное в процентах:

$$A = \frac{R}{Q} 100. \quad (3)$$

Нагреваясь за счет солнечной радиации, поверхность Земли и ее атмосфера излучают тепло. В отличие от солнечной радиации излучение происходит в виде длинноволновой радиации. В результате непрерывного излучения Земли и атмосферы в каждый данный момент представляется возможность определить только разность между излучением земной поверхности (E_3) и излучением атмосферы (E_a). Эта разность называется *эффективным излучением (E)*:

$$E = E_3 - E_a. \quad (4)$$

Интенсивность эффективного излучения измеряется в калориях на 1 см² абсолютно черной горизонтальной поверхности в 1 минуту.

Отраженная радиация и эффективное излучение представляют собой расходную часть радиационного баланса подстилающей поверхности.

Радиационный баланс (B) подстилающей поверхности в каждый данный момент равен разности между приходом и расходом радиации:

$$B = S_1 + D - R - E$$

или

$$B = (S_1 + D)(1 - A) - E. \quad (5)$$

§ 6. Методы измерения солнечной радиации

Для измерения интенсивности солнечной радиации применяются различные актинометрические приборы.

Различают **абсолютные** и **относительные** актинометрические приборы. По абсолютным приборам показания снимают сразу в тепловых единицах, а по относительным — в относительных. Поэтому для таких приборов необходимо знать переводные множители для перехода к тепловым единицам.

Абсолютные приборы по устройству и обращению довольно сложны и не имеют массового распространения. Применяются они преимущественно для сравнения данных, полученных по относительным приборам. Устройство абсолютных приборов основано на компенсационном методе.

Для измерения интенсивности солнечной радиации компенсационным методом берут два одинаковых по качеству и площади приемника I , 2 (рис. 3). Сверху приемники закрашены сажей или платиновой чернью, снизу покрыты изоляционным слоем, к которому подключены сталь термопары из меди и константана. Возникающий в цепи термоток регистрируется гальванометром 3 . К одному из приемников (на рис. 3 к приемнику 2) присоединена вторая цепь, в которую входят батарея 4 , реостат 5 и амперметр 6 .

При измерении один приемник облучается солнечной радиацией, а другой, закрытый экраном от солнечных лучей, нагревается электрическим током. В результате разности температур в приемниках возникает термоток. С помощью реостата во второй цепи подбирается такая сила тока, чтобы термоток в первой цепи исчез. В это время приемники будут получать одно и то же количество тепла. Зная количество тепла, затраченное на нагревание второго приемника электрическим током, можно определить интенсивность солнечной радиации, падающей на первый приемник.

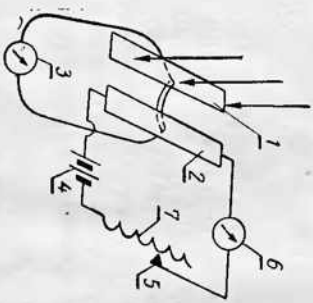


Рис. 3. Схема компенсационного приемника.

Количество тепла (Q_1), полученное первым приемником, пропорционально интенсивности солнечной радиации (S):

$$Q_1 = S \delta s, \quad (6)$$

где δ — поглотительная способность приемника;

s — площадь приемника.

Количество тепла, получаемое вторым приемником в 1 минуту (Q_2), по закону Джоуля—Ленга можно выразить формулой:

$$Q_2 = 0,24 \cdot r \cdot i^2 \cdot 60, \quad (7)$$

где r — сопротивление проводника;

i — сила тока.

Так как приемники получили одно и то же количество тепла, то $Q_1 = Q_2$ или $S \delta s = 0,24 \cdot r \cdot i^2 \cdot 60$. Из этого равенства находим:

$$S = \frac{0,24 \cdot r \cdot 60}{\delta s} i^2.$$

Обозначив постоянные величины через A , получим:

$$S = A i^2. \quad (8)$$

Величина A дается в поверочном свидетельстве прибора.

Таким образом, для определения интенсивности солнечной радиации компенсационным методом надо измерить силу тока в мониторе, когда гальванометр в первой цепи установится на нуль.

В относительных приборах чаще всего используется термоэлектрический метод. При этом интенсивность солнечной радиации определяется по силе термотока, возникающего в результате разности температур спаев.

Приемником термоэлектрических приборов (рис. 4) служат термобатареи из меди — константана. Разность температур спаев определяется в результате различной поглотительной способности разноименных спаев. Спай 1 покрыт пленкой из платиновой чернью, а спай 2 — окисью магния. В результате разности температур спаев в цепи возникает термоток, который измеряется гальванометром 3 . Разность температур разноименных спаев может быть достигнута также путем термоизоляции одних и облучения солнечной радиацией других спаев (рис. 5).

Так как разность температур спаев обусловлена падающей солнечной радиацией, то интенсивность ее будет пропорциональна силе термоэлектрического тока:

$$S = kN, \quad (9)$$

где N — отклонение стрелки гальванометра;

k — переводной множитель в кал/см²·мин.

Для выражения интенсивности солнечной радиации в тепловых единицах необходимо показания гальванометра умножить на перво-

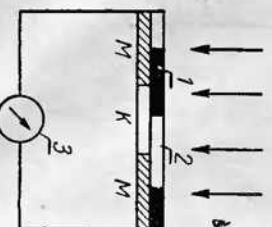


Рис. 4. Схема термоэлектрического приемника.

водной множитель, который получается путем сравнения показаний термоэлектрических приборов с абсолютными и указывается в паспорте прибора.

§ 7. Приборы для измерения солнечной радиации

На метеорологических станциях и в полевых условиях наиболее часто применяют термоэлектрические приборы. Они просты по устройству и обладают малой инерцией (15–35 секунд). Поэтому для измерения всех видов солнечной радиации и радиационного баланса подстилающей поверхности здесь рассматриваются только термоэлектрические приборы.

Приборы для измерения интенсивности прямой солнечной радиации называются актинометрами, для измерения интенсивности рассеянной и суммарной радиации — радиометрами. Отражательную способность измеряют альбометрами, а радиационный баланс — балантометрами. Продолжительность солнечного сияния в часах измеряют гелиографом.

ТЕРМОЭЛЕКТРИЧЕСКИЙ АКТИНОМЕТР АТ-50

Устройство актинометра. Приемником актинометра является диск *1* из серебряной фольги (рис. 5). Со стороны, обращенной к солнцу, диск покрыт, а с другой стороны к нему подклеены через изоляционную бумажную прокладку внутренние стани *2* термозвездочки из манганина и константана, состоящей из 36 термоэлементов (на схеме показано только 7 термоэлементов). Внешние стани *3* термозвездочки через изоляционную бумажную прокладку *5* подклесены к медному диску *4*, последний помещается в массивном медном корпусе со скобами, к которым присоединены выводы термобатареи и мягкие провода *6* (рис. 6).

Корпус со скобами закрыт кожухом *7*, закрепленным гайкой *8*, и соединен винтом *10* с медной трубкой *9*. Внутри трубы имеется пять диафрагм, расположенных в порядке уменьшения их диаметра от 20 до 10 мм по направлению к корпусу. Диафрагмы удерживаются плоской и пружинящей шайбами, установленными между корпусом и наименьшей диафрагмой. С внутренней стороны диафрагмы зачернены.

На концах трубы расположены колца *12* и *13* для нацепления актинометра на солнце. На колце *13* есть отверстие, а на колце *12* — точка. При правильной установке пучок света, проходящий через отверстие, должен точно падать на точку колца *12*. Трубка закрывается съемной крышкой *11*, которая служит для

определения нулевого положения гальванометра и защищает приемник от загрязнения.

Трубка *9* соединяется со стойкой *14—15*, укрепленной на плате *16*, параллактическим штативом *17*. Для установки оси штатива соответственно широте места имеется шкала *18* с делениями и риска *19*.

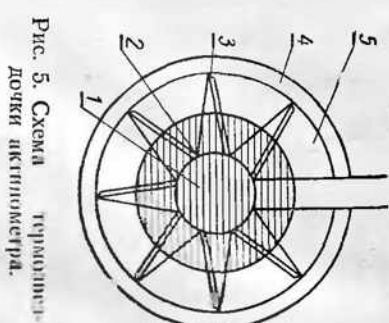


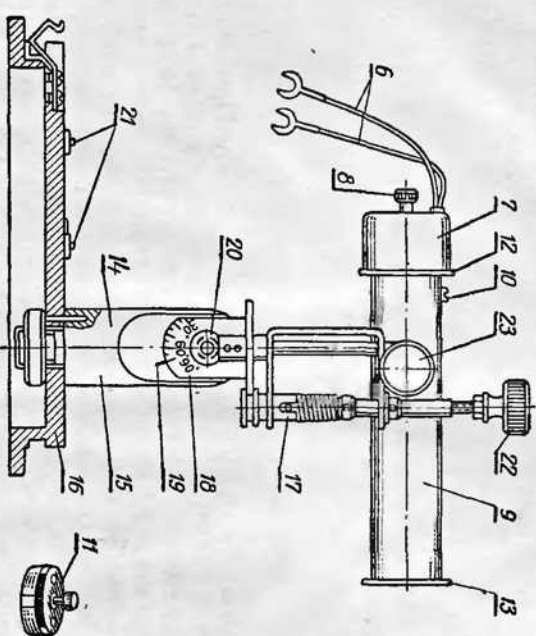
Рис. 5. Схема солнечной радиации

Наклон оси штатива производится ослаблением винта *20*. На плате расположены три целика *21* для ориентировки по меридиану. Актинометр нацеливают на солнце, поворотом трубы, трение которой регулируется винтом *23* и вращением рукоятки *22*. Установка. Прибор устанавливают на горизонтальной плоскости. Ослаблением винта *20* оси *17* поворачивают до совмещения широты места с риской *19*. Затем актинометр закрепляют на подставке так, чтобы север находился от стойки к целикам *21*. После этого провода актинометра при открытой крышки *11* присоединяют к клеммам гальванометра (+) и (–) с освобожденным арретиром.

Если стрелка гальванометра уходит за нуль, провода меняют местами.

На блюдея по актинометру начинают с установки его приемника перпендикулярно солнечным лучам. Для этого снимают крышку актинометра *11* и вращением рукоятки *22* устанавливают прибор так, чтобы пучок света через отверстие на колце *13* попадал на точку колца *12*.

После этого крышку закрывают и производят отсчет нулевого положения по гальванометру (r_1^o). Затем снимают крышку, проверяют точность нацеливания на Солнце и снимают показания гальванометра $3-5$ раз с интервалом в $10-15$ секунд (n_1, n_2, n_3).



Время наблюдений записывается с точностью до 1 минуты. По окончании серии отсчетов вторично отчитывают место нуля (n_2^o) и температуру по гальванометру (t). После наблюдений прибор закрывают крышкой футляра.

Обработка наблюдений начинается с вычисления средних значений: 1) отклонения стрелки гальванометра из трех отсчетов

$$n = \frac{n_1 + n_2 + n_3}{3}$$

и 2) нулевого показания его из двух отсчетов $n^o =$

$$= \frac{n_1^o + n_2^o}{2}.$$

В среднее значение показаний гальванометра (n) вводят шкальную поправку (Δn) из поверочного свидетельства гальванометра и получают исправленное показание гальванометра: $n = n \pm \Delta n$.

Затем определяют практическое отклонение стрелки гальванометра (N). Оно равно разности исправленного и нулевого показаний:

$$N = n - n^o.$$

Для выражения интенсивности солнечной радиации в кал/см²мин необходимо показания гальванометра (N) умножить на переводочный множитель (k), указанный в поверочном свидетельстве:

$$S = kN.$$

Интенсивность прямой солнечной радиации на горизонтальную поверхность рассчитывают по формуле (1):

$$S_1 = S \sin h.$$

ТЕРМОЭЛЕКТРИЧЕСКИЙ ПИРАНОМЕТР Г-3×3

Устройство пирометра (рис. 7). Приемной частью пирометра является термоэлектрическая батарея I , состоящая из 87 термоэлементов из мanganina и константана. Полоски мanganina и константана длиной 10 мм и шириной около 1 мм последовательно спаяны между собой и расположены в квадрате 3×3 см так, что спаи располагаются в середине и на поворотах. С внешней стороны поверхность термобатареи покрыта сажей и магнезией. Четные спаи окрашены в один цвет, а нечетные — в другой. Спай располагаются так, что участки белой и черной окраски чередуются в шахматном порядке. Через изоляционную бумажную про-

кладку термобатарея прикреплена к ребрам панели 2, принципиально к кориусу 3.

Термоконтакт 5 позиции в результате разности температур черных и белых спаев. Выходы из термобатареи подведены к клеммам 4, к которым присоединяются провода для измерения силы тока по гальванометру.

Сверху кориус закрыт стеклянным полусферическим колпаком 5 для защиты термобатареи от ветра и осадков. Для предохранения термобатареи и стеклянного колпака от возможной конденсации испаренного пара на нижней части корпуса имеется стеклянная сушка 6 с химическим поглотителем (металлический натрий, силикагель и др.).

Корпус с термобатареей и стеклянным колпаком составляют головку пиранометра, которая привинчена к стойке 7, зажатой в треноге 8 винтом 9. Тренога укреплена на основании футляра и имеет два установочных винта 10. При измерении рассеянной или суммарной радиации пиранометр вращением винтов 10 устанавливается горизонтально по уровню 11, который прикреплен на стержне к головке пиранометра.

Для затенения головки пиранометра от прямых солнечных лучей на горизонтальном стержне 12 винтом 13 прикрепляется трубка 14, заканчивающаяся щитком 15, диаметр которого равен диаметру стеклянного колпака. При затенении приемника пиранометра щитком измеряется рассеянная, а без затенения — суммарная радиация.

Для определения нулевого положения гальванометра, а также для защиты стеклянного колпака от повреждения головку пиранометра закрывают металлической крышкой 16.

Установка. Прибор устанавливают на открытой площадке. Перед наблюдением проверяют наличие осушителя в стеклянной сушилке. Она должна быть заполнена осушителем на одну треть. После этого трубку 14 со щитком 15 присоединяют к стержню 12 по высоте солнца и зажимают винтом 13.

К головку пиранометр поворачивают всегда одной и той же стороной, отмеченной номером на головке. Для поворота головки пиранометра номером к головку слегка ослабляют винт 9, а потом закрепляют его.

Горизонтальность термобатареи проверяют по уровню 11 и в случае нарушения ее регулируют установочными винтами 10.

Гальванометр для измерения силы тока устанавливают с северной стороны от пиранометра на таком расстоянии, чтобы наблюдатель при отсчетах не затенял пиранометр не только от прямых солнечных лучей, но и от участка неба. Правильность подключения пиранометра к гальванометру проверяют при снятой крышке пиранометра и освобожденном артире гальванометра. При отклонении стрелки за нуль шкалы провода меняют местами. Наблюдения. Непосредственно перед наблюдением проверяют правильность установки прибора по уровню и относительно

солнца. Для отсчета нулевого положения головку пиранометра закрывают крышкой 16 и записывают показания гальванометра (r°) и время наблюдений. После этого крышку пиранометра снимают и делают серию отсчетов (3—5) с интервалом 10—15 секунд.

В начале отсчитывают показания гальванометра при затененном пиранометре для определения рассеянной радиации (n_1, n_2) потом — при неизменном положении (шток освобождением винта P_3 откидывается) для определения суммарной радиации (n_3, n_4, n_5). Сразу же после отсчета суммарной радиации шток устанавливают на место и еще раз берут отсчеты для рассеянной радиации (n_6, n_7).

и по истечении времени, соответствующему итерации прибора, вто-
рично отсчитывают место пуль (n_0) и температуру по гальвано-
метру. После избыточной пробы со штиком огиваюют, а пира-
нометр закрывают колпаком футиляра.
Обработка наблюдений. Прежде всего определяют
среднее из серии отсчетов по гальванометру для каждого вида ра-
диации.

Для рассеянной радиации среднее отклонение гальванометра
(n_D) вычисляют из четырех отсчетов: $n_D = \frac{n_1 + n_2 + n_6 + n_7}{4}$, а
при суммарной радиации (n_S) — из трех отсчетов: $n_S = \frac{n_3 + n_4 + n_5}{3}$.

Затем в средние значения \bar{n}_D и \bar{n}_Q вводят шкаловые поправки Δn из поверочного свидетельства гальванометра и получают исправленные значения (\bar{n}_D) и (\bar{n}_Q) :

$$\bar{n}_D = n_D \pm \Delta n \quad \text{and} \quad \bar{n}_Q = n_Q \pm \Delta n.$$

Для вычисления фактических отклонений по гальванометру (N_D и N_Q) необходимо из исправленных значений (\bar{n}_D) и (\bar{n}_Q) отнять нулевое показание гальванометра, среднее из двух отсчетов

$$\left(n^0 = \frac{n_1^0 - n_2^0}{2} \right)$$

Полученные значения отклонений по гальванометру N_D и N_O используют для определения рассеянной и суммарной радиации в тепловых единицах.

Для определения интенсивности рассеянной (D) и суммарной радиации (Q) в кал/см²мин необходимо показания гальванометра N_D и N_Q умножить на переводной множитель (k):

Переводной множитель указывается в поверочном свидетельстве пиранометра.

При наблюдениях по лиранометру может быть вычислена и интенсивность прямой радиации на горизонтальную поверхность как разность суммарной и рассеянной радиации:

**ПОХОДНЫЙ ТЕРМОЭЛЕКТРИЧЕСКИЙ АЛЬБЕДОМЕТР АП-3 × 3
КОНСТРУКЦИИ ЯНИШЕВСКОГО**

Отражательная способность, или альbedo, выражается отношением отраженной радиации к суммарной. Поэтому приборы для измерения отражательной способности должны иметь приспособления для установки приемника вверх для измерения радиации, приходящей от Солнца и неба, и вниз для измерения радиации, отраженной от Земли.

принадлежит земле отраженной от Земли.

устроиство альбометра (пл. 5). Приемник прибора — головка пиранометра 1, привинчена на втулке 2 к трубке 3 с карданным подвесом 4. К нему сбоку привинчена рукоятка 5. Поворот рукоятки на 180° приемник может быть обращен вверх и вниз. Чтобы трубка была в отвесном положении, внутри нее на стержне скользит свинцовый груз, который при поворотах прибора всегда передвигается вниз. Для смягчения ударов при повороте прибора на концах трубы подложены резиновые прокладки 6. Головка альбометра, так же как и пиранометра, закрывается металлической крышкой.

Установка. Перед наблюдениями с основания футляра снимают головку, трубку, рукоятку и свинчивают между собой: то-

ловику привинчивают к трубке, а рукоятку — к карданному подвесу. Для исключения радиации, которую может отражать сам наблюдатель, в рукоятку вставляют деревянную ручку длиной около 2 м.

Альбедометр подсоединяют мягкими проводами к гальванометру на клеммы (+) и (-). Присоединение производится при открытом приемнике и ослабленном аррете гальванометра. Если стрелка гальванометра уходит за пуль, то провода меняют местами.

Во время наблюдений приемник альбедометра устанавливают на высоте 1 м над полостью поверхностью. При измерении суммарной радиации головку альбедометра поворачивают номером к солнцу.

На блюдеции по альбедометру начдают с определения места пуль гальванометри. Для этого головку альбедометра закрывают крышкой и отсчитывают показания гальванометра (n_1°) и время наблюдений. По истечении времени, соответствующему инерции прибора, крышку открывают и берут серию (3—5) отсчетов через 10—15 секунд для каждого вида радиации. Сначала снимают показания гальванометра в положении головки альбедометра пуль (n_1, n_2, n_3). Затем прибор поворачивают, выждав время спирки прибора, и делают отсчеты при положении головки вниз (n_4, n_5, n_6). В первом случае измерялась суммарная радиация, во втором — отраженная.

После серии отсчетов головку закрывают крышкой и через промежуок времени, равный спирки прибора, отмечают вторично место пуль (n_2°) и температуру гальванометра.

Обработка наблюдений начинается с определения средних из серии отсчетов по гальванометру для каждого вида радиации и нулевого положения.

Для суммарной радиации среднее показание гальванометра $n_Q = \frac{n_1 + n_2 + n_3}{3}$, для отраженной радиации $n_R = \frac{n_4 + n_5 + n_6}{3}$ и $n^0 = \frac{n_1 + n_2}{2}$.

В средние значения показаний гальванометра (n_Q и n_R) вводят шкаловые поправки (Δn) из поверочного свидетельства гальванометра и получают исправленные значения \bar{n}_Q и \bar{n}_R :

$$\bar{n}_Q = n_Q \pm \Delta n \quad \text{и} \quad \bar{n}_R = n_R \pm \Delta n.$$

Фактические отклонения гальванометра (N_Q и N_R) представляют собой разность между исправленным и нулевым показаниями:

$$N_Q = \bar{n}_Q - n^0 \quad \text{и} \quad N_R = \bar{n}_R - n^0.$$

Умножив фактические отклонения гальванометра (N_Q и N_R) на переводной множитель (k), можно определить интенсивность суммарной и отраженной радиации в тепловых единицах.

Так как отражательная способность (альбедо) выражается отношением суммарной радиации к отраженной, то переводной множитель (k) при расчетах сокращается:

$$A = \frac{Q}{R} \cdot 100 = \frac{N_R k}{N_Q k} \cdot 100.$$

Поэтому альбедо вычисляется как отношение фактических отражений гальванометра при измерении суммарной и отраженной радиации в процентах:

$$A = \frac{N_R}{N_Q} \cdot 100.$$

Альбедометр является наиболее универсальным прибором: при наличии первоначального множителя им можно определять суммарную радиацию, рассеянную и отраженную, а также рассчитывать прямую радиацию на горизонтальную поверхность. При наблюдениях за рассеянной радиацией необходимо применять затенитель для защиты приемника от прямых солнечных лучей. Устанавливается он на специальном шесте перпендикулярно солнечным лучам на расстоянии 0,9—1,0 м от альбедометра.

БАЛАНСОМЕР ТЕРМОЭЛЕКТРИЧЕСКИЙ М-10

Балансомер М-10 применяется для измерения радиационного баланса подстилающей поверхности или остаточной радиации, которая представляет собой алгебраическую сумму всех видов радиации, падающих на приемник прибора. В приходящую радиацию входят прямая радиация на горизонтальную поверхность (S_1), рассеянная радиация от солнца и неба (D) и излучение атмосферы (E_a). Расходная часть радиационного баланса, или уходящая радиация, представляет собой отраженную радиацию (R) и излучение Земли (E_a).

Действие балансомера основано на преобразовании потоков радиации в термоэлектродвижущую силу при помощи термобатареи.

Возникающая в термобатарее электродвижущая сила пропорциональна разности температур между верхним и нижним приемниками балансомера. Так как температура приемников зависит от падающей и уходящей радиации, то и электродвижущая сила будет пропорциональна разности потоков радиации, падающей сверху и снизу на приемники.

Радиационный баланс (B) при измерении балансометром выражается уравнением:

$$B = ka_v N, \quad (10)$$

где k — переводной множитель (указывается в поверочном свидетельстве);

$$N — показания гальванометра;$$

a_v — поправочный множитель, зависящий от скорости ветра.

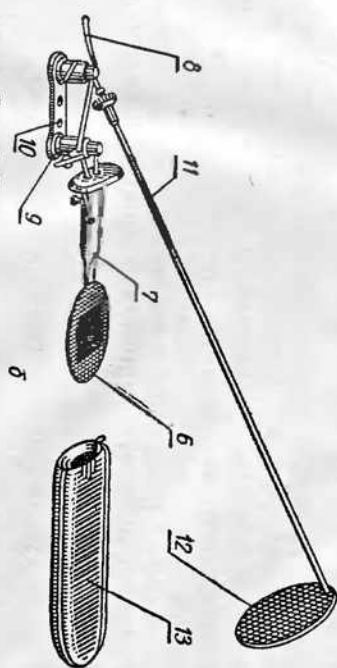
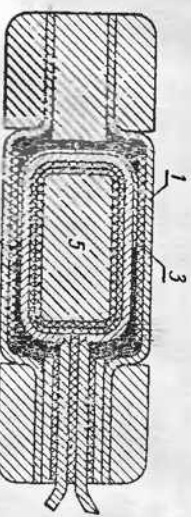


Рис. 9. Термоэлектрический балансометр М-10.

На показания балансометра оказывает влияние скорость ветра. Поэтому при определении радиационного баланса необходимо знать поправочный множитель a_v (табл. 1).

Таблица 1

Скорость ветра (м/сек)	0	1	2	3	4	5	6	7	8	10	12
Поправочный множитель	1,00	1,02	1,05	1,08	1,10	1,13	1,15	1,17	1,19	1,21	1,25
a_v											

Показания балансометра, умноженные на поправочный множитель, приводятся к «шилиевым» условиям.

Устройство балансометра (рис. 9). Основная часть прибора — верхний и нижний приемники, представляющие собой две медные тонкие (0,04 мм), зачерненные с внешней стороны пластиинки 1 и 2, имеющие форму квадрата со стороной 48 мм. К пластинкам через изолирующие бумажные прокладки приклеены спай термоэлементов 3, 4, которые образуются витками константной ленты. Половина каждого витка покрыта. Начало и конец серебряного слоя служат термоспаями. Витки константной ленты сечением $0,8 \times 0,003$ мм через изоляционную бумажную прокладку намотаны на медный брускок 5. Всего на

брюске наматывается 35 или 50 витков термоэлементов. Батарея состоит из 10 таких брусков и помещается в корпусе 6, имеющем форму диска диаметром 96 мм и толщиной 4 мм. Корпус соединен с рукояткой 7, через которую пропущены выводы 8 от термобатареи. Балансометр с помощью шаровых шарниров 9 устанавливается на панельке 10. К панельке присоединяются также на шарнирах стержень 11 с экраном 12, который защищает приемник от попадания прямых солнечных лучей. При применении экрана на стержне, видимого из центра приемника под углом 10° , прямая солнечная радиация исключается из показаний балансометра, что повышает точность измерений, но в этом случае интенсивность прямой солнечной радиации необходимо измерять отдельно актинометром. Чехол 13 защищает балансометр от осадков и пыли.

Установка. Прибор прикрепляется панелькой к деревянной рейке на высоте 1,5 м от земли. Приемник его поворачивают горизонтально. Выводы из термобатарей подключают к гальванометру.

В большинстве случаев балансометр затеняют щитком от прямой солнечной радиации. Поэтому на одной рейке с балансометром для измерения прямой солнечной радиации устанавливают актинометр.

Для учета влияния скорости ветра на уровне балансометра и на небольшом расстоянии от него устанавливают ветрометр. На блюде и по балансометру заключаются в определении показаний гальванометра. Место нуля по гальванометру отчитывают при подключении к нему манганинового провода с сопротивлением, близким сопротивлению термобатарей балансометра (40—50 ом).

Для более точного определения радиационного баланса делают серию отсчетов (n_1, n_2, n_3) по гальванометру. После этого еще раз определяют место нуля и отсчитывают температуру гальванометра. Между наблюдениями балансометр закрывается чехлом.

При каждом отсчете по гальванометру определяют скорость ветра по ветрометру (v_1, v_2, v_3).

Если балансометр установлен со щитком, то после отсчетов по балансометру снимают серию показаний по актинометру.

Обработка наблюдений. Из серии отсчетов определяют среднее значение отклонения гальванометра $n = \frac{n_1 + n_2 + n_3}{3}$ и среднюю скорость ветра $v = \frac{v_1 + v_2 + v_3}{3}$. В среднее значение отклонения гальванометра вводят шкаловую поправку (Δn) из поверочного свидетельства. Определяется она по температуре гальванометра. Исправленное значение гальванометра $n = n \pm \Delta n$. Фактическое отклонение гальванометра (N) определяется как разность между исправленным значением (n) и нулевым показанием (n_0):

Для определения интенсивности радиации по балансомеру («баланса») без прямой солнечной радиации $B - S_1$) в тепловых единицах необходимо фактическое отклонение гальванометра умножить на переволотый множитель (k) и поправочный множитель (a_v):

$$B = S_1 = ka_v N.$$

Поправочный множитель (a_v) находят по средним данным скорости ветра (v) (см. табл. 1).

После определения по актинометру интенсивности солнечной радиации па горизонтальную поверхность (S_1) можно рассчитать радиационный баланс (B):

$$B = ka_v N + S_1.$$

Определение прямой солнечной радиации по актинометру см. страницу 14—16.

ГЕЛИОГРАФ УНИВЕРСАЛЬНЫЙ ГУ

Универсальный гелиограф служит для регистрации продолжительности солнечного спада, т. е. промежутков времени, в течение которых солнце склонено.

Принцип действия гелиографа основан на прожигании бумажных лент солнечными лучами, собранными в фокусе стеклянного шара.

Устройство гелиографа (рис. 10). Основной частью гелиографа является стеклянный шар I диаметром 98 мм, укрепленный в дугообразном держателе 2 сферическими шайбами 3 и 4 , винтом 5 и контргайкой 6 . На расстоянии главного фокуса от шара на дугообразном держателе укреплен сферический экран 7 , на внутренней стороне которого имеется три пары желобков для закладывания бумажных лент 18 , имеющих деления в часах и минутах.

Правильность закладки лент проверяется по контрольному проколу, производимому штифтом 12 . Когда светят солнце, его лучи, собранные в фокусе, попадают на бумажную ленту и прожигают ее.

В нижней части дугообразного держателя укреплен диск 8

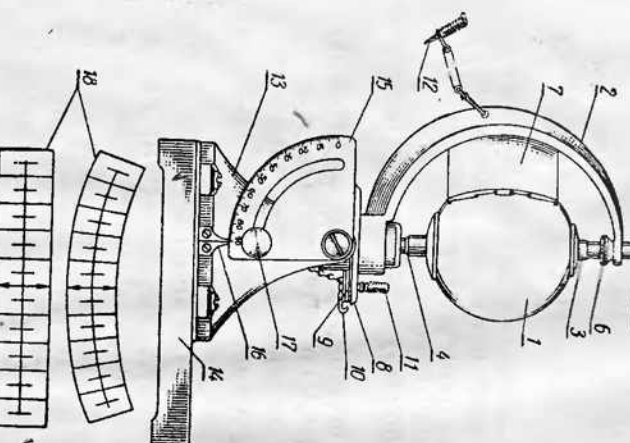


Рис. 10. Гелиограф универсальный.

с четырьмя круглыми отверстиями и напесенными около них буквами A , B , C , D . Шар вместе с дугообразным держателем, экраном и диском может вращаться вокруг вертикальной оси относительно лимба 9 с укрепленным на нем неподвижным указателем 10 . Отверстия с буквами и неподвижный указатель служат для ориентирования шара относительно солнца.

Любое из четырех положений шара фиксируется коническим штифтом 11 . При повороте шара на юг диск укрепляется в положении B , на восток — в положении A , на запад — в положении C и на север — в положении D . Лимб 9 крепится на двух вертикальных стойках 13 к чугунному основанию 14 . Гелиограф устанавливается соответственно широте места по шкале широт 15 и неподвижному указателю 16 . Шкала широт в положении, соответствующем широте места, фиксируется винтом 17 .

На широтах 40—55° применяются гелиографы с неподвижной чашкой.

Установка. Прибор устанавливают на открытой площадке, доступной солнечным лучам в течение всего дня от восхода до захода солнца, строго горизонтально на столбе высотой не менее 2 м или на крыше здания. На столб предварительно укрепляют доску, хорошо выстроганную и покрашенную. Горизонтальность доски проверяют по уровню. Для правильной установки по меридиану гелиограф закрепляют к доске в истинный полдень. Незадолго до истинного полдня гелиограф ставят на середину доски открытой стороной шара на юг (в положении B). Затем прибор поворачивают так, чтобы в истинный полдень фокус оказался как раз на полуденном делении ленты. В этом положении основание прибора очерчивают карандашом, чтобы случайно не свинуть его при установке, и закрепляют тремя винтами. После этого прибор устанавливают по широте места ослаблением винта 17 и поворотом верхней части прибора до совпадения деления данной широты с указателем 16 . В таком положении винт 17 закрепляют.

В желобки сферического экрана закладывают бумажные ленты 18 соответственно времени года: в верхнюю пару желобков — зимой (с 16 октября до конца февраля), в среднюю — весной и осенью (с 1 марта по 15 апреля и с 1 сентября по 15 октября) и в нижнюю — летом (с 16 апреля по 31 августа). В верхние и нижние пары желобков закладывают кривые, а в среднюю пару — прямые ленты.

Наблюдения. В зависимости от времени года бумажную ленту закладывают в одну из пар желобков экрана. В короткие дни, когда солнце находится над горизонтом не более 9 часов, ленту меняют один раз в сутки после захода солнца. Шар в этом случае всегда повернут на юг, т. е. неподвижный указатель на лимбе совмещен с индексом B на диске.

При продолжительности дня (между восходом и заходом солнца) от 9 до 18 часов ленту меняют два раза в сутки: первый раз после захода и второй — в 12 часов дня. Одновременно со сме-

ной лент меняют положение шара. При вечерней смене лент шар поворачивают на восток (указатель совмещают с индексом *A*), а при смене в полдень — на запад (указатель совмещают с индексом *B*).

Если продолжительность дня от восхода до захода солнца превышает 18 часов, смена лент и поворот шара производятся три раза в сутки — в 4, 12 и 20 часов. При смене ленты и повороте шара в 4 часа указатель совмещается с индексом А, в 12 часов — с индексом В и в 20 часов — с индексом Г.

Во время смены ленты шар гелиографа затеняет. После смены ленты его поворачивают по направлению к солнцу. Ленту меняют, даже если на ней не окажется следов прожога (в пасмурные дни). На обороте каждой пыльной ленты сразу же отмечают порядко-

правильностью установки (то есть времени суток) и поэтому неизбежно вносит ошибку в определение времени.

кости, полуудиной линии и ширины места наблюдений, а также поддержать пар в чистоте.

кой, если он покрыт писем или изморозью, тряпкой или пылью, то для чистки их пропаривают мягкой полотняной тряпкой или тряпкой из хлопчатобумажного полотна.

определяют по прожогу лент гелиографа для каждого часа с точностью до 0,1 часа и заносят в соответствующие таблицы. В качестве примера приведена таблица 2, где часы паны с 4 по 20-й час

в полных таблицах они даются с 1 до 23 часов. Если солнце светило прерывно весь час, записывают целый час, если прожог распространяется только на половину деления, — то 0,5 часа, если про-

Сумма продолжительности солнечного сияния за все часы дня представляет собой суточное солнечное сияние. Зная за отдельные часы количество часов солнечного сияния, можно определить про-

ГЛАВА III. ИЗМЕРЕНИЕ ТЕМПЕРАТУРЫ ПОЧВЫ И ВОЗДУХА

ЗАДАНИЕ

1. Дать характеристику основных видов термометров, применяемых для измерения температуры почвы и воздуха.
 2. Изучить устройство, установку, правила и обработку наблюдений по приборам:
 - а) для измерения температуры поверхности почвы (срочный, максимальный и минимальный термометры);
 - б) для измерения температуры почвы на различных глубинах в стационарных и полевых условиях (термометры Савинова, термометры-шупы и вытяжные термометры);
 - в) для измерения температуры на глубине залегания узла кущения и промерзания почвы (коробка Низенькова, электротермометр, максимально-минимальный термометр и мерзлотомер Данилина);
 - г) для измерения температуры воздуха (психрометры, максимальный и минимальный термометры, термограф). Обработать ленту термографа.
 3. Измерить температуру почвы и воздуха.
 4. Построить графики суточного и годового хода температуры почвы (на разных глубинах) и воздуха по данным ближайшей метеорологической станции *.

Таблица 2

Число месяца	Часы по истинному времени	
	1	2
Сумма за месяц		
	4—5	
	5—6	
	6—7	
	7—8	
	8—9	
	9—10	
	10—11	
	11—12	
	12—13	
	13—14	
	14—15	
	15 16	
	16—17	
	17—18	
	18—19	
	19—20	
		Сумма за сутки

§ 8. Общие сведения из термометрии

Термические условия — очень важный агрометеорологический показатель. От температуры почвы зависят весенние сроки сева, скорость прорастанья семян, всасывающая способность корней, интенсивность разложения органических веществ и т. д. Темпера- тура воздуха определяет географическое распределение растений, так как фотосинтез, дыхание, испарение растительных организмов происходят при определенных температурах.

Для своевременного учета и правильного использования термических ресурсов в сельском хозяйстве необходимо вести наблюдения за температурой почвы и воздуха в каждом колхозе и совхозе. Температура любой среды измеряется термометрами. Единицей измерения температуры является градус. До последнего времени по международной шкале для определения градуса брали два значения температуры. Одно из них соответствует температуре плавления льда (0°), другое — температуре паров кипящей воды (100°). Градусом по международной шкале называется $\frac{1}{100}$ часть интервала 0 и 100° .

* При построении графиков по оси абсцисс следует откладывать время (часы или месяцы), а по оси ординат — значения метеорологических элементов — температуру, влажность, осадки и т. д.

нято решение для измерения температуры использовать термодинамическую температурную шкалу с одной экспериментальной воспроизведенной постоянной точкой — тройной точкой воды, равной 273,16 градуса Кельвина.

Тройная точка воды, являющаяся точкой температурного равновесия в твердой, жидкой и газообразной фазах, может быть воспроизведена со значительно большей точностью, чем точки кипения воды и таяния льда.

В метеорологических лабораториях тройную точку воды воспроизводят с погрешностью 0,0001 градуса.

В уточненном издании Положения о Международной практической температурной шкале, принятого XI Генеральной конференцией по мерам и весам, установлены

принципы постоянные точки:

- 1) тройная точка воды $0,01^{\circ}\text{C}$;
- 2) точка кипения воды 100°C .

§ 9. Виды термометров

Для измерения температуры воздуха и почвы используются жидкостные, термоэлектрические, лефформационные термометры и термометры сопротивления.

Жидкостные термометры основаны на принципе изменения объема жидкости с изменением температуры. В качестве жидкости в таких термометрах используется ртуть или спирт. Ртутные термометры более чувствительны, но ртуть замерзает при $-38,9^{\circ}$. Поэтому для измерения низких температур пользуются спиртовыми термометрами.

Жидкостный термометр (рис. 11) состоит из небольшого стеклянного резервуара *1* цилиндрической или

шарообразной формы, к которому припаяна стеклянная трубка с капилляром *2*. Резервуар и часть капилляра заполнены жидкостью. Отсчет температуры производят в большинстве термометров по шкале *3* из стекла молочного цвета, которую вставляют за капилляр внутрь стеклянной наружной оболочки *4* термометра. Шкала не должна иметь смешений относительно капилляра. Поэтому крепление шкалы должно быть очень прочным. Нижний конец ее опирается на стеклянное седло *5*, верхний конец удерживается пробковой и эbonитовой пробками *6*. В последней имеется специальная пружина. В нескольких местах капилляр и шкалу перевязывают еще тонкой проволокой.

В показания термометров со вставленными шкалами вводятся шкаловые поправки из поверочного свидетельства термометра. **Термоэлектрические термометры** основаны на изменении электродвижущей силы термопар, возникающей вследствие разности температур спаев. Термопары могут быть из меди и константина.

Термометры сопротивления основаны на принципе изменения сопротивления проводниками и полупроводниками с изменением температуры. Особенно точны полупроводниковые термометры сопротивления — термистры.

Деформационные термометры основаны на принципе изменения лишенных размеров твердых тел с изменением температуры. Приемником таких термометров является биметаллическая пластинка или пружина из меди и железа.

§ 10. Чувствительность термометров

Различают два рода чувствительности у термометров: 1) способность реагировать на очень малые изменения температуры;

2) скорость восприятия температуры окружающей среды, или инерции.

Чувствительность 1-го рода жидкостных термометров увеличивается с увеличением объема резервуара термометров и уменьшением сечения капилляра. В метеорологических термометрах обеспечивается точность отсчета температуры до $0,1^{\circ}$.

Чувствительность 2-го рода (инерция) для метеорологических жидкостных термометров составляет $3\text{--}7$ минут. В связи с этим отсчеты по термометрам должны производиться быстро. Рекомендуется сначала отсчитывать десятые доли, а потом целые градусы, так как своим присутствием человек изменяет температуру. Иногда надо уменьшить чувствительность 2-го рода, или инерцию. Делается это для тех термометров, отсчет по которым производится в другой среде, например в вытяжных термометрах и термометрах-шупах. Для увеличения инерции таких термометров резервуары их помещаются в какую-либо оболочку, имеющую большую теплоемкость (чаще всего для этого используют мелкие опилки).

§ 11. Измерение температуры поверхности почвы

Для измерения температуры поверхности почвы применяются термометры срочный, максимальный и минимальный.

Срочный термометр применяется для определения температуры поверхности почвы в данный момент (срок). Он представляет собой ртутный термометр с цилиндрическим резервуаром и вставной шкалой. Деления на шкале нанесены через $0,5^{\circ}$. Пределы шкалы могут быть от 150 ($+70^{\circ}$) до -25 (-35°) (рис. 11).

Максимальный термометр служит для измерения самой высокой, максимальной, температуры между сроками наблюдений. Это ртутный термометр с цилиндрическим резервуаром и вставной шкалой. Деления на шкале нанесены через $0,5^{\circ}$. Пределы шкалы могут быть от $+51$, $+71$ до -36 , -21° . Максимальное показание термометра сохраняет благодаря специальному приспособлению



Рис. 12. Пристоечение для сохранения максимальных показаний термометра.

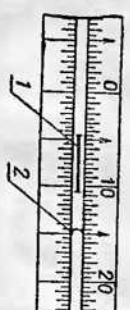


Рис. 13. Пристоечение для отсчета минимальной температуры.

(рис. 12). При изготовлении термометра в дно резервуара 1 вдается стеклянный штифт 2, верхний конец которого входит в капилляр 3. В результате этого выход из резервуара в капилляр очень сужен. При понижении температуры ртуть в резервуаре расширяется и поднимается по капилляру, так как силы расширения ртути больше сил трения в месте сужения. При понижении температуры ртуть начинает уменьшаться в объеме. Однако находящаяся в капилляре ртуть не может вернуться в резервуар, так как силы трения в месте сужения значительно превышают силы сцепления ртути. Поэтому в узкой части капилляра произойдет разрыв ртути, и столбик ее, который был в капилляре до начала понижения температуры, останется в нем, показывая максимальное значение температуры.

Для подготовки к следующему отсчету максимальный термометр необходимо встряхивать, чтобы перенести ртуть из капилляра в резервуар. После встряхивания показания максимального термометра должны быть близкими к показаниям срочного. Минимальный термометр устанавливается горизонтально. Так как ртуть в капилляре легко может отходить от резервуара, то при отсчетах рекомендуется слегка приподнять конец термометра, противоположный резервуару.

Минимальный термометр применяют для измерения самой низкой температуры за какой-либо промежуток времени. Минимальный термометр спиртовой, со вставной шкалой и ценой деления $0,5^{\circ}$. Пределы шкалы могут быть от $+21$, $+30$ до -41 , -75° . Резервуар термометра цилиндрический или в виде вилки. Он наполнен толуолом или безводным этиловым спиртом. Минимальные показания термометра определяются по легкому штифтику 1, изготовленному из темного стекла с утолщениями на концах (рис. 13). При подъеме резервуара термометра штифтик свободно перемещается в спирте, но не выходит из него, так как благодаря своей легкости не может прорвать поверхностную пленку 2, огравничающую мениск спирта.

Штифтик подобран таким образом, что силы трения его о стенки капилляра больше сил расширения спирта и меньше сил поверхностного натяжения пленки. Поэтому при повышении температуры спирт, расширяясь, свободно обтекает штифт, а при понижении температуры, как только поверхностная пленка лопнет до штифтика, последний перемещается вместе со спиртом в сто-

рою резервуара. Движется он до тех пор, пока температура понижается. С понижением температуры движение его прекращается. Поэтому положение штифтика дает возможность отсчитать ту минимальную температуру, которая была между сроками наблюдения. Отсчет берут по положению конца штифтика, противоположного резервуару.

Перед установкой термометра необходимо штифтик подвесить к мениску спирта. Достигается это поворотом термометра резервуаром вверх. Как только штифтик дойдет до мениска спирта, термометр устанавливается горизонтально. Для проверки работы термометра отсчет производится по штифтику (минимальная температура) и по мениску спирта (температура в данный момент). Показания по мениску спирта должны соответствовать показанию срочного термометра.

Установка термометров. На метеорологических станциях и постах термометры для измерения температуры поверхности почвы (срочный, максимальный и минимальный) устанавливают на открытой площадке размером 4×6 м (рис. 14, I).

Предварительно с площадки снимают растительный покров и почву взрыхляют. Все три термометра размещают в середине площадки горизонтально, резервуарами на восток, на расстоянии 10–15 см друг от друга в небольших углублениях, сделанных легким вдавливанием термометров в почву. Резервуары должны плотно прикасаться к почве. Чтобы не уплотнять почву около термометров, для полхода к ним во время отсчетов с северной стороны кладут реечный настил 3.

В полевых условиях термометры могут быть установлены на паровом поле, для изучения термического режима среди растений — в междуурядьях.

Отсчеты по термометрам производятся с точностью до $0,1^{\circ}$ глаз (цена деления термометров $0,5^{\circ}$). После отсчета максимальный термометр встряхивают. Для этого его берут за середину, резервуаром вниз, и делают несколько резких взмахов рукой. После встряхивания, записав показания, термометр кладут на прежнее место.

В минимальном термометре отсчет берут по мениску спирта (фактическая температура) для контроля исправности прибора и штифту, показывающему минимальную температуру между сроками (на рис. 13 показания мениска спирта соответствуют 15° и штифта — $10,5^{\circ}$). После отсчета, приподняв резервуар термометра, штифт подводят к мениску спирта. В летнее время мини-

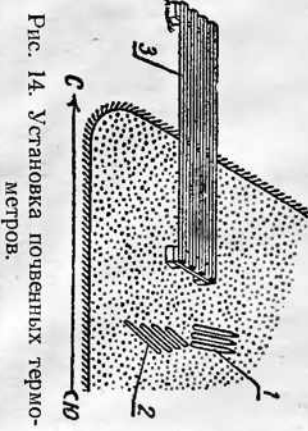


Рис. 14. Установка почвенных термометров.

мальный термометр на день с плошадки убирают, так как верхний предел шкалы у него меньше, чем может быть температура почвы.

§ 12. Измерение температуры почвы на различных глубинах

Для измерения почвы на различных глубинах применяются термометры Савинова, вытяжные и термометры-шупы.

Термометры Савинова (коленчатые) служат для измерения температуры почвы на глубинах 5—10—15—20 см (пахотный слой). Это ртутные термометры со вставной шкалой и ценой деления 0,5°. Резервуары термометров цилиндрические. Немного выше резервуара термометры изогнуты под углом 135° (рис. 15). Нижняя часть стеклянной защищенной оболочки от резервуара до начала шкалы засыпана песком или золой, над которой помещается вата с сургучными перемычками. Делается это для того, чтобы исключить конвективные токи в стеклянной оболочке, которые могут возникнуть вследствие разницы температуры почвы на разных уровнях. Длина термометров может быть от 28—30 до 48—52 см.

Установка. Термометры Савинова устанавливают на одной плошадке с термометрами для измерения температуры поверхности почвы (рис. 14, 2). Их устанавливают весной и убирают осенью, так как в промерзшей почве коленчатые термометры легко ломаются.

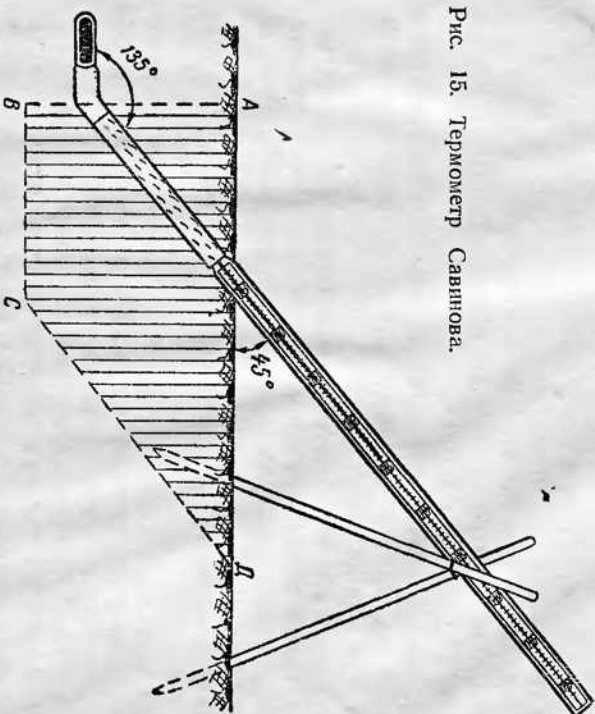


Рис. 15. Термометр Савинова.

Термометр-шуп АМ-6 (рис. 16) служит для измерения температуры почвы на глубине от 3 до 50 см (рис. 16). Спиртовой термометр 1 (спирт подкрашен) с ценой деления 0,5° и пределами шкалы от 0 до 60° помещается в металлическую оправу 2, нижний конец которой заострен в виде конусообразного наконечника 3. В нем находится резервуар термометра. Чтобы тепло не передавалось от оправы к резервуару термометра, наконечник изолирован от остальной части оправы теплоизолирующей перемычкой 4. Для увеличения инерции термометра его резервуар погружен в медные опилки. В верхней части оправы имеется прорезь 5, через которую видна шкала термометра. На противоположной стороне оправы нанесены деления в сантиметрах для определения глубины установки термометра. Верхний конец оправы заканчивается ручкой 6, служащей для упора при погружении термометра в почву.

Во время наблюдений термометр-шуп устанавливают в почву на заданную глубину и через 10—15 мин. берут отсчет. Если глубина установки небольшая, отсчет можно делать, не вынимая термометра из почвы. Термометр-шуп переносят и хранят в вертикальном положении.

Термометр-шуп АМ-15 (рис. 17) применяется для измерения температуры пахотного слоя почвы до глубины 25 см.

Приемником термометра является биметаллическая пружина, один конец которой неподвижно закреплен в наконечнике 1 трубчатого стержня 2, а другой конец жестко соединен длиной осью со стрелкой 3, помещенной в квадратной рукоятке 4. В квадратной рукоятке помещена шкала 5 температуры от —10 до 50° с ценой деления 1°.

Наконечник с биметаллической пружиной отделен от трубчатого стержня пластмассовым переходником 6. Внутренняя полость термометра влагонепроницаема. На внешней стороне трубчатого стержня дана шкала глубин в сантиметрах. Нуевая отметка находится на середине наконечника.

Термометр переносят в футляре в горизонтальном положении. При переносе и хранении его нужно оберегать от ударов и бросков, а также от нагрева прямыми солнечными лучами.

При наблюдениях термометр-шуп АМ-15 устанавливают в почве вертикально на заданную глубину и выдерживают 5—10 минут.

Для установки коленчатого термометра выкапывают трапециевидное траншею в виде трапеции АВСД (рис. 15). Северная сторона АВ трапеции отвесная. В нее на заданной глубине делают углубление, параллельное поверхности почвы. В это углубление вставляют резервуар термометра. Для контроля установки термометра необходимо проверить угол наклона выступающей части термометра к поверхности почвы. Этот угол должен быть 45°. После этого трапецию засыпают почвой, сохраняя последовательность вынутых пластов. Для устойчивости термометров укрепляют на деревянных козлах.

Отсчет по термометрам берут с точностью до 0,1°.

Термометр-шуп АМ-6 служит для измерения температуры почвы в полевых условиях на глубине от 3 до 50 см (рис. 16). Спиртовой термометр 1 (спирт подкрашен) с ценой деления 0,5° и пределами шкалы от 0 до 60° помещается в металлическую оправу 2, нижний конец которой заострен в виде конусообразного наконечника 3. В нем находится резервуар термометра. Чтобы тепло не передавалось от оправы к резервуару термометра, наконечник изолирован от остальной части оправы теплоизолирующей перемычкой 4. Для увеличения инерции термометра его резервуар погружен в медные опилки. В верхней части оправы имеется прорезь 5, через которую видна шкала термометра. На противоположной стороне оправы нанесены деления в сантиметрах для определения глубины установки термометра. Верхний конец оправы заканчивается ручкой 6, служащей для упора при погружении термометра в почву.

Во время наблюдений термометр-шуп устанавливают в почву на заданную глубину и через 10—15 мин. берут отсчет. Если глубина установки небольшая, отсчет можно делать, не вынимая термометра из почвы. Термометр-шуп переносят и хранят в вертикальном положении.

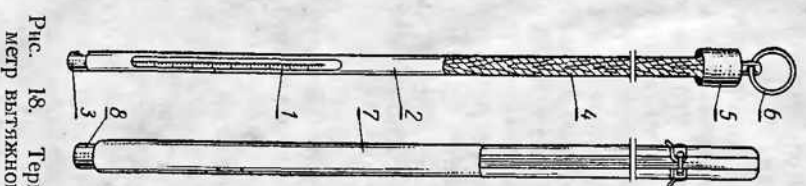
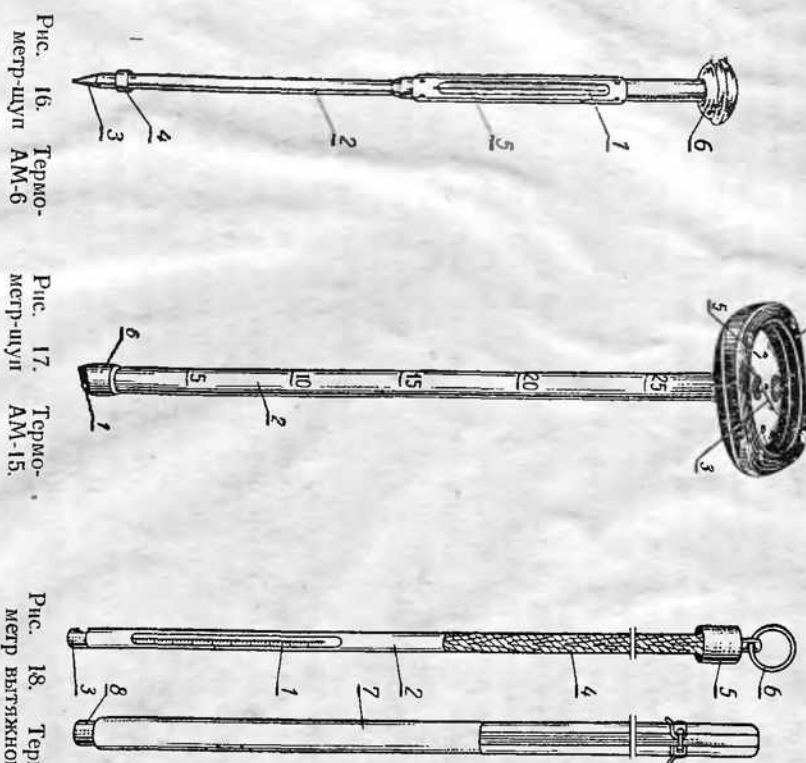
Термометр-шуп АМ-15 (рис. 17) применяется для измерения температуры пахотного слоя почвы до глубины 25 см.

Приемником термометра является биметаллическая пружина, один конец которой неподвижно закреплен в наконечнике 1 трубчатого стержня 2, а другой конец жестко соединен длиной осью со стрелкой 3, помещенной в квадратной рукоятке 4. В квадратной рукоятке помещена шкала 5 температуры от —10 до 50° с ценой деления 1°.

Наконечник с биметаллической пружиной отделен от трубчатого стержня пластмассовым переходником 6. Внутренняя полость термометра влагонепроницаема. На внешней стороне трубчатого стержня дана шкала глубин в сантиметрах. Нуевая отметка находится на середине наконечника.

Термометр переносят в футляре в горизонтальном положении. При переносе и хранении его нужно оберегать от ударов и бросков, а также от нагрева прямыми солнечными лучами.

При наблюдениях термометр-шуп АМ-15 устанавливают в почве вертикально на заданную глубину и выдерживают 5—10 минут.



Отсчет берут с точностью $0,5^{\circ}$, не вынимая термометра из почвы. При наблюдениях надо стоять так, чтобы на термометр падала тень.

Вытяжные термометры применяются для измерения температуры почвы на больших глубинах. Комплект из пяти термометров служит для измерения температуры почвы на глубинах 20—40—80—160—320 см, а из восьми термометров — на глубинах 20—40—60—80—120—160—240—320 см.

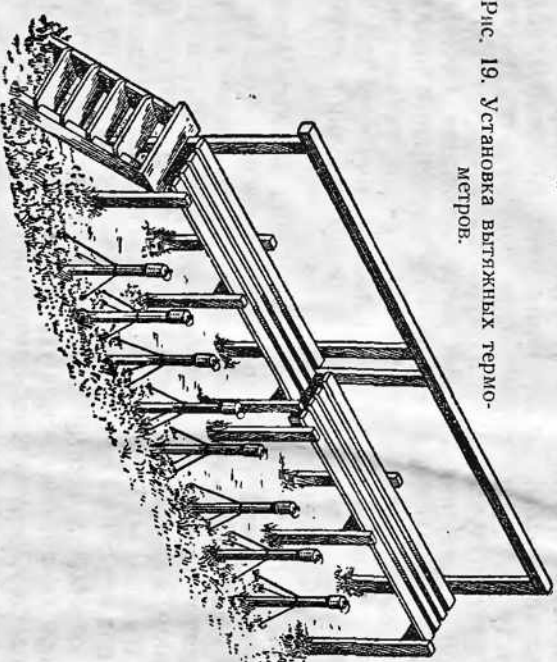
Вытяжные термометры ртутные, типа психрометрических, с ценой деления $0,2^{\circ}$. Для удобства установки, а также с целью уменьшения влияния внешней среды в момент отсчета термометр 1 вмонтирован в специальную оправу 2 с металлическим колпачком 3 (рис. 18), который заполнен медными опилками для тепловой изоляции резервуара. Оправа с термометром крепится на деревянной штанге 4, длина которой зависит от глубины установки термометра. Штанга заканчивается колпачком 5 с кольцом 6, за которое термометр вынимают из почвы.

Вытяжные термометры опускают в пластмассовые или эбонитовые трубки 7, погруженные в почву на необходимую глубину и имеющие на нижнем конце металлические наконечники 8. Применение трубок, обладающих плохой теплопроводностью, исключает обмен тепла между верхними слоями почвы и термометром. Термометр воспринимает температуру только того уровня почвы, на котором находится металлический наконечник. При опускании термометра в трубку 7 можно рассчитать, чтобы он только слегка касался металлического донышка 8. Основной упор термометра должен приподняться на колпачок с кольцом, который одновременно и закрывает грубку сверху.

Установка. Вытяжные термометры размещают на открытом месте с естественным покровом на расстоянии 3—4 м от термометров Савинова. Буром или лопатой роют траншеи нужной глубины. Если траншеею роют лопатой, то их следует делать узкими и почву вынимать пластами, чтобы после установки труб почву уложить в том же порядке. Затем в траншее располагают трубы в один ряд через каждые 50 см в направлении с востока на запад. Трубы должны выступать над поверхностью почвы на 50—100 см по избежание заноса их снегом в зимний период. После установки труб в них опускают термометры. Чтобы почва вокруг термометров не уплотнялась, отсчет по ним производят со специального помоста, расположенного с северной стороны от термометров (рис. 19).

Отсчеты по термометрам необходимо брать быстро. Рекомендуется вначале отсчитывать десятиные доли, а потом целые градусы. Отсчеты по термометрам, расположенным на глубине 80 см и больше, берут один раз в сутки, так как с этой глубины суточные колебания температуры не наблюдаются.

Рис. 19. Установка вытяжных термометров.



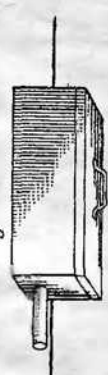


Рис. 20. Коробка Низенькоа.

гали узла кущения около 3 см.

Для измерения минимальной температуры почвы на глубине могут быть использованы обычные минимальные термометры, помещаемые в специальные приспособления, и почвенные электротермометры.

Коробка Низенькоа. Приспособление для минимального термометра, предложенное Н. П. Низеньковым, представляет собой жесткую коробку с боковой трубкой снаружи (рис. 20, а). Длина коробки 40 см, ширина 8 см, высота 15 см. Длина боковой трубы 17 см, диаметр 3,5 см.

На дно коробки помещается деревянный вкладыш 1 (рис. 20, б), имеющий продольный вырез 2, соответствующий ширине минимального термометра. В вырез должен приходить против боковой трубы коробки, в которую вставляют резервуар термометра 3. Для изоляции термометра от стенок металлической трубы в нее вставляют трубочку, свернутую из плотной бумаги. Для изоляции от наружного воздуха сверху на термометр кладут вату 4 (или мешочек из марли, наполненный ватой), которая должна плотно заполнять все пространства коробки от деревянного вкладыша до верхнего края коробки. Коробку Низенькоа устанавливают на озимых посевах поздней осенью до наступления морозов. Регулярные наблюдения начинают со времени промерзания почвы и продолжают до полного оттаивания.

Отсчеты. На участке, где установлена коробка Низенькоа, одновременно с измерением минимальной температуры на глубине залегания узла кущения определяют высоту снежного покрова. Его измеряют маршрутной снегометрной рейкой вблизи установки минимального термометра в пяти местах. Записывают среднюю высоту из пяти измерений. После этого, если коробка Низенькоа находится под снежным покровом, снимают осторожно снег над крышкой коробки и открывают ее. Над боковой трубкой коробки снег должен оставаться нетронутым в течение всей зимы. Вывнув ватную подушку, берут отсчет сначала по показанию спирта, а потом по штифту. Записав показания термометра, его вынимают,

В хозяйствах вытяжные термометры могут быть использованы для измерения температуры в сибирских ямах и буртах.

§ 13. Измерение температуры почвы на глубине залегания узла кущения

Состояние озимых культур и условия перезимовки их во многом зависят от температуры почвы и особенно от минимальной температуры почвы на этой глубине могут быть использованы обычные минимальные термометры, помещаемые в специальные приспособления, и почвенные электротермометры.

Коробка Низенькоа. Приспособление для минимального термометра, предложенное Н. П. Низеньковым, представляет собой жесткую коробку с боковой трубкой снаружи (рис. 20, а). Длина коробки 40 см, ширина 8 см, высота 15 см. Длина боковой трубы 17 см, диаметр 3,5 см.

На дно коробки помещается деревянный вкладыш 1 (рис. 20, б), имеющий продольный вырез 2, соответствующий ширине минимального термометра. В вырез должен приходить против боковой трубы коробки, в которую вставляют резервуар термометра 3. Для изоляции термометра от стенок металлической трубы в нее вставляют трубочку, свернутую из плотной бумаги. Для изоляции от наружного воздуха сверху на термометр кладут вату 4 (или мешочек из марли, наполненный ватой), которая должна плотно заполнять все пространства коробки от деревянного вкладыша до верхнего края коробки. Коробку Низенькоа устанавливают на озимых посевах поздней осенью до наступления морозов. Регулярные наблюдения начинают со времени промерзания почвы и продолжают до полного оттаивания.

Отсчеты. На участке, где установлена коробка Низенькоа,

одновременно с измерением минимальной температуры на глубине залегания узла кущения определяют высоту снежного покрова. Его измеряют маршрутной снегометрной рейкой вблизи установки минимального термометра в пяти местах. Записывают среднюю высоту из пяти измерений. После этого, если коробка Низенькоа находится под снежным покровом, снимают осторожно снег над крышкой коробки и открывают ее. Над боковой трубкой коробки снег должен оставаться нетронутым в течение всей зимы. Вывнув ватную подушку, берут отсчет сначала по показанию спирта, а потом по штифту. Записав показания термометра, его вынимают, погружают руку в руку и ловят столбик спирта до 0°. К нулю шкалы подводят и штифтят. Затем термометр быстро вставляют в трубочку и укладывают в выемку деревянного вкладыша складной пистолет. Сверху термометр накрывают ватой и коробку закрывают крышкой. Вынутую перед наблюдением над коробкой ямку в снегу тщательно засыпают снегом и утрамбовывают его примерно до плотности на окружающем поле. Над коробкой не должно быть бугорка или углубления. Чтобы не уплотнить снег вокруг коробки, лучше отсчеты делать на лыжах.

Одним из недостатков коробки Низенькоа является то, что резервуар минимального термометра не имеет контакта непосредственно с почвой, кроме того, во время отсчетов приходится нарушать слежившийся покров над коробкой.

В связи с этим для измерения температуры почвы на глубине узла кущения в настоящее время применяют более совершенные приборы — электротермометры и максимально-минимальный термометр.

Электротермометр АМ-2М (рис. 21) состоит из датчика 1 и пульта 2. Датчиком служит медный проволочный термометр сопротивления, заключенный в герметический кожух, имеющий форму лягушечки. К термометру присоединен медный кабель 3, который заканчивается штекером 4 для соединения датчика с пультом.

Пульт электротермометра переносный; он состоит из равноличечного неуравновешенного измерительного моста, в диагональ которого включен микроамперметр типа М-24. Шкала амперметра градуирована от -30° до $+45^{\circ}$. Интервалы измерения температуры разбиты на два диапазона: от $+5^{\circ}$ до $+45^{\circ}$ и от $+5^{\circ}$ до -30° . Переключение в двух диапазонах осуществляется переключателем на деление $+45^{\circ}$ с присоединением регулировки R_p , а на $+5^{\circ}$ — вращением винта корректора 6. В пульте помещены четыре батареи типа I-KC-V-3 или I-KC-X-3, обеспечивающие работу

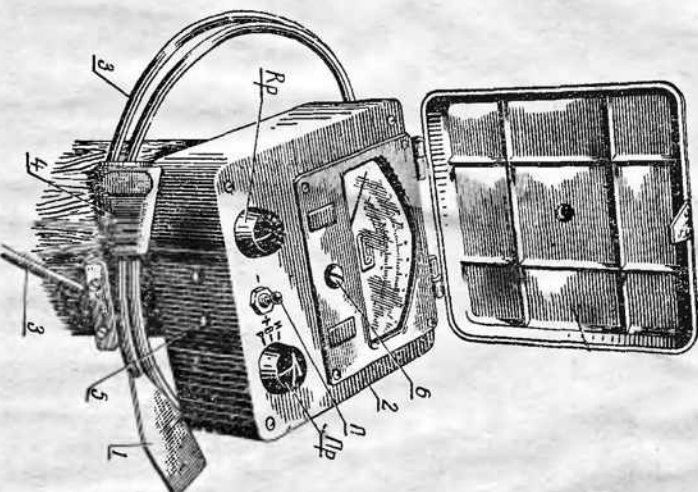


Рис. 21. Электротермометр АМ-2М.

прибора не менее 6 месяцев. Смена их производится, когда стрелка не доходит до деления $+45^\circ$. В нижней части пульта имеется резетка 5, в которую включают штекерную вилку кабеля с датчиком.

В комплект электротермометра АМ-2М входят 10 датчиков и один пульт.

Установка электротермометра. Для измерения температуры почвы на глубине залегания узла купчения (3 см) устанавливают на двух противоположных концах наблюдательного участка по одному датчику. Установка их производится до замерзания почвы. Для этого выкапывают канавки глубиной 3 см, шириной 5—8 см и длиной 150 см. Одна стена канавки должна быть отвесной. В ней на глубине 3 см от поверхности почвы делают горизонтальное углубление, в которое вставляют датчик. Кабель осторожно выпрямляют и укладывают на дно канавки до стойки (деревянный бруск). Оставшаяся часть кабеля выходит около стойки. Стойка служит для установки пульта и закрепления на ней оставшейся части кабеля. После этого канавку засыпают и почву уплотняют до состояния засыпания.

Наблюдение. Перед отсчетами по электротермометру пульт устанавливают на стойку и вилку датчика соединяют с пультом. После этого открывают крышку пульта и проверяют нахождение переключателя рода работ Pr в нейтральном положении B . При таком положении стрелка должна находиться на делении $+5^\circ$ с левой стороны шкалы. Устанавливают ее на $+5^\circ$ винтом корректора 6. Затем рукойку переключателя диапазона температур Π переводят в положение $+$ (вправо), а ручку переключателя рода работ Pr — в положение r . Вращением реостата Rp стрелку устанавливают на деление $+45^\circ$ с правой стороны шкалы.

При измерении температуры в диапазоне от $+5$ до $+45^\circ$ рукойку переключателя рода работ Pr переводят в положение H и определяют показание прибора в цельных градусах. После записи результата отсчета переключатель рода работ устанавливают в нейтральное положение B .

Для измерения температуры в диапазоне от $+5$ до -30° рукойку переключателя диапазона температуры Π переводят в положение (влево), затем рукойку переключателя рода работ Pr переводят в положение H и отсчитывают показание прибора. После отсчета переключатель рода работ Pr ставят в нейтральное положение B .

Если датчик не подключен к пульту, переключатель рода работ всегда должен находиться в нейтральном положении. Никакие переключения на пульте нельзя делать до присоединения датчика к пульту. После работы крышку пульта закрывают, вилку датчика отключают от пульта и закрывают крышкой.

Максимально-минимальный термометр АМ-17 (рис. 22) состоит из термобаллона 1, заполненного под давлением толуолом, геликоидальной пружины с биметаллическим термокомпенсатором, со-

единенного капилляра 2 и корпуса 3, в котором помещается регистрирующее устройство.

При измерении температуры колпачок 4 опускается и пружина 5 раскручивается, поворачивая при этом гермокомпенсатор и соединенный с ним кронштейн со стрелкой. Задись температуры ведется на барабане 4, покрытом слоем краски. Над барабаном расположена шкала с делениями от -30 до $+30^\circ$.

По размерам дуги, которую прощечинает стрелка на барабане, определяют колебания температуры между сроками наблюдений. По левому краю дуги отчитывают минимальную, а по правому — максимальную температуру. Положение стрелки относительно шкалы во время отсчета соответствует температуре в момент наблюдений. После измерений для дальнейшей работы прибора необходимо барабан повернуть ручкой-фиксатором 5 на один зубец. Ручка-фиксатор имеет 90 зубьев. Соответственно отсчеты по термометру могут быть взяты 90 раз. После этого барабан надо вновь закоптить. По окончании наблюдений корпус закрывают футляром 6.

Для измерения температуры почвы на глубине узла купчения до наступления морозов на озимых посевах термобаллон и капилляр укладываются в почву на глубину 3—5 см, а корпус термометра устанавливают на деревянном столбе высотой 60—70 см. Дистанция измерений термометром АМ-17 около 2,5 м.

§ 14. Измерение глубины промерзания почвы

Для оценки условий перезимовки растений большое значение имеет промерзание почвы. Глубину промерзания почвы определяют мерзлотомером Данилина, который устанавливают на метеорологической плошадке и на посевах озимых культур.

Мерзлотомер Данилина. Приемная часть мерзлотомера Данилина — резиновая трубка 1 длиной 150 и 300 см с делениями в сантиметрах (рис. 23). Один конец трубы присоединен на ниппель деревянной штанги 2, заканчивающейся колпачком 3 с кольцом, а другой закрыт резиновой пробкой. В комплект мерзлотомера входит защитная трубка 4, заканчивающаяся латунным наконечником. На верхней части защитной трубы нанесены деления в сантиметрах для измерения высоты снежного покрова.

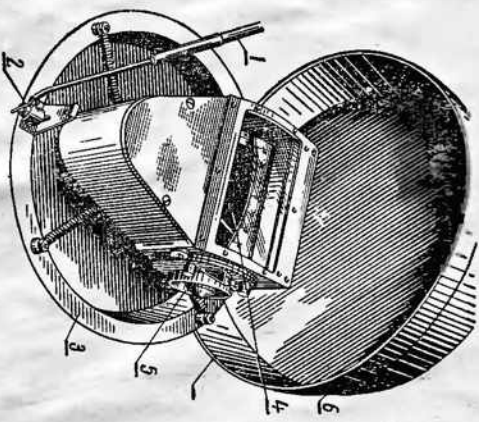


Рис. 22. Максимально-минимальный термометр АМ-17.

Установка. Мерзлогомер устанавливают за 2—3 недели до начала заморозков на плашке около вытяжных термометров и на посевах озимых в месте, наиболее характерном по условиям залегания снежного покрова и состояния посевов. Для установки защитной трубки готовят скважину, глубина которой на 10 см больше резиновой трубы. Защитную трубку опускают в скважину, зазоры между стенками скважины и трубкой плотно застыгают землей. Для прочности защитную трубку укрепляют растяжками. В установленную защитную трубку опускают резиновую трубку, заполненную дистиллированной водой.

Наблюдения по мерзлогомеру начинают с момента наступления отрицательных температур и продолжают до полного оттаивания почвы. Глубину промерзания почвы определяют по линии столбика воды, замерзшей в трубке (с точностью до 0,5 см). Для этого трубку прощупывают пальцами. Нижняя граница льда соответствует глубине промерзания почвы.

После отсчета резиновую трубку вновь опускают в защитную трубку.

Во время наблюдений за глубиной промерзания почвы необходимо отмечать высоту снежного покрова.

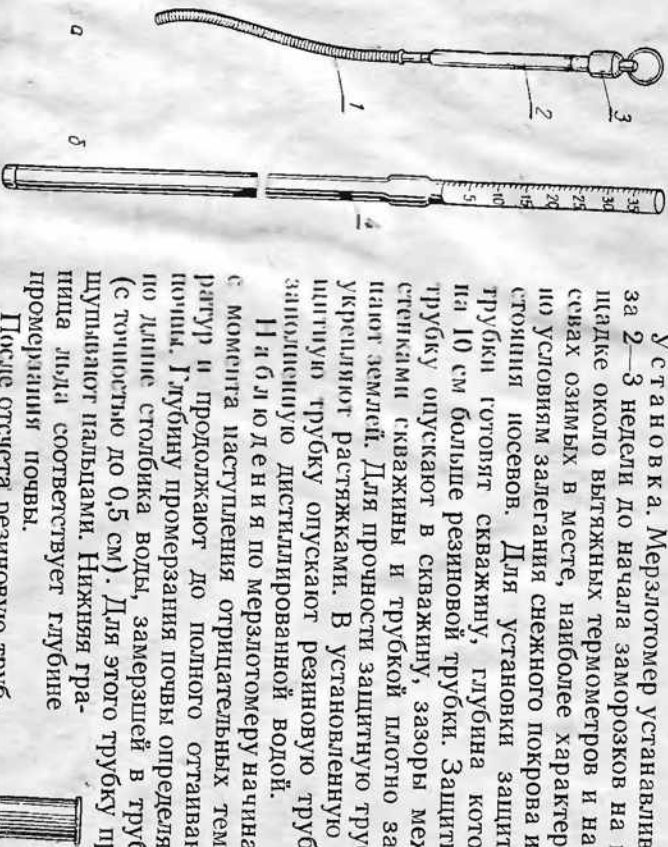


Рис. 23. Мерзлогомер
Данилова.

§ 15. Измерение температуры воздуха

Для измерения температуры воздуха применяются термометры психрометрический, максимальный и минимальный. Для непрерывной регистрации температуры воздуха служит термограф.

Психрометрический термометр ртутный со вставной шкалой (рис. 24). Цена деления 0,2°. Пределы шкалы от +41, +50 до —31, —35°. Устанавливается вертикально. Для этого в верхней части термометра есть металлический колпачок. Резервуар термометра широкий.

Для районов с сильными морозами применяются психрометрические термометры спиртовые с цилиндрическим резервуаром. Заполнены они этиловым спиртом, крепость которого должна быть не ниже 95%.

Психрометрические термометры исходят применяются в паре и состоящими психрометр, который служит одновременно для определения температуры и влажности воздуха.

Устройство максимальных и минимальных термометров, приемлемых для измерения соответствию максимальной и минимальной температуры воздуха в зависимости от какой-либо промежуток времени, изложено на страницах 29—31.

Установка. Термометры для измерения температуры воздуха помечают в психрометрическую будку I (рис. 25). Это исключает влияние ветра и прямой солнечной радиации на показания термометров.

Стенки психрометрической будки состоят из двойных жалюзи шириной 35 мм и толщиной 6 мм, расположенных одна над другой на расстоянии 25 мм под углом 45° к горизонтальной плоскости. Жалюзийные стеки защищают термометры от прямого попадания солнечных лучей и вместе с тем не препятствуют свободному доступу воздуха.

Внутренние размеры будки: высота 525 мм, ширина 460 мм, глубина 290 мм. Потолок будки сделан стопенным. Для уменьшения нагрева над потолком есть крыша, имеющая небольшой скат. Диаметр будки — из трех досок шириной 100 мм, причем средняя расположена несколько выше крайних. Она из жалюзийных стенок укреплена на петлях и может открываться (дверка).

Будка укрепляется на деревянной или металлической подставке 2 с таким расчетом, чтобы резервуары термометров были на высоте двух метров. К подставке будка прикрепляется железными уголниками и планками и ориентируется дверкой на север, чтобы во время отсчетов на термометры не падали солнечные лучи. Для удобства отсчетов около будки устанавливают деревянную или металлическую лесенку 3.

Для уменьшения нагрева вся будка, подставка и лесенка должны быть окрашены никелевыми белилами.

Внутри будки имеется штатив 6 (рис. 26), на котором вертикально крепятся два психрометрических термометра: слева — «сухой» 1, по которому определяется температура воздуха, справа — «смоченный» 2.

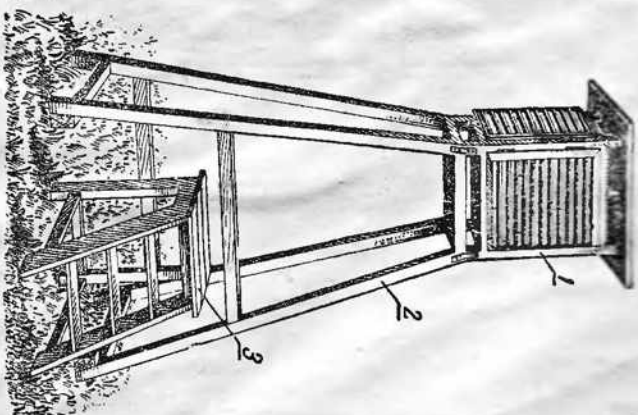


Рис. 25. Психрометрическая будка.

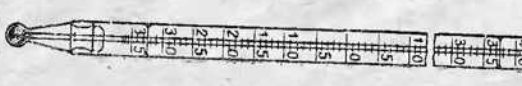


Рис. 24. Психрометрический термометр.

после до рефрижераторов термометров
бюда 1,5—2 м. будка, подставка и
лесенка должны быть покрашены
в белый цвет.

Температуру и влажность воз-
луха среди растений можно изме-
рить испарительным психрометром,
который приспособлен для работы
в полевых условиях (см. стр. 53).

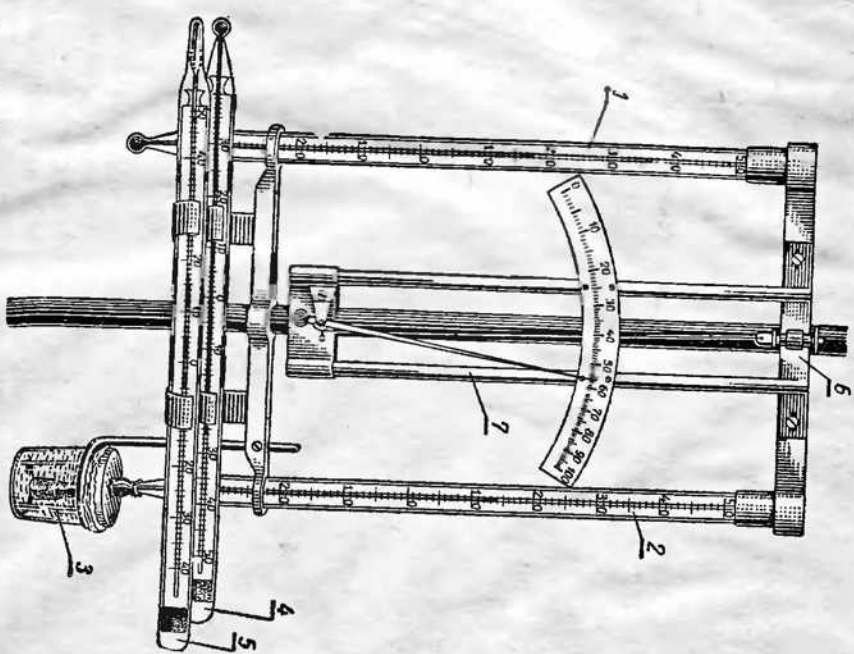
Термограф (рис. 28) служит для
непрерывной записи изменений тем-
пературы воздуха. Он состоит из
трех основных частей: приемной,
передающей и регистрирующей.

Приемником термографа яв-
ляется биметаллическая плас-
тика 1, изготовленная из металлов
с различным термическим коэффи-
циентом линейного расширения. Как правило, для этого исполь-
зуются железо и медь. Один конец биметаллической пластики
крепится неподвижно в колодке 2, находящейся на наружной стенке
корпуса. Другой конец остается свободным и при изменении тем-
пературы может перемещаться.

Передающей частью является система рычагов. К свободному
концу биметаллической пластики прикреплен рычаг 3, который
состыкован тягой 4 с рычагом 5 коленчатого вала. Вторым рычагом
коленчатого вала является стрелка 6, заканчивающаяся пером
в форме небольшой полой пирамиды, вершина которой обращена
к барабану 7. Перо заполняется специальными чернилами с при-
месью глиптерина. Поэтому они медленно сохнут и не замерзают.

Регистрирующая часть термографа — барабан 7 с часовым ме-
ханизмом внутри. Благодаря часовому механизму барабан вра-
щается вокруг неподвижной оси, укрепленной у основания корпуса.

Рис. 26. Установка термометров в психрометрической будке.



Максимальный 4 и минимальный 5 термометры укрепляются го-
ризонтально в специальные перекладины внизу штатива.

Для большей точности при наблюдениях по термометрам внача-
ле отсчитывают десятие доли, а затем целые градусы. После
отсчета максимальный термометр встремявают, а в минимальном
шифтят подвоят к мениску спирта.

На агрометеостах для установки термометров может быть ис-
пользована более простая защита — будка Селянина (рис. 27).
Она меньше размером: высота передней стекки (дверки) 300 мм,
задней стекки 180 мм, ширина 420 мм, глубина 280 мм, и стекки ее
состоят из одного ряда жалоз. На специальной деревянной пол-
ставке в ней устанавливают горизонтально три термометра, при-
чем психрометрический термометр может быть заменен «срочным».
Будку Селянина устанавливают на столбе так, чтобы высота от

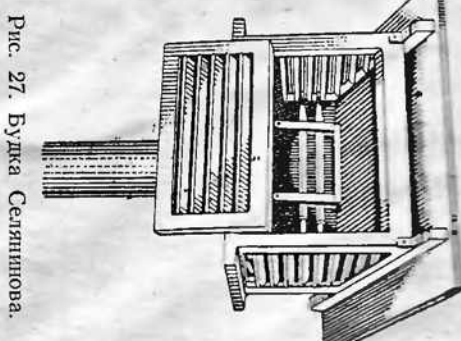


Рис. 27. Будка Селянина.

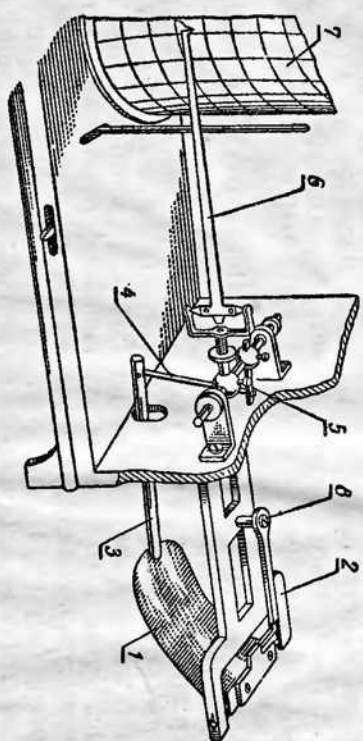


Рис. 28. Термограф биметаллический.

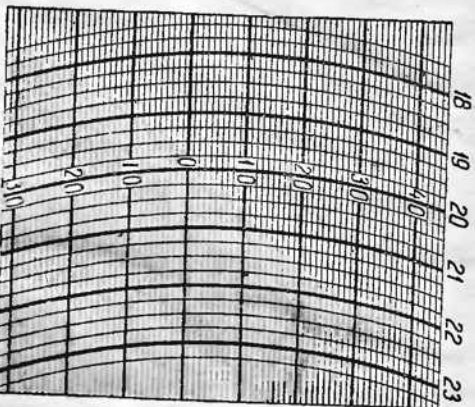


Рис. 29. Лента термографа (часть).

недельных — через 2 часа. Кроме того, на недельных лентах указаны дни недели.

Установка. Термограф устанавливают в жалюзийной будке, отличающейся от психрометрической только своими размерами. Глубина такой будки 460 мм, высота 605 мм, ширина 460 мм. Располагается она на расстоянии 4—5 м от психрометрической. Перед установкой термографа часы с помощью ключа заводят до отказа и на барабан надевают ленту, на обратной стороне которой пишут дату и время смены ленты. Лента на барабане крепится специальной пружиной. В таком виде барабан надевают на неподвижную ось корпуса и к нему подводят стрелку с пером. Перо на ленте должно показывать время и температуру воздуха в данный момент. Установку пера на время производят поворотом барабана вокруг неподвижной оси, а на температуру — изменением положения биметаллической пластинки. Делается это с помощью винта 8. После этого крышку термографа закрывают. Для контроля за работой термографа на его ленте в срочные часы делают засечки небольшим подъемом пера.

Термограф — прибор относительный. Показания его сравнивают с показаниями психрометрического термометра.

Обработка ленты термографа. Ленту термографа обрабатывают методом интерполяции. Сначала на ленте или в специальной таблице записывают показания термографа через каждый час. Потом против меток, сделанных в срочные часы, пропускают одну строчку, записывают показания по психрометрическому термометру («сухому»). Разница между показаниями термографа и психрометрического термометра представляет собой поправку в срочные часы. Записы-

ния барабана термографа могут быть суточные и недельные. В первом случае барабан делает полный оборот за сутки, во втором — за неделю. Часы заводят соответственно один раз в сутки или один раз в неделю.

На барабан надевается бумага горизонтальные линии на ней соответствуют температуре в целых градусах (от -30 до $+50^{\circ}$); вертикальные дуги, пересекающие горизонтальные линии, служат для отсчета времени. На лентах суточного термографа каждое деление соответствует 15 минутам, недельного — 2 часам. На суточных лентах время обозначено через каждый час, а на недельных — через 2 часа. Кроме того, на недельных лентах ука-

зывают ее между снятым показанием термографа и показанием психрометрического термометра. Предполагая, что поправка термографа в течение его работы изменилась равномерно, можно рассчитать поправку для каждого часа. Для этого следует проигнорировать величины поправок между двумя метками. Например, поправка в 13 часов была $-0,4^{\circ}$, а в 19 часов стала $+0,2^{\circ}$. За шесть часов работы поправка изменилась на $0,6^{\circ}$ (от $-0,4$ до $+0,2$), а за один час — на $0,1^{\circ}$ ($0,6 : 6$). Зная изменение поправки за один час, можно рассчитать значение поправок для каждого часа. В нашем примере получаются следующие величины поправок:

13 час.	14 час.	15 час.	16 час.	17 час.	18 час.	19 час.
$-0,4^{\circ}$	$-0,3^{\circ}$	$-0,2^{\circ}$	$-0,1^{\circ}$	$0,0^{\circ}$	$+0,1^{\circ}$	$+0,2^{\circ}$

Алгебраически суммируя поправку с показаниями термографа в соответствующие часы, получим исправленные значения температуры по термографу. Аналогичная работа продлевается и для других участков ленты: с 19 до 01 часа, с 01 до 07 часов, с 07 до 13 часов.

Глава IV. ИЗМЕРЕНИЕ ВЛАЖНОСТИ ВОЗДУХА

ЗАДАНИЕ

1. Дать определения основных величин влажности воздуха и методов измерения их.
2. Изучить устройство, установку и правила наблюдений по стационарному и аспирационному психрометрам. Провести измерения по ним и рассчитать все величины влажности воздуха по формулам и психрометрическим таблицам.
3. Изучить устройство гигрометров. Составить график поправок для гигрометра. По наблюдениям гигрометра, зная температуру воздуха, определить абсолютную влажность, дефицит влажности и точку росы.
4. Изучить устройство гигрографа, подготовить его для наблюдений и освоить обработку ленты гигрографа.
5. Начертить графики суточного и годового хода абсолютной и относительной влажности по данным ближайшей метеорологической станции.

§ 16. Величины, характеризующие влажность воздуха

Водяной пар, находящийся в атмосфере, характеризует влажность воздуха. Наблюдения за влажностью воздуха имеют большое практическое значение для сельского хозяйства, так как влажность воздуха оказывает влияние на биохимические процессы, происходящие в растениях, и особенно на испарение. Отрицательно отражается на растениях как очень низкая, так и очень высокая влажность воздуха. При низкой влажности воздуха может прои-

зойти увидание растений, а при высокой замедляется развитие, затрудняется уборка их и т. д.

Влажность воздуха выражается следующими основными величинами: абсолютной, относительной влажностью, дефицитом влажности и точкой росы.

Абсолютной влажностью воздуха (a) называется количество

водяного пара в граммах, содержащегося в 1 м^3 воздуха ($\text{г}/\text{м}^3$).

В метеорологии за абсолютную влажность принимают также **упругость водяного пара** (e), содержащегося в воздухе при данной температуре. Упругость водяного пара измеряется в миллиметрах ртутного столба, в миллибарах, а в Международной системе единиц — в пьютонах: $1 \text{ мм} = 133 \text{ Н}/\text{м}^2$, $1 \text{ мб} = 100 \text{ Н}/\text{м}^2$.

Между абсолютной влажностью a и упругостью водяного пара e определена зависимость,

Вес 1 м^3 сухого воздуха при давлении $P = 760 \text{ мм}$ ртутного столба и температуре 0° составляет 1293 г, а при температуре t и

$$\text{упругости } e \text{ он будет равен } \frac{P(1 + at)}{1293e},$$

где a — температурный коэффициент объемного расширения воздуха, равный 0,00366.

Плотность водяного пара по отношению к сухому воздуху составляет 0,622. Поэтому вес 1 м^3 водяного пара при тех же условиях будет выражаться формулой $a = 0,622 \frac{P}{P(1 + at)}$.

Если e и P измеряются в миллиметрах, то соотношение между a и e будет следующее:

$$a = \frac{1,06e}{1 + ae} \text{ г}/\text{м}^3. \quad (11)$$

Если же e и P выражены в миллибарах, то

$$a = \frac{0,81e}{1 + ae} \text{ г}/\text{м}^3. \quad (12)$$

Числовое значение количества водяного пара в граммах, находящегося в 1 м^3 воздуха (a), близко к упругости водяного пара (e), выраженного в миллиметрах, а при температуре $16,5^\circ$ эти величины равны между собой.

Упругость водяного пара, находящегося в воздухе, может возрастать до определенного значения E , которое называется максимально возможной упругостью водяного пара при данной температуре, или максимальной упругостью.

Значение максимальной упругости E при различных температурах дано в приложении (см. табл. 2 и 3).

Относительной влажностью (r) называется отношение абсолютной влажности (e) к максимальной упругости (E) при данной температуре, выраженное в процентах. Относительная влажность ха-

рактеризует степень насыщения воздуха волнистым паром при данной температуре и выражается формулой:

$$r = \frac{e}{E} 100, \quad (13)$$

где r — относительная влажность;

e — абсолютная влажность;

E — максимальная упругость при данной температуре.

Дефицитом влажности воздуха (d), или недостатком насыщения, называется разность между максимальной упругостью водяного пара (E) при данной температуре и абсолютной влажностью воздуха (e).

Дефицит влажности воздуха измеряется в миллиметрах ртутного столба или в миллибарах:

$$d = E - e. \quad (14)$$

Точкой росы (τ) называется температура, при которой водяной пар, находящийся в воздухе, при неизменном давлении достигает насыщения. Точку росы можно определить, зная абсолютную влажность, по таблице максимальной упругости (см. приложение, табл. 2, 3). При температуре, соответствующей точке росы, абсолютная влажность становится равной максимальной упругости. В таблице максимальной упругости находят значение абсолютной влажности и определяют соответствующую ей температуру, она и будет температурой точки росы.

Если известна точка росы и температура воздуха, то, пользуясь таблицами 2, 3 приложения и формулами 13 и 14, можно определить абсолютную и относительную влажность, а также дефицит влажности воздуха.

§ 17. Методы измерения влажности воздуха

Влажность воздуха может быть измерена несколькими методами. Наибольшее распространение на практике имеют психрометрический и гигрометрический методы.

Психрометрический метод. Влажность воздуха определяется по разности показаний двух одинаковых термометров: «сухого» и «смоченного».

С поверхности резервуара «смоченного» термометра происходит испарение воды, которое зависит от влажности окружающего воздуха. Чем суще окружающий воздух, тем интенсивнее испарение с резервуара «смоченного» термометра и ниже показания его. Следовательно, разность показаний «сухого» и «смоченного» термометров зависит от влажности воздуха. Поэтому по разности показаний можно определить влажность воздуха. «Сухой» термометр показывает температуру воздуха, а «смоченный» — собственную температуру, зависящую от интенсивности испарения с поверхности его резервуара.

Используя формулы Дальтона и Ньютона, можно подсчитать приход и расход тепла для «смоченного» термометра. По формуле Дальтона расход тепла, затрачиваемого на испарение с поверхности «смоченного» термометра, выражается формулой:

$$Q_1 = \frac{c(E_1 - e)}{P}, \quad (15)$$

где Q_1 — количество тепла, затраченного на испарение с поверхности резервуара термометра в единицу времени;

E_1 — максимальная испаряющей способностью поверхности, т. е. «смоченного» термометра;

e — абсолютная влажность воздуха;

c — коэффициент пропорциональности;

P — атмосферное давление.

В результате разности температуры воздуха и резервуара «смоченного» термометра к нему будет поступать тепло Q_2 , которое определяется по формуле Ньютона:

$$Q_2 = B(t - t_i), \quad (16)$$

где Q_2 — количество тепла, поступающего к поверхности резервуара термометра;

t — температура «сухого» термометра;

t_i — температура «смоченного» термометра;

B — коэффициент пропорциональности.

Определение влажности воздуха производится при установившихся показаниях «смоченного» термометра. Поэтому можно считать, что приход тепла к «смоченному» термометру равен расходу тепла на испарение. В противном случае показания термометра менялись бы.

Следовательно, $Q_1 = Q_2$ или

$$\frac{c(E_1 - e)}{P} = B(t - t_i).$$

Из этого равенства определяем абсолютную влажность (e):

$$e = E_1 - \frac{B}{c} P(t - t_i).$$

Обозначив $\frac{B}{c}$ через A , получим основную *психрометрическую* формулу, по которой определяется влажность воздуха психометрическим методом:

$$e = E_1 - AP(t - t_i), \quad (17)$$

где e — абсолютная влажность воздуха;

E_1 — максимальная упругость при температуре «смоченного» термометра;

P — атмосферное давление;

t_i — температура «смоченного» термометра;

A — постоянная психрометра, зависящая глиняным образом от скорости движения воздуха около резервуара термометра, а также от конструкции прибора.

Постоянная A может быть вычислена сравнением лапилей, полученных одновременным измерением влажности с помощью психрометра и какого-либо контрольного прибора. Для стационарного психрометра $A = 0,007947$, для аспирационного психрометра $A = 0,00662$.

Гигрометрический метод измерения влажности воздуха основан на использовании свойств обезжиренного человеческого волоса менять свою длину при изменении влажности окружающего воздуха.

Это свойство обезжиренного человеческого волоса было известно уже давно. Состором было установлено, что удлинение волоса при изменении относительной влажности от 0 до 100% составляет 2,5% его длины. Гей-Люссак, а позже другие авторы, определили зависимость изменения длины волоса от изменения относительной влажности воздуха. Исследования показали, что удлинение волоса с изменением относительной влажности воздуха происходит неравномерно.

Если обозначить через l длину волоса, а через Δl общее удлинение его с изменением относительной влажности воздуха от 0 до 100%, то промежуточные удлинения в процентах от общего удлинения Δl будут следующими:

Относительная влажность, %	Удлинение волоса, %
0	20,9
10	38,8
20	52,8
30	63,7
40	72,2
50	79,2
60	85,2
70	90,5
80	95,4
90	100

Из приведенных данных видно, что волос вначале при небольших значениях влажности воздуха меняет свою длину довольно быстро, а при дальнейшем увеличении влажности воздуха удлинение происходит медленнее. При изменении влажности от 0 до 10% удлинение волоса происходит на 20,9%, а при изменении влажности воздуха от 90 до 100% — только на 4,6% от общего удлинения. Половина своего удлинения волос достигает уже при относительной влажности около 30%.

Но каждый человеческий волос меняет свою длину одинаково. Поэтому волос сначала проверяют и в гигрометрах используют только такой, изменение длины которого соответствует указанной выше закономерности.

В настоящее время применяются также гигроскопические животные пленки, изменяющие свои свойства при изменении влажности воздуха.

Для измерения влажности воздуха психрометрическим методом служат стационарный и аспирационный психрометры, а гигрометрическим — гигрометры и гигрографы.

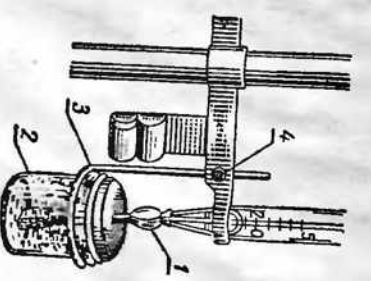


Рис. 30. Психрометрический стаканчик.

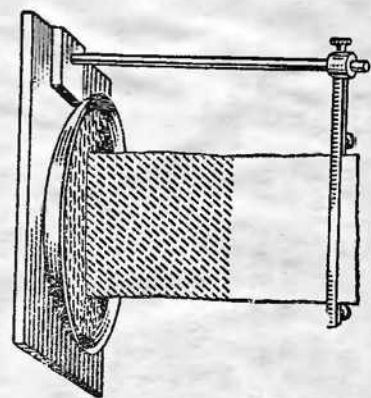


Рис. 31. Испытание батиста.

Стационарный психрометр состоит из двух одинаковых психрометрических термометров с целой деления 0,2°, помещенных рядом на особом штативе в психрометрической будке (рис. 26). Необходимость подбора одинаковых термометров вызвана тем, что при выводе психрометрической формулы, когда рассчитывают приток тепла к «смоченному» термометру, температуру воздуха определяют не по «смоченному», а по «сухому» термометру. Следовательно, «смоченный» термометр, если бы с поверхности его резервуара не было испарения, должен показать ту же температуру, что и «сухой» термометр. Поэтому для психрометра подбирают парные термометры, которые должны иметь одинаковые размеры, коэффициенты тепловой инерции, теплоемкость и т. д.

Левый термометр психрометра «сухой», правый — «смоченный». Резервуар 1 «смоченного» термометра плотно обернут батистом: нижний конец батиста погружен в стаканчик 2 с дистиллированной водой (рис. 30). Стаканчик устанавливается в проволочном колпачке 3, закрепленном на штативе винтом 4. Чтобы края стаканчика не мешали обмену воздуха и около резервуара термометра не создавалась повышенная влажность воздуха, расстояние верхнего края стаканчика от резервуара термометра должно быть не менее 2—3 см. Крышка стаканчика изготавливается из цинка или стекла и служит для защиты воды от загрязнения.

Точность определения влажности воздуха по психрометру зависит от испарения с поверхности резервуара «смоченного» термометра. Поэтому для получения надежных данных по «смоченному» термометру необходимо следить за качеством и состоянием батиста. Он должен хорошо «тянуть» воду. Поэтому батист предварительно подвергают испытанию на тягу воды. Для этой цели один конец кусочка батиста длиной 10—15 см, вырезанного вдоль волокон ткани, зажимают в штативе, а другой конец опускают в сосуд с дистиллированной водой (рис. 31). В психрометрах применяют

такой батист, который поднимает воду на 7—8 см за 15 минут. Для испытки батиста термометр закрепляют по возможности неоднажды (можно вложить в книгу). Затем выбирают кусочек специального батиста и примеряют к резервуару термометра. Батист должен обернуть резервуар термометра только один раз, причем края батиста заходить друг на друга не более $\frac{1}{4}$ окружности резервуара. После того как батист соответствующего размера подобран, его смачивают дистиллированной водой, в мокром виде плотно оберывают вокруг резервуара термометра и закрепляют петлями из ниток в двух местах. Петлю крепко затягивают над резервуаром и слабо завязывают под резервуаром, чтобы не парушить тягу воды. Во время работы психрометра необходимо следить за чистотой батиста. Загрязненный батист плохо тянет воду, поэтому его рекомендуется менять два раза в месяц, а в пыльных местностях значительно чаще.

Наблюдение по психрометру. Перед производством наблюдений необходимо убедиться в том, что батист хорошо смочен. Для контроля следует за 10—15 минут до наблюдений смочить батист, погружая резервуар «смоченного» термометра в приподнятый стаканчик с водой. После этого стаканчик устанавливают на прежнее место. Для получения достаточно точных значений величин влажности воздуха ошибка в разности отсчетов не должна превышать 0,1. Поэтому отсчеты по термометрам надо брать очень быстро, так как наблюдатель своим присутствием может изменить показания термометров. Во время наблюдений необходимо осторегаться усиленно дышать на термометр и приближать к нему фонарь (при отсчетах в ночное время). Для большей точности рекомендуется, как только наблюдатель откроет дверцу психрометрической будки, где помешены термометры, сначала быстро отсчитать десяти доли «сухого» и «смоченного» термометров, а потом — целые градусы. В отсчеты термометров вводятся шкаловые поправки из поверочного свидетельства.

Вычисление величин влажности воздуха производится по показаниям «сухого» и «смоченного» термометров.

Абсолютную влажность воздуха определяют по психрометрической формуле (17): $e = E_1 - \Delta P(t - t_1)$,

относительную влажность и дефицит влажности воздуха вычисляют по формулам (13) и (14): $r = \frac{e}{E} 100$ и $d = E - e$.

Точку росы находят по таблице максимальной упругости (см. приложение, табл. 2, 3).

Абсолютную влажность и дефицит влажности вычисляют с точностью до 0,1 мб, а относительную влажность — с точностью до 1%.

Пример. Температура по «сухому» термометру $t = 20,0^\circ$, а по «смоченному» $t_1 = 17,5^\circ$, давление воздуха $P = 1000$ мб. Для вычисления абсолютной влажности по психрометрической формуле необходимо найти значение максимальной упругости при температуре «смочен-

ногого» термометра: при $t_1 = 17,5^\circ$, $E_1 = 20,0$ мб (см. приложение, табл. 3). Полностью полученные значения в психрометрическую формулу (17), определяем

$$e = 20,0 - 0,0007947 \cdot 1000(20,0^\circ - 17,5^\circ) = 18,0 \text{ мб.}$$

Для определения относительной влажности по дефициту влажности воздуха по формулам (13) и (14) необходимо знать максимальную упругость при температуре воздуха. Находит ее по таблице 3 приложения только по температуре «сухого» термометра. При $t = 20,0^\circ$, $E = 23,4$ мб. По формуле (13) определяем относительную влажность:

$$r = \frac{18,0}{23,4} \cdot 100 = 77\%,$$

а по формуле (14) — дефицит влажности: $d = 23,4 - 18,0 = 5,4$ мб.

Точки росы (τ) находим по абсолютной влажности в таблице 2 приложении. Известно, что точка росы соответствует той температуре, при которой водяной пар, находящийся в насыщении, при неизменном давлении достигает насыщения, т. е. в указанном примере нужно определить температуру, при которой 18,0 мб будет соответствовать максимальной упругости. В таблице 2 приложении 18,0 мб соответствует температуре $15,8^\circ$. Следовательно, $\tau = 15,8^\circ$.

На практике для ускорения процесса вычисления величин влажности воздуха пользуются специальными психрометрическими таблицами.

Психрометрические таблицы В. А. Савица (1952 г.) составлены по указанным выше формулам (13, 14, 17) для различных значений температуры «сухого» и «смоченного» термометров при давлении 1000 мб.

На каждой странице психрометрических таблиц имеется пять колонок, над которыми написаны значения температуры по «сухому» термометру. Колонки имеют, в свою очередь, четыре столбца (t_1), абсолютной влажности (e), относительной влажности (r) и дефицита влажности (d) (см. табл. 3, в которой приведены только 4 колонки).

Образец психрометрических таблиц

n	t_1	e	r	d	t_1	e	r	d	t_1	e	r	d	t_1	e	r	d	t_1	e	r	d		
	20,0	20,1				20,2	20,3															
6	17,0	17,0	73	6,4	17,1	17,1	73	6,4	17,2	17,2	73	6,5	17,3	17,4	73	6,4	17,4	17,5	74	6,2	17,4	17,6
6	17,1	17,2	74	6,2	17,2	17,3	74	6,2	17,3	17,5	74	6,2	17,4	17,6	74	6,2	17,5	17,7	75	6,0	17,4	17,8
5	17,2	17,4	74	6,0	17,3	17,5	75	6,0	17,4	17,7	75	6,0	17,5	17,9	75	6,0	17,6	17,9	75	5,8	17,5	18,0
5	17,3	17,6	75	5,8	17,7	17,7	75	5,8	17,8	17,9	75	5,8	17,9	18,0	75	5,8	17,6	18,0	75	5,6	17,6	18,2
5	17,4	17,8	76	5,6	17,5	18,0	76	5,5	17,6	18,1	76	5,6	17,7	18,2	76	5,6	17,8	18,3	77	5,4	17,8	18,4
5	17,5	18,0	77	5,4	17,6	18,2	77	5,3	17,7	18,3	77	5,4	17,8	18,4	77	5,4	17,8	18,4	77	5,4	17,8	18,4

Для определения влажности воздуха по таблицам необходимо найти страницу и колонку, над которой температура по «сухому» термометру соответствует отсчету по психрометру. Затем надо

спускаться по первому столбiku колонки до зачечения отсчета температуры по «смоченному» термометру. Числа, расположенные рядом со значением температуры «смоченного» термометра во втором, третьем и четвертом столбиках, есть искомые величины влажности воздуха. Например, $t = 20,0^\circ$, $t_1 = 17,5^\circ$, $P = 1000$ мб. Из таблицы 3 находим, что $e = 18,0$ мб, $r = 77\%$ и $d = 5,4$ мб.

Если давление воздуха отличалось от 1000 мб или паблондия производились аспирационные психрометром, то для определения величин влажности воздуха надо пользоваться еще таблицей поправок к «смоченному» термометру. В этом случае сначала по температуре «сухого» и «смоченного» термометров находим поправочное число. Поправочные числа даны слева и справа каждой страницы под буквой n . По величине поправочного числа n и атмосферному давлению по таблице поправок (психрометрические таблицы В. А. Савица, стр. 243) находим поправку к «смоченному» термометру (Δt_1). После этого величины влажности воздуха определяем так, как уже говорилось выше, только температуру «смоченного» термометра берем с учетом поправки ($t_1 + \Delta t_1$).

Аспирационный психрометр очень удобен для измерения влажности воздуха в полевых условиях и особенно среди растений. Измерять влажность воздуха им можно на любом уровне без специальных защитных установок.

Аспирационный психрометр по принципу действия аналогичен стационарному. Основу аспирационного психрометра составляют два одинаковых психрометрических термометра 1, 2 (рис. 32) с резервуарами цилиндрической формы. Термометры закреплены в специальной оправе, состоящей из трубки 3, раздаивающейся книзу на две трубы 5, 6, планок 4 и аспиратора 7. В трубках 5 и 6 имеются еще трубы 11 и 12, в которых помещаются резервуары термометров. Двойные трубы защищают резервуары от нагревания солнечными лучами. Чтобы тепло от корпуса не передавалось к резервуарам, трубы изолированы от корпуса пластмассовыми кольцами 9 и 10. Внутри аспиратора 7, который навинчивается на верхний конец трубы 3, находится пружинный механизм. Пружина заводится ключом 8. В результате работы аспиратора вокруг резервуаров термометров создается постоянный ток воздуха со скоростью 2 м/сек. Поэтому показания прибора не зависят от скорости ветра в окружающем воздухе.

Для лучшего отражения солнечных лучей металлические части прибора отполированы.

Благодаря изоляции резервуаров термометров от корпуса, хорропей полировка его и искусственная вентиляция аспирационный психрометр не требует дополнительной защиты от действия солнечных лучей и движения воздуха.

Психрометр подвешивают за железный крюк-подвес 13, который может быть ввинчен в деревянный стол на требуемую высоту. Для смягчивания батиста пользуются резиновой грушей 14 с присоединенной к ней стеклянной пилеткой 15 и зажимом 16.

При работе с аспирационным психрометром необходимо следить за сохранностью его полировки, за исправностью трубок, предохраняющих резервуары, и постоянством аспирации. Порча хотя бы одного из этих элементов может значительно исказить показания прибора. Для предохранения полировки прибора от порчи рекомендуется психрометр всегда держать в футляре, не брать его погнутыми руками, предохранять от отпотевания и царапин. После наблюдений прибор обязательно протирают замшой или чистой тряпкой. Аспирацию психрометра необходимо периодически проверять, так как со временем могут измениться скорость аспирации и следовательно, показания прибора.

Для проверки скорости аспирации надо определить скорость вращения барабана, установленного в головке аспирационного психрометра. Для этого заводят пружину и ожидают, когда в оконечности 17 аспиратора появится метка, сделанная для проверки психрометра. В этот момент вентилятор задерживает кусочком картона. Затем пружину заводят еще раз и аспираторпускают одновременно с секундомером. Когда в оконечности вторично появится

метка, секундомер останавливают и отмечают время полного оборота. Если полученное время оборота барабана соответствует времени, указанному в поверочном свидетельстве, прибор исправен. В среднем барабан делает полный оборот за 80—95 секунд.

Для правильной работы психрометра необходимо следить за чистотой батиста и своевременно менять его. Повязка батиста к резервуару «смоченного» термометра у аспирационного психрометра производится так же, как и у стационарного. Только у аспирационного психрометра батист подрезают непосредственно под резервуаром термометра.

Установка. В стационарных условиях прибор подвешивают на специальном столе с наветренной стороны. Наблюдатель при отсчетах должен подходить с подветренной стороны, то есть так, чтобы воздух шел от прибора к столбу и наблюдателю. В полевых условиях психрометр можно подвесить на тонком шесте, закрепленном в почве с помощью трех растяжек, или положить горизонтально на козлы (рис. 33). При горизонтальном положении психрометр должен быть всегда одинаково повернут к ветру, а трубы затенены экраном от солнечных лучей. При большом ветре во время наблюдений на аспиратор надевают с наветренной стороны защиту 18, которая устраивает действие ветра на скорость аспирации.

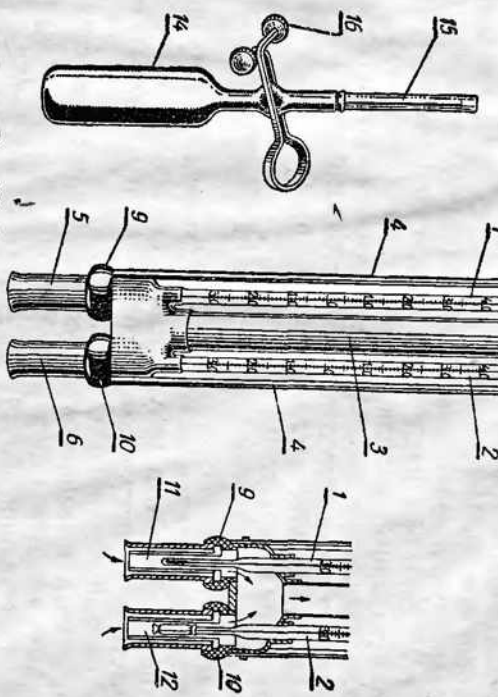
Наблюдения.

Аспирационный психрометр выносят на место определения влажности воздуха зимой за 30 минут, а летом за 15 минут до начала наблюдения. Непосредственно перед наблюдением смачивают батист дистиллированной водой из резиновой группы. Для этого, ослабив зажим 16, поднимают воду из груши 14 в стеклянную пипетку 15 до указанной на ней черты и вводят пипетку в трубку 12, в которой находится резервуар «смоченного» термометра, на 3—5 секунд. Затем пипетку выводят из трубки, а воду из нее спускают в группу. После этого ключом 8 заводят до отказа пружину вентилятора. Заводить пружину вентилятора надо осторожно, чтобы не сорвать ее.

Отсчеты берут летом через 4 минуты после смачивания, а зимой через 30 минут. При отсчетах вентилятор должен работать полным ходом. Поэтому зимой за 4 минуты до отсчетов вентилятор заводят вторично.

При наблюдениях сначала быстро отсчитывают десятые доли градуса на каждом термометре, а потом целые градусы.

Вывчисление величин влажности воздуха по показаниям аспирационного психрометра выполняется так же, как и при работе со стационарным. Абсолютную влажность (*e*) определяют по психрометрической формуле (17), только для аспирационного психрометра коэффициент $A = 0,00662$.



Относительная влажность воздуха рассчитывают по формулам (13) и (14), а точку росы определяют по таблице максимальной упругости.

Все величины влажности воздуха могут быть определены по психрометрическим таблицам (см. стр. 52).

Так как таблицы составлены для аспирационного психрометра и для давления 1000 мб, то сначала к показаниям «смоченного» термометра вводится поправка на аспирацию и давление, а потом уже по исправленным значениям температуры «смоченного» термометра находят величины влажности воздуха (e, r, d).

Волосной гигрометр (рис. 34) служит для измерения относительной влажности воздуха. Приемной частью его является обезжиренный волос *l*, натянутый на металлическую раму *2*. Верхний конец волоса закреплен на нижнем конце регулировочного винта *3* с контргайкой *12*. Ослабив контргайку поворотом винта *3*, можно менять натяжение волоса на раме. Нижний конец волоса закреплен в отверстии металлической дужки *5*, нажимкой на стержень *6*, зажатый винтом *9*. Крепление волоса внизу и вверху производится деревянными штифтами *4* и шеллаком. Стержень *6* и стрелка *8* укреплены на одной оси *11*. Поэтому изменение длины волоса в результате изменения влажности воздуха вызывает поворот стрелки вокруг оси и смещение ее вправо; при уменьшении влажности волос удлиняется и стрелка движется вправо. Так как волос меняет свою длину неравномерно, то и деления шкалы тоже неравные: в начале шкалы деления крупнее, чем в конце. Волос поддерживается внатянутом состоянию шаровидным грузиком *7*, которым заканчивается стержень *6*.

Волосной гигрометр устанавливают в психрометрической будке на специальном штативе между «сухим» и «смоченным» термометрами (рис. 26, 7). Перед работой гигрометра показания его сравнивают с показаниями психрометра. Для установки стрелки гигрометра на любом делении надо освободить

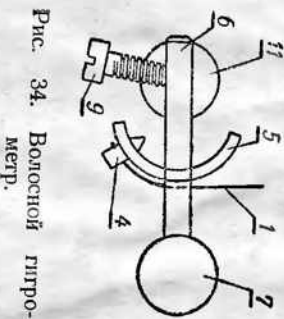
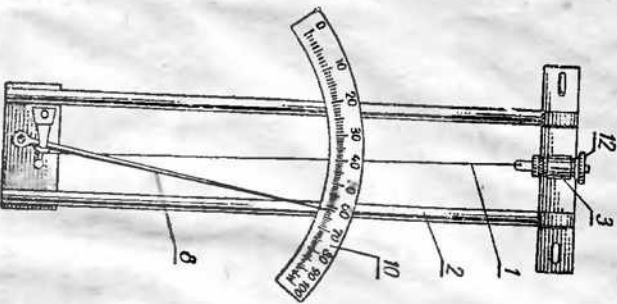


Рис. 34. Волосной гигрометр.

контргайку *12* и поворачивать регулировочную винт снова закрепляют контргайкой.

Отсчеты по гигрометру производятся с точностью до 1%. Для контроля исправности работы прибора после каждого отсчета стрелку отводят немного влево. Если стрелка возвращается к первоначальному положению, прибор работает нормально.

Волосной гигрометр — относительный прибор. Поэтому в его показания вводят поправки, которые обычно получают сравнением показаний гигрометра с показаниями психрометра. Большой частью волосной гигрометр используют для определения влажности воздуха при отрицательных температурах, когда психрометры могут давать значительную погрешность. Так как для определения поправок к гигрометру необходимо иметь параллельные наблюдения по гигрометру и психрометру, то отсчеты по гигрометру производят в теплое время года.

Для получения поправок для волосного гигрометра строят график по ежедневным отсчетам психрометра и волосного гигрометра. По оси абсцисс откладывают относительную влажность по гигрометру, а по оси ординат — по психрометру (рис. 35). При исправленном психрометре и гигрометре все точки, соответствующие влажности воздуха по психрометру и гигрометру, располагаются узкой полосой, среди которых проводят среднюю линию, или линию зависимости.

Исправленные значения влажности воздуха по гигрометру определяют по графику следующим образом. На оси абсцисс находят точку, соответствующую показанию гигрометра, и из этой точки восстанавливают перпендикуляр до пересечения с линией зависимости. Затем через точку пересечения перпендикуляра с линией пересечения данной линии с осью ординат и будет искомым значением относительной влажности воздуха.

Например, отсчет по гигрометру 70%. Пользуясь графиком (рис. 35), находим, что исправленное значение влажности воздуха равно 67%.

Обычно на основании данных, снятых с графика, составляют таблицу, которой и пользуются в работе (такая таблица показана в правой стороне рис. 35). Показания гигрометра в этой таблице находятся в правом вертикальном столбце (десятки) и верхнем горизонтальном (единицы). Исправленное значение влажности воздуха определяется на пересечении десятков и единиц влажности воздуха по гигрометру. Допустим, отсчет по гигрометру составляет 75%. Исправленное значение относительной влажности воздуха (по таблице) для этого отсчета будет 73%.

Для проверки работы волосного гигрометра в зимнее время строят графики поправок для осенних и весенних месяцев. Сравнение этих поправок свидетельствует о правильной работе гигрометра.

По данным измерений относительной влажности и температуры воздуха можно рассчитать абсолютную влажность, дефицит влажности и точку росы.

Определив максимальную упругость (E) по температуре воздуха t (приложение, табл. 2 или 3), рассчитывают по формуле (13) абсолютную влажность воздуха:

$$r = \frac{e}{E} \cdot 100$$

и по формуле (14) дефицит влажности воздуха:

$$d = E - e.$$

Точку росы находят в таблице максимальной упругости по величине абсолютной влажности воздуха.

Пример. Определим влажность воздуха по гигрометру $r = 77\%$, температура $t = 20,0^\circ$. Найдем абсолютную влажность воздуха e , дефицит влажности d и точку росы τ .

Максимальная упругость $E = 23,4$ мб при $t = 20^\circ$.

$$e = \frac{rE}{100} = \frac{77 \cdot 23,4}{100} = 18,0 \text{ мб.}$$

Дефицит влажности определяют по формуле (14):

$$d = E - e = 23,4 - 18 = 5,4 \text{ мб.}$$

Точка росы при абсолютной влажности 18 мб равна $15,8^\circ$ (приложение, табл. 2).

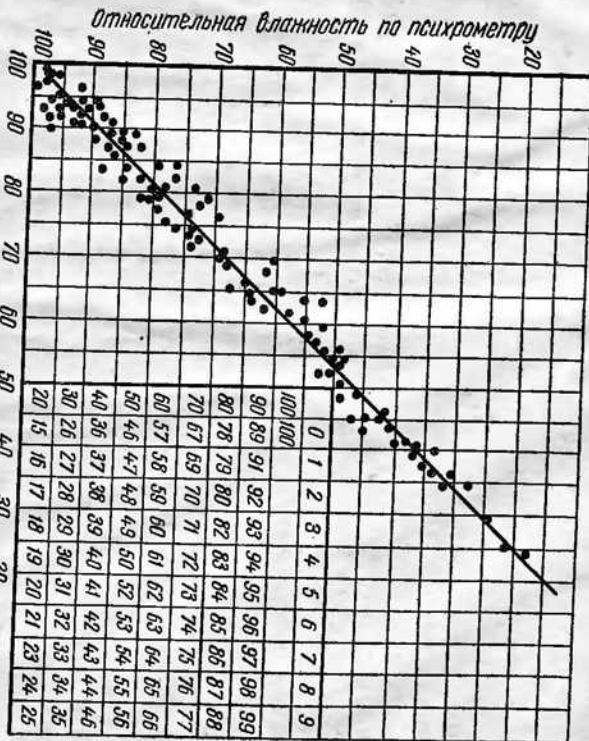


Рис. 35. График поправок для волосного гигрометра.

Пленочный гигрометр (рис. 36) служит для измерения относительной влажности воздуха. Приемной частью его является натянутая на металлическое кольцо гигроскопическая животная пленка 1 (мембрана), в центре которой находится металлическая шайба. Приемник прикрепляется подпружинами винтами 6 к металлической раме 8. Тягой 2 мембрana соединена с передаточным механизмом прибора, состоящим из оси 4, стрелки 5 и грузика 3, который обеспечивает постоянное натяжение пленки. Благодаря такому устройству передаточного механизма изменения других свойств мембранны, происходящие в результате изменения влажности воздуха, передаются на стрелку. Отсчет влажности воздуха производится по шкале 7. Деления шкалы равномерны, так как упругие свойства пленки меняются равномерно с изменением влажности воздуха.

Для крепления прибора в металлической раме есть отверстия 9 и лапки 10. Стрелку гигрометра устанавливают на заданную влажность воздуха винтом 6.

Пленочный гигрометр — прибор относительный. Поэтому в его показания, как и в показания волосного гигрометра, вводятся поправки, полученные сравнением показаний пленочного гигрометра с показаниями психрометра.

Гигограф применяется для непрерывной регистрации изменений относительной влажности воздуха. Гигографы бывают волосные и пленочные. Ниже дается описание волосного гигографа (рис. 37).

Приемной частью волосного гигографа является пучок из 35—40 штук обезжиренных волос 1, который закрепляется в точках 2 и 3 помощью эbonитовых втулок на металлическом кронштейне 5.

Передающая часть гигографа представляет собой систему рычагов двух коленчатых валиков. Пучок волос в середине одет на крючок 4, который тягой соединен с рычагом 7. Таким образом, изменения длины волос воспринимаются рычагом 7 и передаются на рычаг 9, соприкасающийся с рычагом 10 второго коленчатого вала. Вторым рычагом этого вала является стрелка 11 с первом на конце. Криволинейные рычаги 9 и 10 скользят один по другому. При такой передаче исключается обрыв волоса при случайном

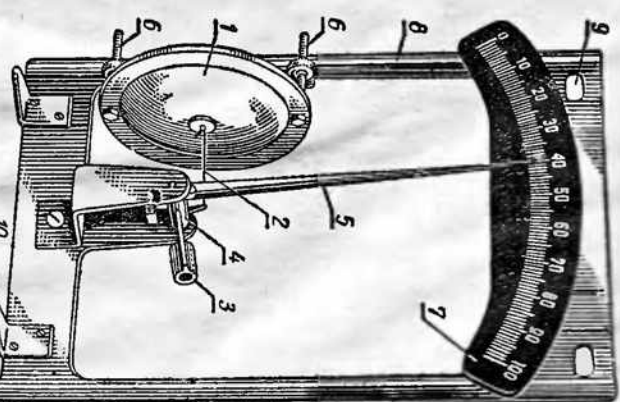


Рис. 36. Пленочный гигрометр.

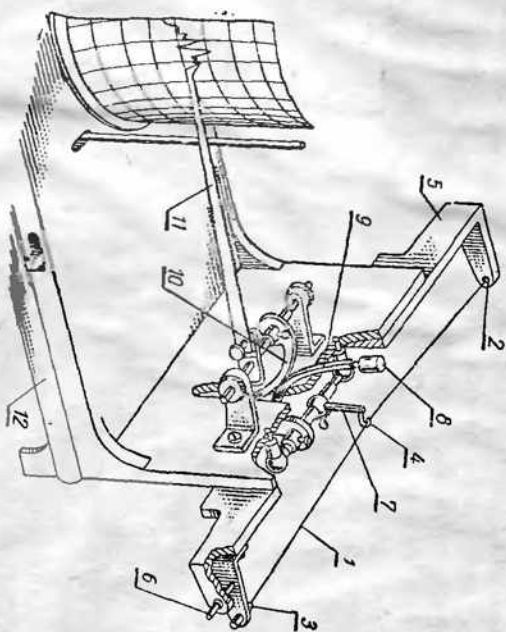


Рис. 37. Гигрометр.

нажиме на рычаг 11. Кроме того, криволинейные рычаги компенсируют неравномерность удлинения волоса. Благодаря криволинейным рычагам, кривизна которых специально рассчитана, достигается равномерное перемещение пера по ленте при неравномерных изменениях длины пучка волос с изменением влажности. Волос находится в пятиугольном состоянии благодаря противовесу 8, которым заканчивается рычаг 9. Изменение чувствительности гигрометра осуществляется изменением длины рычага 7 и длины пучка волос в точках крепления 2 и 3. Полгонка чувствительности гигрометра заключается в том, чтобы размах пера по ленте при изменениях влажности соответствовал фактическому изменению влажности воздуха.

Регистрирующей частью гигрометра служит барабан с часовым механизмом. В зависимости от скорости вращения барабана гигрометры могут быть суточными и недельными. Часы заводят ключом по направлению, указанному стрелкой. На барабан надевают бумажную ленту, расграфленную параллельными горизонтальными линиями и вертикальными дугами. По вертикальным дугам определяют время, а по горизонтальным прямым линиям — относительную влажность воздуха. Каждое деление на ленте для влажности воздуха соответствует 1 %, а по времени — 15 минутам для суточного и 2 часам для недельного гигрометра.

Барабан устанавливается на вертикальную ось, имеющую неподвижную шестерню, с зубцами которой соединяются зубцы колесики барабана. Весь прибор смонтирован на специальной подставке 12 и закрывается крышкой. Волос от механических повреждений предохраняется защитой.

Установка. Гигрометр устанавливают в оливой бутике с термографом. Перед работой прибора барабан заворотят до отказа и на него надевают ленту, на обороте которой отмечают время установки. Ленту на барабане закрепляют специальным лентодержателем, треугольное перо заполняют чернилами и с помощью прибора прижимают к ленте. Перо должно быть установлено на то же деление, которое соответствует фактической относительной влажности воздуха (по психрометру). На заданное деление влажности воздуха перо гигрометра устанавливается специальным установочным винтом 6, вращение которого меняет латжение волоса.

Так как гигрометр является прибором относительным, то результаты измерения влажности воздуха необходимо сравнивать с показаниями психрометра. Для этой цели во время отсчета психрометра делаются засечки на гигрометре легким пальцем пера.

Обработка ленты гигрометра производится графическим методом один раз в месяц. Для этого строят график по отсчетам психрометра и отсчетам, снятым с ленты гигрометра, аналогично графику поправок для гигрометра. По оси абсцисс откладывают относительную влажность воздуха по гигрометру, по оси ординат — по психрометру. Среди полученных точек на графике проводят плавную кривую линию зависимости, по которой определяют поправки для гигрометра.

Дальнейшая обработка ленты заключается в том, что, пользуясь полученным графиком для каждого отсчета по гигрометру, снятого с ленты, находят соответствующий отсчет по психрометру, который и будет исправленным отсчетом гигрометра. Отсчеты с ленты гигрометра снимаются с точностью до 1 %. Исправленные отсчеты гигрометра заносятся в таблицу.

Для летних месяцев составляют графики на каждый месяц, а для обработки записей зимних месяцев используют графики осенних и весенних сезонов.

Если при работе в зимних условиях на волосе прибора образуется лед, его нельзя удалять механически. В этом случае прибор надо занести в плохо обогреваемое помещение и дать постепенно растаять льду.

В случае выхода зимой стрелки гигрометра за пределы шкалы необходимо перевести ее, изменения натяжение волоса установочным винтом 6.

Обработка наблюдений по пленочному гигрометру проводится так же, как и по волосному.

Глава V. НАБЛЮДЕНИЯ НАД ОБЛАКАМИ

Облачность называется степень покрытия неба облаками. Сведения об облачности и характере облаков имеют большое значение. Облака уменьшают приток солнечной радиации и излучение

Земли. Из них выпадают осадки. По облакам можно судить о процес сах, происходящих в атмосфере. Различным воздушным массам и различным фронтам свойственны различные облака. Поэтому наблюдения за облачностью дают возможность предвидеть предстоящие изменения погоды на короткий срок.

При наблюдении за облачностью определяются преимущественно количество (облачность) и формы облаков.

ЗАДАНИЕ

1. Ознакомиться с атласом облаков * и подобрать фотографии облаков соответствию их классификации. Определить количество и формы облаков в данный момент.
2. Подобрать фотографии облаков (по «Атласу облаков» или прилагаемым рисункам), наблюдавшихся при прохождении теплых и холодных фронтов.

§ 19. Определение количества облаков

Количество облаков определяется по 10-балльной шкале (от 0 до 10). Полное покрытие неба облаками соответствует 10 баллам, ясное небо — 0; 0,1 покрытия неба облаками — 1 баллу, 0,2 — 2 балла и т. д.

Наблюдения за количеством облаков проводятся на глаз с одного и того же места. Обычно, помимо общего количества облаков, записывают отдельно количество нижних облаков, к которым относятся слоистые, слоисто-кучевые, слоисто-дождевые, кучевые и кучево-дождевые облака. День считается пасмурным, если облачность 8 баллов и больше, и ясным, если облачность 2 балла и меньше.

§ 20. Определение форм облаков

Формы облаков очень разнообразны. По внешнему виду, строению и высоте распространения они объединены в четыре семейства (морфологическая классификация облаков), в которых различают 10 основных родов (форм) облаков. Каждый из 10 основных родов в зависимости от условий образования и особенностей внешнего строения подразделяется еще на виды и разновидности. Подробные сведения о формах облаков, их видах и разновидностях даны в «Атласе облаков».

I семейство. К нему относятся облака верхнего яруса, наблюдающиеся на высоте более 6000 м: перистые — *Cirrus* (*Ci*) (рис. 38), перисто-кучевые — *Cirrocumulus* (*Cc*) (рис. 39) и перисто-слоистые облака — *Cirrostratus* (*Cs*) (рис. 40). Облака верхнего яруса состоят из мелких ледяных кристалликов. Это очень



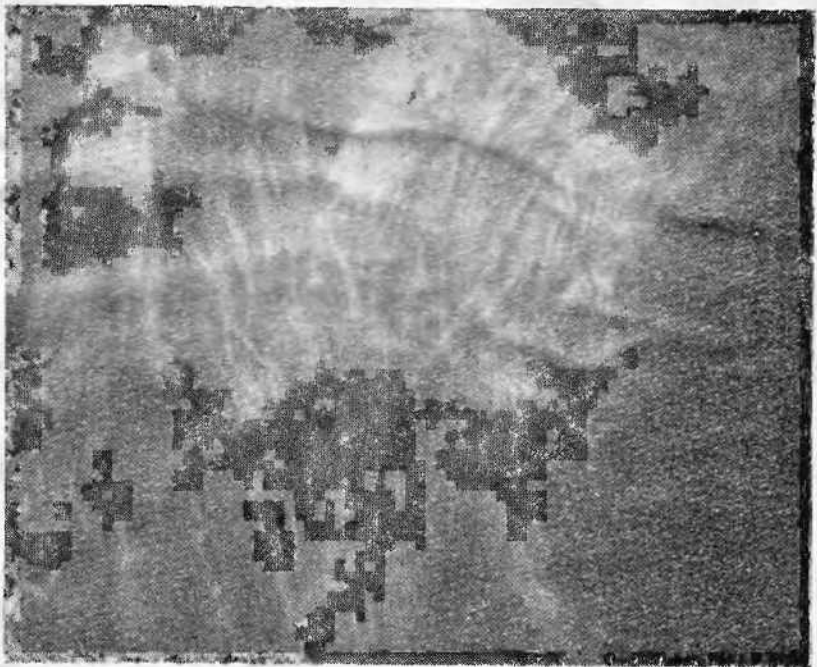
Рис. 38. Перистые облака *Cirrus* (*Ci*).



Рис. 39. Перисто-кучевые облака — *Cirrocumulus* (*Cc*).

* Атлас облаков. Гидрометеоиздат, Л., 1957.

Рис. 40. Перисто-слоистые облака — Cirrostratus (Cs).



тонкие облака, через которые просвечивают не только солнце и луна, но часто и голубое небо. Осадки из них не выпадают.

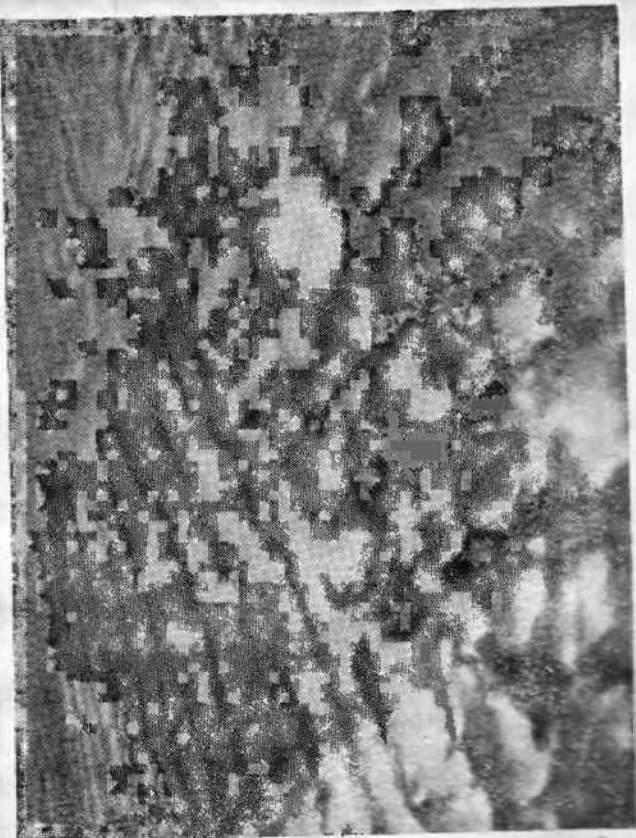
Перистые облака (Ci) по внешнему виду представляют собой отдельные белые очень тонкие волокна, распределющиеся по небу то более или менее параллельно, то причудливо перепутанным клубком.

Перисто-кучевые облака (Cc) по внешнему виду напоминают очень мелкие белые волны, хлопья или рябь.

Перисто-слоистые облака (Cs) имеют вид белой или голубоватой тонкой однородной пелены. Иногда эти облака настолько тонки, что их удается обнаружить только по наличию гало (круги вокруг солнца или луны).

II семейство включает облака среднего яруса, высота распространения которых от 2000 до 6000 м. К этому семейству относятся высококучевые — Altocumulus (Ac) (рис. 41) и высокослоистые

Рис. 41. Высококучевые облака Altocumulus (Ac).



3 М. Л. Павлова

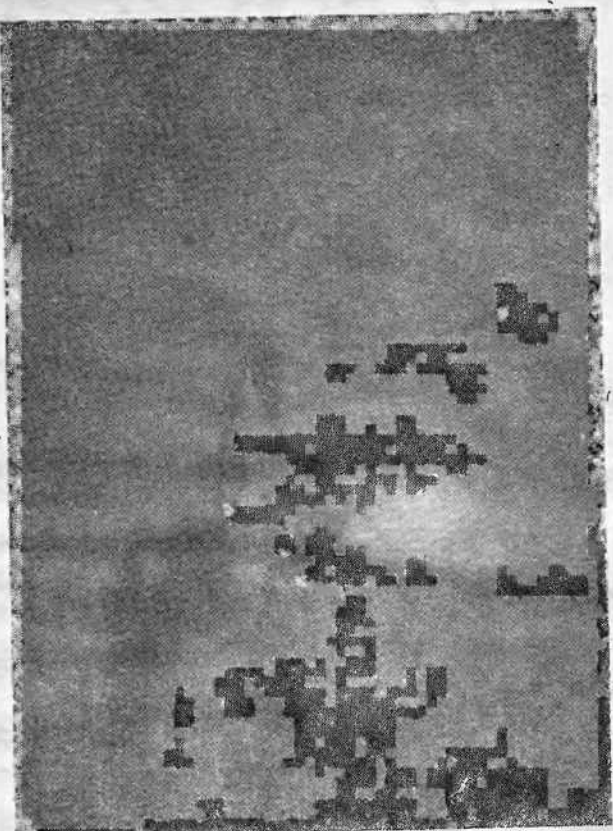


Рис. 42. Высокослоистые облака — Altostratus (As).



Рис. 43. Слоистые облака — Stratus (St).

облака — Altostratus (As) (рис. 42). Облака среднего яруса значительно плотнее облаков верхнего яруса. Состоит они преимущественно из переохлажденных капель воды и кристаллов льда. Зимой из них могут выпадать небольшие осадки.

Высокослоистые облака (Ac) белого, серого и синеватого цвета, деленные просветами голубого неба, но могут сливаться почти в сплошной покров.

Высокослоистые облака (As) серого или синеватого цвета, представляют собой однородную пелену слегка волнистого строения. На нижней поверхности высокослоистых облаков наблюдаются слабо выраженные волны.

Солнце и луна просвечивают через тонкие высокослоистые и совсем не просвечивают. Края облаков, проходя вблизи солнца и луны, окрашиваются в слабые радужные тона.

III семейство объединяет облака нижнего яруса: слоисто-кучевые

(Sc) (рис. 43) и слоисто-дождевые облака Stratocumulus (Sc) (рис. 44).

Эти облака лежат ниже 2000 м и имеют вид низких се-

ных покровов. Солнце через облака нижнего яруса, как правило,

гряды, пластины или хлопья серого цвета, разделенные просветами и стивающиеся в сплошной покров. Состоит они преимущественно из капелек воды. Из слоисто-кучевых облаков осадков обычно не выпадает.

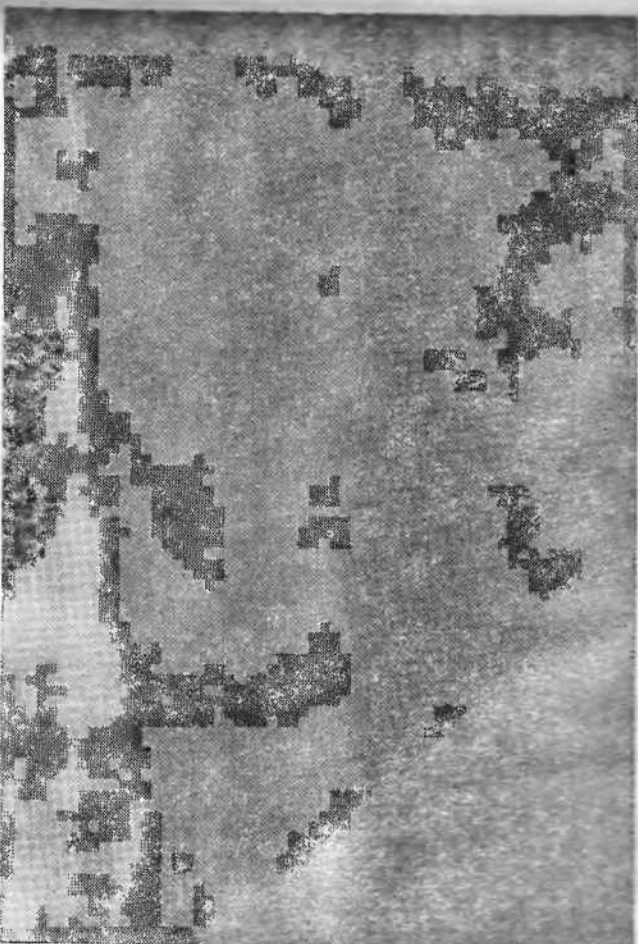


Рис. 44. Слоисто-кучевые облака — Stratocumulus (Sc).

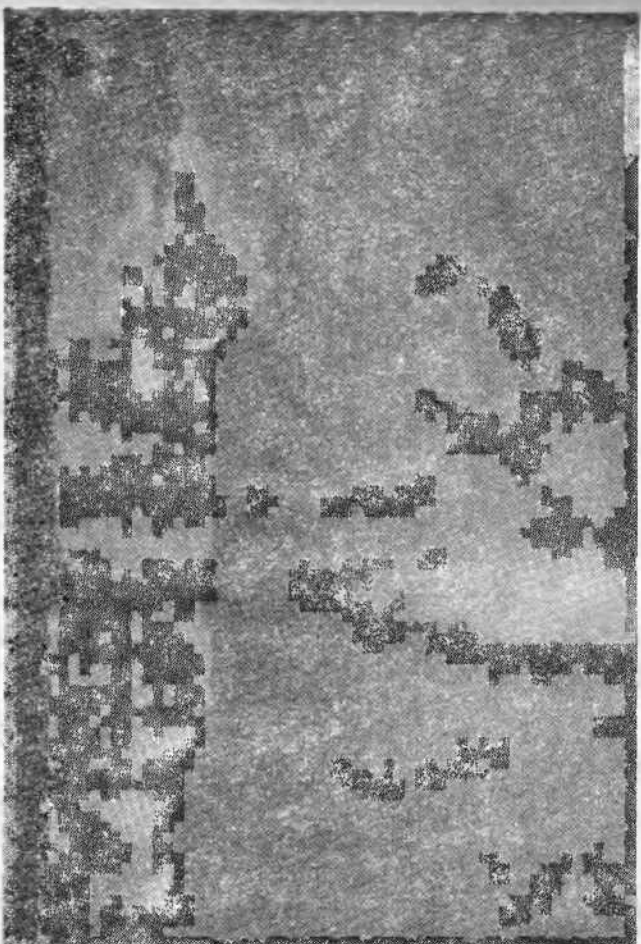


Рис. 45. Слоисто-дождевые облака — Nimbostratus (Ns).

Слоистые облака (*St*) покрывают все небо однородной серой или желто-серой пеленой. По внешнему виду слоистые облака никогда не являются разорванной, клошковатой. Слоистые облака состоят из мельчайших капель воды, ледяных кристаллов и снежинок. Осадки выпадают из слоистых облаков редко и то в виде мороси, мелкого снега или отдельных снежных зерен.

Слоисто-дождевые облака (*Ns*) представляют собой сплошной облачный слой темно-серого цвета, иногда с желтоватым или синеватым оттенком. Состоят они из переохлажденных капелек воды и ледяных кристаллов. Из слоисто-дождевых облаков выпадают осадки обложкой характера и виде дождя или снега.

IV семейство. К нему относятся облака вертикального развития. Нижняя граница их может быть на высоте 400—1500 м, а верхняя граница достигает верхнего яруса. К облакам вертикального развития относятся кучевые — *Cumulus* (*Cu*) (рис. 46) и кучево-дождевые облака — *Cumulonimbus* (*Cb*) (рис. 47).

Облака вертикального развития имеют вид отдельных плотных облачных масс с плоскими основаниями и причудливыми вершинами, напоминающими громоздящиеся купола и башни. Вершины облаков всегда ослепительно белые, а основания могут быть сероватые или темно-серые.

Кучевые облака (*Cu*) могут быть на небе в виде отдельных редких облаков или в виде значительного скопления их. Располагаются по небу обычно беспорядочно. Кучевые облака состоят из капель воды, размеры которых у вершины облака больше, чем у основания. Кучевые облака наблюдаются летом. Осадков не дают.

При сильном развитии кучевые облака переходят в мощные кучевые, представляющие собой причудливые нагромождения с темными основаниями и очень белыми клубящимися вершинами.

Кучево-дождевые облака (*Cb*) имеют большую вертикальную мощность и представляют собой горообразные облачные массы с темными, иногда синеватыми, основаниями и с белыми вершинами волокнистого строения. Кучево-дождевые облака наблюдаются в виде отдельных облаков, но могут закрывать на короткое время весь небосвод. В верхней части кучево-дождевые облака состоят из ледяных кристаллов и переохлажденных капель, а в нижней — из капелек воды с примесью снежинок или капель дождя. Солнце или луна не просвещивают через кучево-дождевые облака.

Из кучево-дождевых облаков выпадают осадки ливневого характера. Летом может выпадать град.

Во время наблюдений над формами облаков вначале определяют семейство, а затем уже род и вид облаков. Названия облаков записываются сокращенно.

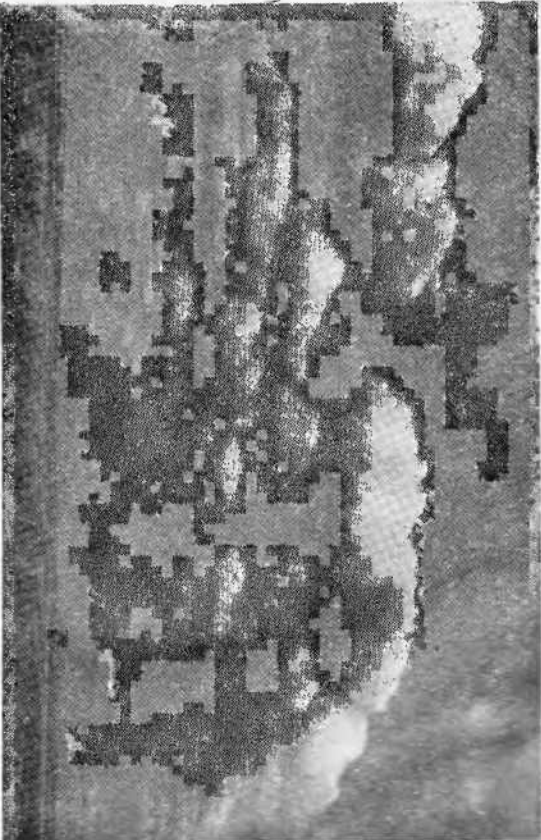


Рис. 46. Кучевые облака — *Cumulus* (*Cu*).



Рис. 47. Кучево-дождевые облака — *Cumulonimbus* (*Cb*).

Г л а в а VI. ИЗМЕРЕНИЕ ОСАДКОВ И ИСПАРЕНИЯ

ЗАДАНИЕ

1. Изучить устройство и установку дождемера, осадкомера, плювиографа, снегомерной рейки, весового снегомера, испарителя ГИ-500-50 и правила измерений по этим приборам.
2. Измерить количество осадков измерительным стаканом и перевести их в м^3 на 1 га. Определить, какое количество воды в м^3 на 1 га получит поле и какова интенсивность дождя, если за 10 часов выпало 31 мм осадков.
3. Измерить высоту и плотность снежного покрова. Рассчитать запасы воды в снеге в м^3 на 1 га при отсчетах по весовому снегомеру, соответствующим 15 и 80 делениям.
4. Построить график (диаграмму) годового хода осадков и высоты снежного покрова по данным ближайшей метеорологической станции.
5. По данным наблюдений по испарителю ГИ-500-50 рассчитать испарение в мм, если 1 августа монолит весил 42 450 г, 6 августа — 42 980 г. С 1 по 6 августа выпало 28,4 мм осадков, пропавшейся воды между сроками измерений не было.

§ 21. Измерение осадков

Атмосферными осадками называется вода, выпадающая из облаков в жидком или твердом виде.

Количество выпавших осадков измеряется толщиной слоя воды в миллиметрах, который образовался бы на горизонтальной поверхности при условии, что выпавшие осадки не просачивались в почву, не стекали и не испарялись.

Для практических целей часто приходится выражать количество выпавших осадков в $\text{м}^3/\text{га}$ или в $\text{т}/\text{га}$. Так как осадки в 1 мм соответствуют 0,001 м, а 1 га = 10 000 м², то объем воды, выпавшей на 1 га, будет равен 10 м^3 , или 10 $\text{т}/\text{га}$ ($0,001 \times 10 000$). Следовательно, для выражения осадков в $\text{м}^3/\text{га}$ или $\text{т}/\text{га}$ надо количество их в миллиметрах умножить на 10. Например, выпало 22 мм осадков, значит на 1 га выпало 220 м^3 , или 220 т воды.

В зимнее время проводят измерения снежного покрова. Определяют высоту и плотность его. Высота снежного покрова измеряется в сантиметрах, а плотность выражается отношением объема воды в снеге (cm^3) к объему снега (cm^3) или отношением веса снега (г) к объему снега (cm^3).

Атмосферные осадки являются основным источником накопления влаги в почве. Отсутствие или очень малое количество осадков ведет к пересыханию верхнего слоя почвы. В результате этого нарушаются водоснабжение сельскохозяйственных культур и снижается их урожайность. Неблагоприятно сказывается на растениях и выпадение чрезмерно большого количества осадков. В этом

случае может быть вымокание растений, смыв верхнего горизонта почвы, особенно при ливневых осадках. Зимой на большей части СССР осадки выпадают в виде снега. Снежный покров, обладая малой теплопроводностью, предохраняет почву от глубокого промерзания. Одновременно снежный покров является накопителем зимних осадков. При таянии его весной значительно понижаются запасы продуктивной влаги в почве.

Осадки очень сильно изменяются во времени и пространстве. В одни годы их выпадает много, в другие — мало. Обычно большие осадки выпадают на наветренных склонах, вблизи больших водоемов, лесных массивов и т. д. Поэтому в сельскохозяйственном производстве необходимо вести наблюдения за осадками непосредственно на полях колхозов и совхозов.

§ 22. Приборы для измерения осадков

Для измерения количества осадков применяются дождемеры, осадкомеры, для определения интенсивности выпадения осадков — плювиографы и для наблюдений над снежным покровом — снегоизмерительные рейки и снегомеры.

Осадкомер Третьякова (рис. 48) применяется для измерения количества осадков, выпадающих в жидком и твердом виде. В комплекте осадкомера входят два цилиндрических ведра, крышка, защига и измерительный стакан.

Ведро 1 осадкомера имеет диаметр 169,5 мм, высоту 400 мм и приемную плошадь 200 см^2 . Внутри ведра втягана диафрагма в виде усеченного конуса. Для уменьшения испарения осадков в летнее время отверстие диафрагмы закрывается воронкой с маленьким отверстием для стока. С внешней стороны ведра для слива собранных осадков приложен носик, который закрывается колпачком с цепочкой. Цепочка также приплаяна к ведру. Крышка служит для того, чтобы закрывать ведро при переноске его с плошадки и на время таяния снега в нем. Собранные осадки выливают в измерительный стакан 5, который представляет собой мензуруку с делениями. Одно деление стакана по объему равно 2 см^3 . При приемной части ведра в 200 см^2 такая величина деления соответствует 0,1 мм слоя воды в ведре.

Ведро осадкомера устанавливается в кольцевую оправу (таган), которая закреплена неподвижно на деревянном столбе или металлической подставке 2.

Для уменьшения влияния ветра на показания осадкомер имеет защиту 3. Она состоит из 16 планок, имеющих форму равнобедренной трапеции и изогнутых по шаблону. Верхние концы планок отогнуты во внешнюю сторону и находятся на одной высоте с верхним краем ведра. Планки крепятся кольцевым прутом и укосинами. Планки установлены на одинаковом расстоянии друг от друга и соединены между собой отрезками цепочки.

Установка. Осадкомер устанавливают в защищенном от сильных ветров месте. Одновременно осадкомер должен быть удален от окружающих предметов, чтобы он не был заслонен при каждом дожде.

Высота деревянного столба или металлической подставки для осадкомера 1,6 м от земли. В этом случае приемная часть осадкомера будет находиться на высоте 2 м. Для смены ведер около столба должна быть подставка 4.

Наблюдения по осадкомеру ведутся ежедневно четыре раза в сутки. Во время наблюдений производится смена ведер. Закрытое крышкой ведро выносится из помещения и устанавливается в кольцевую оправу, а снятое ведро закрывают крышкой и переносят в помещение. Смена ведер обязательна, даже в те дни, когда осадки не были замечены наблюдателем.

Содержащиеся в ведре осадки переливают через носик в изварительно плавят при комнатной температуре, а потом только стакана и количество осадков в миллиметрах. Стакан во время измерений должен стоять вертикально. Если осадков окажется больше 10 мм, то измерение следует вести частями, сливая осадки несколько раз в стакан, и каждый раз записывать отсчитанные деления. Например, при первом наполнении стакана отсчитали 90 делений и при втором — 40. Записывается $90 + 40 = 130$ делений. Для перевода их в миллиметры следует разделить число делений стакана на 10. В нашем примере выпало 13 мм осадков.

Почвенный дождемер (рис. 49) предназначен для измерения жидких осадков почти на уровне почвы. Он состоит из дождемер-

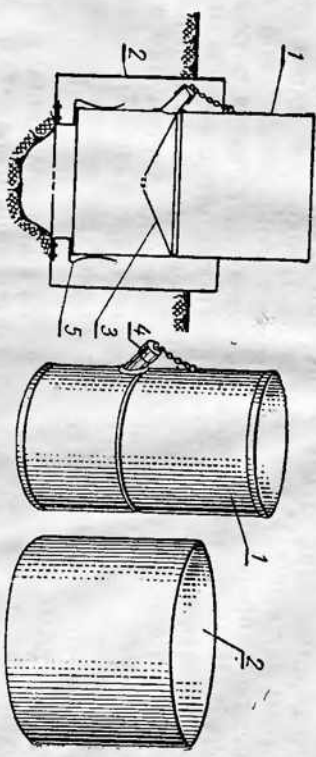


Рис. 49. Почвенный дождемер.

ного ведра 1 и гнезда 2 для его установки. Дождемерное ведро имеет форму цилиндра. Высота его 40 см, диаметр 25,2 см, приемная поверхность 500 см^2 . На высоте 17 см от дна плоскость ведра вплита конусовидная диафрагма 3 с шестью отверстиями у вершины ее. С внешней стороны ведра, ниже диафрагмы, имеется поясок 4 для слияния выпавших осадков. Носик закрывается колпачком, прикрепленным цепочкой к ведру. Диафрагма и колпачок необходимы для предохранения собранных осадков от испарения, а также от загрязнения ведра. Гнездо для установки ведра изготавливается из листовой стали и имеет форму цилиндра высотой 28 см и диаметром 35 см.

В дне гнезда имеются отверстия для стока воды, попавшей в гнездо, и три пружинящих опоры 5 для установки дождемерного ведра.

Установка. Почвенный дождемер устанавливают на открытой площадке. Гнездо дождемера помещают в приготовленное углубление в почве так, чтобы она плотно прилегала к его стенкам, а верхний край гнезда выступал над почвой на 5 см. Для стока воды из гнезда в середине ямы делают небольшое углубление диаметром 10—15 см. После этого дождемерное ведро горизонтально устанавливают на опоры в гнезде.

Измерение осадков производится так же, как по осадкомеру. Поступившие в ведро осадки переливают через носик в измерительный стакан, записывают число делений стакана и количество осадков в миллиметрах. Измерительный стакан дождемера большие измерительного стакана осадкомера. Каждое деление его равно 5 см^3 , или 0,1 мм слоя воды в дождемере. Такое дождемерное ведро может быть установлено и на высоте 2 м. В этом случае к нему нужна другая защита. Обычно для этого применяют металлическую защиту в виде усеченного конуса.

Дождемер Давитая (рис. 50) применяется для измерения жидкок осадков, он особенно удобен для измерения осадков среди растений.

Дождемер представляет собой цилиндрический стеклянный стакан 1 с расширенной верхней частью 2. Приемная площадь дождемера около 30 см^2 , высота 34 см. Для уменьшения испарения в стакан вставляется стеклянная воронка 3. На стенке стакана нанесены деления в миллиметрах.

Установка. Дождемер Давитая устанавливают на деревянной или металлической подставке с таким расчетом, чтобы верхний край дождемера находился на высоте 1,5 м от земли. Для учета осадков среди растений его можно устанавливать в междуурядье прямо на почву.

Осадкомер суммарный (рис. 51) предназначен для измерения количества осадков, выпавших в течение длительного промежутка времени, например за месяц, вегетационный период и т. д. Применяется он главным образом для измерения осадков в отдаленных и труднодоступных для наблюдений местах.

Суммарный осадкомер состоит из приемного цилиндра 1, плафонной защиты 2 и осадкосборника 3. Осадки, попавшие через приемный цилиндр, собираются в осадкосборник.

Приемный цилиндр представляет собой металлическое ведро с приемной поверхностью 500 см². Внутри него есть диафрагма, как у осадкомера Третьякова. В верхней части приемного цилиндра свободно подвешена планочная конусообразная плоскость с краем край защищает находящуюся в одной горизонтальной плоскости приемного цилиндра. Приемный цилиндр крепится в отверстие осадкосборника на фланце.

Осадкосборник представляет собой резервуар из двух конусов, соединенных между собой основаниями. В верхнем конусе сделан люк 4. Для предохранения от испарения осадков, попавших в осадкосборник, на месте установки осадкомера через люк наливают минеральное масло и люк закрывают крышкой. Устанавливают суммарный осадкомер на специальной металлической подставке 5.

Установка. Суммарный осадкомер укрепляется растяжками. Платформе, вали от деревьев и зданий, чтобы с них не могли попадать осадки в осадкомер.

На выбранном месте несколько заглубляют в почву ножки подставки, потом подставку закрепляют растяжками и проверяют по отвесу вертикальность ее. После этого поднимают и закрепляют на подставке осадкосборник с приемным цилиндром и защитой.

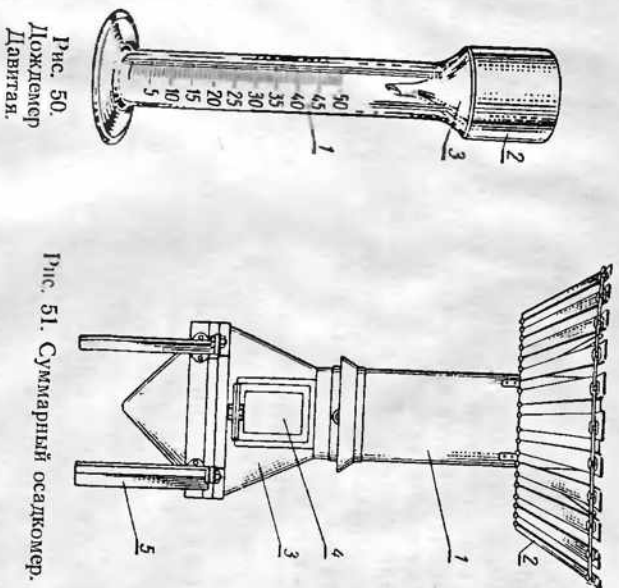


Рис. 50.
Дужемер
Давгай.

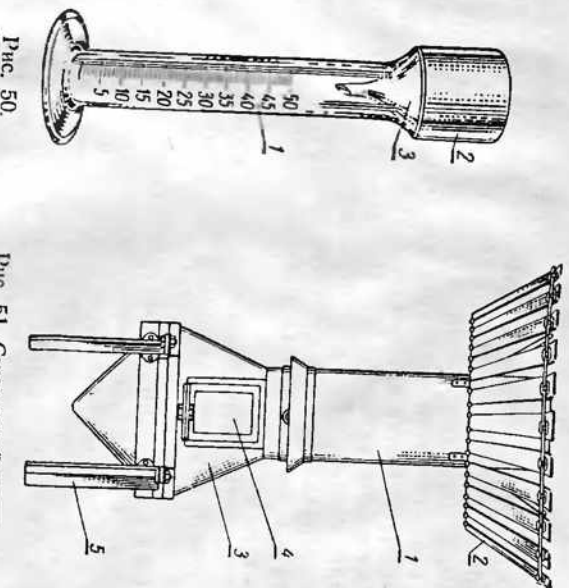


Рис. 51. Суммарный осадкомер.

Приемный цилиндр должен быть установлен строго вертикально, защищенные пластины подвешены без перекосов. При правильной установке защитные пластины должны слегка покачиваться, а верхние концы их находиться в одной горизонтальной плоскости с верхним краем приемного цилиндра. После сборки осадкомера в осадкосборник через люк 4 заливают минеральное масло, люк закрывают крышкой и закрепляют болтами, а пазы люка замазывают.

Измерение осадков. Люк осадкосборника вскрывают и из сборника выливают осадки в измерительный стакан. Если осадки были в виде снега или в осадкомере находился лед, то снег и лед предварительно растапливают и полученную воду переливают в измерительный стакан. При выливании осадков из осадкосборника нужно следить за тем, чтобы они не терялись и были учтены полностью. При подготовке суммарного осадкомера к дальнейшей работе необходимо очистить его от пыли и грязи и щадительно раскрасить те места, где образовалась ржавчина.

Плювиограф (рис. 52) служит для определения интенсивности осадков и распределения их во времени. Им можно измерить и общее количество осадков за какой-либо промежуток времени.

Плювиограф состоит из дождемерного сосуда 1 с приемной площадью 500 см² (как у почвенного дождемера). В нижней части

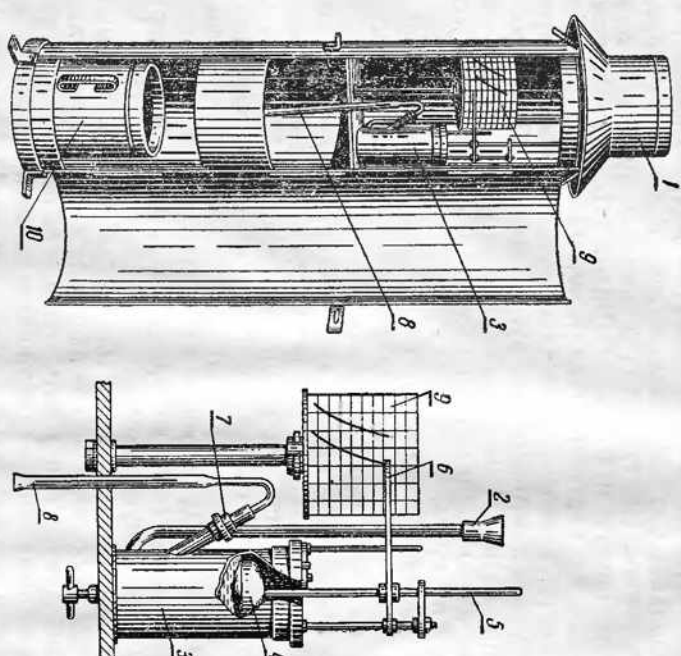


Рис. 52. Плювиограф.

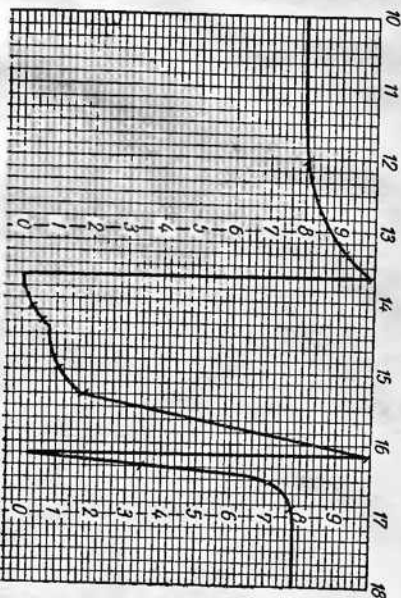


Рис. 53. Лента плювиографа.

сосуд переходит в конус, заканчивающийся сливной трубкой, которая вставляется в воронку 2, идущей от сосуда 3. Дождемерный сосуд укреплен на железном цилиндрическом шкафу, а сосуд 3 на полке внутри шкафа. Осадки, попавшие в дождемерное ведро, поступают в сосуд 3, внутри которого имеется металлический поплавок 4 с выступающей осью 5 и стрелкой 6, заканчивающейся пером. Сбоку сосуда 3 имеется трубка 7, в которую вставляется стеклянный сифон 8. Рядом с сосудом 3 укреплен на оси барабан 9 с часовым механизмом. На барабане крепится бумажная лента. Горизонтальные линии на ней соответствуют количеству осадков, а вертикальные дуги — времени. Одно горизонтальное деление равно 0,1 мм осадков, а одно вертикальное — 10 минутам. С помощью рычагов перо может быть подведено к барабану или отведено от него.

При выпадении дождя вода из дождемерного сосуда 1 переливается в сосуд 3. При этом поплавок, находящийся в сосуде, начинает подниматься, а перо, связанное с осью поплавка, будет писать на ленте, причем чем интенсивнее осадки, тем круче подъем кривой. Как только осадки заполнят сосуд 3, начинает действовать сифон 8. Вода из сифона выпливается в ведро 10 на дне шкафа. В этот момент перо опускается вниз и чертит на ленте вертикальную линию от верхнего края до нулевого положения. Если дождь продолжается, сосуд 3 снова наполняется водой и перо поднимается вверх. Если дождь прекратится, перо будет чертить на ленте горизонтальную линию.

На рисунке 53 дана лента плювиографа с записанным на ней ходом выпадения дождя — плювиограмма. Пользуясь такой плювиограммой, можно определить количество осадков за сутки и интенсивность выпадения их за определенные промежутки времени. Как видно из плювиограммы, дождь начался в 12 часов 05 минут

и почти с одинаковой интенсивностью выпадали до 15 часов 15 минут, после этого начался ливень, который несколько ослабел в 16 часов 28 минут и совсем прекратился в 16 часов 55 минут. По плювиограмме можно также определить количество осадков за каждый час. Например, с 15 до 16 часов интенсивность дождя была 7,5 мм, а с 16 до 17 часов — 9,3 мм.

Установка плювиографа. Прибор устанавливают на открытой площадке на специальном столбе с таким расчетом, чтобы приемная часть (дождемерное ведро) его была на высоте 2 м от поверхности почвы. Кроме того, плювиограф укрепляется проволочными оттяжками. При установке необходимо пронести по уровню горизонтальность верхнего края приемного сосуда (дождемерного ведра).

Ленту плювиографа меняют ежедневно в 19 часов по местному времени. При смене лент заводят часовой механизм. На обратной ленты отмечают время установки и снятия ленты, а также определенное по измерительному стакану количество осадков, слитых сифоном в ведро 10.

В зимнее время плювиограф не применяется, так как вода в сосуде может замерзнуть и повредить прибор.

Обработка плювиограммы. По записи на ленте отмечают время начала и конца дождя, выписывают количество осадков, выпавших за каждый час, вычисляют сумму осадков за 24 часа и определяют интенсивность дождя в одну минуту. Для расчета интенсивности количества осадков делят на число минут, в течение которых они выпадали. Например, за один час — с 15 до 16 час. выпало 7,5 мм осадков, а с 16 до 17 час. — 9,3 мм. Интенсивность дождя соответственно будет $7,5 \text{ мм} : 60 = 0,125 \text{ мм}$ и $9,3 : 60 = 0,155 \text{ мм}$.

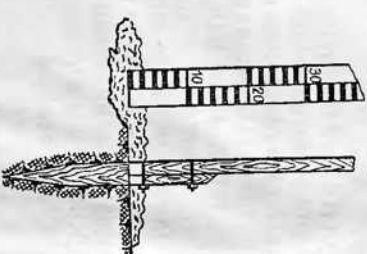


Рис. 54. Постоянная сенометровая рейка.

Рис. 55. Маршрутная сенометровая рейка.

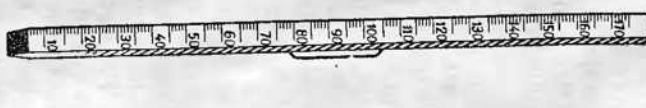




Рис. 56. Весовой снегомер.

Снегомерные рейки. Так как снежный покров залегает неравномерно по территории, то его измеряют в нескольких местах. Для этого применяются постоянные и переносные снегомерные рейки.

Постоянная снегомерная рейка представляет собой деревянный брус длиной около 2 м и шириной не менее 5 см, размеченный на сантиметры и раскрашенный (рис. 54).

Постоянную снегомерную рейку устанавливают с осени до начала снегопадов. В выбранном месте забивают в землю деревянный заостренный брускок длиной 40—60 см с запаянной ступенькой, к этому бруску и привинчивают снегомерную рейку. Обычно устанавливают две постоянные снего-мерные рейки: одну на открытом, вторую на защищенном участках. На блогдении за высотой снежного покрова по постоянным рейкам следует вести с одного и того же места на расстоянии 5—6 шагов от рейки, чтобы не нарушить состояния снежного покрова около нее. Так как непосредственно около рейки может образоваться воронка от ветра, то при отсчетах взгляд должен быть направлен возможно ближе к поверхности снежного покрова. Отсчет по рейке берут в цельных сантиметрах.

Переносная, или маршрутная, снегомерная рейка применяется для измерения высоты снежного покрова непосредственно на полях. Маршрутные снегомерные съемки recommended производить один раз в 5 дней. Переносная рейка представляет собой деревянный брускок длиной 130—180 см, шириной 4 см и толщиной 2 см (рис. 55), изготовленный из сухого, пропитанного маслом дерева. Нижний конец рейки заострен и оббит острием. Начало деления совпадает с нижним обрезом наконечника.

При измерении высоты снежного покрова переносную рейку застремленным концом вертикально опускают в снег до поверхности почвы. После этого снимают с рейки показания в цельных сантиметрах.

Весовой снегомер (рис. 56) служит для измерения плотности снежного покрова в полевых условиях. Весовой снегомер (рис. 56) состоит из металлического цилиндра 1 и весов. Высота цилиндра

60 см, площадь поперечного сечения 50 см². На одном конце его находится толстое кольцо с заточенным краем в виде пилы 2, другой конец может закрываться крышкой 3. Для определения высоты снежного покрова на цилиндре нанесены деления в сантиметрах.

Нулевым делением шкалы является нижний обрез заточенного кольца. Вдоль цилиндра свободно перемещается кольцо 4, к которому прикреплена дужка 5 для подвешивания цилиндра к весам.

Весы снегомера состоят из латунной линейки 6, разделенной призмой на два неравных плеча. Призма обращена острывом вниз и расположена под указателем-стрелкой 7. На эту призму надевается серьга 8, за кольцо которой наблюдатель держит весы. На конце меньшего плеча второй призмы крепится крючок 9 для подвешивания цилиндра. На большем плече нанесены деления и находится передвижной груз 10 для уравновешивания весов. Деления шкалы нанесены от 0 до 300, причем обозначены десятки делений от 1 до 30. Одно деление соответствует 5 г. Для отсчета делений в передвижном грузе сделан вырез, на склоненном крае которого есть риска. Положение равновесия определяется по совпадению указателя-стрелки 7 с риской на серье 8.

Призвешивании пустого цилиндра риска в окне груза должна стоять на нульевом делении.

На блогдении. Снегомер выносят из помещения за 30 минут до наблюдений. Проверяют равновесие весов с подвешенным к ним пустым цилиндром. Если показания весов не совпадают с нулевым делением, то это новое показание записывают и принимают за нульевое. После проверки с цилиндра снимают крышку и погружают его в снег заостренным краем до тех пор, пока цилиндр не дойдет до почвы. Крышку закрывают и производят отсчет высоты снежного покрова h по шкале, нанесенной на цилиндр. По высоте снега вычисляют его объем, он равен $50 h$ см³. Затем с одного бока снегомера лопаткой отгребают снег и лопатку подсовывают под цилиндр, чтобы закрыть нижнее отверстие. В таком положении цилиндр вынимают из снега, переворачивают крышкой вниз и подвешивают на крючок весов за ручку скользящего кольца. Перемещая груз по линейке весов, уравновешивают их и отсчитывают положение груза на линейке (n).

Для определения веса снега число делений на линейке (n) умножают на 5, т. е. вес снега будет $5 n$ г. После записи результата взвешивания цилиндр освобождают от снега. При последующих измерениях необходимо каждый раз определять нульевое положение. Плотность снежного покрова d определяется как отношение веса снега к его объему:

$$d = \frac{5n}{50h} = \frac{n}{10h}. \quad (18)$$

Если высота снежного покрова больше 60 см, то пробу берут 2—3 раза, и тогда плотность рассчитывают по формуле:

$$d = \frac{n_1 + n_2 + n_3}{10(h_1 + h_2 + h_3)}.$$

Весовым снегометром можно определить не только плотность снега, но и запасы воды в снегу. Эти запасы будут равны числу делений на весах (n). Убедиться в этом нетрудно. Вес снега ($5n$) одновременно будет и весом воды, полученной из взятой пробы снега, и, следовательно, объемом ее ($5n \text{ см}^3$). Зная объем воды ($5n \text{ см}^3$) и приемную площадь цилиндра (50 см^2), можно расчитать высоту слоя воды в миллиметрах. Для этого $5n \text{ см}^3$ делит на 50 см^2 и для перевода в миллиметры умножаем на 10. Таким образом, общего слоя воды в миллиметрах будет $\frac{5n \cdot 10}{50} = n$,

следовательно, число делений на весах, отсчитанное при взвешивании пробы снега, одновременно соответствует высоте слоя воды в миллиметрах, который образовался бы при таянии снега.

Если известен запас воды в снегу в миллиметрах, можно рас считать, сколько воды в тоннах или кубических метрах имеется на площади в 1 га. Для этого число делений на весах умножают на 10. Например, весы показывают 40 делений, значит запасы воды в снегу на гектар равны 400 м^3 , или 400 т.

§ 23. Измерение испарения

В результате испарения почва теряет большое количество воды. Поэтому определение величины испарения имеет очень большое практическое значение для сельского хозяйства. Данные по испарению необходимы для уточнения нормы и сроков полива, для разработки мероприятий по сохранению на полях почвенной влаги и для решения ряда других задач.

Величина испарения обычно выражается толщиной слоя (в мм) испарившейся воды.

Для измерения испарения почвы применяют почвенные испарители. В зависимости от назначения они бывают разных размеров.

Почвенный испаритель ГИ-500-50 (рис. 57) состоит из внутреннего цилиндра 1 , внешнего цилиндра-гнезда 2 , водосборного сосуда 3 и двух ручек 4 для переноски испарителя. Во внутренний цилиндр 1 , высота которого 500 мм и диаметр 252,3 мм (сечение 500 см 2), помещают почвенный монолит. Дно 5 внутреннего цилиндра съемное и имеет отверстия диаметром 2 мм для стока просачившейся через почвенный монолит воды. С наружной стороны дно имеет три зубца для прикрепления его к цилиндру защелками 6 . Зашелки проволочными захватами цепляются за зубья дна, а рычаги их перемещаются на упоры 7 , приваренные снизу цилиндра.

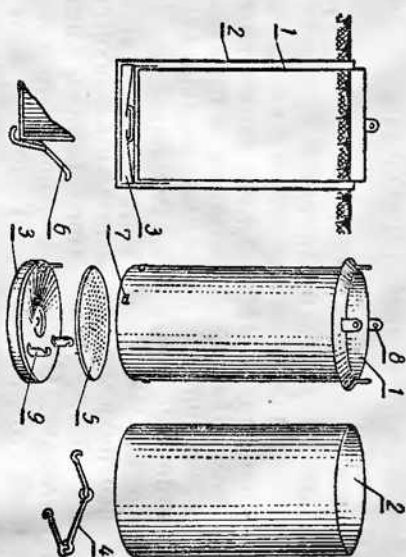


Рис. 57. Почвенный испаритель ГИ 500-50.

У верхнего края цилиндра имеются козырек шириной 35 мм для прикрытия зазора между внутренним и внешним цилиндрами и ушки 8 с отверстиями для крепления ручек при подъеме и перевозке испарителя. Вес внутреннего цилиндра с монолитом около 40 кг.

Внешний цилиндр 2 является гнездом для внутреннего цилиндра. Поэтому размеры его немного больше: высота 535 мм, диаметр 283 мм. Дно внешнего цилиндра водонепроницаемое. Водосборный сосуд 3 служит для сбора воды, просачивающейся через монолит, и представляет собой цилиндрическую банку высотой 30 мм и внутренним диаметром 252 мм. Сверху водосборный сосуд закрыт воронкой с двумя отверстиями. Через центральное отверстие (диаметр 40 мм) стекает просочившаяся через монолит вода, а через боковое (диаметр 10 мм), расположенное у края верхней части воронки, вода из водосборного сосуда переливается в измерительный стакан. Водосборный сосуд присоединяется к внутреннему цилиндру плашками 9 , расположенными на верхнем крае сосуда.

В комплект испарителя входят весы, подъемное устройство и почвенный дождемер. Весы помешаются в будке, которая предохраняет их от ветра при взвешивании.

Установка. Для повышения точности определения испарения на площадке устанавливают два почвенных испарителя. Внешние выкалывают круглые ямы глубиной 52 см и диаметром около 30 см. Почву и растительный покров вокруг ям не следует вытаптывать, поэтому ямы рвать лучше с досок или скамеек. Землю, вынутую из ям, выбрасывают на брезент или носилки. В приготовленные ямы устанавливают внешние цилинды-гнезда так, чтобы верхний край их был на 1,5 см выше поверхности почвы. При закапывании щели между гнездом и краями ямы почву укладывают слой за слоем в порядке естественного залив-

гания и утрамбовывают дощечкой. Оставшуюся почву выносят с испарительной плошадки.

В цилинды-гнезда устанавливают внутренние цилинды с почвенными монолитами. Зарядку испарителей производят на плошадке для взятия монолитов, расположенной на расстоянии 50 м от испарительной плошадки. Место взятия монолита закапывают и отмечают колышком. Повторно монолиты в этих местах не берут. Для зарядки испарители почвенным монолитом внутренний цилиндр без дна ставят на почву и вдавливают в нее. Затем почву вокруг цилиндра окапывают, а цилиндр осаживают под давлением. Во избежание изогнутения почвенного монолита окапывают проволоку на 3—5 см. После этого цилиндр осаживают и опять окапывают вокруг. Цилиндр должен быть погружен так, чтобы верхний край его оказался на 1—1,5 см выше монолита.

После этого под испаритель подводят дно, которое прикрепляют к цилинду с помощью запелок. Если почва плотная, то монолит сначала подрезают и наклоняют набок, а потом присоединяют дно.

Заряженный испаритель переносят на испарительную площадку и взвешивают на весах. Затем к испарителю прикрепляют водосборный сосуд и опускают в гнездо. Заряжают испарители два или три раза в месяц: при двухразовой зарядке 6-го и 16-го, а при трехразовой 6-го, 16-го и 26-го числа каждого месяца. Рядку испарителей производят на той же плошадке, где и за-

падку. На почвенных плошадках ежедневно в 7—9 часов ведут наблюдения за осадками, а в день взвешивания монолитов — непосредственно перед их взвешиванием. Взвешивают испарители через 5 дней: 1, 6, 11, 16, 21 и 26-го числа каждого месяца утром до 9 часов. При наличии росы и осадков время взвешивания переносят на вторую половину дня.

Для взвешивания испаритель переносят к весам. Сначала с него снимают водосборный сосуд, а потом только взвешивают цилиндр с монолитом. Воду из водосборного сосуда выливают в измерительный стакан для определения количества просочившейся воды. После этого водосборный сосуд промывают, присоединяют к цилинду с монолитом и испаритель вновь устанавливают в гнезда.

Обработка наблюдений по испарителю заключается в определении испарения воды монолитом. Испарение вычисляют по формуле:

$$W = \frac{10}{S} (P_1 - P_2) + x - y, \quad (19)$$

где W — испарение стоя воды за время между двумя взвешива-

S — площадь испарителя, в кв. см;

P_1 — вес монолита в предыдущий срок измерения, в г;

P_2 — вес монолита в текущий срок измерения, в г;

x — осадки, в мм;

y — вода, просочившаяся в водосборник между сроками изме-

рений, в мм.

Для изучения суточного хода испарений могут быть исполь- зованы испарители, предложенные В. И. Виткевичем. Взвешива-ние таких испарителей производится через 2 часа, а смена монолитов — через сутки.

Г л а в а VII. ИЗМЕРЕНИЕ АТМОСФЕРНОГО ДАВЛЕНИЯ

ЗАДАНИЕ

1. Изучить устройство и установку приборов для измерения атмосферного давления: ртутный барометр, барометр-анероид, ба- рограф.

2. Определить добавочную поправку к анероиду.

3. Определить превышение между двумя точками по давле-

нию и температуре воздуха в этих точках.

§ 24. Единицы измерения атмосферного давления

Атмосферное давление определяется как сила, действующая на единицу поверхности (см^2 , м^2).

Атмосферное давление является одним из важнейших метеорологических элементов в жизни человека и его хозяйственной деятельности. Изменения атмосферного давления во времени отражают особенности развития погоды (прохождение атмосферных фронтов, циклонов и т. д.), а уменьшение его с высотой ограничивает пребывание живых организмов в естественных условиях определенным уровнем.

Атмосферное давление принято измерять высотой ртутного столба в миллиметрах, вес которого уравновешивает давление атмосферы. На высоту ртутного столба оказывают влияние, помимо изменения атмосферного давления, температура и сила тяжесть. Поэтому для сравнимости показаний высота ртутного столба в различных условиях приводится к температуре 0° , широте 45° и уровню моря. На уровне моря и на широте 45° ускорение силы тяжести $g = 980,6 \text{ см/сек}^2$.

Давление воздуха, измеряемое высотой ртутного столба в 760 мм и основанием в 1 см^2 при температуре 0° , на широте 45° и на уровне моря, называется *нормальным атмосферным давлением*. Так как 1 см^3 ртути при 0° весит 13,6 г, то вес ртутного столба, соответствующего нормальному давлению, составит 1033 г, т. е. около 1 кг. В системе СИ-Г-сек величина нормального давления будет равна 1013250 дин/ см^2 .

Измерение атмосферного давления в миллиметрах ртутного столба не связано с абсолютной системой единиц. Поэтому с 1930 г.

введена новая единица измерения — бар, равная 1 000 000 дин/см². Так как бар — единица очень крупная, то в практике давление принято выражать в миллибарах (мб): 1 б = 1000 мб. Зная, что 1000 мб = 1 000 000 дин/см², а 760 мм = 1 013 250 дин/см², не трудно определить соотношение между этими единицами измерения давления: 1000 мб = 750,08 мм, 1 мб = $\frac{3}{4}$ мм. Переход от одних единиц к другим единицам измерения давления производится по специальным таблицам (см. приложение, табл. 4 и 5).

В Международной системе единиц давление воздуха изменяется в пьютонах (н): 1 мм = 133 н/м², а 1 мб = 100 н/м².

§ 25. Изменение атмосферного давления с высотой

Атмосферное давление меняется с высотой, в связи с изменением высоты столба воздуха, оказывавшего давление на единицу поверхности. Закономерность изменения давления воздуха с высотой выражается следующей барометрической формулой (формула Бабине):

$$h = \frac{16\,000 (P_1 - P_2)}{P_1 + P_2} (1 + \alpha t), \quad (20)$$

где h — превышение между двумя точками; P_1 и P_2 — давление воздуха в миллиметрах ртутного столба соответственно на нижней и верхней точках; α — коэффициент расширения воздуха, равный 0,00366; t — средняя температура воздуха между нижней и верхней точками ($t = \frac{t_1 + t_2}{2}$).

При выводе формулы Бабине не учтены изменения силы тяжести с широтой и высотой места, содержание водяного пара в воздухе, а также сделано допущение, что давление и температура с высотой изменяются равномерно. Поэтому приведенная формула применима для небольших высот (около 1000 м). Для высоты 2000 м и давлением 800 мб эта формула дает погрешность около 1%.

Пользуясь барометрической формулой, можно определить: 1) превышение между двумя точками, зная давление и температуру на верхней и нижней точках; 2) величину атмосферного давления на заданной высоте, зная давление и температуру на нижней точке, а также изменение температуры и давления с высотой; 3) привести атмосферное давление на любой высоте к уровню моря, зная давление и температуру на этой высоте и изменение температуры с высотой.

В практике сельского хозяйства формулой Бабине чаще всего пользуются для определения превышения между двумя точками. С этой целью в точках определяют атмосферное давление и температуру воздуха (наиболее удобными приборами являются анероид для измерения давления воздуха и аспирационный психро-

метр для измерения температуры). Для большей точности берут 3—4 отсчета по анероиду и психрометру на каждой точке. В отсчеты вводят соответствующие поправки и исправленные средние значения подставляют в формулу Бабине.

Пример. Давление в первой точке $P_1 = 753,5$ мм, температура $t_1 = 10,5^\circ$ во второй точке $P_2 = 752,0$ мм, температура $t_2 = 10^\circ$. Определим превышение между двумя точками.

Подставляя полученные значения в формулу (20), находим

$$h = \frac{16\,000 (753,5 - 752,0)}{753,5 + 752,0} \cdot \left(1 + 0,00366 \frac{10,5 + 10}{2}\right) = 16,5 \text{ м.}$$

Если известна абсолютная высота одной из точек, то, определив превышение между ними, можно определить абсолютную высоту другой. Допустим, что абсолютная высота первой точки равна 37 м, тогда высота второй будет $37 + 16,5 = 53,5$ м.

§ 26. Приборы для измерения атмосферного давления

Для измерения атмосферного давления наибольшее распространение имеют барометры с жидкостями, действующие на основании закона гидростатики, и анероиды, или металлические барометры, основанные на упругих свойствах твердых тел.

Стационарный чашечный барометр (рис. 58) состоит из двух основных частей: стеклянной трубки 1 и чугунной или пластмассовой чашки 2, заполненной ртутью. Стеклянная трубка длиной около 80 см и диаметром 7,2 мм опущена открытым концом в чашку. Верхний конец трубы запаян. Чтобы воздух не попал в трубку, ее перед опусканием в чашку доверху наполняют ртутью. Чашка состоит из трех свинчивающихся частей. В верхней части 3, помимо отверстия для стеклянной трубы, имеется еще маленькое отверстие для сообщения ртути, находящейся в чашке, с атмосферным воздухом. Для предохранения ртути от загрязнения это отверстие закрывается винтом 4 с кожаной шайбой. В средней части чашки помещена диафрагма с круглыми отверстиями. Диафрагма, занимая некоторый объем, дает возможность наливать в чашку меньше ртути, а также предохраняет ртуть от сильных колебаний и от попадания воздуха в стеклянную трубку при переноске прибора. При сборке прибора стеклянную трубку и чашку заполняют дистилированной ртутью.

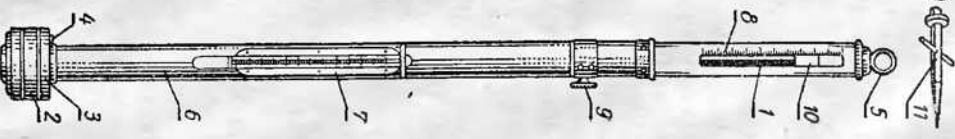


Рис. 58. Ртутный чашечный барометр.

Стеклянная трубка окружена латунной защитной оправой 6, на которой имеются приспособления для производства отсчетов. В нижней части оправы помещается термометр 7 для отсчета температуры прибора. В верхней части оправы имеется сквозная прорезь, позволяющая видеть мениск ртутного столба в стеклянной трубке. С левой стороны прорези нанесена шкала 8 с пределами измерений от 680 или 810 до 1110 мб. В старых барометрах шкала дана в миллиметрах. Нуль шкалы совпадает с уровнем ртути в чашке. Вдохи стеклянной трубы с помощью кремалььеры 9 перемещается кольцо с укрепленным на нем нониусом 10, который служит шлифом для наводки на мениск ртутного столба и для отсчета десятих долей. Нониус стационарного чашечного барометра устроен так, что 10 делений его равны 9 делениям основной шкалы, т. е. каждое деление нониуса на 0,1 меньше деления основной шкалы. В верхней части оправы имеется кольцо 5 для подсечения барометра. Общий вес прибора 2,55 кг.

Установка. При перевозке чашечного барометра в трубку может попасть воздух, поэтому перед установкой прибор следует плавно поклонить чашкой широк и пристушаться к звуку от удара ртути о верхний запаянный конец трубы. Если звук будет резкий, металлический, то воздух в трубке пог и барометр можно устанавливать. При наличии же в трубке воздуха звук будет приглушенный.

Точность определения давления по барометру зависит от соблюдения правил установки. Барометр следует оберегать от резких колебаний температуры и сотрясений.

В связи с этим барометр необходимо устанавливать на прочной стene вдали от отопительных приборов и окон. Рекомендуется устанавливать его в отдельном шкафу, который открывается бы только на время наблюдений. Наиболее удобен шкаф в виде трехгранный призмы, высота которого 135 см, ширина задней стены 41 см, ширина боковой стены 27 см. Боковые стены шкафа могут быть стеклянными, а в задней стенке должно быть отверстие — окно из матового стекла, за которое помещается источник света. В таком шкафу барометр помещают за кольцо на крюке-винте 11. Для удобства наводки и отсчетов расстояние от пола до чаши барометра должно быть 70—80 см.

Наблюдения по барометру проводят в следующем порядке.

1. Отсчитывают температуру по термометру при барометре с точностью до $0,1^{\circ}$.

2. Постукивают спека по защитной оправе барометра, чтобы мениск ртути в стеклянной трубке принял нормальное положение.

3. Устанавливают нониус с помощью кремальеры на верхнюю часть мениска (при правильной установке нониуса слева и справа должны быть видны небольшие уголки просвета) и отсчитывают

показания барометра с точностью до 0,1 мб. Целые миллибатры отчитывают по нижнему обрезу нониуса, а десятые — по нониусу. Номер деления нониуса, совпадающего с делением основной шкалы, показывает число десятих долей шкалы.

Допустим, что нижний обрез нониуса, который соответствует нулю на нониусе, находится между 1000 и 1001 мб и что первое деление нониуса совпадает с делением основной шкалы. В этом случае показание барометра будет равно 1000,4 мб.

Поправки к показаниям стационарного барометра. В показаниях стационарного чашечного барометра вводят три поправки: штифтную, на температуру и на силу тяжести.

Поправка на температуру. Поправка указывается в поверочном свидетельстве барометра. Она учитывает все неточности, допущенные при изготовлении прибора.

Для сравнимости данных измерений показания барометров приходится приводить к температуре 0° и к нормальной силе тяжести (к широте 45° и к уровню моря). Осуществляется это введением поправок на температуру и на ускорение силы тяжести.

Поправка на широту. Поправка определяется по температуре при барометре и показаниям барометра по таблице, в которой даны величины поправок, рассчитанные для различных значений температуры и атмосферного давления (приложение, табл. 6). При температуре выше 0° поправки имеют знак минус, а при температуре ниже 0° — знак плюс.

Поправка на ускорение силы тяжести. Влияние ускорения силы тяжести на показания барометра учитывается поправлением двух поправок: поправкой на широту места и поправкой на высоту места наблюдений.

Поправки на широту места даны в приложении (табл. 7). Расчеты они для различных значений давления воздуха и для широт от 0 до 90° . Для широт от 0 до 45° поправки имеют знак плюс, а для широт от 45 до 90° — знак минус.

Для введения поправок на высоту места также составлены таблицы, в которых величины поправок представлены для различных значений атмосферного давления и высоты места над уровнем моря (табл. 8).

Влияние высоты места на показания барометра незначительно. Поправка на высоту места достигает 0,1 мб только на высоте 400 м.

Для барометра, установленного в данной местности, поправки инструментальная и на силу тяжести всегда будут одинаковыми. Поэтому для удобства их объединяют в одну и называют постоянной. Постоянная поправка пригодна только для данного барометра и данного места. При переносе барометра на другое место ее нужно пересчитать.

Пример. Барометр установлен на широте 60° и на высоте 500 м. Отсчет по термометру 20° , по барометру — 950 мб. Определить исправленное значение делиния.

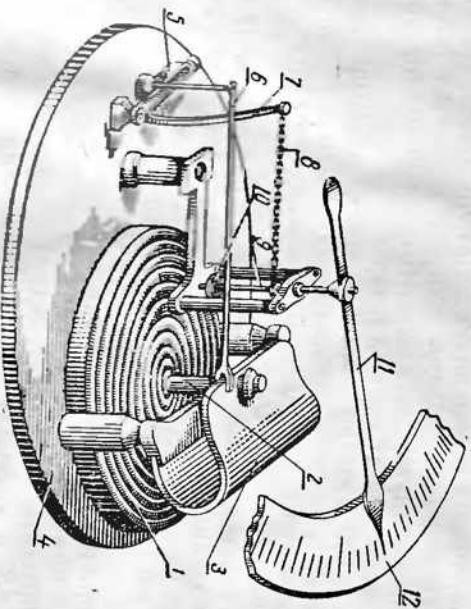


Рис. 59. Механизм барометра-анероида.

1. Инструментальная поправка ртутта 0,2 мб.
2. Поправка на температуру ртутти $-3,1$ мб (табл. 6 приложения).
3. Поправка на высоту места измерения $+1,2$ мб (табл. 7 приложения).
4. Поправка на высоту мести ряни $-0,09$ мб (табл. 8 приложения).

Постоянная поправка в данном случае составляет $-0,2+1,2-0,09=0,9$ мб. Величина же атмосферного давления с учетом всех поправок будет $950-3,1+0,9=947,8$ мб.

Барометр-анероид. Приемной частью барометра-анероида является мембранный коробка 1 (рис. 59), состоящая из двух сплюснутых между собой гофрированных круглых мембран с жесткими центрами и ножками 2, которые служат для крепления мембранный коробки на металлическом плате 4.

Мембранный коробка герметична, воздух из нее выкачен. Внутреннее давление коробки доведено до 0,01 мм ртутного столба. От сплюснения внешним давлением коробка предохраняется пружиной 3, соединенной одним концом с ножкой верхней мембранны, а другим — с металлическим плато. При увеличении давления воздуха верхняя мембрана несколько вдавливается внутрь коробки, при уменьшении давления она приподнимается вверх под действием пружины. Колебания верхней мембранны передаются коленчатому валу 5. Пружина перемещает укрепленный на ней стержень 6. Перемещения стержня передаются рычагу 7, который при помощи цепочки 8 вращает ось 9. Для создания постоянного напряжения цепочки на оси 9 имеется спиральная пружина 10. Изменение атмосферного давления определяется по положению стрелки 11 относительно круговой шкалы 12. Деления шкалы даны в миллиметрах ртутного столба от 600 до 800 мм с ценой деления 0,5 мм. К шкале анероида прикреплен термометр (рис. 60) для



Рис. 60. Барометр-анероид (общий вид).

отсчета температуры прибора. Механизм анероида помещается в пластмассовый кожух, в дне или сбоку которого есть отверстие для доступа к винту, регулирующему положение стрелки. Изменение положения стрелки с помощью винта влечет за собой изменение поправок анероида. Поэтому после проверки анероида винт трогать нельзя.

В настоящее время выпускают беспружинные анероиды. Роль пружин в них выполняют мембранные коробки. Приемная часть таких анероидов состоит из нескольких (от 3 до 6) мембранных коробок.

Установка. Барометр-анероид устанавливают горизонтально на специальной подставке или на столе. Футляр, в который помещается анероид, открывают только на время наблюдений. Между сроками наблюдений крышка футляра должна быть закрыта, чтобы прибор не подвергался резким колебаниям температуры.

В экспедициях, во время маршрутной съемки и барометрического нивелирования отсчеты по анероиду производятся при горизонтальном положении его на уровне груди.

Отсчеты. При отсчетах по анероиду вначале открывают крышку футляра и отсчитывают температуру по термометру при анероиде. Отсчет берут с точностью до $0,1^\circ$.

После этого, слегка поступив по стеклу анероида для преодоления трения в передающей части, отсчитывают положение стрелки относительно шкалы с точностью до 0,1 мм на глаз, так как цена деления анероида 0,5 мм.

Поправки к барометру-анероиду. В показания анероида вводятся три поправки: 1) на шкалу, 2) на температуру, 3) добавочная. Все поправки указываются в поверочном свидетельстве, которое прилагается к каждому прибору (табл. 4).

Поправка на шкалу. Во всех анероидах используются стандартные шкалы. Однако в каждом анероиде могут быть свои инструментальные неточности и особенности в передаточном механизме. В результате этого показания анероида не совпадают с истинным давлением. Поэтому для определения величины искусственного или поправки на шкалу анероиды сравнивают при искусственном давлении с точным ртутным барометром.

В поверочном свидетельстве к анероиду (табл. 4) поправки на шкалу приводятся для всей шкалы через каждые 10 мм ртутного столба. Поправку для промежуточных значений давления определяют интерполяцией двух величин поправок, между которыми находится произведенный отсчет. Поправка на шкалу к анероиду аналогична инструментальной поправке к ртутному барометру.

Поправка на температуру. При одном и том же атмосфереющим давлении, что и разной температуре, показания анероида могут быть различными, так как с изменением температуры упругость пружины и мембраний коробки не остается постоянной. Поэтому показания анероидов приводятся к температуре 0°. Для этого к каждому анероиду вычисляется температурный коэффициент — величина изменения показаний анероида при изменении температуры прибора на 1°. Если показание анероида с повышением температуры увеличивается, температурный коэффициент считается положительным. Поправка же на температуру в этом случае будет отрицательной. Обычно в поверочном свидетельстве дается величина температурной поправки к анероиду для изменения температуры на 1°. Для приведения показаний анероида к температуре 0° необходимо указанную поправку умножить на температуру прибора.

Добавочная поправка. В результате остаточной деформации коробки и пружины показания анероида меняются во времени.

Влияние остаточной деформации устраняется введением добавочной поправки.

Для введения добавочной поправки необходимо произвести серию (5—6) одновременных отсчетов по ртутному капиллярному барометру и анероиду. Средняя разница между показаниями барометра с учетом всех поправок и анероида с двумя поправками (на температуру и шкалу) представляет собой добавочную поправку. Например, отсчет по барометру со всеми поправками равен 761,5 мм, а отсчет по анероиду с учетом двух поправок — 761,9 мм.

Для добавочной поправки в этом случае будет —0,4 мм.

Вается дата определения ее. Вторично определять добавочную по-

правку рекомендуется ежемесячно, а при барометрическом измерении — до начала и после работы.

Пример. Отсчет по анероиду равен 755,0 мм, температура 19°. Поправки определяем из поверочного свидетельства (табл. 4):

1) поправка на шкалу равна —0,2 мм;

2) поправка на температуру равна —0,2 мм ($-0,01 \times 19$);

3) добавочная поправка равна —0,4 мм.

Таким образом, исправленное давление по анероиду будет $755 - 0,2 - 0,2 - 0,4 = 754,2$ мм.

Образец поверочного свидетельства для анероида № 300924/7977
I. Поправка шкалы

При	Поправка в мм	При	Поправка в мм
780	+0,6	750	-0,3
770	+0,2	740	-0,6
760	0,0	730	-0,7

2. Поправка на температуру равна $-0,01 t$, где t — температура анероида.
3. Добавочная поправка для апреля 1967 г. равна —0,4 мм.

Барограф применяется для непрерывной регистрации изменений атмосферного давления. Наиболее распространение имеют анероидные барографы, отличающиеся простотой устройства, портативностью и удобством обращения с ними.

Анероидный барограф состоит из трех основных частей: приемной, передающей и регистрирующей. Схема механизма барографа дана на рисунке 61.

Приемной частью барографа являются анероидные коробки 1, число их может достигать 10, которые свинчиваются между собой ножками, укрепленными в центре каждой коробки. Величина деформации всех коробок складывается и возрастает по мере увеличения числа коробок. От сжатия внешним атмосферным давлением коробки предохраняются пружиной, помещенной внутри каждой коробки. В последнее время выпускаются беспружинные барографы. Функции пружины в них выполняют стекки коробки. Столбик коробок нижним концом, пропущенным через плато 2, укреплен на биметаллической пластинке, расположенной под плато. С повышением атмосферного давления вследствие сжатия коробок упругий столбик коробок укорачивается, с понижением давления удлиняется. Верхний конец столбика коробок соединен тягой 3 с передающей частью.

Передающая часть барографа представляет собой два коленчатых вала. Колебания приемной части воспринимает рычаг 4 первого коленчатого вала и передает их через рычаг 5 на второй коленчатый вал. Рычаг 5 соединен тягой 6 с первым рычагом 7 второго коленчатого вала. Вторым рычагом второго коленчатого

Лента барографа отличается от ленты термографа тем, что горизонтальные параллельные линии на ней соответствуют изменению давления в миллибарах. Деления дены с точностью до 1 мб, цифры нанесены через 10 мб. Пределы всей шкалы барографа — от 960 до 1050 мб. Вертикальные дуги соответствуют измерению времени. Для суточного барографа каждое деление равно 15 минутам, а для недельного — 2 часам.

Все части барографа помещены в деревянном или пластмассовом футляре, имеющем откидную крышку с застекленными стеклами.

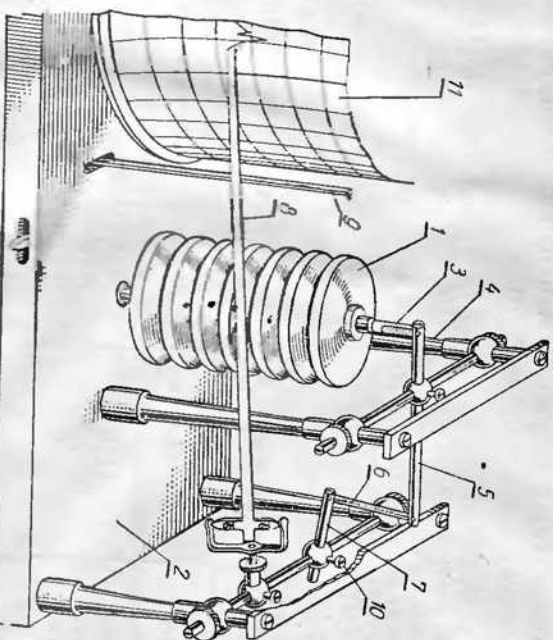


Рис. 61. Анероидный барограф.

бала является алюминиевая пластинка 8, заканчивающаяся пером в виде трехгранный пирамидки. Благодаря большей длине передающих рычагов 5 и 8 величина смещения пера примерно в 80—100 раз больше смещения столбика анероидных коробок. Величину смещения пера можно менять изменением длины рычага 7. Для этого на втором коленчатом валу имеется приспособление 10, позволяющее подбирать нужную длину рычага 7. Для увеличения чувствительности прибора рычаг 7 укорачивают, а для уменьшения — удлиняют. Чувствительность барографа должна быть такой, чтобы смещение пера по ленте на одно деление соответствовало изменению давления на один миллибар. Регулировку чувствительности барографа не рекомендуется проводить после проверки прибора, так как для этого необходимо иметь камеру, в которой можно менять давление в некоторых пределах и определять его по абсолютному прибору.

Регистрирующей частью барографа является цилиндрический барабан 11 с часовым механизмом внутри. На барабан накладывают бумагенную ленту. Барабан надевается на стержень с неподвижной шестерней, с зубцами которой соединены зубцы тришки.

Тришка расположена внизу барабана и приводится в движение часовым механизмом. Благодаря часовому механизму барабан вращается, и перо, наполненное мелкими сохнущими глицинеровыми чернилами, оставляет запись колебаний давления во времени. В зависимости от скорости оборота барабана барографы могут быть суточные и недельные.

В дне футляра имеется отверстие, против которого находятся винт, служащий для регулировки положения всего столбика коробок. В барографах новых конструкций регулировочный винт расположен над столбиком коробок. Винт дает возможность изменить положение биметаллической пластиинки, на которой крепится весь приемник, и тем самым установить перо на нужном делении ленты. Установка. Барограф устанавливают горизонтально на специальной полке-кронштейне или на столе недалеко от ртутного барометра. Во избежание резких колебаний температуры прибор должен быть удален от отопительных приборов и защищен от воздействия солнечных лучей. Перед установкой барографа заводят часовой механизм и на барабан надевают бумажную ленту. На обратной стороне ленты записывают дату и время установки ее. После этого барабан надевают на неподвижный стержень, укрепленный на подставке, и перо подводят к барабану так, чтобы положение его соответствовало времени и величине атмосферного давления (по барометру) в данный момент. Во время работы прибора в сроные часы на ленте легким подъемом пера следует делать засечки для сравнения его показаний с показаниями барометра.

Г л а в а VIII. ИЗМЕРЕНИЕ НАПРАВЛЕНИЯ И СКОРОСТИ ВЕТРА

ЗАДАНИЕ

1. Изучить устройство, правила установки и наблюдений по приборам: флюгер Вильда, анемометр, ветромер Третьякова и ручной анометр.

2. Определить направление и скорость ветра по флюгеру Вильда и определить скорость ветра ручным анометром.

3. Построить розы ветров по данным ближайшей метеорологической станции для основных месяцев сезонов (январь, апрель, июль, октябрь) и дать анализ их.

§ 27. Элементы ветра и значение его для сельского хозяйства

Ветром называется движение воздуха в горизонтальном направлении. Характеризуется он двумя элементами: направлением и скоростью.

Направление ветра определяется той частью горизонта, откуда дует ветер и измеряется в румбах или градусах.

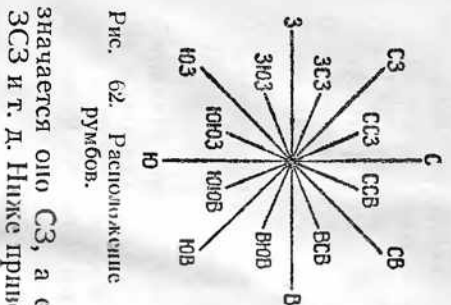


Рис. 62. Расположение румбов.

значается ого СЗ, а если — между северо-западом и западом, то ЗСЗ и т. д. Ниже приводятся обозначения и названия румбов.

Румбы и их названия

C ^{...1°}	— северный
CCB	— северо-северо-восточный
BCC	— восточно-северо-восточный
B	— восточный
ЮЮВ	— юго-юго-восточный
ЮВ	— юго-восточный
Ю	— южный

ЮЮЗ	— юго-юго-западный
ЮЗ	— юго-западный
ЗЮЗ	— западно-юго-западный
З	— западный
ЗСЗ	— западо-северо-западный
СЗ	— северо-западный
ССЗ	— северо-северо-западный

Скорость ветра определяется количеством метров, которое воздушный поток проходит в одну секунду (м/сек). Иногда скорость ветра выражают в км/час.

Ветер является важным фактором среды. С ним связан перенос водяного пара и тепла по земной поверхности. От скорости ветра зависит испарение и транспирация. Даже небольшое усиление ветра значительно увеличивает интенсивность испарения и транспирации. При сильных ветрах и высоких температурах воздуха может наблюдаться увядание растений. Значительное увеличение ветра ранней весной сопровождается развитием пыльных бурь. Ветер помогает опылению растений и является дешевым источником энергии. Одновременно с этим он может наносить больший вред деревьям и посевам, обламывая сучья и вызывая полегание хлебов.

§ 28. Приборы для измерения направления и скорости ветра

Основные приборы для измерения направления и скорости ветра — флюгер Вильда, ручные анемометры и ветрометр Третьякова.

Флюгер Вильда (рис. 63) является наиболее распространенным прибором для измерения направления и скорости ветра.

Направление ветра измеряется с помощью двухголостной флюгарки 1 клиновидной формы. Пол влиянием ветра флюгарка устанавливается по направлению ветра, причем уравновешивающий груз 2 будет направлен в ту сторону, откуда дует ветер. У флюгера Вильда флюгарка 1 надевается на металлический стержень 3, на котором под флюгаркой расположена муфта 4 с восемью штифтами: четыре штифта длинных (C, Ю, З, В) и четыре коротких (СЗ, СВ, ЮЗ и ЮВ).

Один штифт с буквой С должен быть направлен строго на север. Направление ветра определяется по положению противовеса 2 относительно штифтов.

Скорость ветра определяется флюгом Вильда по углу отклонения доски 5 размером 15×30 см, которая свободно вращается около горизонтальной оси 6, закрепленной на металлическом стержне 7. Вес доски может быть 200 и 800 г. Соответственно различают флюгеры с легкой и тяжелой доской. Первый служит для измерения скорости ветра до 20 м/сек, второй — до 40 м/сек.

При сборке флюгера плоскость доски поворачивается перпендикулярно противовесу флюгарки. При такой установке ось вращения доски будет всегда устанавливаться на угол или иной угол в зависимости от скорости ветра. Положение доски отсчитывается по дуге 8, закрепленной с помощью металлического стержня 9 на одном конце горизонтальной оси 6. Для уравновешивания дуги 8 на другом конце оси 6 имеется груз 10.

Дуга 8 имеет восемь штифтов от 0 до 7, причем для удобства отсчета нечетные штифты короче четных. Нулем обозначен штифт, соответствующий отвесному положению доски. При наблюдении за скоростью ветра отсчитывают положение доски на дуге, т. е. записывают штифт, около которого находится доска. Для выражения скорости ветра в м/сек пользуются таблицей (табл. 5), которая составлена на основании зависимости между скоростью ветра и углами отклонения доски.

В районах, где наблюдается скорость ветра более 20 м/сек, необходимо иметь еще флюгер с тяжелой доской. Он отличается только весом доски и следовательно, значением штифтов дуги. Для перевода скорости ветра в м/сек следует умножать скорость ветра, соответствующую тем же штифтам в таблице 5 или применять другую таблицу.

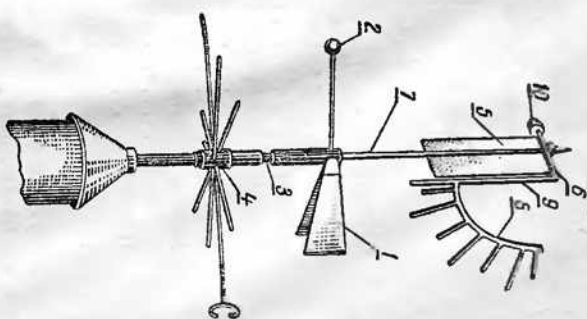


Рис. 63. Флюгер Вильда.

Таблица 5
Определение скорости ветра при положении доски флюгера

Положение доски	Скорость ветра в м/сек	Положение доски	Скорость ветра в м/сек
Штифт 0	0	Между штифтами 3 и 4	7
Между штифтами 0 и 1	1	Штифт 4	8
Штифт 1	2	Между штифтами 4 и 5	9
Между штифтами 1 и 2	3	Штифт 5	10
Штифт 2	4	Между штифтами 5 и 6	12
Между штифтами 2 и 3	5	Штифт 6	14
Штифт 3	6	Между штифтами 6 и 7	17
		Штифт 7	20

Установка. Флюгер устанавливают на открытой площадке на сухом дубовом или сосновом столбе на высоте 8—12 м. Если место очень защищено, то флюгер можно установить на крыше здания, при этом над крышей он должен возвышаться не менее чем на 4 м.

Штифт с буквой С должен быть направлен точно на астрономический север. Ориентируют флюгер по компасу или по полуденной линии. Так как магнитное склонение данного места не всегда точно известно, то надлежнее ориентировать флюгер по полуденной линии.

Для ориентировки флюгера по полуденной линии необходимы хорошо проверенные часы. Они должны идти точно по местному среднему солнечному времени. Из таблицы «Среднее солнечное время в истинный полдень» (приложение, табл. 1) находят время наступления истинного полдня для той даты, когда производят ориентировку флюгера. Перед наступлением истинного полдня встают с северной стороны от столба и в момент, когда часы показывают истинный полдень, вбивают заранее приготовленный колышек посреди полосы тени, отбрасываемой столбом флюгера. Направление колышек — столб является направлением полуденной линии, или меридианом данного места. С направлением полуденной линии должно совпадать направление штифта с буквой С. Если оно не совпадает, необходимо штифт с буквой С слегка вывернуть и повернуть муфту так, чтобы он имел направление точно по полуденной линии. После этого штифт опять завинчивают и тем самым неподвижно закрепляют муфту.

В дальнейшем для проверки правильности ориентировки флюгера полученную линию на площадке закрепляют прочно вкопанными в землю столбиками.

Наблюдения. При определении направления ветра наблюдают стоят около столба, на котором установлен флюгер, и следят в течение 1—2 минут за положением шара флюгарки относительно штифтов, направленных по странам света. За время наблюдений отмечается среднее положение шара.

Для определения скорости ветра необходимо несколько отойти от столба флюгера и стать так, чтобы доска и дуга со штифтами были хорошо видны. Скорость ветра непрерывно изменяется. Поэтому отмечают среднее положение доски, которое она занимала в течение 2 минут.

После этого скорость ветра переводится по таблице (см. табл. 5) в м/сек. Например, доска во время наблюдений находилась около третьего штифта. Как видно из таблицы, скорость ветра будет равна 6 м/сек.

При сильном ветре отмечается не только среднее, но и крайнее положение доски, куда она доходит в течение 2 минут.

Ветромер Третьякова (рис. 64) служит для измерения направления и скорости ветра в полевых условиях. Необходимость таких измерений вызвана тем, что направление и особенно скорость ветра на полях могут значительно отличаться от данных метеоплощадки. Ветромер Третьякова по своему действию напоминает флюгер.

Направление ветра измеряется по флюгарке 1, надетой на вертикальный стержень 10. Флюгарка имеет вид волнообразно изогнутой пластиинки с противовесом 2. Для определения положения противовеса под флюгаркой расположена восемьконечная звезда 3 с нанесенными на нее названиями румбов. Для удобства наблюдений надписи румбов сделаны на нижней поверхности звезды. Скорость ветра измеряется по углу отклонения ложкообразной металлической пластиинки 4 с противовесом 5. Пластиинка и противовес жестко скреплены между собой под углом 76° и могут свободно вращаться на горизонтальной оси 9. Обе пластиинки в средней

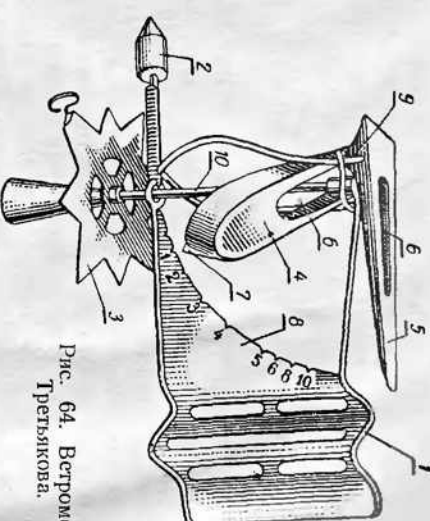


Рис. 64. Ветромер Третьякова.

части имеют вырез 6. Пластиинка повернута вогнутой стороной в сторону ветра и имеет внизу указатель 7 в виде острая. Под действием ветра пластиинка отклоняется на определенный угол. Положение ее определяется по шкале 8 на плоскости флюгарки. Деления на шкале нанесены в м/сек и обозначены цифрами 0, 1, 2, 3, 4, 5, 6, 8, 10. Шкала скорости ветра получена экспериментально в аэродинамической трубе.

Установка. Ветрометр устанавливают вертикально на деревянном шесте высотой 1—2 метра. На деревянный шест внахлест надевают металлический стержень 10 с закрепленным на нем указателем направления ветра (восьмиконечная звезда). Затем на стержень надевают флюгарку с противовесом и двумя пластиинами. Положение звезды во время наблюдений проверяют по компасу. Наблюдения. Для определения направления и скорости ветра следят в течение 1—2 минут сначала за положением противовеса, а потом за указателем пластиинки. Направление ветра отмечают по среднему положению противовеса относительно звезды, а скорость ветра — по среднему положению указателя на шкале. Точность показания скорости ветра ветрометром Третьякова 0,5 м/сек в интервале от 1 до 6 м/сек и 1 м/сек — при скорости ветра больше 6 м/сек.

В настоящее время для измерения направления и скорости ветра применяют дистанционные приборы — анеморумбометры, основанные на преобразовании величин элементов ветра в электрические величины.

Анеморумбометр М-63 (рис. 65) служит для измерения направления ветра, мгновенной скорости, средней скорости за десятиминутный интервал и максимальной скорости ветра между измерениями. Прибор состоит из датчика 1, указателя направления и скорости ветра 2 и блока питания 3. Датчик состоит из ветроприводника 4, регистрирующего скорость ветра, и флюгарки 5. Мгновенная и максимальная скорость ветра измеряется по шкале 6, средняя за 10 минут — по шкале 7 и направление ветра — по шкале 8 указателя. Блок питания состоит из двух батарей аккумуляторов, вольтметра и тумблера для включения. Блок питания подключается к сети переменного тока. С датчиком и указателем он соединен многожильным кабелем.

Датчик анеморумбометра устанавливают на высоком столбе или крыше здания, а указатель и блок питания — в служебном помещении.

Направление и скорость ветра измеряют в срочные часы.

Для отсчета направления ветра нажимают на 4—5 секундную кнопку 9. Записывают среднее показание из 3—4 отсчетов.

Для отсчета мгновенной скорости ветра нажимают кнопку 10 и со шкалы 6 снимают показания, соответствующие скорости ветра в момент отсчета.

Величину средней скорости ветра за десятиминутный интервал снимают со шкалы 7, а максимальной скорости ветра — со

шкалы 6. Осреднение скорости ветра и показание максимальных значений выполняются автоматически.

Ручные анемометры со счетным механизмом применяются для измерения скорости ветра. Ими можно измерять среднюю скорость ветра за какой-либо промежуток времени. Чашечные анемометры служат для измерения средней скорости от 1 до 20 м/сек, а крыльчатые — от 0,3 до 5 м/сек. Анемометры очень удобны для измерения ветра среди сельскохозяйственных культур.

Ручной анемометр чашечный (рис. 66). Приемник его — крестообразина с четырьмя полушиариями, обращенными выпуклостью в одну сторону, или вертушка 1. Вертушка крепится на металлической оси 2, нижний конец которой заканчивается бесконечным винтом, или червяком. Полушарики защищены от механических повреждений проволочными дужками 3. Бесконечный винт своим вращением приводит в движение систему зубчатых колес, передающих движение трем стрелкам счетного механизма. Счетный механизм прибора поменян в корпус 4. Циферблат 5 счетного механизма имеет соответственно три шкалы, по которым отчитываются тысячи, сотни и единицы оборотов. Циферблат имеет 100 делений (от 0 до 100). По двум маленьким стрелкам отчитывают сотни и тысячи оборотов, соответствующие им циферблаты имеют

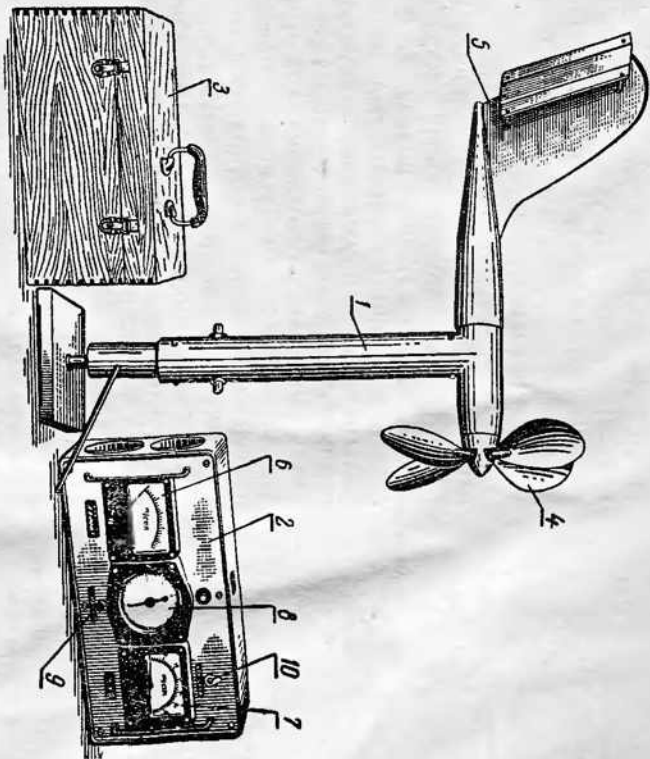


Рис. 65. Анеморумбометр.

по 10 делений. На циферблате одной из них написано «сто», а другой — «тысяча». При полном обороте большой стрелки маленькая стрелка на циферблате с надписью «сто» повернется на одно деление.

Счетный механизм включается и выключается арретиром, выступающий конец которого расположен сбоку корпуса и имеет вид подвижного кольца 6. Второй конец арретира находится под изогнутой пластинчатой пружинкой, являющейся ползунчиком червячного колеса. При повороте кольца вверх (против часовой стрелки) червячное колесо сцепляется с червяком и штуцером анерометра соединяется со счетным механизмом. Поворот кольца по часовой стрелке (вниз) выводит червячное колесо из сцепления с червяком, и счетный механизм отключается от приемника.

В корпусе прибора по обе стороны выступающего конца арретира ввинчены два ушка 7 для того, чтобы включать и выключать прибор, когда он установлен выше уровня глаз. Для этого к кольцу арретира привязывают шнурок, а концы его пропускают в ушки 7. Если потянуть за шнурок нижнего ушка, механизм будет отключен, а за шнурок верхнего ушка — включен.

В нижней части прибора имеется винт 8 для установки анерометра на деревянном столе на деревянном столе. Для измерения скорости ветра ручным анерометром его устанавливают на деревянном столе нужной высоты или держат на вытянутой руке. В том и другом случае анерометр должен быть повернут перпендикулярно направлению ветра.

Перед наблюдением при выключенном счетчике записывают начальные показания анерометра, т. е. положение всех трех стрелок на циферблатах (тысячи, сотни, десятки, единицы) и устанавливают анерометр на заданной высоте. Через 1—2 минуты, когда скорость вращения полушиария установится, счетчик анерометра включают поворотом кольца вверх. Через определенное время (на практике чаще всего анерометр включают на 100 секунд) счетчик отключают (кольцо поворачивают вниз) и вновь записывают показание прибора (тысячи, сотни, десятки, единицы) и время работы прибора в секундах. Секундомер включают и выключают одновременно с арретиром анерометра.

Разность в отсчетах до наблюдения и после наблюдений, деленная на время работы прибора, дает число делений счетчика анерометра в секунду. Для грубых расчетов полученное число

может быть использовано как скорость ветра, выраженная в м/сек.

Каждый анерометр снабжен поверочным свидетельством, в котором указано число делений счетчика в секунду и соответствующая скорость ветра в м/сек (табл. 6).

Таблица 0

Образец поверочного свидетельства анерометра Ручной анерометр № 17642

Число делений в сек.	Скорость ветра в м/сек	Число делений в сек.	Скорость ветра в м/сек	Число делений в сек.	Скорость ветра в м/сек
1	1,2	5	4,7	9	8,2
2	2,1	6	5,6	10	9,1
3	3,0	7	6,5	11	10,0
4	3,8	8	7,3	12	10,8

Пример. Отсчет по анерометру перед наблюдением 7582, после наблюдения 7982. Анерометр был включен на 100 секунд. Находим число делений счетчика в одну секунду:

$$\frac{7982 - 7582}{100} = 4.$$

2. Из поверочного свидетельства определяем скорость ветра в м/сек: четырех делениям счетчика соответствует скорость ветра 3,8 м/сек.

В промежутках между отсчетами анерометр хранится в футляре с выключенным счетным механизмом.

Ручной анерометр крыльчатый

(рис. 67) удобен для измерения скорости ветра среди стеблестоя.

Приемником крыльчатого анерометра является легкое ветровое колесо 1 с восемью лопастями, смонтированное на трубке 2. Трубка имеет на концах втулки и вместе с ветровым колесом надета на натянутую струну 3. Благодаря струне, применяемой в качестве оси вращения, крыльчатый анерометр очень чувствителен. Начальная чувствительность его 0,1 м/сек.

Трубка соединена червячной передачей со счетным механизмом 4, таким же, как у чашечного анерометра. Крыльчатка защищена от механического воздействия металлическим кольцом 5, к которому прикреплены счетный механизм и рукоятка 6. При измерении скорости ветра крыль-

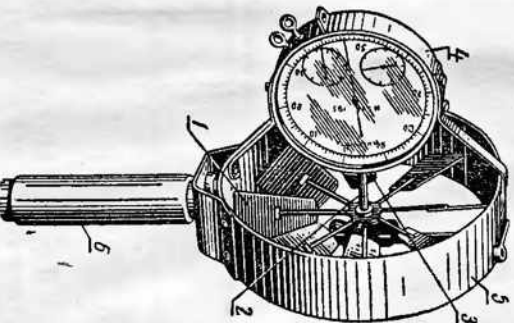


Рис. 67. Ручной анерометр крыльчатый.

чальным анемометром его лежат за рукавку *b* и ориентируют по направлению ветра, при этом счетчик должен быть позади потока воздуха относительно ветрового колеса. Дальнейший порядок наблюдений и обработка данных те же, что и при работе с чашечным анемометром.

Ветровой вымпел. При измерении скорости ветра анемометром направление ветра может быть определено ветровым вымпелом. Ветровой вымпел представляет собой двухметровый шест, на один конец которого, на острие (гвоздь), надевается матерчатая лента длиной 1 м и шириной 4 см.

На уровне глаза шест делают отметку, которая служит для определения направления ветра.

При наблюдении за направлением ветра шест врашают до тех пор, пока отметка не будет иметь то же направление, что и матерчатая лента. После этого по компасу определяют направление отмечки относительно стран спекта. Так как лента направлена по ветру, то направление его будет прямо противоположно положению ленты.

Роза ветров. Для решения многих практических задач необходимо знать преобладающее направление ветра в данной местности. Особенно необходимы эти сведения для правильного размещения полезащитных лесных полос, кулис, при расстановке щитов, а также для градостроительства. Чтобы определить преобладающее направление ветра, необходимы длительные наблюдения. На основании ежедневных наблюдений составляют таблицы повторяемости направления ветра по румбам (обычно по 8 румбам). Так как число случаев по каждому румбу будет очень большим, то в конечном итоге повторяемость ветра выражается в процентах. За 100% принимаются случаи всех направлений (румбов). Например, общее число случаев 1000, из них северного направления 30, южного 50 случаев и т. д. В этом примере один случай соответствует 0,1% ($100 : 1000$). Поэтому вместо 30 случаев северного направления будет записано 3%, а вместо 50 случаев южного направления — 5%.

В таблице 7 приводится повторяемость направления ветра для января и июля по 8 румбам.

Направление ветра (в %) и среднее число штилей

Таблица 7

Месяц	С	СВ	В	ЮВ	Ю	ЮЗ	З	СЗ	Число штилей
Январь . . .	3	7	35	11	6	10	20	8	7
Июль . . .	9	8	13	5	6	10	33	16	9

Для наглядного изображения направления ветра строится *роза ветров*. Для построения ее по направлению 8 основных румбов откладывают соответствующую им повторяемость ветра в выбранном масштабе.

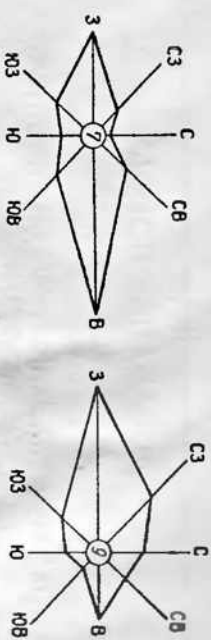


Рис. 68. Роза ветров.

Полученные точки на румбах соединяют ломаной линией. На рисунке 68 построены розы ветров по данным таблицы 7 (масштаб $1\% = 1,5$ мм). В центре розы ветров показано число штилей.

Пользуясь розами ветров (рис. 68), можно сделать вывод, что промышленные предприятия и фермы лучше располагать с южной или северо-восточной стороны от населенных пунктов, а лесные поселки должны быть направлены с севера на юг.

Полученные точки на румбах соединяют ломаной линией. На рисунке 68 построены розы ветров по данным таблицы 7 (масштаб $1\% = 1,5$ мм). В центре розы ветров показано число штилей.

Пользуясь розами ветров (рис. 68), можно сделать вывод, что промышленные предприятия и фермы лучше располагать с южной или северо-восточной стороны от населенных пунктов, а лесные поселки должны быть направлены с севера на юг.

ПРЕДСКАЗАНИЕ ПОГОДЫ

Глава IX. ПРЕДСКАЗАНИЕ ПОГОДЫ СИНОПТИЧЕСКИМ МЕТОДОМ

ЗАДАНИЕ

1. Ознакомиться с метеорологическим кодом и составлением телеграммы погоды.
2. Ознакомиться с синоптическими символами и правилами наименования погоды на синоптическую карту.
3. Ознакомиться с обработкой, анализом синоптических карт и сопоставлением прогноза погоды на примере учебных синоптических карт*. Указать причины, снижающие отправляемость некоторых прогнозов погоды.

§ 29. Общие сведения

Одной из главных задач метеорологии является предвидение предстоящих изменений погоды, т. е. предсказание ее. Прогнозы погоды имеют большое практическое значение почти для всех отраслей народного хозяйства и особенно для сельскохозяйственного производства, так как оно находится в наиболее тесной зависимости от погоды.

Наличие прогнозов погоды позволяет правильно установить сроки сева различных сельскохозяйственных культур, своевременно подготовиться к защите растений от вредных гидрометеорологических явлений (засуха, заморозки и др.), обеспечить уход за посевами в лучшие агротехнические сроки, а также вовремя и без повторять убрать урожай.

В настоящее время составляют и рассыпают потребителю краткосрочные прогнозы на 24—36 часов и долгосрочные прогнозы погоды на сроки от 3 до 30 дней. Помимо общих прогнозов, которые публикуют в газетах и передают по радио, составляют специальные прогнозы для различных отраслей народного хозяйства.

В зависимости от нужд потребители эти прогнозы содержат специфические данные. Например, для сельского хозяйства весной особенно важно знать ожидаемую температуру почвы на глубине заделки семян, вероятность заморозков, возможность выпадения осадков и т. д.

Работникам сельского хозяйства приходится пользоваться всеми видами прогнозов. Чтобы правильно применять прогнозы погоды в повседневной работе, необходимо знать технику составления

* Учебный синоптический атлас, ч. I. Гидрометеоиздат, Л., 1956.

прогнозов погоды, уметь уточнять их, а некоторые из них — составлять.

Основным методом составления прогноза погоды является синоптический*. Этот метод прогноза погоды основан на составлении синоптических карт, обработке и анализе их.

Составление прогноза погоды синоптическим методом — очень трудоемкая работа. Начинается она со сбора наблюдений метеорологических станций. Все метеорологические станции в установленное время (00, 03, 06, 09, 12, 15, 18, 21 час по декретному московскому времени) производят наблюдения за погодой. Полученные результаты немедленно передаются в местные Бюро погоды, а местные Бюро погоды — в Москву в Гидрометцентр. Московский гидрометцентр принимает погоду из всех Бюро погоды СССР и из зарубежных стран, передавая одновременно погоду Советского Союза в зарубежные страны.

§ 30. Метеорологический код

Для компактности текста и ускорения сбора сведений и международного обмена погода передается по радио и телеграфу в зашифрованном виде, цифрами. Все цифры, соответствующие значением различных метеорологических элементов, имеют строго определенную последовательность согласно схеме телеграммы метеорологического кода.

С 1955 года для зашифровки метеорологических наблюдений наземных станций применяется код КН-01**. Схема метеорологической телеграммы представляет собой семь основных групп по пяти букв в каждой. Для передачи сведений, которые не могут быть включены в основные семь групп, применяются дополнительные группы. Ниже приводится схема кода основной телеграммы.

Схема кода КН-01 метеорологической телеграммы

0	1	2	3	4	5	6	7
УУ	Гм	III	Nddfmf	VVwwW	PPPT	NhC ₁ hC _m C _n	TdTarr
Гм							7RRT _e T _e

ЗНАЧЕНИЕ БУКВ В СХЕМЕ МЕТЕОРОЛОГИЧЕСКОГО КОДА

Нулевая группа УУ_бб_м

УУ — число месяца по московскому счету времени. Кодируется двумя цифрами: первое число — 01, второе — 02 и т. д.

* От греческого «синоптика» — одновременно обозревающий на больших пространствах.
** Кол. для составления ежедневных метеорологических телеграмм на существующих станциях КН-01. Гидрометеоиздат, Л., 1960.

Третья группа VVwwW

$G_m G_m$ — срок наблюдения в часах по московскому декретному времени. Три часа кодируется 03; 6 часов — 12 часов — 12 и т. д.

Первая группа III

II — номер большого района, который указывается согласно схеме районирования сети meteorологических станций СССР (от 20 до 38).

III — номер гидрометеорологической станции. Каждая метеорологическая станция имеет номер.

Вторая группа Nddff_mf_m

N — общее количество облаков независимо от их форм. Кодируется цифрами от 0 до 9 (по табл. 8).

Таблица 8

Цифры кода	Количество облаков (в баллах)	Цифры кода	Количество облаков (в баллах)
0	Облаков нет совсем	5	6
1	1 или менее (включая и следы облаков)	6	7—8
2	2—3	7	9 или более, но есть просветы
3	4	8	10 (все небо покрыто облаками без просветов)
4	5	9	Небо не видно из-за тумана, метели и т. д.

dd — направление ветра (откуда дует) кодируется цифрами от 00 до 36 (по табл. 9).

Таблица 9

Направление ветра	Цифры кода	Направление ветра	Цифры кода
Штиль	00	ЮЮЗ	20
CCB	02	ЮЗ	23
CB	05	ЭЮЗ	25
BCC	07	3	27
B	09	3С3	29
ВЮВ	11	C3	32
ЮВ	14	CC3	34
ЮЮВ	16	C	36
Ю	18	Переменное	99

V — горизонтальная видимость в км. Кодируется цифрами от 00 до 80. Горизонтальная видимость от 0,1 до 5 км шифруется цифрами от 01 до 50, а от 6 до 30 км — цифрами кода от 56 до 80, т. е. в первом случае (до 6 км) цифры кода соответствуют горизонтальной видимости, увеличенной в 10 раз, а во втором (от 6 км) — увеличенной на 50. Например, горизонтальная видимость 10 км — 60, 4,5 км шифруется 45, а горизонтальная видимость 10 км — 60. Если горизонтальную видимость не удается установить, то в телеграмме вместо VV ставится XX.

WW — погода в срок наблюдений или в течение последнего часа. Различные характеристики погоды кодируются цифрами от 01 до 99 (табл. 10). Чтобы облегчить определение цифр кода, соотвествующих данной погоде, в таблице 10 все 100 характеристик погоды разбиты на отдельные группы в зависимости от наличия тех или иных явлений.

W — характеристика погоды между сроками наблюдения (обычно за погоды с момента последнего до текущего измерения (обычно за 3 часа)). Погода между сроками наблюдения кодируется цифрами от 0 до 9 по таблице 11.

Четвертая группа PPTT

PPP — атмосферное давление. Кодируется оно тремя последними цифрами, т. е. в телеграмме указываются десятки, единицы и десятые доли миллибара. Например, давление воздуха 1017,5 мб кодируется 175, давление воздуха 989,0 мб кодируется 890 и т. д.

TT — температура воздуха. Передается в целых градусах. Если значение температуры с десятыми долями, то окружение производится до ближайшего целого градуса. Например, 10,4° до 10, 10,6° до 11. В случае если десятых долей 5, то округление производится до четного числа целых градусов (10,5° до 10, 11,5° до 12 и т. д.).

При кодировании отрицательной температуры к абсолютной величине ее прибавляют 50. Так, температура —15° шифруется 65, —30 шифруется 80 и т. д. При температуре ниже —50° сотни отбрасываются и передаются только десятки и единицы. Например, когда температура воздуха равна —52°, то передается 02 (от прибавления 50 получим 102).

Пятая группа N_hC_LhC_mC_n

N_h — количество облаков C_h . Если нет C_h , то указывается количество облаков C_m . Количество облаков кодируется по таблице 8.

C_L — преимущественно облака нижнего яруса и облака вертикального развития. Столы включаются слоисто-кучевые (Sc), слойстые (St), кучевые (Cu) и кучево-дождевые облака (Cb).

$f_m f_n$ — скорость ветра в м/сек. Цифры кода соответствуют скорости ветра в м/сек. Если ветра не было (шиль), ставится 00, при ветре 1 м/сек — 01 и т. д.

Таблица 10

Приложение

Цифры кода	Характеристика погоды
------------	-----------------------

Цифры кода	Характеристика погоды
------------	-----------------------

A. Без осадков в срок наблюдений (от 00 до 49)	Ослабла в течение последнего часа
Погода без осадков, туман, пыль или песчаной бури, низовой метели или поземки в срок наблюдений (от 00 до 19)	Без заметного изменения интенсивности в течение последнего часа
В срок наблюдений безоблачно. Предшествующие условия неизвестны	Началась или усилилась в течение последнего часа
В срок наблюдений безоблачно. Облака рассеялись в течение последнего часа	Перенос снега происходит ниже уровня глаза наблюдателя
Безоблачно и срок наблюдений и в течение последнего часа	Перенос снега происходит выше уровня глаза наблюдателя
Облака обрашивались или в целом развились	Сильная буря или песчаная буря
Видимость ухудшила из-за дыма (от стенных или лесных пожаров, от промышленных предприятий)	Слабый или умеренный поземок
Мгла	Сильный поземок
Пыль в срок наблюдений, взрывающаяся в воздухе, но не поднята ветром на станции или вблизи нее	Слабая или умеренная низовая метеор
Пыль или песок, поднятые ветром на станции или вблизи нее в срок наблюдений, по пыльной или песчаной бурь или вихревой видно	Сильная низовая метель
Хорошо развитая пыльная или песчаная вихревая видно	Туман в срок наблюдений (от 40 до 49)
Пыль или песчаная бури в поле зрения	Туман или ледяной туман в окрестностях станции, простирающийся выше уровня глаза наблюдателя. В течение последнего часа тумана на станции не было
Дымка	Туман или ледяной туман местами
Поземный туман более или менее сплошной на станции или вблизи нее, высотой не более 2 м над судном	Туман или ледяной туман, небо видно (звезды, луна, солнце или облака сквозь туман видны)
Зарница	Ослаб в течение последнего часа
Осадки в поле зрения, но не достигающие поверхности земли на расстоянии более 5 км от станции	Туман или ледяной туман, небо не видно
Осадки в поле зрения, достигающие поверхности земли поблизости от станции, но не на самой станции	Туман или ледяной туман, небо видно
Гроза	Без заметного изменения интенсивности в течение последнего часа
Шквал	Началась или усилилась в течение последнего часа
Смерч (смерчи)	Б. Осадки на станции в срок наблюдений (от 50 до 99)
Осадки, туман, гроза на станции в течение предыдущего часа, но не в срок наблюдений (от 20 до 29)	Морось (от 50 до 59)
Морось или снежные зерна	Морось с перерывами, слабая
Дождь	„ непрерывная, слабая
Снег	„ с перерывами, умеренная
Дождь со снегом или ледяной дождь (образующие гололед)	„ непрерывная, умеренная
Ливневый дождь	„ с перерывами, слабая
Ливневый снег или ливневый дождь со снегом	„ непрерывная, слабая
Град, ледяная или снежная крупа с дождем или без дождя	„ непрерывная, слабая
Туман или ледяной туман	„ замерзающая (образующая гололед), слабая
Гроза с осадками или без них	„ замерзающая (образующая гололед), умеренная или сильная
Пыльная или песчаная бура, поземок или низовая метеор в срок наблюдений (от 30 до 39)	„ слабая с дождем
Слабая или умеренная пыльная или песчаная бура	„ умеренная или сильная с дождем
Без заметного изменения интенсивности в течение последнего часа	Дождь (от 60 до 69)
Началась или усилилась в течение последнего часа	Дождь с перерывами, слабый непрерывный слабый с перерывами, умеренный непрерывный, умеренный с перерывами, сильный

Продолжение

Цифры кода	Характеристика погоды	
65	Дождь непрерывный, сильный	
66	" замерзающий (образующий гололед), слабый	
67	" замерзающий (образующий гололед), умеренный или сильный	
68	" или морось со снегом, слабые	
69	" " со снегом, умеренные или сильные	
70	Твердые осадки не ливневые (от 70 до 79)	
71	Снег с перерывами, слабый	
72	" непрерывный, слабый	
73	" с перерывами, умеренный	
74	" неуправленный, умеренный	
75	" с перерывами, сильный	
76	" непрерывный, сильный	
77	Ледяные иглы	
78	Снежные зерна	
79	Отдельные скользкие кристаллы, похожие на звездочки	
80	Ледяной дождь	
81	Ливневый дождь слабый	
82	Ливневый дождь умеренный или сильный	
83	Ливневый дождь очень сильный	
84	Ливневый дождь со снегом, умеренный или сильный	
85	Ливневый снег слабый	
86	Ливневый снег умеренный или сильный	
87	Ледяная или снежная крупа слабая, с дождем, со снегом и дождем или без них	
88	Ледяная или снежная крупа умеренная или сильная, с дождем, со снегом и дождем или без них	
89	Град слабый, с дождем, со снегом и дождем или без них	
90	Град умеренный или сильный, с дождем, со снегом и дождем или без них	
91	Гроза в срок наблюдений или в течение последнего часа (от 91 до 99)	
92	Дождь слабый	
93	Дождь умеренный или сильный	
94	Снег или снег с дождем, или град, или крупа, слабые	
95	Снег или снег с дождем, или град, или крупа, умеренные или сильные	
96	Гроза слабая или умеренная без града или крупы, но с дождем или снегом, или дождем и снегом	
97	Гроза сильная без града или крупы, но с дождем или снегом, или с дождем и снегом	
98	Гроза вместе с песчаной или пыльной бурей. Осадки могут быть видны или не видны	
99	Гроза сильная с градом или кру-	

Цифры кода	Характеристика погоды	
0	Ясно или облачность не более 5 баллов	3
1	Меняющаяся облачность. В течение рассматриваемого промежутка времени более 5 баллов, а временами равна или менее 5 баллов	4
2	Пасмурно или облачность более 5 баллов	5

В зависимости от наблюдаемых форм облаков они кодируются цифрами от 0 до 9 по таблице 12.

Таблица 12

Цифры кода	Облака	Номера таблицы
0	Облаков нет	
1	Кучевые плоские или кучевые разорванные, не относящиеся к облакам плохой погоды	57, 57а, 60 (1г, 2, 3)
2	Кучевые средние или кучевые мощные	58, 61–66, 113, 123, 127, 128. (5а, 56, 6, 7, 8, 9)
3	Кучево-дождевые «лыжные»	67–69 (10,11)
4	Слоисто-кучевые, образовавшиеся из кучевых или кучево-дождевых	50, 51 (18, 19, 20а, 206)
5	Слоисто-кучевые, образовавшиеся не из кучевых или кучево-дождевых	41–45, 47, 49, 56, 122, 129, 130 (21–25)
6	Слоистые облака туманообразные и слоистые разорванные, не относящиеся к облакам плохой погоды	52, 53, 100 (26, 27)
7	Слоистые разорванные или кучевые разорванные плохой погоды	22, 55, 80 (28, 29, 37)
8	Кучевые и слоисто-кучевые, основания которых расположены на разных уровнях. Слоисто-кучевые образовались не из кучевых или кучево-дождевых	46 (30, 31)
9	Кучево-дождевые «волосятые»	54, 70–78, 124–126 (12–17, 35, 36)

Формы облаков обычно определяются по «Атласу облаков», поэтому в таблицах 12, 14, 15, помимо названия облаков, указаны номера таблиц из «Атласа облаков», изданных в 1957 г., а также из «Международного атласа облаков».*

h — высота нижней границы облаков C_L или C_m над поверхностью земли. Высота облаков C_m указывается в том случае, когда видны или не видны

* Номера таблиц из «Международного атласа облаков» взяты в скобки.

нет облаков C_l или их очень мало (менее 1 балла). Высота облаков кодируется по таблице 13.

Цифры кода	Высота (в м)	Цифры кода	Высота (в м)
0	Менее 50	6	1000—1500
1	50—100	7	1500—2000
2	100—200	8	2000—2500
3	200—300	9	2500 и более или же облаков нет
4	300—600	x	Высота неизвестна
5	600—1000		

C_m — формы облаков среднего яруса (высококучевые As и высокослоистые As) и нижнего яруса (слоисто-дождевые облака Ns). Они кодируются цифрами от 0 до 9 по таблице 14.

Цифры кода	Облака	Номера таблицы	Таблица 14
0	Облаков нет		
1	Высокослоистые просвечивающие		
2	Высококучевые, расположенные на одном уровне	22, 23 (37)	
3	Высококучевые просвечивающие, расположенные на одном уровне	24, 55, 56 (38)	
4	Высококучевые, расположенные на одном или нескольких уровнях	27, 31, 32, 102, 103, 104, 106 (44—47)	
5	Высококучевые просвечивающие. Облака постоянно распространяются по небу и обычно в целом уплотняются	26 (48, 49)	
6	Высококучевые, образовавшиеся из кучевых или кучево-дождевых. Два слоя или более высококучевых просвечивающих, не распространяющихся по небу, либо же высококучевые вместе с высококучевыми башнеобразными или высококучевые при хаотическом виде неба	39, 40 (50, 506) 30, 34 (51—54)	
7			6
8			7
9			8

$T_{d}T_d$ — температура точки росы. Колидируется так же, как и температура воздуха, TT . d — характеристика барической тенденции (характер изменения атмосферного давления) за последние 3 часа. Барическая тенденция в зависимости от характера ее изменения кодируется цифрами от 0 до 8 по таблице 16.

Цифры кода	Характеристика тенденции	Цифры кода	Характеристика тенденции
0	Рост, затем падение	5	Падение, затем рост
1	Рост, затем без изменения	6	Падение, затем без изменения
2	Рост, равномерный или неравномерный	7	или более слабое падение
3	Падение, затем рост. Без изменения,	8	Равномерное или неравномерное падение
4	Рост, затем более сильный		рост, затем падение. Без изменения, затем более сильное падение
			3 часа назад

C_n — форма облаков верхнего яруса (перистые C_i , перисто-кучевые C_s и перисто-слоистые C_s). Облака верхнего яруса кодируются цифрами от 0 до 9 по таблице 15.

Если облака C_l , C_m или C_n не видны из-за темноты, тумана или сплошного покрова более низких облаков, то в телеграмме становится х.

Цифры кода	Облака	Пояснение
0	Облаков нет	1, 2, 4, 105 (61, 62)
1	Перистые нитевидные, иногда когтевидные, не распространяющиеся постепенно по небу	5, 6, 9, 14 (63)
2	Перистые плотные в виде пуков или спутанных снопов и хлопьев, количество которых обычно не увеличивается	7, 11, 12 (64—66)
3	Перистые плотные, образовавшиеся из кучено-дождевых облаков	10 (67, 68)
4	Перистые когтевидные или перистые нитевидные, постепенно распространяющиеся по небу и в целом обычно уплотняющиеся	
5	Перистые, часто в виде полос, и перисто-слоистые или одни перисто-слоистые, постепенно распространяющиеся по небу. Слоистый слойнее чем на 45° преобладающие над другими облаками	3, 8 (69)
6	Перистые, часто в виде полос, и перисто-слоистые или одни перисто-слоистые, постепенно распространяющиеся по небу. Слоистый слой не покрывает всего неба	(70)
7	Перисто-кучевые, покрывающие все небо	21 (71)
8	Перисто-кучевые, не распространяющиеся по небу и не покрывающие его полностью	(72)
9	Перисто-кучевые одни или перисто-кучевые, преобладающие над другими облаками	13, 15—17 (73, 74, 75)

Шестая группа T_dT_{dapp}

$рр$ — величина барической тенденции за последние 3 часа. Кодируются в десятых долях миллибара. Например, при погожеми давлении за 3 часа на 1,5 мб вместо $рр$ ставится 15. Если величина барической тенденции превышает 9,9 мб, то на месте $рр$ ставится 99. Фактическую же величину барической тенденции передают в дополнительной группе.

Седьмая группа $RRR T_e T_e$

Седьмая группа передается два раза в сутки: утром и вечером.

7 — отличительная цифра.

RR — количество осадков в мм. До 55 мм цифры кода соответствуют фактически выпавшим осадкам. Например, 0 мм шифруется 00, 3 мм — 03, 40 мм — 40 и т. д. Для кодирования осадков, превышающих 55 мм, необходимо к количеству осадков в десятках прибавить 50. Так, осадки в 70 мм кодируются цифрой 57, осадки в 360 мм кодируются 86 и т. д.

$T_e T_e$ — экстремальная температура. В утренней телеграмме передается минимальная, в вечерней — максимальная температура за истекший период. Кодируется так же, как температура воздуха ГТ.

Применение метеорологического кода КН-01 позволяет передать погоду сокращенно цифровыми группами. В таблице 17 приводятся характеристики погоды, а ниже соответствующая ей телеграмма погоды, составленная на основании кода КН-01, по наблюдениям метеорологической станции на 9 часов 6 февраля 1967 года.

Таблица 17

Значение метеорологических элементов на 9 часов 6 февраля 1967 г.

Метеорологические элементы	Время наблюдения 09	Метеорологические элементы	Время наблюдения 09
Горизонтальная видимость	4 км	Скорость ветра	Тихо
Общее количество облаков	10 б	Температура воздуха	-2,1°
Формы облаков	Слоисто-дождевые (табл. 55). 300 м	Точка росы	-4,0°
Высота нижней границы облаков		Минимальная температура воздуха за ночь	-6,6°
Количество осадков	0,4 мм	Давление воздуха	1019,4 мб
Погода между сроками наблюдений	Шел снег	Характеристика барической тенденции	Равномерный рост +0,2 мб
Погода в срок наблюдений	Шел снег		
	непрерывный, слабый		

В зашифрованном виде эта погода записывается одной строкой.

0	1	2	3	4	5	6	7
0609	34523	80000	96717	19452	8042x	54202	794,7

Таким образом, благодаря коду сводка погоды имеет более скращенный вид и быстро передается в соответствующие центры. Сводки погоды начинают поступать в Гидрометцентр уже через 20 минут после очередного срока наблюдений и сразу же используются для составления синоптической карты.

§ 31. Синоптические карты

Основные синоптические карты составляют четыре раза в сутки по наблюдениям в 03, 09, 15 и 21 час. Эти карты охватывают очень большую территорию, протяженностью в несколько тысяч километров, и служат основой для составления суточного прогноза погоды.

Одни-два раза в сутки по наблюдениям в основные сроки составляют синоптические карты всего полушария и в каждый срок наблюдений — карты-кольцочки. Последние охватывают небольшие районы (иногда только одну область) и применяются для прогнозов на ближайшие часы, а также используются при составлении суточного прогноза.

Бланки синоптических карт представляют собой географические карты, на которых обозначены кружки (шансоны) станций. Возле каждого пункона подписыны индексы (номера станций), присвоенные им. Согласно номеру метеорологической станции, указанной в телеграмме погоды, метеостанцию находят на бланке синоптической карты и вокруг данного пункона наносят значения метеорологических элементов.

Синоптические символы. Для составления синоптических карт применяются условные обозначения — синоптические символы (рис. 69). Символы на рисунке определяются по цифрам кода, содержащихся в телеграмме погоды. В левой стороне рисунка 69 указаны символы для нанесения погоды в срок наблюдения (ww) по цифрам кода от 00 до 99, а в правой — символы для изображения на картах С_л, С_м, С_н, W, a, N по цифрам кода от 0 до 9.

Направление ветра на карте обозначают стрелкой, направленной к пуссону станции со стороны, откуда дует ветер, а скорость ветра — оперением стрелки. Одно большое перо соответствует скорости ветра 3—4 м/сек, малое — 1—2 м/сек (рис. 70).

Остальную часть метеорологических элементов наносят цифрами, причем давление и температуру воздуха в срок наблюдений, экстремальную температуру и точку росы наносят цифрами, которые стоят в телеграмме. При отрицательной температуре из числа, указанного в телеграмме, вычитают 50 и наносят остаток.



Рис. 69. Синоптические символы.

Цифрами обозначают также горизонтальную видимость, количество облаков и их высоту, а также количество осадков. Горизонтальная видимость выражается в километрах. Для обозначения количества облаков и их высоты пользуются специальными таблицами (табл. 18 и 19). Количество нижних облаков обозначают по таблице 18, а высоту их — по таблице 19.

Таблица 18

Цифры колца	Наносится на карту						
0	Не наносится	5	6	0	<50	5	600
1	1	6	8	1	50	6	1000
2	2	7	9	2	100	7	1500
3	4	8	10	3	200	8	2000
4	5	9	x	4	300	9	Не наносится

Осадки отмечают в целых миллиметрах или в десятых долях, если количество их меньше одного миллиметра.

Для того чтобы облегчить чтение синоптических карт, каждый метеорологический элемент наносится на строго определенном месте относительно пункта станции в соответствии со схемой (рис. 70) и тулью разных цветов: осадки — зеленой; температура в срок наблюдений и экстремальная, погода между сроками наблюдений и облака верхнего яруса — красной, а все остальные элементы — черной тушью. На рисунке 71 изображены данные, соответствующие погоде на 6 февраля 1967 года по станции Луганск (см. телеграмму погоды на стр. 115). Так наносится погода на синоптических картах около каждого кружка станции, только значительно мельче: все символы и цифры должны быть размещены примерно в одном квадратном сантиметре.

Рис. 70. Схема расположения отдельных элементов погоды на синоптической карте.

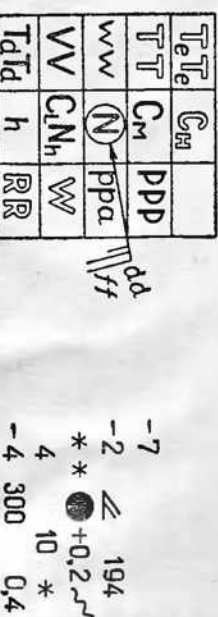


Рис. 71. Пример нанесения метеорологических наблюдений на карту.

По синоптической карте с нанесенными данными видно, какая погода наблюдается в той или иной местности, т. е. синоптическая карта представляет собой как бы снимок состояния погоды в определенный момент над большой территорией. Чтобы составить исходную картину процессов, развивающихся в атмосфере, синоптическую карту после нанесения данных наблюдений обрабатывают.

Обработка синоптических карт заключается в определении мест расположения циклонов, антициклонов, атмосферных фронтов и воздушных масс. Обработка начинается с заштриховки цветными карандашами районов выпадения осадков (зеленым цветом), районов распространения туманов (желтым цветом), радиальных изобар (линиями равного давления) через 5 мб (простым карандашом). Штрихуют цветными карандашами воздушные массы различного происхождения. Затем определяют границы между ними — атмосферные фронты. На синоптических картах теплый фронт изображают линией красного цвета, холодный — линией синего или черного цвета. В центре циклона ставят черным карандашом большую букву Н, а в центре антициклона — букву В. Таким образом, на обработанной синоптической карте уже хорошо видны те процессы, которые наблюдаются над различными географическими областями.

Анализ синоптических карт и прогноз погоды. После обработки синоптической карты приступают к ее анализу. Для этой цели используются, помимо текущей синоптической карты, предыдущие синоптические карты, карты-кольдовки, высотные карты, которые составляются до высоты 5 км, а в ряде случаев — данные наблюдений метеорологических искусственных спутников Земли. В настоящее время наблюдения с искусственных спутников Земли используются при составлении прогнозов для Московской области и для уточнения синоптических процессов на картах земного шара.

В ходе анализа синоптических карт прежде всего определяют, в каком направлении и с какой скоростью в ближайшее время будут перемещаться воздушные массы, фронты, циклоны и антициклоны, а также дальнейший ход развития атмосферных процессов. Например, будет ли атмосферное давление в центре циклона

в дальнейшем понижаться или повышаться. В первом случае циклоны будут углубляться, а во втором — заполняться. Повышение давления в антициклоне, наборот, сопровождается его усиливением. В результате анализа синоптической карты производится расчет будущего синоптического положения, т. е. определяются географические районы распространения и новые свойства воздушных масс, фронтов, циклонов и антициклонов, которые будут наблюдаться на следующий день. На основании анализа синоптической карты и полученного будущего синоптического положения и составляют прогнозы погоды.

Таким образом, в прогнозах содержится характеристика погоды, соответствующая ожидаемым над данной территорией атмосферным процессам. Формулировка прогнозов очень короткая и понятная для всех. В них дается общая качественная и количественная характеристика предстоящих изменений погоды по элементам: облачности, осадкам, ветру, температуре, атмосферным явлениям (гроза, туманы, метель, гололед, изморозь и др.).

Суточный прогноз погоды составляют на период с 21 часа текущего дня до 21 часа следующего дня, причем время с 21 часа текущего до 9 часов считается первой половиной периода. В случае необходимости прогноз погоды на второй период уточняют по последующим синоптическим картам.

Здесь изложена только общая, упрощенная схема этапов работы при составлении прогнозов погоды, но и она дает представление о сложности и трудоемкости этого процесса.

Оправдываемость прогнозов. На данном этапе развития науки оправдываемость прогнозов составляет в среднем 80—85%. Это довольно большая точность, особенно если учесть, что процент оправдываемости снижается не только из-за неправильного прогноза, но и из-за неверного предсказания отдельных элементов в них. Поэтому специальные прогнозы имеют большую оправдываемость, чем общие. Оправдываемость прогнозов погоды для данной местности снижается в основном по двум причинам.

Во-первых, прогнозы составляются преимущественно для большой территории (область, край), имеющей различный характер подстилающей поверхности. Поэтому даже при одинаковых атмосферных процессах будет разница в погоде отдельных мест. Например, в прогнозе погоды указаны заморозки или осадки. В действительности заморозки были в пониженных местах, но их не было на склонах и возвышенностях. Значит, для хозяйств, расположенных на возвышенностях, прогноз не оправдался. Осадки выпали только около лесных массивов и возвышенностей, а на равнине и открытом месте их не было. Опять прогноз не оправдался. Фактически прогноз был составлен правильно, но существующая методика пока не позволяет еще детализировать его.

Во-вторых, некоторые прогнозы не оправдываются в результате возможных ошибок, допущенных при расчете скорости и направ-

ления перемещения воздушных масс, фронтов, циклонов и антициклонов. При ошибке в определении скорости предсказанное изменение погоды может быть раньше или позже указанного в прогнозе времени. Например, осадки, ожидаемые по прогнозу на первую половину периода, могут выпасть или в первую половину периода или только в следующие сутки. Если ошибки допущены в прогнозе направления изменения погоды может и не включаться в данной местности, а произойдет где-то поблизости. Все эти неточности прогнозов погоды в определенной степени могут быть устранены уточнением полученных прогнозов по местным признакам и наблюдениям в данном пункте. Поэтому оправдываемость и практическая значимость прогнозов повышается, если прогнозами погоды пользуются систематически и уточняют их по наблюдениям в данном пункте и по местным признакам. Особенно это относится к метеорологическим элементам и атмосферным явлениям, распределение которых зависит от подстилающей поверхности (осадки, заморозки и др.).

В настоящее время в Советском Союзе и в ряде других стран для предсказания погоды применяется, помимо синоптического, математический, или численный, метод. Путем решения сложных уравнений определяются три элемента: давление, температура воздуха и характеристика ветра. Большая заслуга в развитии этого метода принадлежит члену-корреспонденту АН СССР И. А. Кильбело.

Г л а в а X. ПРЕДСКАЗАНИЕ ПОГОДЫ ПО МЕСТНЫМ ПРИЗНАКАМ

ЗАДАНИЕ

1. Изучить местные признаки установления и сохранения погоды без осадков, местные признаки приближения ненастной погоды с осадками и ее сохранения. Составить прогноз погоды по местным признакам.
2. Назвать народные приметы, которые можно использовать для предсказания погоды.

§ 32. Местные признаки погоды

Работникам сельскохозяйственного производства необходимо хорошо знать и уметь использовать в практической работе местные признаки погоды, по которым можно уточнять для данной местности полученный прогноз погоды, а также самостоятельно предсказывать ожидаемую погоду.

По местным признакам с достаточной точностью можно предсказать погоду на ближайшие 3—4 часа, а иногда и на более длительный срок, хотя это значительно сложнее, так как видимый горизонт открыт на небольшое расстояние.

Для сельскохозяйственного производства в отдельных случаях очень важно иметь прогнозы даже такой малой заблаговременности. Например, если известно, что через 3—4 часа начнется дождь, то за это время можно укрыть зерно на току, собрать сено в стога и т. д. Синоптическим методом составить прогноз погоды на такой короткий срок по техническим причинам не представляется возможным.

Очень важным местным признаком являются облака. Известно, что изменения погоды происходят в результате смены воздушных масс, прохождения атмосферных фронтов, циклонов и антициклонов. Различным воздушным массам (теплым, холодным), атмосферным фронтам, циклонам и антициклонам свойственны определенные облака. Поэтому, наблюдая за закономерностью изменений форм облаков, можно определить ожидаемую погоду.

В качестве местных признаков могут быть использованы также изменения атмосферного давления, изменения температуры и скорости ветра в течение суток, гидрометеоры (роса, иней, радиационный туман) и оптические явления в атмосфере (гало, окраска заря, радуга).

Для предсказания погоды по местным признакам желательно использовать не один, а несколько признаков. Причем, чем больше местных признаков свидетельствуют о предстоящем изменении погоды, тем более вероятно, что оно произойдет.

Если же местные признаки противоречат один другому, то в этом случае следует прежде всего учитывать наиболее важные (облака, ветер).

Ниже приводятся некоторые местные признаки для основных типов погоды.

Признаки сохранения погоды без осадков. Ясная погода без осадков наблюдается в антициклоне. Признаками сохранения антициклональной погоды являются хорошо выраженный суточный холд температуры воздуха, ветра и других метеорологических элементов. Давление воздуха очень мало меняется или отмечается небольшой рост его во времени.

Днем наблюдается усиление ветра и значительное повышение температуры. К полуночи развиваются кучевые облака в виде отдельных шапок, которые к вечеру растекаются.

Ночи прохладные, очень тихие, небо почти совершенно безоблачное и очень звездное. В результате ночного излучения может образоваться роса, а в пониженных местах и вблизи волосямов, где влажность значительная, — туман, который с восходом солнца рассеивается (радиационный туман).

Вечерняя заря золотистого или даже зеленого оттенка. Признаки наступления ненастной погоды. Пасмурная погода с осадками бывает при прохождении атмосферных фронтов и циклонов, в которых также есть теплый и холодный фронты. Особенно ненастная погода с продолжительными обложными осадками, зна-

чительной низкой облачностью и туманами наблюдается на теплых фронтах и соответственно в передней части циклона.

Признаками приближения теплых фронтов, а следовательно и продолжительных обложных осадков является медленное падение атмосферного давления и появление перистых облаков, пущих с базы (с одной части горизонта). Постепенно перистые облака уплотняются в перисто-слоистые. В это время вокруг солнца или луны может образоваться светлый круг — гало. Иногда может быть не один круг, а несколько, тогда наблюдается сложное гало. Дальнейшее уплотнение облаков сопровождается образованием высокослоистых облаков. Одновременно с этим постепенно уменьшается и совсем исчезает гало. Уже из высокослоистых облаков зимой могут выпадать осадки, хотя очень слабые. За высокослонистыми облаками надвигаются мощные темного цвета слоисто-дождевые облака, которые и сопровождаются выпадением продолжительных непрерывных, так называемых обложных осадков.

В результате увеличения облачности слаживается суточный ход температуры воздуха. Роса, как правило, не образуется, но может быть туман адvectionного характера, не рассеивающийся с восходом солнца.

Суточный ход ветра нарушается, скорость его увеличивается по мере приближения фронта независимо от времени суток. Утренняя и вечерняя зори красного цвета вследствие содер- жания в атмосфере большого количества водяного пара.

Ненастная погода наблюдается и при прохождении холодных фронтов, но в этом случае она не бывает продолжительной.

Признаком приближения холодного фронта, а вместе с ним ливневых кратковременных осадков, является резкое падение атмосферного давления, значительное увеличение скорости ветра, иногда до бури.

Так как холодный фронт движется быстро, то облачность перед его приближением меняется также очень быстро, причем часто можно наблюдать, что облака движутся в направлении, противоположном направлению ветра у земной поверхности. Обычно вначале появляются перисто-кучевые, быстро сменяющиеся высококучевые облаками. Особенно характерны для холодного фронта высококучевые чечевицеобразные облака. Благодаря мощной конвекции воздуха непосредственно перед фронтом образуются свинцовые кучево-дождевые облака, из которых выпадают очень интенсивные, кратковременные осадки — ливневые. Иногда они сопровождаются грозой и выпадением града.

Благоприятные условия для возникновения гроз и образования града создаются при мощном вертикальном движении теплого и влажного воздуха. Кучево-дождевые облака в этом случае имеют значительное распространение по вертикали и заканчиваются белоснежной вершиной, вытянутой по направлению ветра. Сбоку облако имеет вид «наковальни». Кроме того, перед грозой

создается ощущение духоты, вызванное сочетанием падения атмосферного давления, высокой температуры и влажности воздуха.

Если изменение облачности в указанном порядке происходило сравнительно медленно, то за пологой относительно слабых ливневых осадков наблюдается выпадение обложных осадков.

Приближение ненастной погоды можно предсказать за 12—20 часов; при прохождении теплых фронтов — только за 6—8 часов.

После прохождения фронтов постепенно восстанавливается хорошая погода. О восстановлении хорошей погоды свидетельствуют свойственные ей местные признаки: отмечается рост атмосферного давления, ветер стихает, суточный ход метеорологических элементов восстанавливается, в утренние часы появляются роса, туман, днем увеличиваются просветы голубого неба и небесный свет. Значительную роль в восстановлении погоды играет солнце.

Значительную роль в восстановлении погоды играет солнце.

Признаки сохранения пасмурной погоды с осадками. Ненастная погода с осадками может сохраняться несколько дней после прохождения теплого фронта (в теплых воздушных массах) и в циклонах. Основными признаками, по которым можно предвидеть сохранение ненастной погоды, служат продолжение падения давления при длительных, без заметного усиления или ослабления, осадках и слабо выраженный суточный ход температуры воздуха.

В это время наблюдается сплошная низкая облачность однородного серого цвета без резко выделяющихся «клубов» или «обрывков» и ветер не меняет своего направления. Например, зимой пасмурная погода с туманами и слабыми осадками может удерживаться очень долго при западных ветрах.

С изменением направления ветра погода быстро улучшается.

§ 33. Народные приметы о погоде

Некоторым дополнением к прогнозам погоды могут быть также народные приметы. Научное предсказание погоды ведется сравнительно недавно (около 100 лет), а потребность в предсказании погоды существовала с давних времен. В результате многовековых наблюдений за изменениями погоды было подмечено много предметов, особенно моряками и земледельцами, жизнь которых во многом зависела от погоды. Для лучшего запоминания большинство народных примет представлены в форме пословиц и поговорок.

Несомненный интерес представляют приметы, составленные на основе наблюдений за физическими явлениями, происходящими в атмосфере (облачность, ветер, оптические явления и т. д.). Эти приметы совпадают с местными признаками погоды: «Если на траве роса, дождь в этот день не будет»; «Чистый закат солнца — к вёдру», «Если увиши зеленый луч — ожидай на завтра хоршего дня», «Ветер с летнего восхода (северо-восток) — зимой на

мороз, летом — к хорошей погоде», «Западный ветер — плахусы»* «Если ветер дул с одной стороны, а потом идуруг переменился и стал дуть с другой стороны — скоро будет дождь» и многие другие.

Очень распространены приметы, основанные на поиске на секундах и птиц. «Если утром пчелы не летят в поле, а сидят что ульям и гудят — жди дождя»; «Муравьи прячутся в гнезда — к грозе или сильному дождю».

Известны приметы и по состоянию растений: вьюнок закрывает свой венчик перед дождем, цветы сильнее пахнут перед дождем; клевер сблизяет свои листочки, наклоняется перед ненастаем. Наряду с правильными народными приметами погоды встречаются и такие, в которых погода ставится в зависимость от событий и явлений, не имеющих никакого отношения к ней. Мало пользы для предсказания погоды дают так называемые календарные приметы.

Поэтому к народным приметам следует относиться критически. Для уточнения прогноза и предсказания погоды можно использовать приметы, в которых действительно отражен вековой опыт народа. В большинстве своем это приметы, основанные на наблюдениях за физическим состоянием атмосферы. Такие приметы следует накапливать, проверять оправдываемость их в данной местности и использовать в практической работе.

Г л а в а XI. ПРЕДСКАЗАНИЕ ЗАМОРОЗКОВ ПО НАБЛЮДЕНИЯМ В ОДНОМ ПУНКТЕ

ЗАДАНИЕ

1. Изучить методику составления прогноза заморозков по способу Михалевского и рассчитать ожидаемую минимальную температуру по данным наблюдений.
2. Изучить методику составления прогноза заморозков по способу Чудновского и рассчитать ожидаемую минимальную температуру по данным наблюдений в 19 часов.

§ 34. Общие сведения по заморозкам

Заморозки — кратковременное понижение температуры ниже 0° в теплый период на уровне травостоя*.

Различные сельскохозяйственные культуры повреждаются заморозками разной интенсивности. Неодинакова чувствительность к заморозкам одних и тех же культур в разные фазы развития их.

Температура, при которой наблюдается частичное повреждение или гибель растений, называется минимальной критической темпе-

ратуры. В таблице 9 приложения приводятся минимальные кри-
тические температуры в основные фазы развития для некоторых кри-
сельскохозяйственных культур. Как видно из таблицы, минималь-
ные критические температуры для различных сельскохозяйствен-
ных культур в разные фазы развития их изменяются в широких
пределах. Одни растения выдерживают понижения температуры до -7 , -10° , другие погибают при температуре $-1-0^{\circ}$. Поэтому
для сельскохозяйственного производства необходимо знать не
только понижение температуры ниже 0° , но и предел, до которого
она может понизиться. Например, понижение температуры до -2°
не опасно для исходов ячменя, овса, которые ловко скрываются только
при температуре -8 , -9° , но опасно для всходов картофеля, огур-
цов и других культур.

В результате весенних, осенних, а в некоторых местах и летних заморозков почти ежегодно отмечаются снижения урожая тех или иных культур. Мероприятия по борьбе с заморозками (дым-
ление, открытие обогрев, полив, районирование морозостойчивых сортов и др.) позволяют значительно уменьшить, а в ряде случаев свести на нет вредное действие заморозков и тем самым сохранить урожай сельскохозяйственных культур.

Для спасительной и успешной борьбы с заморозками необходимо знать заранее время наступления и интенсивность их, чтобы иметь возможность подготовиться к защите растений, для которых ожидаемые заморозки будут опасными.

Адвективные заморозки, развитые которых связано с вторже-
нием холодных воздушных масс, с достаточной точностью предска-
зываются по синоптическим картам.

Значительно труднее предсказать по синоптическим картам радиационные и адvectionно-радиационные заморозки, так как
распределение и интенсивность их находятся в большой зависи-
мости от характера подстилающей поверхности. Причиной возник-
новения радиационных, а в конечном счете и адvectionно-радиа-
ционных заморозков является ночное излучение почвы и расти-
тельный покров. Поэтому такие заморозки чаще наблюдаются и имеют большую интенсивность в пониженных местах, на лесных полянах и реже — на возвышенностях, склонах, побережьях водос-
ловий и т. д. По синоптическим картам представляется возможность указать только районы, в которых возможны радиационные и адvectionно-радиационные заморозки.

Известно, что радиационные и адvectionно-радиационные замо-
розки наиболее опасны для сельского хозяйства, так как наблю-
даются они довольно поздно весной и рано осенью, в период веге-
тации культур, малоустойчивых к заморозкам. Поэтому разрабо-
тельцами много способов предсказания этих заморозков по на-
стистическим способам предсказания, в основу которых положены
связи между дневными и ночных температурами, и эмпирические
правила.

Из статистических и эмпирических способов для предсказания заморозков чаще всего применяется способ Михалевского.

В последнее время много внимания уделяется физической сущ-
ности заморозка. На основе изучения физического процесса замороз-
ления почвы и приземного слоя воздуха разработаны до-
вольно совершенные способы предсказания заморозков с учетом теплового баланса на границе земля — воздух и изменения коэф-
фициента обмена с высотой. Из теоретических способов предсказа-
ния заморозков наиболее перспективны способы А. Ф. Чудилов-
ского и М. Е. Берлянда. Ниже излагается способ А. Ф. Чудилов-
ского, так как для расчета ожидаемой минимальной температуры
по способу М. Е. Берлянда необходимы довольно сложные рас-
четы с учетом большого объема данных наблюдений.*

В ночи, когда ожидаются заморозки, желательно вести непре-
рывные наблюдения за температурой, влажностью воздуха, облач-
ностью и ветром. Такие наблюдения позволяют своевременно при-
нять необходимые меры по защите растений от заморозков. Для наблюдений могут быть использованы сигнализаторы заморозков. Для
конструктивными изменениями В. И. Виткевича. На ленту термо-
графа по линии заданной температуры (например 2°) наклеиваются
полоску из станиола или наносят слой электропроводящей краски.
Затем термограф подключают к источнику питания. При этом один полюс источника тока включают на корпус прибора или пере-
самописца, а другой — на электропроводящую полоску. Как только
перо самописца дойдет до заданной температуры, появляется сиг-
нал. Термограф может быть установлен среди растений, а сигна-
лизаторы — в помещении.

§ 35. Предсказание заморозков по способу Михалевского

Для предсказания заморозков этим способом нужно иметь в хозяйствах психрометры для измерения температуры и влаж-
ности воздуха. Ночной минимум температуры воздуха и почвы по способу Михалевского определяется по наблюдению температуры и влажности воздуха в 13 часов по среднему местному времени.

Ожидаемую минимальную температуру воздуха вычисляют по формуле:

$$t_{\min} = t_1 - (t - t_1)c, \quad (25)$$

а ожидаемую минимальную температуру почвы — по формуле:

$$t_{\min} = t_1 - (t - t_1)2c, \quad (26)$$

где t_{\min} — ожидаемая минимальная температура воздуха или почвы ночью;

t — температура по «сухому» термометру в 13 час.;

* Берлянд М. Е., Красиков Г. Н. Предсказание заморозков и борьба с ними. Гидрометеоиздат, Л., 1960.

t_1 — температура по «смоченному» термометру в 13 час.;
 c — коэффициент, зависящий от влажности воздуха, опре-
деляется по таблице (см. табл. 20).

Таблица 20

Значение коэффициента c в зависимости от влажности воздуха																		
Относительная влажность r , в %	100	95	90	85	80	75	70	65	60	55	50	45	40	35	30	25	20	15
Коэффициент c	5,0	4,5	4,0	3,5	3,0	2,5	2,0	1,8	1,5	1,3	1,2	1,0	0,9	0,8	0,7	0,5	0,4	0,3

Предварительный прогноз о возможности заморозков в пред-
стоящую ночь составляют в 13 часов. Если вычисленные значения
минимальной температуры воздуха и почвы больше 2° , то замо-
розок маловероятен, если меньше 2° , но больше -2° , то заморозок
вероятен, и если минимальная температура меньше -2° , то ночью
будет заморозок.

Прогноз заморозков, полученный днем, уточняют по облач-
ности после 19 часов. Если после 19 часов облачность меньше
4 баллов, то ожидаемый ночной минимум температуры умень-
шается на 2° . При облачности от 4 до 7 баллов к полученной ми-
нимальной температуре поправок не вводят. При сплошной об-
лачности ожидаемый минимум температуры увеличивают на 2° .

(т) Пример. Температура воздуха в 13 часов по «сухому» термометру
 $5,4^\circ$, по «смоченному» термометру (t_1) $3,0^\circ$, относительная влажность
воздуха 63%. После 19 часов было ясно.

Из таблицы 20 по величине относительной влажности находим значение c ,
оно равно 1,6. Ожидаемый ночной минимум температуры воздуха вычисляем по фор-
муле (25):

$$t_{\min} = 3,0 - (5,4 - 3,0) \cdot 1,6 = -0,8^\circ,$$

а ожидаемый ночной минимум температуры почвы по формуле (26):

$$t_{\min} = 3,0 - (5,4 - 3,0) \cdot 2 \cdot 1,6 = -4,7^\circ.$$

Так как после 19 часов было ясно, то полученные значения следует уменьшить
на 2° . Получим t_{\min} воздуха $-2,8^\circ$, а t_{\min} почвы $-6,7^\circ$. Таким образом, в пред-
стоящую ночь будут заморозки и в воздухе, и на почве.

§ 36. Предсказание заморозков по способу Чудновского

Этот способ основан на учете радиационного баланса и турбу-
лентного обмена. Для расчета ожидаемой ночной температуры
Чудновским предложены две формулы: одна для расчета замо-
розков по наблюдениям в 19 часов, вторая — по наблюдениям в мо-
мент захода солнца.

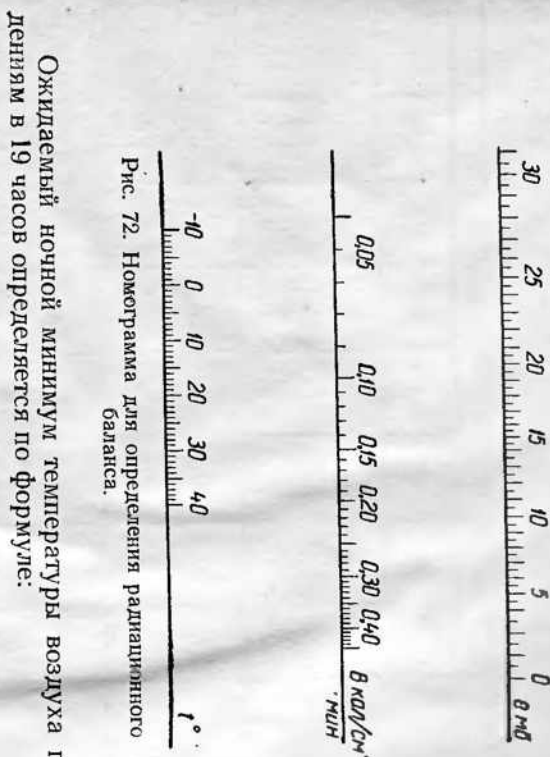


Рис. 72. Номограмма для определения радиационного баланса.

Ожидаемый ночной минимум температуры воздуха по наблю-
дениям в 19 часов определяется по формуле:

$$t_{\min} = t - B_1 (K_1 + L_1 + M_1 + N_1), \quad (27)$$

где

t — температура воздуха в 19 часов;

B_1 — радиационный баланс;

K, L, M, N — коэффициенты, зависящие от широты и вре-
мени года (значения K, L, M, N определяют
по табл. 21);

$t_1, \delta_1, \gamma_1, \delta_2$ — коэффициенты, зависящие от турбулентного об-
мена и состояния поверхности почвы. Эти ко-
эффициенты определяются по данным наблю-
дений скорости ветра и состояния поверхности
почвы в 19 часов (табл. 22).

Из величин, входящих в формулу (27), значительную труд-
ность представляет измерение радиационного баланса. Поэтому
А. Ф. Чудновский предложил вычислять радиационный баланс
по измерениям облачности, температуры и влажности воздуха.

Для определения радиационного баланса (B) при ясном небе
(в момент наблюдения в 19 часов) пользуются номограммой, со-
стоящей из трех шкал (рис. 72). Верхняя шкала соответствует
абсолютной влажности воздуха (в мб), нижняя шкала — темпе-
ратуре воздуха, а средняя — радиационному балансу при ясном небе
(в ккал/см²·мин). Чтобы определить радиационный баланс (B),
необходимо соединить линейкой точки, соответствующие значе-
нию абсолютной влажности (в мб) и температуре воздуха в 19 ча-
сов. На пересечении линеек со средней шкалой находит ради-
ационный баланс (B) при ясном небе.

Таблица 21

Значение коэффициентов K, L, M, N

Месяц	Коэф-фи-циенты	Широта							
		42°	46°	50°	54°	58°	62°	66°	
Март	K	-0,3	-0,2	-0,2	-0,2	-0,2	-0,2	-0,1	
	L	6,0	5,6	5,4	4,8	4,2	3,5	2,3	
	M	0,0	0,0	0,0	0,0	0,0	0,0	0,0	
Апрель	N	0,6	0,5	0,5	0,5	0,5	0,5	0,4	
	K	-0,3	-0,3	-0,2	-0,2	-0,2	-0,2	-0,2	
	L	6,8	6,3	5,8	5,6	5,3	5,0	5,0	
Май	M	0,0	0,0	0,0	0,0	0,0	0,0	0,1	
	N	-0,4	-0,6	0,0	-0,6	-0,9	-0,7	-0,9	
	K	-0,3	-0,3	-0,3	-0,2	-0,2	-0,2	-0,2	
Июнь	L	6,7	6,5	5,9	5,4	4,9	4,7	4,1	
	M	0,1	0,1	0,1	-0,1	0,1	-0,1	0,0	
	N	-0,9	-1,1	-1,1	-0,9	-0,9	-0,8	-0,5	
Июль	K	-0,3	-0,3	-0,2	-0,2	-0,2	-0,2	-0,1	
	L	6,9	6,4	5,8	5,4	5,2	3,8	1,8	
	M	0,1	0,1	0,1	-0,1	0,1	-0,1	0,0	
Август	N	-1,1	-1,2	-1,1	-1,0	-0,7	-0,4	0,0	
	K	-0,3	-0,3	-0,2	-0,2	-0,2	-0,2	-0,1	
	L	6,8	6,1	5,5	4,8	4,4	4,0	2,9	
Сентябрь	M	0,1	0,1	0,1	-0,1	0,1	-0,1	0,1	
	N	-1,1	-1,1	-1,1	-0,9	-0,7	-0,5	-0,2	
	K	-0,3	-0,1	-0,3	-0,2	-0,2	-0,2	-0,2	
Октябрь	L	6,4	5,8	5,5	5,3	5,1	4,9	4,5	
	M	0,1	0,2	0,1	0,1	0,1	0,0	0,1	
	N	-0,7	-0,8	-0,9	-0,9	-0,9	-0,8	-0,8	

Значения коэффициентов $\gamma_1, \delta_1, \gamma_2, \delta_2$ в зависимости от влажности почвы

Состав почва	Коэф-фи-циенты	Скорость ветра по флюгеру и м/сек							
		0	1	2	3	5	7	10	15
Сухая	γ_1	10,6	15,2	15,6	15,1	13,5	12,5	10,7	8,9
	δ_1	22,8	19,4	15,0	13,4	9,5	7,3	5,6	4,0
Слабо увлажненная	γ_1	17,7	15,6	13,7	12,0	9,3	7,4	5,6	3,8
	δ_1	3,5	6,9	7,7	7,8	7,6	7,4	7,0	6,2
Хорошо увлажненная	γ_1	11,3	10,0	9,0	7,5	6,3	4,9	3,4	2,8
	δ_1	2,5	4,7	5,6	5,8	5,9	5,8	5,6	4,6
Сильно увлажненная	γ_1	5,8	8,6	9,2	9,2	8,9	8,5	7,9	6,9
	δ_1	12,9	12,0	10,8	9,8	8,2	6,9	5,3	3,8
Избыточно увлажненная	γ_1	1,6	3,0	3,5	3,7	3,8	3,9	3,8	3,6
	δ_1	5,2	5,4	5,2	5,0	4,6	4,2	3,6	2,5

Если в 19 часов наблюдалась облачность, то радиационный баланс при облачном небе вычисляют по формуле:

$$B_1 = B(1 - \kappa_1 n_1 - \kappa_2 n_2 - \kappa_3 n_3), \quad (28)$$

где B_1 — радиационный баланс при облачном небе; B — радиационный баланс, найденный по nomogramme

для ясного неба (рис. 72); n_1, n_2, n_3 — количество облаков, соответственно верхнего, среднего и нижнего ярусов в момент наблюдений;

$\kappa_1, \kappa_2, \kappa_3$ — коэффициенты, характеризующие задерживание излучения облаками тех же ярусов ($\kappa_1 = 0,02$; $\kappa_2 = 0,05$; $\kappa_3 = 0,08 - 0,09$).

Таким образом, чтобы определить методом Чудновского скидываемыйочный минимум температуры воздуха, необходимо иметь

для пункта, широта которого известна, данные по температуре и влажности воздуха, скорости ветра и облачности, а также состоянию поверхности почвы в 19 часов. Для большей точности желательно проводить наблюдения в трехкратной повторности (18, 19, 20 часов) и для расчета ожидаемой минимальной температуры использовать среднее из трех значений.

Если рассчитанная ожидаемая минимальная температура равна 1,5°, то заморозок в воздухе возможен, а если —1° и меньше, то заморозок неизбежен. По способу Чудновского определяется ожидаемая минимальная температура воздуха на высоте 2 м. На поверхности почвы температура ниже, чем на высоте 2 м в воздухе. Разница между температурой воздуха на высоте 2 м и на поверхности почвы в ночь с заморозками весной может быть от 1,5 до 4—5°, а остально — от 0,5—0° до 4—4,5°.

Пример. В 19 часов² пришел на фоне хорошо увлажненной почвы температура воздуха была 2,2°, испаряющая влажность воздуха 5,5 мб. Облака нижнего яруса, 10 баллов. Ветра не было (0 м/сек). Метеостанция расположена на широте 48°35'.

Ожидаемую минимальную температуру рассчитываем по формуле (27). Вначале определяем коэффициенты, входящие в формулу, и радиационный баланс.

1. Коэффициенты K , L , M , N определяем по таблице 21. Для широты 48°35' в апреле $K = -0,2$, $L = 6,0$, $M = 0,0$, $N = -0,3$.

2. Коэффициенты γ_1 , γ_2 , γ_3 , γ_4 находим по таблице 22 по состоянию поверхности почвы и скорости ветра.

3. Определяем величину радиационного баланса при ясном небе (B) по номограмме (рис. 72). Для температуры 2,2° и абсолютной влажности 5,5 мб $B = 0,145$ кал/см²мин.

4. По формуле (28) вычисляем радиационный баланс при облачном небе. Так как в 19 часов были отмечены только облака нижнего яруса, то $k_{12} = 0$, $k_{22} = 0,08 \times 10 = 0,8$.

Подставляем вычисленные значения в формулу (28), получим:

$$B_1 = 0,145 (1 - 0,8) = 0,03 \text{ кал/см}^2 \text{ мин.}$$

Теперь известны все величины, входящие в формулу (27).

5. По формуле (27) вычисляем ожидаемую минимальную температуру (t_{\min}):

$$t_{\min} = 2,2 - 0,03 (-0,2 \cdot 5,8 + 6,0 \cdot 12,9 - 0,3 \cdot 8,2) = 0^\circ.$$

Вычисленная ожидаемая температура воздуха меньше 1°. Следовательно, в воздухе и на почве будет заморозок.

Для того чтобы выбрать тот или иной метод расчета ожидаемой минимальной температуры, следует имеющиеся методы предсказания заморозков проверить в данной местности.

Например, для Донбасса хорошие результаты дает способ Михалевского, причем для Донбасса можно считать, что, если расчетная температура по способу Михалевского выше 0°, заморозка не будет, если ниже 0°, заморозок будет.

РАЗДЕЛ III

АГРОМЕТЕОРОЛОГИЧЕСКИЕ ПРОГНОЗЫ

Одним из важных видов агрометеорологического обслуживания являются долгосрочные агрометеорологические прогнозы.

В настоящее время составляются агрометеорологические прогнозы ожидаемых запасов продуктивной влаги в почве, прогнозы сроков сева, сроков наступления тех или иных фаз развития растений при сложившихся агрометеорологических условиях текущего года, прогнозы ожидаемой урожайности сельскохозяйственных культур и др.

При наличии соответствующих прогнозов представляется возможность наиболее использовать благоприятные агрометеорологические условия и своевременно подготовиться к защите растений от неблагоприятных явлений. Кроме того, агрометеорологические прогнозы сроков созревания хлебов и их урожайности дают возможность заранее подготовиться и своевременно убрать урожай, обеспечить перевозку и хранение его.

Исходными данными для составления агрометеорологических прогнозов являются фактические наблюдения за метеорологическими элементами и состоянием сельскохозяйственных культур. При составлении агрометеорологических прогнозов используются также долгосрочные прогнозы погоды и данные агрометеорологических справочников.

Методы агрометеорологических прогнозов основаны преимущественно на установлении статистических зависимостей из руемых величин от агрометеорологических условий. Причем из всего комплекса агрометеорологических условий выбираются такие показатели, которые определяют настояще положение и оказывают наибольшее влияние на будущее.

Как показали длительные наблюдения, большинство агрометеорологических прогнозов имеют достаточно высокую правдивость.

Некоторые агрометеорологические прогнозы могут быть составлены по наблюдениям в колхозах и совхозах специалистами сельского хозяйства.

Ниже излагаются методы составления агрометеорологических прогнозов, имеющих большое практическое значение для сельскохозяйственного производства.*

* Методы составления других агрометеорологических прогнозов см. «Руководство по составлению агрометеорологических прогнозов», 1962, а также книгу Е. С. Улановой «Методы агрометеорологических прогнозов», 1959.

Г л а в а XII. ПРОГНОЗЫ ЗАПАСОВ ПРОДУКТИВНОЙ ВЛАГИ В МЕТРОВОМ СЛОЕ ПОЧВЫ К НАЧАЛУ ВЕСНЫ

ЗАДАНИЕ

- Изучить методику и составить прогнозы запасов продуктивной влаги в почве к началу полевых работ по данным осенних запасов продуктивной влаги и осадков осеннне-зимнего периода.
- Дать оценку условий увлажнения почвы в текущем году по сравнению с оптимальными и многолетними запасами продуктивной влаги в почве для данной местности.

§ 37. Общие сведения о влажности почвы

Запасы продуктивной влаги в почве являются одним из важнейших агрометеорологических показателей роста и развития сельскохозяйственных культур.

Поступление влаги в растение происходит преимущественно через корневую систему. Поэтому почва является основным источником влаги для растений.

Пробы почвы для определения влажности берут специальными бурами отдельно для каждого исследуемого слоя (через 10 см). Влажность почвы определяется в процентах по отношению к навеске сухой почвы:

$$V = \frac{a-b}{b} \cdot 100, \quad (29)$$

где V — влажность почвы в процентах;

a — вес взятой пробы почвы;

b — вес пробы почвы после высушивания.

Уменьшение влажности почвы сопровождается недостаточным поступлением влаги в растения, а при определенных условиях — увяданием их.

Влажность почвы при которой наблюдается завядание растений, называется влажностью завядания.

Влажность завядания зависит от физических свойств почвы. Для песчаных почв она колеблется в пределах от 0,5 до 2%, для тяжелых суглинистых почв достигает 20%, а для болотных почв — 50%.

Влага, находящаяся в почве сверх коэффициента завядания, называется продуктивной влагой.

Эта влага усваивается растениями в процессе их роста и развития. Поэтому при оценке запасов влаги в почве как ресурсов создания урожая следует учитывать лишь продуктивную влагу.

Запасы продуктивной влаги в почве выражают толщиной слоя

воды в миллиметрах, как и атмосферные осадки, и определяют по формуле:

$$W = 0,1ah(V - K), \quad (30)$$

где W — запасы продуктивной влаги в мм;

a — объемный вес почвы в г/см³;

h — толщина слоя почвы в см;

V — влажность почвы в %;

K — коэффициент завядания в %.

Обычно запасы продуктивной влаги в почве выражают по слою: для слоя 0—10 см, 10—20 см, 20—30 см и т. д. Суммированием полученных данных по запасам продуктивной влаги в почве ванием для отдельных слоев можно рассчитать запасы продуктивной влаги для слоев любой толщины, например для слоя 0—50 см, 0—100 см и др.

Для большинства сельскохозяйственных культур оптимальные запасы продуктивной влаги в почве соответствуют наименьшей влагоемкости*. Наименьшая влагоемкость для суглинистых почв в слое 0—100 см равна 170—180 мм, для супесчаных — 150—160 мм и для песчаных — 80—120 мм.

К концу лета запасы продуктивной влаги в почве сильно уменьшаются, особенно в засушливых районах, где летние осадки не компенсируют расход влаги на испарение.

В течение осени запасы влаги в почве в большинстве районов СССР значительно увеличиваются. Однако на юге и юго-востоке Украины, в Нижнем Поволжье, в ряде районов Ростовской и Оренбургской областей запасы продуктивной влаги в почве и осенью остаются ниже наименьшей влагоемкости.

В этих районах страны очень важное значение для сельскохозяйственного производства имеют накопление влаги за зимний период и поступление в почву талых вод весной.

В результате накопления влаги за зимний период и поступления талых вод весной в районах с хорошим увлажнением почвы осенью запасы продуктивной влаги к началу весны близки к наименьшей полевой влагоемкости и даже превышают ее. В степных районах страны запасы продуктивной влаги в почве, как правило, бывают ниже наименьшей полевой влагоемкости и составляют по средним многолетним данным только 100—120 мм. Причем в связи с неустойчивостью условий увлажнения зимних месяцев в этих районах запасы продуктивной влаги в отдельные годы значительно отличаются от многолетних средних величин. Поэтому для степных районов важно знать заранее, какие запасы продуктивной влаги в почве могут быть к началу полевых работ в текущем году, то есть для этих районов необходимо составлять прогнозы запасов продуктивной влаги в почве к началу весны.

* Наименьшей полевой, или предельной, влагоемкостью называется количество воды, которое почва способна удерживать в условиях глубокого стояния грунтовых вод.

§ 38. Прогнозы запасов продуктивной влаги в почве к началу весны

Прогнозы запасов продуктивной влаги в метровом слое почвы к началу весны позволяют судить о степени влагообеспеченности посевов и своевременно вносить корректиды в план весеннего сева, так как от весеннего увлажнения почвы зависит размещение сельскохозяйственных культур по территории, нормы высева и глубина заделки семян, а также проведение необходимых агротехнических мероприятий.

Методика составления прогноза. Прогноз запасов продуктивной влаги почвы к началу полевых работ составляют на основании данных наблюдений за влажностью почвы осенью и за осадками в зимний период.

Для определения ожидаемых запасов продуктивной влаги в почве к началу полевых работ в настоящее время пользуются двумя методами, разработанными Процеровым и Разумовой.

Ниже излагается метод Л. А. Разумовой, который основан на статистической зависимости изменения запасов продуктивной влаги в почве к началу весны от недостатка насыщения почвы влагой осенью и количества осадков за зимний период.

Для районов с глубоким залеганием грунтовых вод и устойчивой зимой эта зависимость выражается уравнением:

$$y = 0,115x + 0,56h - 20. \quad (31)$$

Для районов с глубоким залеганием грунтовых вод и неустойчивой зимой уравнение имеет вид:

$$y = 0,21x + 0,62h - 33, \quad (32)$$

где y — изменение запасов продуктивной влаги в почве в слое 0—100 см почвы (в мм) за период от последнего определения запасов влаги осенью до перехода температуры воздуха через $+5^\circ$ весной;

x — количество осадков за период от последнего определения влажности почвы осенью до перехода температуры воздуха через $+5^\circ$ весной;

h — недостаток насыщения почвы влагой до наименьшей влагоемкости осенью, т. е. разность между наименьшей влагоемкостью и фактическими запасами продуктивной влаги в метровом слое почвы осенью.

Таким образом, чтобы составить прогноз запасов продуктивной влаги в почве к началу полевых работ, необходимо знать запасы продуктивной влаги в почве осенью, количество осадков за осенне-зимний период и дату наступления весны.

Последнее определение влажности почвы осенью проводится в конце осени, во время перехода среднесуточной температуры воздуха через 0° .

За начало весни берется дата перехода среднесуточной температуры воздуха через $+5^\circ$. К этому времени полностью оттаяет почва, возобновляется вегетация озимых и начинается сеяранных яровых культур.

Так как прогнозы запасов продуктивной влаги в почве к началу весны составляются с примерно месячной заблаговременностью, то при их составлении, помимо данных наблюдений, необходимо использовать долгосрочный прогноз погоды. По такому прогнозу погоды определяют дату перехода среднесуточной температуры воздуха через $+5^\circ$ и количество осадков за период от даты составления прогноза до даты перехода температуры воздуха через $+5^\circ$.

В случае необходимости ожидаемые запасы продуктивной влаги в почве к началу полевых работ могут быть рассчитаны с еще большей заблаговременностью, сразу после последнего определения влажности почвы осенью. Для этого дату перехода температуры воздуха через $+5^\circ$ и количество осадков за осенне-зимний период берут из агроклиматического справочника, причем прогнозы можно составить не только для среднего многолетнего количества осадков, но и для максимального и минимального количества осадков, выпадающих в данной местности.

Прогнозы запасов продуктивной влаги в почве в слое 0—100 см к началу полевых работ составляют отдельно для озимых и для яиб, при этом расчеты удобно вести по форме таблицы 23.

Таблица имеет три раздела: 1) исходные данные; 2) данные по прогнозу погоды; 3) данные, вычисленные в ходе составления прогноза, и конечные данные.

Перед составлением прогноза записывают соответствующие пункты, указанные в первом разделе, исходные данные, а затем в раздел второй — данные по долгосрочному прогнозу.

После этого вычисляют количество осадков за период от последнего определения влажности почвы осенью до перехода среднесуточной температуры через $+5^\circ$ весной (п. 7), что выполняют суммированием фактически выпавших осадков (п. 4) и осадков, определенных по долгосрочному прогнозу, от момента составления прогноза до перехода среднесуточной температуры через $+5^\circ$ (п. 6).

Затем определяют недостаток насыщения почвы осенью (п. 8). Он представляет собой разницу между наименьшей влагоемкостью (п. 3) и фактическими запасами влаги в почве осенью (п. 2). Таким образом, получены все известные, входящие в формулы (31) и (32).

В зависимости от характера зимы изменение запасов продуктивной влаги за зимний период под озимыми и под яибо рисуется по одной из этих формул. Полученные значения изменения запасов продуктивной влаги в почве (y) заносят в таблицу в соответствующие колонки (п. 9).

Таблица 23

Расчет ожидаемых запасов продуктивной влаги в метровом слое почвы к началу весны

Наменование данных	Зима	Озимь	Примечание
I. Исходные данные			
1. Последнее определение влагоемкости почвы осенью	28/XI	28/XI	
2. Запасы влаги осенью (мм)	10	108	
3. Наименьшая влагоемкость (мм)	180	180	
4. Осадки за период от последнего определения влагоемкости почвы до составления прогноза (мм)	126	126	
II. Данные по прогнозу погоды			
5. Переход среднесуточной температуры воздуха через $+5^{\circ}$ весной	10/I/V	10/I/V	
6. Осадки за период от момента составления прогноза до перехода температуры через $+5^{\circ}$ весной (мм)	40	40	
III. Вычислить данные			
7. Осадки за период от посledнего определения влагоемкости почвы осенью до перехода температуры через $+5^{\circ}$ весной (х)	166	166	
8. Недостаток насыщения почвы влагой осенью (мм) (t)	170	72	
9. Изменение запасов влаги за осенне-зимний период (мм) (у)	107	46	
10. Запасы влаги, ожидаемые весной (мм)	117	154	
11. Средние многолетние запасы влаги при переходе температуры через $+5^{\circ}$ весной (мм)	127	148	
12. Запасы продуктивной влаги весной в процентах от наименьшей влагоемкости	65	85	
13. То же, в процентах от многолетней средней величины	92	104	

Зная запасы продуктивной влаги в почве осенью и величины изменения их за зимний период, легко определить ожидаемые запасы продуктивной влаги в почве к началу полевых работ (п. 10). Для этого необходимо сложить осенние запасы продуктивной влаги в почве (п. 2) с величинами изменения запасов продуктивной влаги в почве за зимний период (п. 9).

Для оценки условий увлажнения почвы в текущем году рассчитанные данные запасов продуктивной влаги в почве сравнивают с оптимальными условиями увлажнения почвы и с многолетними средними величинами. С этой целью рассчитанные запасы продуктивной влаги в почве к началу полевых работ выражают в процентах от наименьшей влагоемкости (п. 12) и от многолетних средних запасов продуктивной влаги в данной местности (п. 13). При вычислении за сто процентов берется в первом случае наи-

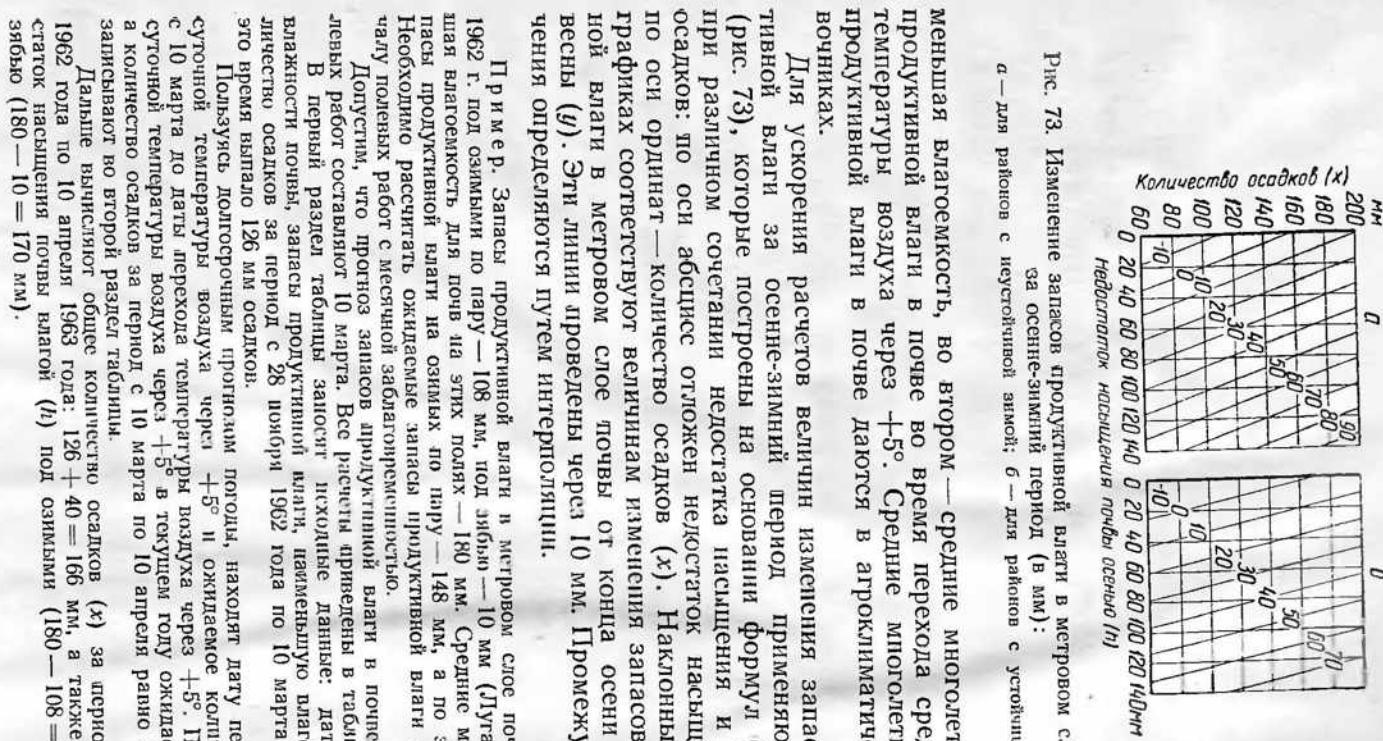


Рис. 73. Изменение запасов продуктивной влаги в метровом слое почвы за осенне-зимний период (в мм):
а — для районов с неустойчивой зимой; б — для районов с устойчивой зимой.

меньшая влагоемкость, во втором — средние многолетние запасы продуктивной влаги в почве во время перехода среднесуточной температуры воздуха через $+5^{\circ}$. Средние многолетние запасы продуктивной влаги в почве даются в агроклиматических спаровниках.

Для ускорения расчетов величин изменения запасов продуктивной влаги за осенне-зимний период применяют графики (рис. 73), которые построены на основании формул (31) и (32) при различном сочетании недостатка насыщения и количества осадков: по оси абсцисс отложен недостаток насыщения (h), а по оси ординат — количество осадков (x). Наклонные линии на графиках соответствуют величинам изменения запасов продуктивной влаги в метровом слое почвы от конца осени до начала весны (y). Эти линии проведены через 10 мм. Промежуточные значения определяются путем интерполяции.

Пример. Запасы продуктивной влаги в метровом слое почвы 28 ноября 1962 г. под озимыми по пару — 108 мм, под зиблю — 10 мм (Луганск). Найденная влагоемкость для почв из этих полей — 180 мм. Средние многолетние запасы продуктивной влаги на озимых по пару — 148 мм, а по зиблю — 127 мм. Необходимо рассчитать ожидаемые запасы продуктивной влаги в почве к началу полевых работ с месличной заблаговременностью.

Допустим, что прогноз запасов продуктивной влаги в почве к началу полевых работ составляет 10 марта. Все расчеты приведены в таблице 23.

В первый раздел таблицы заносят исходные данные: дату определения влагоемкости почвы, запасы продуктивной влаги, начальную влагоемкость почвы за период с 28 ноября 1962 года по 10 марта 1963 года. Затем количество осадков за период с 28 ноября 1962 года по 10 марта 1963 года (126 мм) заносится во второй раздел таблицы.

Пользуясь долгосторонним прогнозом погоды, находят дату перехода среднесуточной температуры воздуха через $+5^{\circ}$ и ожидаемое количество осадков с 10 марта по даты перехода температуры воздуха через $+5^{\circ}$. Переход среднесуточной температуры воздуха через $+5^{\circ}$ в текущем году ожидается 10 апреля, а количество осадков за период с 10 марта по 10 апреля равно 40 мм. Все это записывают во второй раздел таблицы.

Дальше вычисляют общее количество осадков (x) за период с 28 ноября 1962 года по 10 апреля 1963 года: $126 + 40 = 166$ мм, а также находят недостаток насыщения почвы влагой (u) под озимыми ($180 - 10 = 170$ мм). При вычислении за сто процентов берется в первом случае наи-

Так как в Луганске зима неустойчивая, то для определения величин изменения запасов продуктивной влаги в почве за осенне-зимний период пользуются формулой (32) или графиком (рис. 73, а).

Подставляя вычисленные данные по осадкам (x) и недостатку насыпания (y) в формулу (32), получают для озимых:

для зябк:
$$y = 0,21 \cdot 166 + 0,62 \cdot 72 - 33 = 46 \text{ мм};$$

для зябл.:
$$y = 0,21 \cdot 166 + 0,62 \cdot 72 - 33 = 107 \text{ мм}.$$

Таким образом, запасы продуктивной влаги за зимний период 1962—1963 гг. в Луганске изменяются под озимыми на 46 мм, а под зяблью — на 107 мм. Согласно ожидаемым запасам продуктивной влаги в почве на 10 апреля будут 154 и 117 мм.

Рассчитанные запасы продуктивной влаги в почве на 10 апреля 1963 г. в процентах от изменяющей благосути составляют под озимыми 85%, под зяблью — 65%.

Выражая полученные данные по запасам продуктивной влаги в почве в процентах от средних многолетних запасов, получают для озимых 104% и для зяблей 92%.

Полученные результаты свидетельствуют о том, что ожидаемые запасы продуктивной влаги в почве к началу полевых работ близки к многолетним средним величинам, но значительно меньше оптимальных.

Глава XIII. ПРОГНОЗЫ СРОКОВ НАСТУПЛЕНИЯ ФАЗ РАЗВИТИЯ СЕЛЬСКОХОЗЯЙСТВЕННЫХ КУЛЬТУР

Для определения ожидаемых сроков наступления фаз развития сельскохозяйственных культур используются показатели, которые характеризуют зависимость развития растений от условий внешней среды. Многими исследователями установлено, что скорость развития растений и соответственно даты наступления фаз развития зависит в основном от температуры окружающей среды.

На основании анализа многолетних данных установлено, что развитие многих видов древесной растительности, а также зерновых и других культур умеренного климата начинается при температуре $+5^\circ$, а культура более теплолюбивых — три $+10^\circ$. Поэтому для расчета сроков наступления тех или иных фаз развития применяется метод сумм эффективных температур. Эффективная температура представляет собой среднесуточную температуру, уменьшенную на начальную температуру роста, то есть на 5° для древесных и зерновых культур и на 10° для теплолюбивых. Например, среднесуточная температура воздуха $12,6^\circ$, эффективная температура выше 5° в этом случае будет $7,6^\circ$, а выше 10° — $2,6^\circ$.

Для прохождения той или иной фазы развития требуются определенные суммы эффективных температур. В результате этого продолжительность межфазовых периодов в отдельные годы изменяется в зависимости от сложившихся термических условий. Если известна сумма эффективных температур, необходимая для прохождения данной фазы, то дату наступления этой фазы можно определить путем суммирования ежедневной эффективной температуры.

ЗАДАНИЕ

1. Изучить методику составления прогнозов сроков наступления фаз развития сельскохозяйственных культур.
2. Составить прогнозы начала цветения яблони и дать анализ агрометеорологических условий в это время.

3. Составить прогнозы сроков наступления восковой и полной спелости озимой пшеницы, яровой пшеницы, ячменя, овса и дать анализ агрометеорологических условий в период уборочных работ.
4. Составить прогноз сроков наступления фаз выметывания султана и молочной спелости кукурузы.

§ 39. Прогноз сроков цветения плодовых культур

Даты начала цветения плодовых культур в отдельные годы значительно отличаются от многолетней средней. Разница в крайних сроках цветения садов может достигать 30 дней. Например, в Луганске при средней многолетней дате начала цветения садов 6 мая в теплую весну сады зацветают во второй декаде апреля, а в холодную — во второй декаде мая. В связи с этим для практической целей очень важно знать дату начала цветения садов при сложившихся агрометеорологических условиях текущего года.

В период цветения садов довольно часто наблюдаются заморозки. Поэтому заготовленные сведения о сроках цветения садов позволяют подготовиться к защите их от действия заморозков и тем самым сохранить урожай плодов. Прогнозы дат цветения садов необходимы также для проведения работ по уходу за садами. Применение ядохимикатов для борьбы с вредителями должно быть прекращено до начала цветения и может быть продолжено только после окончания цветения садов.

Методика составления прогноза. Агрометеорологический прогноз сроков начала и конца цветения плодовых составляется по методу, предложенному А. А. Шиголовым. Им были вычислены суммы эффективных температур, необходимые для наступления фазы цветения (начала, конца) ряда плодовых культур (табл. 24).

Датой начала или конца цветения плодовых культур является следующий день после накопления определенной суммы эффективных температур.

Суммы эффективных температур для районов с устойчивой зимой подсчитывают с момента устойчивого перехода среднесуточной температуры воздуха через $+5^\circ$, а для районов с неустойчивой зимой суммирование производят с первого января, причем в случае похолодания накопившуюся сумму эффективных температур до похолодания учитывают при дальнейшем подсчете после похолодания. Например, среднесуточная температура воздуха в феврале была выше 5° , а в марте снизилась и плюс, стала выше 5° только 10 марта. При подсчете суммы эффективных тем-

Сумма эффективных температур (выше 5°) от начала вегетации до начала цветения плодовых культур

Культура и сорт	Сумма температур (в °)
Абрикос:	
Краснощекий и сорта, зацветающие одновременно с ним	88
Раноцветущие сорта группы	125 ± 10
Сливы:	
Уссурийская, Коже Пер	125 ± 10
Яблони:	
Антоновка, Боровника, Гелей палин, Налив желтый, Анис омский, Линс альб, Сибирская желтолиственная, Сибирская ягодноплодная, Сибирская крупноплодная, Сибирская дикая, Аркал зимний, Апорт, Бабушкино, Кальвиль анисовый, Коричное полосатое, Папировка, Пепин шафраний, Пепин-китайки, Пепин шафраний, Суслепнейер, Штрейфлинг, Бельфлер красный, Кандиль-китайка,	185 ± 10
От начала до окончания цветения у большинства сортов яблони	125 ± 10

то прогнозы необходимо составлять отдельно для горного места, низин и склонов, так как в результате различия температур в этих местах сады зацветут в разное время. Для этого необходимо иметь данные одновременных наблюдений за температурой воздуха в местах с разным рельефом. При этом достаточно наблюдать проводить по психрометру в 13 часов. Составляя данные наблюдений в садах с данными метеостанции, можно установить, на каких участках сада теплее, на каких холоднее и на сколько. Для этой цели можно также использовать фенологические наблюдения за началом цветения садов на разных формах рельефа. Например, сад, расположенный на равнине, зацветает ежегодно на 5–6 дней раньше, чем на северном склоне. Пользуясь этими сведениями и рассчитав сроки цветения садов на равнинах, для которых есть данные по температуре воздуха, можно указать сроки цветения плодовых культур на северном склоне.

После того как вычислены даты начала цветения садов, необходимо определить погодные условия в период цветения. Для этого используют данные долгосрочного прогноза и агроклиматический справочник. Из справочника выписывают данные о вероятности заморозков.

Если в период цветения садов по прогнозу заморозков нет, а вероятность их в это время большая, то надо быть готовыми к защите растений.

Так как сады могут быть расположены на разных участках рельефа, то и заморозки могут быть разной интенсивности. В агроклиматических справочниках даны вероятности заморозков для равнин. Поэтому для садов, расположенных на других формах рельефа, необходимо вносить поправки как на вероятность развития заморозков, так и на интенсивность их.

В таблицах 25 и 26 приведены соответствующие поправки для разных форм рельефа. Указанные поправки применимы при радиационных формах рельефа. Например, в период цветения садов на равнинах ожидаются заморозки до -1° . Учитывая поправку на рельеф, из таблицы 26 получаем, что заморозки в этом случае совсем не будут на склонах, а в долинах и котловинах будут интенсивнее ($-3^{\circ}, -5^{\circ}$), и сады, расположенные там, пострадают от них.

Или допустим, что вероятность заморозков будет интенсивнее для котловины вероятность заморозков 60%, а на вершинах и побережьях в этот период заморозков вообще не ожидается. Следовательно, к защите от заморозков необходимо тщательно готовиться в садах, расположенных в низинах, котловинах, долинах.

При составлении прогнозов сроков цветения плодовых культур с большой заблаговременностью приходится пользоваться наряду с текущими метеорологическими наблюдениями долгосрочными прогнозами погоды и многолетними данными из климатических и агроклиматических справочников.

Если сады расположены на территории с первым рельефом, то прогнозы необходимо составлять отдельно для горного места, низин и склонов, так как в результате различия температур в этих местах сады зацветут в разное время. Для этого необходимо иметь данные одновременных наблюдений за температурой воздуха в местах с разным рельефом. При этом достаточно наблюдать проводить по психрометру в 13 часов. Составляя данные наблюдений в садах с данными метеостанции, можно установить, на каких участках сада теплее, на каких холоднее и на сколько.

Для этой цели можно также использовать фенологические наблюдения за началом цветения садов на разных формах рельефа. Например, сад, расположенный на равнине, зацветает ежегодно на 5–6 дней раньше, чем на северном склоне. Пользуясь этими сведениями и рассчитав сроки цветения садов на равнинах, для которых есть данные по температуре воздуха, можно указать сроки цветения плодовых культур на северном склоне.

$$n = \frac{\Sigma t > 5^{\circ}}{T - 5^{\circ}}, \quad (33)$$

где n — продолжительность периода от даты перехода среднесуточной температуры воздуха через $+5^{\circ}$ до начала цветения;

$\Sigma t > 5^{\circ}$ — сумма эффективных температур, необходимая для наступления фазы цветения, константа (берется из табл. 24);

T — средняя температура воздуха за прогнозируемый период.

Если подсчет проводится не с начала вегетации, а с какого-либо другого периода, когда уже некоторая сумма эффективных температур накопилась, то вычисления ведут по формуле:

$$n = \frac{\Sigma t > 5^{\circ} - \Sigma t' > 5^{\circ}}{T - 5^{\circ}}, \quad (34)$$

где n — продолжительность периода с момента составления прогноза до начала цветения;

$\Sigma t' > 5^{\circ}$ — сумма эффективных температур, накопившаяся до даты составления прогноза.

Таблица 25

Вероятность наступления заморозков в зависимости от местоположения (по И. А. Гольцберг)

Местоположение	Вероятн. заморозка (в %)	Местоположение	Изменение интенсивности заморозка (в %)
Вершины	—30	Вершины и верхние части склонов	Около +2
Долины в холмистой местности	+20	Долины в холмистой местности	—1,5, —2
Долины в горах	+30	Долины в горах	—2
Котловины	+30	Котловины	—4, —5
Поляны	+35	Поляны	Около —2
Побережья	—35	Острова и побережья	+2, +3
Города	—20	Города	+2, +3

Примечание. Знак плюс означает увеличение вероятности заморозков на указанный процент, знак минус — уменьшение ее.

Таблица 26

Изменение интенсивности весенных заморозков в воздухе под влиянием местоположения в умеренной зоне СССР (по И. А. Гольцберг)

Местоположение	Вероятн. заморозка (в %)	Местоположение	Изменение интенсивности заморозка (в %)
Вершины	—30	Вершины и верхние части склонов	Около +2
Долины в холмистой местности	+20	Долины в холмистой местности	—1,5, —2
Долины в горах	+30	Долины в горах	—2
Котловины	+30	Котловины	—4, —5
Поляны	+35	Поляны	Около —2
Побережья	—35	Острова и побережья	+2, +3
Города	—20	Города	+2, +3

Примечание. Знак плюс означает увеличение температуры, знак минус — понижение ее по сравнению с ровным местом.

Пример. Составить агрометеорологический прогноз сроков начала цветения яблони.

Исходные данные.

1. Дата составления прогноза 11 апреля 1966 г.

2. Устойчивый переход среднесуточной температуры через $+5^{\circ}$ — 25 марта. 3. Сумма эффективных температур от начала вегетации до начала цветения $185 \pm 10^{\circ}$ (табл. 24).

Для составления прогноза начала цветения яблони необходимо определить дату, когда сумма эффективных температур будет $185 \pm 10^{\circ}$.

Для этой цели используют наблюдения Луганской агрометеорологической станции за 1966 г., долгосрочный прогноз погоды за апрель и агроклиматический справочник по Луганской области. Форма записи расчетов приводится в таблице 27.

Таблица 27

Определение сроков начала цветения яблони, Луганск, агрометстанция, 11/IV 1966 г.

Показатели	Апрель								
	по прогнозу								
13/II—24/III	25/III—31/III	1—10	11—20	21	22	23	24	25	26
Среднесуточная темпера- тура воздуха	10,0	10,0	12,3	12,3	12,3	12,3	12,3	12,3	12,3
Эффективная темпера- тура выше 5°	22	24	50	50	7,3	7,3	7,3	7,3	7,3
Сумма эффективных температур с нара- стванием итогом	22	46	96	146	153	161	168	175	182

До 11 апреля сумма эффективных температур определяется по скользящим наблюдениям. Зима 1965—1966 гг. в Луганске была теплой. До устойчивого перехода температуры воздуха через $+5^{\circ}$, который отмечался 25 марта, были дни с температурой выше 5° . Всего до 25 марта накопилось 22° эффективных температур, а ко времени составления прогноза (11 апреля) — уже 96° (табл. 27).

Для дальнейшего подсчета суммы эффективных температур пользуются долгосрочным прогнозом погоды и агроклиматическим спарочником. По датам, приведенным в прогнозе погоды температура апреля ожидается выше нормы на 1° — 2° , причем наиболее высокой она будет в середине месяца. Поэтому среднюю температуру второй декады берем на $1,5^{\circ}$, а третьей декады — на 1° выше нормы. По агроклиматическому спарочнику температура воздуха во второй декаде равна $8,5^{\circ}$, а в третий — $11,3^{\circ}$. Уточняя по долгосрочному прогнозу, получим среднюю температуру воздуха для второй декады $10,0^{\circ}$, а для третьей $12,3^{\circ}$. Соответственно сумма эффективных температур за вторую декаду увеличится на 50° и к 21 апреля будет 146° . Так как полученная величина близка к константе ($185 \pm 10^{\circ}$), то дальнейший подсчет эффективных температур следует вести по дням (табл. 27). Как видно из таблицы 27, необходимая сумма эффективных температур накапливается 26 апреля. Следующий день 27 апреля является ожидаемой датой цветения садов.

Определить дату начала цветения можно и по формуле. Так как количество времени составления прогноза уже накопила, определенная сумма эффективных температур (96°), то пользуемся для расчета формулой (34). Все величины, входящие в формулу, известны: $\Sigma t > 5^{\circ} = 185^{\circ}$; $\Sigma t' > 5^{\circ} = 96^{\circ}$. Средняя температура периода $t = 11,2^{\circ}$. По формуле (34) получим, что продолжительность периода $n = \frac{185 - 96}{11,2 - 5} = 14$ дней. Для определения ожидаемой даты цветения яблони необходимо получить продолжительность периода (14 дней) прибавить к дате составления прогноза (11 апреля) $+14 = 25$ апреля. Следующий день 26 апреля будет ожидаемой датой цветения яблони.

Согласно прогнозу в 1966 г., сады зацветут раньше многолетней средней даты на 10 дней. Соответственно работы по уходу за садами должны быть закончены на 10 дней раньше.

Так как сады зацветут на 10 дней раньше, то, естественно, и вероятность заморозков в период их цветения будет больше. По прогнозу в это время заморозков нет, а по многолетним средним вероятность их составляет для ровного места около 30%. Поэтому к защите садов от заморозков следует готовиться, особенно в пониженных местах, где вероятность заморозков значительно больше (табл. 25).

§ 40. Прогноз сроков созревания зерновых культур

Качество и количество урожая в значительной степени зависит от агрометеорологических условий в период произрастания, созревания и уборки сельскохозяйственных культур. Несвоевременная уборка приводит к большим потерям урожая. В связи с этим очень важно знать заранее сроки начала уборки. Наличие долгого и упорядоченного периода созревания хлебов позволяет своевременно подготовить технику и людей к уборке, а также знать излишнюю уборку.

Из года в год уборочные работы в силу сложившихся агрометеорологических условий начинаются в разное время. Последовательность созревания хлебов в отдельные годы также нарушается. В одни годы разрыв в созревании озимых и яровых культур

Сумма эффективных среднесуточных температур для отдельных периодов роста зерновых культур

Культура	Сорт	Межфазный период	Сумма эффективных температур для отдельных периодов роста зерновых культур	
			эффек- тивных тем- ператур (в гра- дусах)	Сумма эф- фективных тем- ператур (в гра- дусах)
Озимая рожь	Для всех сортов	От колошения до цветения	114	114
	Для всех сортов	От цветения до молочни- кой спелости	225	225
	Для всех сортов	От колошения до по- сковы спелости	514	514
Озимая пшеница	Белоцерковская 198, Гости- нум 237, Лютигесенс 226, Новоукраинка 83, Одесская 3,	От выхода в трубку до колошения	330	330
	Украинка, Эритростерум 917, Эритростерум 115,	От колошения до молочни- кой спелости	230	230
	Мироновская 808	От колошения до по- сковы спелости	490	490
Яровая пшеница	Гарнет, Смена, Лютигесенс 1729, Тулун, Саррубор, Диамаг, Цезиум III, Артемовка, Акмолинка, Альбидум 3700, Одесская 13, Мильтурум 553, Эритростерум 841, Меля- нотус 69, Горденфоре 189	От колошения до по- сковы спелости	450	450
Овес	Победа, Лиховский, Золотой дождь, Московский 315, Дипле, Онохойский 547, Немчиновский, Орел, Прикульский, Тулунский 86/5, Советский, Сахалинский, Харьковский 596	От колошения до по- сковы спелости	540	490
Ячмень	Кубанец, Палладум 43 и 45, Олесский 9, Нуганс 187 и 513, Ганна, Пасодорфская, Европейм 353/133, Прекодиц 143, Медикум, Субмедикум 199, Червонец, Майн, Ичча, Вайрогт, Ауксиний, Голозерный, Крымский 65, Омский 13709, Донецкий 591, Южный	От колошения до по- сковы спелости	428	388

бывает в неделю, в другие — они созревают почти одновременно, или этот интервал растягивается до 25 дней.

Наступление восковой спелости определяет начало раздельной уборки хлебов, а наступление полной спелости — время уборки комбайнами и подборки хлебов из валков.

По А. А. Шиголеву, для определения даты раздельной уборки надо рассчитать дату наступления восковой спелости, а для уборки комбайнами — дату полной спелости зерновых культур.

По А. А. Шиголеву, для прохождения каждого межфазного периода необходимо накопление определенной суммы эффективных температур выше 5°. В таблице 28 приведены суммы эффективных температур для наиболее важных межфазных периодов по некоторым сортам зерновых культур (озимая рожь, озимая пшеница, яровая пшеница, овес и ячмень).

Приведенные суммы эффективных температур позволяют, зная дату исходной фазы, определить дату наступления следующей фазы. Для практических целей наибольший интерес представляют даты наступления фазы восковой и полной спелости. Поэтому ниже излагается методика составления прогноза сроков наступления только этих фаз.

МЕТОДИКА СОСТАВЛЕНИЯ ПРОГНОЗА СРОКОВ НАСТУПЛЕНИЯ ВОСКОВОЙ СПЕЛОСТИ

Прогноз сроков наступления восковой спелости составляют обычно в фазу колошения, так как эта фаза почти всегда отмечается довольно точно. Сумма эффективных температур для прохождения фазы колошения — восковая спелость для большинства сортов озимой и яровой пшеницы составляет 490°, немного меньше для овса и ячменя (табл. 28).

Составление прогноза сроков наступления фазы восковой спелости заключается в определении даты, когда накапливается необходимая для данного межфазного периода сумма эффективных температур.

Прогноз составляют обычно через 10 дней после фазы колошения. Для подсчета суммы эффективных температур за эти 10 дней используют фактические наблюдения за температурой воздуха, а за последующие дни температуру воздуха берут по долгосрочному прогнозу погоды и из агроклиматического справочника.

Датой наступления фазы восковой спелости считается следующий день после накопления необходимой суммы эффективных температур или тот же день, если сумма эффективных температур в этот день превышает необходимую сумму эффективных температур.

Дата наступления фазы восковой спелости является одновременно датой начала раздельной уборки хлебов.

$$D = D_1 + \frac{A}{T - 5}, \quad (35)$$

где D — ожидаемая дата наступления фазы восковой спелости; D_1 — дата наступления фазы колошения;

А

— постоянная сумма эффективных температур, необходимая для прохождения межфазного периода (колошение — восковая спелость);

T — ожидаемая средняя температура межфазного периода.

МЕТОДИКА СОСТАВЛЕНИЯ ПРОГНОЗА СРОКОВ НАСТУПЛЕНИЯ ПОЛНОЙ СПЕЛОСТИ

Уборку хлебов прямым комбайнированием начинают при наступлении полной спелости.

Переход от юсковой спелости к полной происходит в результате потери влаги зерном. Скорость подсыхания зерна зависит от влажности воздуха. Поэтому найдена зависимость скорости подсыхания зерна за сутки от среднесуточного дефицита влажности воздуха. Величина подсыхания зерна за сутки выражается в процентах от общего подсыхания, которое принимается за 100.

Суточные величины подсыхания зерна в процентах в зависимости от дефицита влажности воздуха приведены в таблицах 29 и 30. Таблица 29 применяется для сухой зоны, а таблица 30 — для влажной зоны. Если же в сухой зоне в период уборки идут дожди, то для вычислений надо пользоваться таблицей для влажной зоны, и наоборот. В таблицах значения среднесуточного дефицита влажности воздуха расположены стека по вертикали (целье) и вверху по горизонтали (десятие доли мб). Величина подсыхания зерна за сутки определяется на пересечении целых и десятых долей миллиара. Например, среднесуточный дефицит влажности воздуха 10,5 мб. Продел подсыхания зерна за этот день будет 11,2 (см. табл. 29).

Подсчет подсыхания зерна в процентах производится с первого дня после наступления фазы восковой спелости. Величины подсыхания зерна в процентах суммируют за каждый день до тех пор, пока величина подсыхания достигнет 100. Этот день и будет датой наступления полной спелости.

В долгосрочных прогнозах погоды нет сведений об ожидаемых значениях дефицита влажности воздуха. Поэтому при составлении агрометеорологического прогноза сроков наступления полной спелости приходится пользоваться многолетними средними величинами с соответствующей поправкой. Для нахождения поправки установлено соотношение дефицита влажности воздуха от изменений температуры воздуха. Это соотношение представлено в таблице 31. В первой строке таблицы даны отклонения температуры воздуха по прогнозу от многолетней средней в процентах, во второй — отклонения дефицита влажности воздуха от многолетней средней величины в процентах.

Например, среднее многолетнее значение дефицита влажности воздуха равно 10,1 мб, а ожидаемая температура воздуха по прогнозу будет на 2° выше нормы. Средняя многолетняя темпера-

Скорость подсыхания зерновых хлебов за сутки в процентах от всего процесса, принятого за 100% (сухая зона)

Среднесуточный дефицит влажности воздуха, в мб	Десятие доли миллибра									
	0	1	2	3	4	5	6	7	8	9
2	4,7	4,9	5,0	5,1	5,3	5,4	5,5	5,6	5,8	5,9
3	6,0	6,1	6,2	6,3	6,4	6,5	6,6	6,7	6,8	6,9
4	7,0	7,1	7,2	7,3	7,4	7,5	7,6	7,7	7,8	7,9
5	7,7	7,8	7,9	8,0	8,1	8,2	8,3	8,4	8,5	8,6
6	8,4	8,5	8,6	8,7	8,8	8,9	9,0	9,1	9,2	9,3
7	9,2	9,3	9,4	9,5	9,6	9,7	9,8	9,9	10,0	10,1
8	9,8	9,9	10,0	10,1	10,2	10,3	10,4	10,5	10,6	10,7
9	10,4	10,5	10,6	10,7	10,8	10,9	11,0	11,1	11,2	11,3
10	10,9	11,0	11,1	11,2	11,3	11,4	11,5	11,6	11,7	11,8
11	11,5	11,6	11,7	11,8	11,9	12,0	12,1	12,2	12,3	12,4
12	12,0	12,1	12,2	12,3	12,4	12,5	12,6	12,7	12,8	12,9
13	12,5	12,6	12,7	12,8	12,9	12,9	13,0	13,1	13,2	13,3
14	13,0	13,1	13,2	13,3	13,4	13,4	13,5	13,6	13,7	13,8
15	13,5	13,6	13,7	13,8	13,9	13,9	14,0	14,1	14,2	14,3
16	14,0	14,1	14,2	14,3	14,4	14,4	14,5	14,6	14,7	14,8
17	14,4	14,5	14,6	14,7	14,8	14,9	15,0	15,1	15,2	15,3
18	14,9	15,0	15,1	15,2	15,3	15,4	15,5	15,6	15,7	15,8
19	15,3	15,4	15,5	15,6	15,7	15,8	15,9	16,0	16,1	16,2
20	15,8									

Скорость высыхания зерновых хлебов за сутки в процентах от всего процесса, принятого за 100% (влажная зона)

Среднесуточный дефицит влажности воздуха, в мб	Десятие доли миллибра									
	0	1	2	3	4	5	6	7	8	9
2	6,0	6,1	6,3	6,4	6,6	6,7	7,0	7,1	7,3	7,4
3	7,4	7,6	7,7	7,9	8,0	8,1	8,2	8,4	8,5	8,7
4	8,8	8,9	9,0	9,2	9,3	9,4	9,5	9,7	9,8	9,9
5	10,0	10,2	10,3	10,4	10,5	10,6	10,7	10,9	11,0	11,1
6	11,2	11,3	11,5	11,6	11,7	11,8	11,9	12,0	12,1	12,2
7	12,3	12,4	12,5	12,6	12,7	12,8	12,9	13,0	13,2	13,3
8	13,3	13,5	13,6	13,7	14,0	14,1	14,2	14,3	14,4	14,5
9	14,3	14,4	14,5	14,6	14,7	14,8	14,9	15,0	15,1	15,2
10	15,2	15,3	15,4	15,5	15,6	15,7	15,8	15,8	15,9	16,0
11	16,1	16,2	16,3	16,4	16,5	16,5	16,6	16,7	16,8	16,9
12	17,0	17,1	17,2	17,3	17,4	17,5	17,6	17,7	17,8	17,9
13	17,8	17,9	18,0	18,1	18,2	18,3	18,4	18,5	18,6	18,7
14	18,6	18,7	18,8	18,9	19,0	19,0	19,1	19,2	19,3	19,4
15	19,3	19,4	19,5	19,6	19,6	19,7	19,8	19,9	20,0	20,1
16	20,1	20,2	20,3	20,4	20,5	20,6	20,6	20,7	20,8	20,9
17	20,9	21,0	21,1	21,2	21,3	21,4	21,5	21,5	21,6	21,7
18	21,6	21,7	21,8	21,9	22,0	22,1	22,2	22,2	22,3	22,4
19	22,4	22,5	22,6	22,7	22,8	22,9	22,9	23,0	23,1	23,2

Таблица 30

Таблица 31

Приближенное соотношение (в %) отклонения температуры (в °) и дефицита влажности воздуха (в мб) от нормы

Показатели	Средняя многолетия, в %	Выше нормы (в %)				Ниже нормы (в %)			
		100	10	20	30	40	10	20	30
Температура воздуха	100	15	30	45	60	15	30	45	60
Дефицит влажности воздуха	100	15	30	45	60	15	30	45	60

Превышение ожидаемой температуры на 2° по сравнению с многолетней средней соответствует $\frac{2 \times 100}{23,6} = 9\%$. Зная процент превышения температуры, по таблице 31 определяем процент изменения дефицита влажности воздуха. Из таблицы видно, что изменение температуры на 10% сопровождается изменением дефицита влажности воздуха на 15%. Так как в приведенном примере превышение температуры было на 9%, то превышение дефицита влажности воздуха по отношению к 10,1 мб соответствует $\frac{10,1 \times 14}{100} = 1,4$ мб. Следовательно, ожидаемый дефицит влажности воздуха будет $10,1 + 1,4 = 11,5$ мб.

Исправленные таким образом многолетние средние величины дефицита влажности воздуха используют для подсчета процентов подсыхания зерна за каждый день.

В связи с тем что посевы зерновых расположены на разных участках рельефа и имеют разную агротехнику, то и прогнозы сроков наступления восковой и полной спелости необходимо составлять отдельно для каждого поля. Для этого дополнительно следует проводить маршрутные наблюдения за фазами развития растений, в частности за фазой колошения.

Пример составления прогнозов сроков наступления восковой и полной спелости озимой пшеницы

Колошение озимой пшеницы Одесская 3 на посевах по ячменю было отмечено 2/VII, а по пару — 4/VII. Определяем ожидаемые сроки наступления восковой и полной спелости озимой пшеницы. Прогноз составляется 10/VI.

Необходимая сумма эффективных температур за межфазный период колошения — восковая спелость для озимой пшеницы Одесская 3 равна 490° (см. табл. 28). Поэтому датой наступления восковой спелости будет день, когда накопится указанная выше сумма эффективных температур. Расчеты ожидаемой даты наступления восковой спелости озимой пшеницы приводятся в таблице 32.

Для подсчета эффективных температур за период с момента наступления фазы колошения до составления агрометеорологического прогноза (по пару с 4 до 10/VI и по ячменю со 2 до 10/VI) температура воздуха берется из таблиц метеорологических наблюдений, а далее — из долгосрочного прогноза погоды на ионью и агроклиматического справочника.

Таблица 32

**Расчеты дат наступления восковой спелости озимой пшеницы.
Луганск, агрометстанция, 1965 г.**

Показатели	Июль	По прогнозу							Средняя температура воздуха по 6—11
		3	4	5—10	11—20	21—30	1—4	5	
Среднесуточный дефицит влажности воздуха (мб)	20,9	15,2	73	153	162	66	16,2	16,2	20,3
Процент высыхания зерна за сутки	20,9	36,1	109	262	424	490	469	485	501

Таблица 33

**Расчеты дат наступления полной спелости озимой пшеницы.
Луганск, агрометстанция, 1965 г.**

Показатели	Июль	По прогнозу							Средняя температура воздуха по 6—11		
		6	7	8	9	10	11	12	13	14	15
Среднесуточный дефицит влажности воздуха (мб)	13,4	13,4	13,4	13,4	13,4	13,6	13,6	13,6	13,6	13,6	13,6
Процент высыхания зерна за сутки	12,7	12,7	12,7	12,7	12,7	12,7	12,8	12,8	12,8	12,8	12,8

Показатели	Июль	По прогнозу							Средняя температура воздуха по 6—11		
		6	7	8	9	10	11	12	13	14	15
Процент высыхания зерна с нарастающим итогом по пару	12,7	25,4	38,1	50,8	63,5	75,3	89,1	101,9	—	—	—
Процент высыхания зерна с нарастающим итогом по ячменю	12,7	25,4	38,1	50,8	63,5	67,6	74,9	89,2	102,0	—	—

По долгосрочному прогнозу погоды ожидаемая температура будет на 1° выше нормы. Поэтому многолетнюю среднюю температуру воздуха, которую берем из агроклиматического справочника, увеличиваем на 1°. За июль выбираем температуру воздуха непосредственно из агроклиматического прогноза нет еще долгосрочного прогноза погоды на июль.

Согласно расчетам, необходимая сумма эффективных температур накапливается на озимых по ячменю 4/VII, а по пару — 6/VII. Соответственно восковая спелость озимой пшеницы наступит по ячменю на следующий день 5/VII, а по пару в тот же день (6/VII), так как сумма температур 6/VII превышает константу.

Таким образом, к раздельной уборке озимой пшеницы на полях ухода можно будет приступать со второй пятницы июля. Аналогично можно рассчитать сроки наступления фазы восковой спелости других зерновых колосовых культур и тем самым определить начало уборки и напряженность работ в период уборки.

Ожидаемая дата наступления восковой спелости может быть рассчитана по формуле (35). Средняя температура межфазного периода равна 20,3°

(табл. 32). Подставляя в формулу исходные данные по пару получаем ту же дату, что и непосредственным подсчетом ($D = 4/VII + \frac{490}{20,3 - 5} = 6/VII$).

Для определения даты начала уборки зерновых комбайнами необходимо вычислить дату наступления полной спелости, т. е. определить дату, когда процент подсыхания зерна будет равен 100. Так как ильского долгосрочного прогноза нет, то значение коэффициента влажности воздуха берем из агроклиматического справочника. При получении ильского прогноза необходимо уточнить значения коэффициента влажности воздуха по таблице 31. Подсчет процента подсыхания зерна делается табличкой 29 (для сухой зоны). Расчеты процента подсыхания зерна даны в таблице 33.

Как показали расчеты, полная спелость озимой пшеницы наступила по изменению 13/VII и по пару — 14/VII. Следовательно, уборка озимой пшеницы с 6/VII. Для подсчета процента подсыхания пользуются табличкой 29 (для сухой зоны). Расчеты процента подсыхания зерна уже в третьей пятидневке июля.

§ 41. Прогнозы сроков наступления фаз выметывания сultана и молочной спелости кукурузы

Прогнозы сроков наступления фазы выметывания сultана и фазы молочной спелости кукурузы большой благовременности позволяют хозяйствам заранее подготовиться и определить сроки уборки урожая на зеленый корм и на силос. Кроме того, данные прогноза сроков наступления фазы выметывания сultана могут быть использованы для прогноза урожая зерна кукурузы.

Методика составления прогнозов сроков наступления фазы выметывания сultана и фазы молочной спелости кукурузы разработана Ю. И. Чирковым. Она основана на количественных показателях связи роста и развития кукурузы с факторами тепла, влаги и света.

Исследования показали, что скорость развития кукурузы находится в большой зависимости от температурных условий. Условия освещенности в районах возделывания кукурузы практически не лимитируют рост и развитие этой культуры. Влажность почвы может оказывать тормозящее действие на интенсивность нарастания вегетативной массы кукурузы, если запасы продуктивной влаги в 0,5-метровом слое почвы снижаются до 20—30 мм в период листообразования и в период выметывания сultана — молочной спелости. В большинстве своем запасы продуктивной влаги в почве значительно выше этого предела. Поэтому величим фактором, определяющим скорость развития кукурузы, является температурный режим. Основным термическим показателем, от которого зависят сроки наступления фазы выметывания сultана и фазы молочной спелости кукурузы, является сумма эффективных температур выше 10°.

Прогноз сроков наступления фазы выметывания сultана

Выметывание сultана происходит после окончания листообразования. Каждый сорт (гибрид) кукурузы имеет определенное число листьев. Известно, что число листьев, образующихся на

главном стебле, является сортовым признаком по степени скоропревспелости. Позднеспелье сорта кукурузы имеют более 18—19 листьев, а раннеспелье сорта — только 9—11 листьев. В таблице 34 приводится число листьев для наиболее распространенных сортов кукурузы разной скоропревспелости.

Таблица 34

Число листьев у сортов кукурузы различной скоропревспелости	
Группы сортов и гибридов по скоропревспелости	Число листьев, образующихся на главном стебле
Очень позднеспелье	21
Позднеспелье	19—21
Среднепоздне	17—18
Среднеспелье	15—16
Среднеранне	13—14
Раннеспелье	11—12

Наименование некоторых сортов и гибридов

Местные грузинские, Аджарские белые
Олесская 10, Краснодарский 1/49
ВИР 42, Стерлинг, ВИР 25
Гибрид Днепропетровский, Буковинский 3, Харьковская 23
Воронежская 76, Буковинский 1
Славгородская 270

Для образования каждого листа установлена сумма эффективных температур выше 10°. Для нечерноземной зоны она составляет $30 \pm 2^\circ$. Следовательно, чтобы определить сумму эффективных температур для любого числа листьев (N), необходимо $30 \times (N + 1)$.

В южных районах европейской территории СССР в жаркие дни, особенно с суховеями, тепло используется менее эффективно. Поэтому и на образование одного листа расходуется больше тепла. При среднесуточной температуре выше 20° темп развития замедляется.

В связи с этим для среднесуточной температуры выше 20° необходимо уточнить сумму эффективных температур, потребную для образования одного листа. С этой целью рассчитан поправочный коэффициент (табл. 35).

Таблица 35

Величина поправочного коэффициента (c) на среднюю температуру воздуха (t)											
t	20	21	22	23	24	25	26	27	28	29	30
c	1,00	0,98	0,96	0,93	0,90	0,87	0,84	0,80	0,76	0,73	0,69

Зависимость периода листообразования от термических условий выражается формулой:

$$n = \frac{30(N+1)}{c(t-10)}, \quad (36)$$

где n — продолжительность периода в днях;
 c — поправочный коэффициент на высокие температуры;
 N — число междулистовых периодов до появления последнего листа;
 t — средняя температура периода.

По формуле (36) в фазу любого очередного листа можно рассчитать дату наступления фазы выметывания сultана. Обычно прогноз наступления фазы выметывания сultана составляется во второй период листообразования (для среднеспелых сортов в фазу 9—10-го листа). Для полсчета числа заложенных, но еще не развернувшихся листьев делают вертикальный разрез стебля кукурузы.

При составлении прогноза во второй период листообразования заблаговременность его для южных районов европейской территории СССР будет составлять 20—25 дней.

Устойчивая связь числа листьев со скоростью роста позволяет составить прогноз даты наступления фазы выметывания сultана и в фазу третьего листа. Число неразвернувшихся листьев в этом случае определяется для данного сорта по таблице 34.

Заблаговременность долгосрочного прогноза, составленного в фазу третьего листа, увеличивается до двух месяцев.

Для летних посевов составлять прогноз сроков наступления выметывания сultана в фазу третьего листа неподобрано, так как при очень высоких температурах воздуха (22—25°) в период всходов — третий лист в дальнейшем может заложиться на 2—3 листа меньше, чем свойственно данному сорту.

Для составления долгосрочного прогноза ожидаемой даты наступления фазы выметывания сultана необходимо на посевах кукурузы отмечать даты появления очередного листа, начиная с третьего, и иметь данные о температуре воздуха за прогнозируемый период.

Пример составления прогноза

I способ. В учебно-опытном хозяйстве на посевах кукурузы листа была отмечена 14/VI. До выметывания сultана, согласно вертикальному разрезу стебля кукурузы, осталось 9 листьев. Определить дату выметывания сultана.

1. Рассчитываем сумму эффективных температур, необходимую для развития 9 листьев, или даты наступления фазы выметывания сultана. Она равна $30(9+1) = 300$.
2. Определяем дату наступления фазы выметывания сultана, то есть дату, когда при сложившихся агрометеорологических условиях, накапливаясь сумма эффективных температур 300° . За июнь — по агроклиматической справочнику (многолетние средние).
- Расчеты можно вести как непосредственным суммированием ежедневных эффективных температур (табл. 36), так и по формуле (36). В таблице 36 даны

Таблица 36
Расчет сроков наступления фазы выметывания сultана.
Луганск, агрометстанция, 14 июня 1966 г.

Показатели	По прогнозу		Многолетние средние		Средние за период с 14/VI по 12/VII
	июнь	июль	июнь	июль	
15—20	21—30	1—10	11—12		
15—20	21—30	1—10	11—12		
60	108	108	23		
168	276	299			

средние величины, которые могут быть использованы для определения сроков наступления фазы выметывания сultана по формуле (36).

Необходимая сумма эффективных температур накапливается 12/VII. Значит, дата выметывания сultана наступит 13/VII. То же получим, если будем определять дату выметывания сultана по формуле (36):

$$n = \frac{30(9+1)}{0,98(21-10)} = \frac{300}{10,8} = 28 \text{ дней.}$$

Пробавив их к исходной дате 14/VI, получим 12/VII.

II способ. Определить дату выметывания сultана на тех же посевах кукурузы в фазу третьего листа. Фаза третьего листа была отмечена 26/V. 1. По таблице 34 определим, что сорт кукурузы ВИР 42 имеет 17—18 листьев (берем 18). Значит, до фазы выметывания сultана остается 15 листьев.

2. Необходимая сумма эффективных температур в этом случае будет равна $30(15+1) = 480^{\circ}$. 3. Определяем дату выметывания сultана. Расчеты производятся по таблице 37. Температура воздуха за 5 дней мая и за июль взята из долгосрочного прогноза погоды, а за июль — из агроклиматического справочника (многолетние средние).

Таблица 37
Расчет сроков наступления фазы выметывания сultана.
Луганск, агрометстанция, 26 мая 1966 г.

Показатели	По прогнозу		Многолетние средние		Средние за период
	май	июнь	июнь	июль	
27—31	1—10	11—20	21—30	1—10	11—14
17	19	20	21	21	22
7	9	10	11	11	12
1	1	1	0,98	0,98	0,96
35	90	100	108	108	46
35	125	225	333	441	487

Как видно из таблицы 37, сумма эффективных температур 480° накапливается 14/VII. Следовательно, фаза выметывания сultана должна наступить 15/VII. Пользуясь формулой (36), получим продолжительность периода от третьего листа до выметывания сultана:

$$n = \frac{30(15+1)}{0,99(20-10)} = 50 \text{ дней.}$$

Прибавив к исходной дате (26/V) это число дней, определим дату наступления фазы выметывания сultана (15/VII). Составляя ожидаемые даты наступления фазы выметывания сultана, рассчитанные первым и вторым способом, убеждаемся, что разница в них составляет только 3 дня, а заблаговременность прогноза вторым способом возрастает почти на 3 недели. Поэтому вполне возможно составлять долгосрочный агрометеорологический прогноз наступления фазы выметывания сultана вторым способом, то есть в фазу третьего листа. Число перевернувшихся листьев в этом случае следует определять по таблице 34.

ПРОГНОЗ СРОКОВ НАСТУПЛЕНИЯ ФАЗЫ МОЛОЧНОЙ СПЕЛОСТИ КУКУРУЗЫ

Против сроков наступления молочной спелости кукурузы составляется в фазу выметывания сultана.

Так как продолжительность межфазного периода выметывание сultана — молочная спелость, кукурузы зависит от температурных условий, то для определения наступления фазы молочной спелости кукурузы необходимо вычислить дату, когда накопится соответствующая этому межфазному периоду сумма эффективных температур выше 10°.

Суммы эффективных температур, необходимые для межфазного периода выметывания сultана — молочная спелость, для позднеспелых и среднепоздних сортов составляют 280°, для среднеспелых — 260°, для среднеранних и ранних — 240°.

На продолжительность межфазного периода выметывание сultана — молочная спелость оказывают влияние недостаток продуктивной влаги в почве (20—25 мм в полуметровом слое) и очень высокие температуры воздуха.

При среднесуточной температуре воздуха выше 20° продолжительность периода выметывания сultана — молочная спелость практически не изменяется, хотя сумма эффективных температур значительно увеличивается. Поэтому при подсчете эффективных температур для периодов с температурой воздуха выше 20° необходимо учитывать поправочный коэффициент (см. табл. 35).

При расчетах ожидаемой даты наступления молочной спелости кукурузы используют данные по температуре воздуха из долгосрочного прогноза и многолетние средние значения из агроклиматических справочников.

Пример составления прогноза

На посевах кукурузы сорта ВИР 42 фаза выметывания сultана была отмечена 17/VII. Определить дату наступления фазы молочной спелости кукурузы. 1. ВИР 42 относится к среднепоздним сортам. От наступления фазы выме-

тывания сultана до молочной спелости этих сортов требуется сумма эффективных температур 280°.

2. Для определения наступления фазы молочной спелости кукурумы необходимо вычислить дату, когда накопится указанная сумма эффективных температур (280°). С этой целью суммируется ежедневная эффективная температура. С 18 по 31/VII температура воздуха берется по прогнозу, а с 1/VIII — из агроклиматического справочника (многолетние средние значения).

Пример расчета, по данным Луганской агрометстанции, приводится в таблице 38.

Необходимая сумма эффективных температур, согласно расчетам, **накопится** 10/VIII. Следовательно, ожидаемой датой наступления молочной спелости кукурузы будет 11/VIII.

Расчет ожидаемых сроков наступления фазы молочной спелости кукурудзы

Показатели	По прогнозу		Средние многолетние значения
	июль	август	
Средняя температура воздуха	22	23	22,4
Поправочный коэффициент	0,96	0,93	0,96
Эффективная температура	12	13	12,4
Сумма эффективных температур	35	133	119
Сумма эффективных температур с нарастающим итогом	35	168	287

Глава XIV. ДОЛГОСРОЧНЫЙ ПРОГНОЗ УРОЖАЯ ЗЕРНОВЫХ КУЛЬТУР

ЗАДАНИЕ

1. Изучить методику составления долгосрочных прогнозов урожая озимой пшеницы и зерна кукурудзы.

2. Рассчитать по формулам и определить по графикам ожидаемый наиболее вероятный, наибольший и наименьший урожай озимой пшеницы по пару для заданных весенних запасов продуктивной влаги в метровом слое почвы и числу стеблей на 1 м².

3. Определить по данным весенних запасов продуктивной влаги в почве и числу стеблей на 1 м² ожидаемый урожай озимой пшеницы по непаровому предшественнику и уточнить полученные величины по количеству майских осадков.

4. Составить прогноз урожая зерна кукурудзы в период сева по данным запасов влаги и в фазу выметывания сultана по запасам продуктивной влаги в почве и площасти листовой поверхности.

§ 42. Долгосрочный прогноз урожая озимой пшеницы

Озимая пшеница имеет широкое распространение на Украине и Северном Кавказе. Урожайность ее в этих районах из года в год колеблется в больших пределах. В благоприятные в метеорологическом отношении годы передовые хозяйства с высоким уровнем агротехники получают зерна озимой пшеницы сорта Мироновская 808, Мироновская 264, Безостая 1, Одесская 3, Одесская 16, Белодеревская 198 от 40 до 60 ц с 1 га, а в неблагоприятные — 8—10 ц с га.

В результате колебаний урожайности озимой пшеницы из года в год возникает необходимость определять заранее ожидаемый урожай при сложившихся агрометеорологических условиях текущего года.

Сведения об ожидаемой урожайности с большой заглавовременностью необходимы работникам сельского хозяйства и планирующим организациям, связанным с сельским хозяйством.

МЕТОД СОСТАВЛЕНИЯ ПРОГНОЗА

Метод составления долгосрочного прогноза урожая озимой пшеницы разработан Е. С. Улановой. Он основан на учете двух решающих для урожая озимой пшеницы факторов: весенних запасов продуктивной влаги в метровом слое почвы и числа стеблей, сохранившихся после перезимовки. Этот метод позволяет рассчитать урожай озимой пшеницы в зоне черноземных почв с трехмесячной заглавовременностью без учета прогноза погоды.

Основными метеорологическими факторами, определяющими состояние посевов и урожай озимой пшеницы, являются температурный режим, условия увлажнения и условия перезимовки. В районах выращивания озимой пшеницы (на Украине и Северном Кавказе) в период сева, осенне-весенне-летней вегетации наблюдаются сравнительно благоприятные температурные условия. Только в конце июня и в начале июля температура поднимается выше оптимальной. Однако в это время заканчивается созревание озимой пшеницы и высокие температуры не оказывают существенного отрицательного влияния на ее урожай. Поэтому при благоприятных температурных условиях важнейшими факторами, от которых зависит состояние посевов и урожай, являются условия увлажнения и перезимовки.

В степных районах Украины и Северного Кавказа осадков выпадает мало. Кроме того, в отдельные годы наблюдаются значительные отклонения количества осадков от нормы. Летом в этих районах довольно часто засухи и суховеи. Все это создает очень неустойчивые условия увлажнения для озимой пшеницы и тем самым обуславливает резкие колебания ее урожая.

В связи с тем, что летом осадки выпадают преимущественно в виде ливней, даже значительные по количеству ливневые осадки

на фоне продолжительных бездождевых периодов не могут обеспечить нормального увлажнения почвы. Поэтому тесной связи урожая озимой пшеницы с осадками летнего периода не наблюдается. На рисунке 74 показаны изменения урожая озимой пшеницы и количества осадков за IV—V—VI месяцы по годам за период с 1950 по 1963 г. (совхоз «Гигант» Ростовской области).

Основным водным ресурсом для формирования урожая озимой пшеницы является весенние запасы продуктивной влаги в почве. На рисунке 75 представлены изменения по годам урожая озимой пшеницы и запасов продуктивной влаги в метровом слое и degree каду перехода среднесуточной температуры воздуха через +5° за период с 1950 по 1963 г. (совхоз «Гигант» Ростовской области). Кривые урожайности и запасов продуктивной влаги в почве иллюстрируют тесную взаимосвязь. Особенно сильно это выражается в засушливые годы. Так, в годы с малым количеством весенних и летних осадков, но при больших запасах продуктивной влаги в почве были получены высокие урожай озимой пшеницы, и, наоборот, при большом количестве летних осадков, но малых запасах продуктивной влаги в почве (менее 100 мм) урожай был низкий. Примером могут служить 1950, 1954 и 1955 годы. Урожай озимой пшеницы в эти годы был меньше 10 ц, хотя летом выпадали большие ливневые осадки.

Следовательно, весенние запасы продуктивной влаги в почве являются наиболее важной характеристикой условий увлажнения для озимой пшеницы и служат одним из основных инерционных факторов, определяющих состояние посевов на будущее и урожай озимой пшеницы.

Вторым инерционным фактором является число стеблей на 1 м², сохранившихся после перезимовки.

На Украине и Северном Кавказе зимы характеризуются резкими колебаниями температуры и незначительной высотой скользящего покрова. Поэтому в малоснежные зимы во время сильных холодов возможно частичное, а иногда полное вымерзание озимых посевов. После холодных и малоснежных зим озимые посевы, как правило, бывают изреженными. Так как от числа стеблей, возобновивших вегетацию, зависит число колосоносных стеблей, то и урожай озимой пшеницы зависит от числа сохранившихся стеблей после перезимовки.

Между урожайностью озимой пшеницы и числом стеблей, сохранявшихся после перезимовки, имеется прямая зависимость. На рисунке 75 третьей кривой показан ход числа стеблей на 1 м² после возобновления вегетации по годам. Как видно, кривая числа стеблей на 1 м² в большинстве лет следует за кривой урожайности. На основании обработки общирного материала наблюдений Е. С. Улановой были получены прогнозические количественные зависимости урожая озимой пшеницы от весенних запасов продуктивной влаги в метровом слое почвы и числа стеблей, сохра-



Рис. 74. Изменение урожая озимой пшеницы (1) и суммы осадков за апрель—июнь (2) по годам.

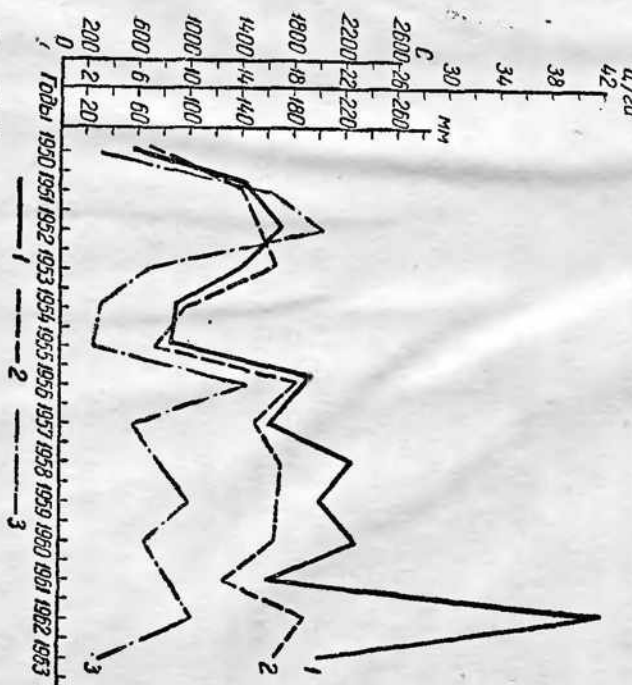


Рис. 75. Изменение урожая озимой пшеницы (1), весенних запасов продуктивной влаги в метровом слое почвы (2) и числа стеблей весной на 1 м² (3).

нившихся после перезимовки. Эти зависимости представлены уравнениями и графиками с учетом сорта и предшественника. По паровому предшественнику наиболее вероятные урожаи озимой пшеницы сортов Одесская 3, Одесская 12, Одесская 16 рассчитывают для посевов с числом стеблей на 1 м² от 1000 до 2000 по формуле:

$$y = 0,24x - 10,2; \quad (37)$$

для загущенных посевов с числом стеблей на 1 м² больше 2000 по формуле:

$$y = -0,0052x^2 + 1,77x - 116,98; \quad (38)$$

для изреженных посевов (число стеблей от 400 до 900) рассчитывают формула имеет вид:

$$y = 0,2x - 11,1, \quad (39)$$

где y — урожай озимой пшеницы (в ц с 1 га);
 x — запасы продуктивной влаги весной в метровом слое почвы
(в мм).

В зависимости от агрометеорологических условий весны и лета, рассчитанный наиболее вероятный урожай может быть выше или ниже фактического. Поэтому для практических целей очень важно знать также возможные наиболее высокие и наиболее низкие ожидаемые урожаи.

Для посевов с числом стеблей от 1000 до 2000 на 1 м² наиболее высокий урожай, который может быть получен при самых благоприятных условиях погоды за апрель, май, июнь, определяется по формуле:

$$y_b = 0,24x - 4,4, \quad (40)$$

а наиболее низкий, ожидаемый при любых условиях погоды за апрель, май, июнь, — по формуле:

$$y_n = 0,24x - 16,0. \quad (41)$$

Для посевов с числом стеблей от 400 до 900 на 1 м² наиболее высокие урожаи при самых благоприятных условиях погоды за апрель—июнь рассчитывают по формуле:

$$y_b = 0,2x - 7,2, \quad (42)$$

а наиболее низкие, при любых условиях погоды за апрель—июнь, — по формуле:

$$y_n = 0,2x - 15. \quad (43)$$

Формулы (37—43) применимы для значений запасов продуктивной влаги в почве от 100 до 200 мм.

Ожидаемый урожай может быть определен и графическим путем. На рисунке 76 представлена зависимость урожая озимой пшеницы для сортов Одесская 3, Одесская 12, Одесская 16 по пару от весенных запасов продуктивной влаги с учетом числа стеблей: а) для загущенных посевов, б) для посевов с числом стеблей от 1000 до 2000 и в) для числа стеблей от 400 до 900 на 1 м².

На графике по оси абсцисс отложены запасы продуктивной влаги в почве (x) от 100 до 200 мм, а по оси ординат — урожай озимой пшеницы в ц/га (y). На каждом графике проведены три линии зависимости. Средняя линия (y) соответствует наиболее вероятной урожайности, которая рассчитывается по формуле (37), (38), (39). Верхняя (y_u) и нижняя (y_n) линии зависимости служат для определения наиболее высокого и низкого урожая в данном году. Крайние пределы урожая прогнозируются с достоверностью, близкой к 100%.

Возможная погрешность при определении наиболее вероятной урожайности составляет $\pm 3,4$ ц/га для посевов с числом стеблей от 1000 до 2000; $\pm 4,8$ ц/га для загущенных посевов и $\pm 2,9$ ц/га для посевов с числом стеблей от 400 до 900 на 1 м².

Для определения урожая по графикам необходимо из точки на оси абсцисс, соответствующей запасам продуктивной влаги в почве весной, восстановить перпендикуляр до пересечения с линиями зависимости, а затем из полученных точек на линиях зависимости провести параллельные линии до пересечения с осью ординат. Полученные точки есть искомый урожай: средняя точка соответствует наиболее вероятному ожидаемому урожаю, а нижняя и верхняя — предельным величинам урожая.

Полученные уравнения (37—43) и графики зависимости позволяют определить урожай озимой пшеницы с трехмесячной заблаговременностью. Для расчета ожидаемого урожая необходимо иметь данные по запасам продуктивной влаги в почве в декаду перехода среднесуточной температуры через $+5^\circ$ и число стеблей, сохранившихся после перезимовки.

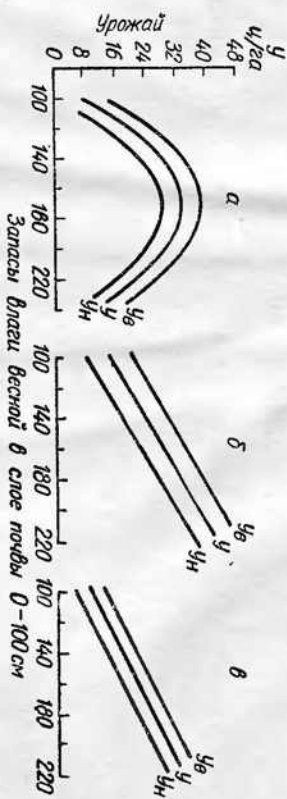


Рис. 76. Зависимость урожая озимой пшеницы по пару от весенных запасов продуктивной влаги в метровом слое почвы с учетом числа стеблей: а — число стеблей больше 2000; б — число стеблей от 1000 до 2000; в — число стеблей от 400 до 900.

В последнее время как на Украине, так и на Северном Кавказе значительно расширены посевные площади озимой пшеницы по непаровым предшественникам. В этом случае запасы продуктивной влаги в метровом слое почвы бывают, как правило, меньше. Зависимость урожая от весенных запасов продуктивной влаги и числа стеблей после возобновления вегетации сохраняется, но урожай несколько ниже, чем по паровому предшественнику. На рисунке 77 приведен график зависимости урожая озимой пшеницы (по предшественнику озимая пшеница) от весенных запасов продуктивной влаги в метровом слое почвы для числа стеблей меньше 900 на 1 м².

Пример составления прогноза

Запасы продуктивной влаги в метровом слое почвы в декаду перехода среднесуточной температуры через $+5^\circ$ составляют 160 мм, число стеблей, сохранившихся после перезимовки, — 1000 на 1 м². Вычислить ожидаемый урожай озимой пшеницы.

Наиболее вероятный урожай озимой пшеницы (y), вычисленный по формуле (37) или определенный по графику (рис. 76, б) при заданных условиях, равен $0,24 \times 160 - 16,0 = 28,2$ ц с 1 га.

При благоприятных агрометеорологических условиях апреля—июня ожидаемый урожай может быть значительно выше. Его определяют по формуле (40) или на графике верхней линии зависимости. В нашем примере благоприятный урожай (y_u) = $0,24 \times 160 - 4,4 = 34$ ц с 1 га.

Самый низкий ожидаемый урожай (y_n) при неблагоприятных условиях по годы апреля—июня, вычисленный по формуле (41), а также снятый с графика по нижней линии зависимости, будет $0,24 \times 160 - 16,0 = 22,4$ ц с 1 га. Очень важно знать нижний предел. Из данного примера следует, что урожай озимой пшеницы в этом году будет не ниже 22,4 ц с 1 га.

Аналогично можно рассчитать по формулам или определить по графику урожай при тех же запасах продуктивной влаги в почве, но при числе стеблей от 400 до 900 на 1 м².

Наиболее вероятный урожай (y) определим по формуле (39) или по средней линии зависимости на графике (рис. 76, б). В данном примере он будет $0,2 \times 160 - 11,1 = 20,9$ ц с 1 га. Наивысший урожай (y_u) в этом случае ожидается $0,2 \times 160 - 7,2 = 24,8$ ц с 1 га, а наименьший (y_n) $0,2 \times 160 - 15 = 17$ ц с 1 га.

Предельные величины урожая рассчитывают по формулам (42) и (43) или определяют на графике по верхней и нижней линиям зависимости (рис. 76, в). Приведенный пример одновременно иллюстрирует влияние числа стеблей на урожай озимой пшеницы. Даже при самых благоприятных агрометеорологических условиях апреля—мая—июня при изреженных посевах очень низкого урожая получить нельзя.

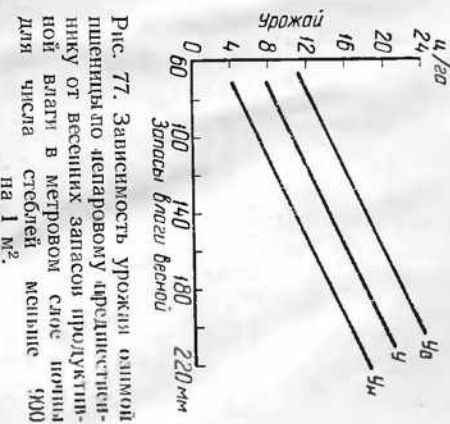


Рис. 77. Зависимость урожая озимой пшеницы по паровому предшественнику от весенных запасов продуктивной влаги в метровом слое почвы для числа стеблей меньше 900 на 1 м².

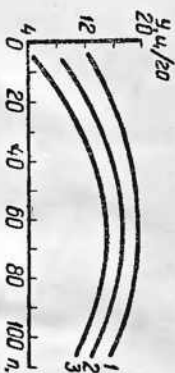


Рис. 78. Зависимость урожая озимой пшеницы от майских осадков при весенних запасах продуктивной влаги в метровом слое почвы меньше 100 мм и выше 100 мм на 1 м². 1 — больше 1000; 2 — от 500 до 1000; 3 — от 200 до 500.

урожай бывает при весенних запасах производимой влаги в метровом слое почвы от 160 до 180 мм. Поэтому в нашем примере даже самый поздний урожай составляет 28,4 ц с 1 га.

Для определения урожая по непаромы предшественнику следует пользоваться графиком (рис. 77). Если число стеблей меньше 900 на 1 м², а запасы продуктивной влаги 160 мм, то наибольшее количество урожая озимой пшеницы (y_n , средняя линия) будет 16 ц с 1 га, наибольший (y_m , верхняя линия), — 20 ц — больше 12 ц с 1 га.

Таким образом, при одинаковых запасах продуктивной влаги в почве весной и одинаковой густоте стояния растений урожай по непаровому предшественнику будет на 5—6 ц меньше, чем по пару. Поэтому при расчетах ожидаемого урожая озимой пшеницы следует учитывать наряду с другими факторами, предшественник, по которому она была посажена. Зная урожай с 1 га и посевную площадь, можно рассчитать валовой сбор зерна.

Уточнение прогноза урожая озимой пшеницы, составленного в начале весны, производится по майским осадкам. Наибольшая зависимость урожая озимой пшеницы с количеством майских осадков наблюдается в годы, когда весенние запасы продуктивной влаги меньше 100 мм.

Для уточнения прогноза применяется график (рис. 78), на котором даны три линии зависимости, соответствующие различному числу стеблей на 1 м² при запасах продуктивной влаги меньше 100 мм по непаровому предшественнику. Как видно из графика, наибольшие урожаи будут при количестве майских осадков от 40 до 80 мм.

§ 43. Долгосрочный прогноз урожая зерна кукурузы

Урожай кукурузы, как и других сельскохозяйственных культур, зависит от ряда факторов. Многие из них [почвенные условия, биологические особенности растений, некоторые приемы возделывания, сорт (гибрид), качество семенного материала] сравнительно стабильны. Агрометеорологические же условия характеризуются значительной изменчивостью во времени и пространстве. Поэтому они при прочих равных условиях, влияя на рост и развитие растений, в значительной мере определяют их урожай.

Для формирования урожая зерна кукурузы наибольшее значение имеют тепло, запасы продуктивной влаги в слое распространения основной массы корней и условия светового режима. В про-

ледь большие 2000 на 1 м²) ожидаемый урожай вычисляют по формуле (38) и графику (рис. 76, а). В этом случае $y = 33,1$ ц с 1 га, $y_n = 37,9$ ц с 1 га, $y_m = 28,4$ ц с 1 га.

При затушечных посевах наибольшие

дуктивной влаги в метровом слое почвы от 160 до 180 мм. Поэтому в нашем примере даже самый поздний урожай составляет 28,4 ц с 1 га.

Для определения урожая по непаромы предшественнику следует пользоваться графиком (рис. 77). Если число стеблей меньше 900 на 1 м², а запасы продуктивной влаги 160 мм, то наибольшее количество урожая озимой пшеницы (y_n , средняя линия) будет 16 ц с 1 га, наибольший (y_m , верхняя линия), — 20 ц — больше 12 ц с 1 га.

Таким образом, при одинаковых запасах продуктивной влаги в почве весной и одинаковой густоте стояния растений урожай по непаровому предшественнику будет на 5—6 ц меньше, чем по пару. Поэтому при расчетах ожидаемого урожая озимой пшеницы следует учитывать наряду с другими факторами, предшественник, по которому она была посажена. Зная урожай с 1 га и посевную площадь, можно рассчитать валовой сбор зерна.

известственных условиях световой режим редко бывает пасмурным. Поэтому основными факторами являются тепло и влага. Кукуруза — требовательная к теплу культура с длительным вегетационным периодом. Для ее вегетации необходимо в зависимости от сорта сумма температур выше 10° от 1900 до 2800°. Поэтому кукурузу на зерно выращивают в южных районах нашей страны. Почти 80% посевов кукурузы сосредоточены в степных и лесостепных районах СССР (Украина, Молдавия, Центрально-Черноземные области Российской Федерации, Поволжье, Северный Кавказ и др.).

Эти районы характеризуются теплым и продолжительным летом с недостаточным количеством осадков.

В районах возделывания кукурузы выпадает мало осадков не только в целом, но и наблюдаются резкие колебания количества их из года в год. Во влажные годы за вегетационный период может выпасть осадков 400—500 мм, а в сухие — меньше 100 мм. Соответственно урожай кукурузы колеблется в больших пределах. Недостаток влаги является основной причиной низких урожаев кукурузы в отдельные годы.

Особенно важное значение для нормального роста и развития кукурузы имеют ресурсы влаги за период от посева до молочной спелости. Ресурсы влаги определяются суммой запасов продуктивной влаги в почве в слое 0—50 см (в этом слое располагается основная масса корней кукурузы) и количеством выпавших осадков за период вегетации.

ПРОГНОЗ УРОЖАЯ ЗЕРНА КУКУРУЗЫ ПО РЕСУРСАМ ВЛАГИ

Составленном урожайности кукурузы отдельных лет с расходами влаги за период посева — молочная спелость была установлена зависимость урожайности зерна позднеспелых и среднеспелых сортов и гибридов кукурузы от расходов влаги (Ю. И. Чирков). Эта зависимость выражается формулой:

$$v = 0,12x - 4,31, \quad (44)$$

где v — урожай зерна в ц с 1 га;
 x — количество израсходованной влаги за период посева — молочная спелость.

Формула (44) применима для расходов влаги в пределах от 80 до 400 мм. В зоне недостаточного увлажнения ресурсы влаги и израсходованная влага близки между собой, так как к окончанию вегетации в слое почвы 0—50 см остается обычно очень мало влаги (менее 20 мм).

Пользуясь формулой (44), можно рассчитать в период сева, то есть с 4—5-месячной заблаговременностью, среднюю, максимальную и минимальную урожайность кукурузы. Ресурсы влаги в этом случае определяются по уже известным запасам проруки влаги в почве по время сева и среднему, наибольшему и

наименьшему количеству осадков, выпадающих в данной местности за период посева — молочная спелость (данные по осадкам берут из агроклиматического справочника).

Пример. Во время сева кукурузы запасы продуктивной влаги в слое 0—50 см — 64 мм, среднее количество осадков, по многолетним данным, за период посева — молочная спелость — 173 мм, максимальное — 280 мм и минимальное — 100 мм. Количество израсходованной влаги соответственно будет $64 + 173 = 237$ мм; $64 + 280 = 344$ мм и $64 + 100 = 164$ мм.

Подставляя величины израсходованной влаги в формулу (44), получим среднюю урожайность $0,12 \times 237 - 4,31 = 24,13$ ц с 1 га, возможную максимальную $0,12 \times 344 - 4,31 = 37$ ц с 1 га и минимальную $0,12 \times 164 - 4,31 = 15,37$ ц с 1 га.

ПРОГНОЗ УРОЖАЯ ЗЕРНА КУКУРУЗЫ ПО ЗАПАСАМ ПРОДУКТИВНОЙ ВЛАГИ И ПЛОЩАДИ ЛИСТОВОЙ ПОВЕРХНОСТИ

По мере развития растений представляется возможность уточнить прогнозируемую величину урожая на основании наблюдений за запасами влаги и состоянием посевов.

Довольно точно ожидаемый урожай можно рассчитать в фазу выметывания сultана, то есть за 1,5—2 месяца до уборки. В это время наблюдается наиболее тесная связь урожая с запасами продуктивной влаги в почве в слое 0—50 см. Осадки же за период выметывания сultана — молочная спелость существенного влияния на урожай не оказывают.

Поэтому запасы продуктивной влаги в почве в слое 0—50 см в фазу выметывания сultана являются одним из показателей, используемых при прогнозе урожая кукурузы. Оптимальные условия для формирования урожая зерна кукурузы создаются при запасах продуктивной влаги в полуметровом слое от 60—70 мм.

Урожай кукурузы зависит также от состояния посевов к моменту выметывания сultана. Интегральным показателем, характеризующим состояние посевов, служит площадь листовой поверхности. При засухах, как указывал академик Н. А. Максимов, одной из причин снижения урожая является слабое развитие листового аппарата. Это подтверждается и другими учеными. В частности, в работах А. А. Ничипоровича и его сотрудников установлено, что листовая поверхность посевов имеет решающее значение в формировании урожая. Объясняется это тем, что хорошо развитая листовая поверхность растений поглощает много солнечной радиации и имеет в результате этого наибольшую продуктивность фотосинтеза. Исследования показали, что наибольшая продуктивность фотосинтеза на посевах кукурузы наблюдается при площади листовой поверхности от 20 до 30 тыс. м² на 1 га.

При одинаковом увлажнении почвы, но различной площади листовой поверхности наблюдаются значительные изменения урожая зерна кукурузы. Так, при запасах продуктивной влаги в слое 0—50 см, равных 40 мм, урожай зерна кукурузы при площади листовой поверхности 5—8 тыс. м² на 1 га составляет 15,7 ц, а при

площади листовой поверхности 17—24 тыс. м² на 1 га — 30,2 ц с 1 га. Еще большая разница в урожае в зависимости от листовой поверхности наблюдается при высоких запасах продуктивной влаги в почве.

От площади листовой поверхности зависит и урожай сухой массы кукурузы. Установлена довольно тесная связь урожая сухой массы кукурузы и площади листовой поверхности в пределах от 10 до 40 тыс. м² на 1 га.

Таким образом, запас продуктивной влаги в слое 0—50 см в фазу выметывания сultана и площадь листовой поверхности являются основными показателями, по которым можно определить ожидаемый урожай зерна кукурузы. Эти показатели и были изложены в основу долгосрочного агрометеорологического прогноза, предложенного Ю. И. Чирковым.

На хозяйственных посевах кукурузы площадь листовой поверхности может изменяться от 5 до 24 тыс. м² на 1 га. Поэтому для учета влияния площади листовой поверхности на урожай кукурузы проведена группировка данных по размерам площади листовой поверхности на 1 га посева.

Первая группа характеризуется листовой поверхностью от 5 до 8 тыс. м² на 1 га. Обычно такая площадь листовой поверхности свойственна посевам ранних сортов и изрезанным посевам средних и поздних сортов кукурузы. Вследствие малой листовой поверхности посева не полностью используют солнечную радиацию и поэтому урожай их ниже.

Вторая группа характеризуется площадью листовой поверхности от 9 до 16 тыс. м² на 1 га. Такая площадь листовой поверхности наблюдается преимущественно на посевах средних и поздних сортов кукурузы в степной части СССР.

К третьей группе отнесены посевы с площадью листовой поверхности от 17 до 24 тыс. м² на 1 га. Такие посевы кукурузы распространены в хорошо увлажненных районах УССР и Северного Кавказа, а также на орошаемых участках.

Для каждой группы составлены формулы для расчета урожая зерна кукурузы по запасам продуктивной влаги полуметрового слоя почвы в декаду наступления выметывания сultана.

Для первой группы формула имеет вид:

$$y = 0,19x + 7,96, \quad (45)$$

для второй группы:

$$y = 0,36x + 8,90 \quad (46)$$

и для третьей группы:

$$y = 0,448x + 12,07, \quad (47)$$

где y — урожай зерна кукурузы в ц с 1 га;
 x — запасы продуктивной влаги в слое 0—50 см, в мм.

ч/га

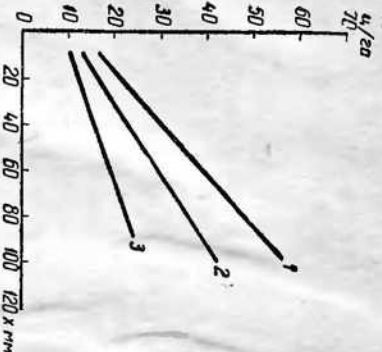


Рис. 79. Зависимость урожая зерна кукурузы от запасов продуктивной влаги в 0,5-метровом слое почвы в фазу выметывания сultана для различной площади листовой поверхности (S):
 $1 - S = 17 - 24$ тыс. м² на 1 га; $2 - S = 9 - 16$ тыс. м² на 1 га; $3 - S = 5 - 8$ тыс. м² на 1 га.

На основании этих уравнений составлен график зависимости урожая зерна кукурузы от запасов продуктивной влаги в фазу выметывания сultана (рис. 79). На графике по оси абсцисс отложены запасы продуктивной влаги в почве, а по оси ординат — урожай зерна кукурузы. Нижняя линия характеризует зависимость урожая кукурузы для площади листовой поверхности от 5 до 8 тыс. м² на 1 га, средняя — для площади листовой поверхности от 9 до 16 тыс. м² на 1 га и верхняя — для площади листовой поверхности от 17 до 24 тыс. м² на 1 га.

Формулы (45), (46), (47) и график зависимости (рис. 79) позволяют определять ожидаемый урожай зерна кукурузы по запасам продуктивной влаги в слое почвы 0—50 см без учета осадков, выпадающих в период выметывания сultана — молочная стадия.

В годы с хорошим увлажнением почвы (70 мм и больше) в фазу выметывания сultана оправдываемость прогноза высокая (85—90%). В сухие годы, если в период выметывания сultана — молочная стадия выпадут значительные осадки, прогнозируемая величина урожая может быть несколько заниженной.

В целом возможная погрешность при определении урожая по формулам или графику для посевов с площадью листовой поверхности от 5 до 8 тыс. м² на 1 га составляет $\pm 2,55$ ч, для посевов с площадью листовой поверхности от 9 до 16 тыс. м² на 1 га $\pm 5,78$ ч и для группы с площадью листовой поверхности от 17 до 24 тыс. м² на 1 га эта величина будет $\pm 7,40$ ч.

Площадь листовой поверхности можно легко вычислить по формуле Ю. И. Чиркова, в основу которой положена высота растений:

$$S = 36,94h - 1632,8, \quad (48)$$

где S — площадь листьев одного растения в см²,

h — средняя высота растения в см (среднее из измерений высоты двадцати растений в одном ряду без выбора).

Формула (48) применима для растений высотой от 50 до 250 см.

Зная площадь листовой поверхности одного растения и густоту посева, т. е. количество растений на 1 га, можно рассчитать площадь листовой поверхности на 1 га. Выражается она в тысячах квадратных метров на гектар.

На основании этих уравнений составлен график зависимости урожая зерна кукурузы от запасов продуктивной влаги в слое почвы, чтобы знать, какое уравнение следует применять для расчета урожая.

Площадь листовой поверхности одного растения в данном примере, рассчитанная по формуле (48), будет $36,94 \times 220 - 1632,8 = 6494 \text{ см}^2$. При запасах продуктивной влаги в слое 0—50 см, равных 50 мм, ожидаемый урожай зерна кукурузы составляет $0,448 \times 50 + 12,07 = 34,5$ ч с 1 га. Таким образом, чтобы составить агрометеорологический прогноз урожая зерна кукурузы, необходимы данные по запасам продуктивной влаги в почве и высоте растений.

Пример. Высота растений в фазу выметывания сultана 220 см. Выметывание сultана наблюдалось 20/VII. Запасы продуктивной влаги в почве в слое 0—50 см составили 50 мм. На 1 га было 30 000 растений. Определить урожай зерна кукурузы.

Прежде всего необходимо вычислить площадь листовой поверхности, чтобы знать, какое уравнение следует применять для расчета урожая.

Следовательно, по площади листовой поверхности посевы относятся к третьей группе. Поэтому для расчета ожидаемого урожая применима формула (47) или верхняя линия зависимости на графике (рис. 79).

При запасах продуктивной влаги в слое 0—50 см, равных 50 мм, ожидаемый урожай зерна кукурузы составляет $0,448 \times 50 + 12,07 = 34,5$ ч с 1 га.

Следовательно,

Чтобы составить агрометеорологический прогноз урожая зерна кукурузы, необходимы данные по запасам продуктивной влаги в почве и высоте растений.

АГРОКЛИМАТИЧЕСКИЕ СПРАВОЧНИКИ И ИХ ПРАКТИЧЕСКОЕ ИСПОЛЬЗОВАНИЕ

Агроклиматические условия оказывают огромное, а нередко решающее влияние на развитие сельскохозяйственного производства.

Целый ряд важнейших агротехнических мероприятий, таких, как система обработки почвы, подбор сортов и гибридов сельскохозяйственных культур и другие, не могут быть правильно разработаны без знания агроклиматических условий данной местности.

В отдельные годы комплекс агротехнических мероприятий, рост, развитие и урожайность сельскохозяйственных культур в значительной степени определяются сложившимися агрометеорологическими условиями вегетационного периода, а также предшествующего осенне-зимнего.

Влияние агрометеорологических условий осенне-зимнего периода особенно важно в засушливых районах, где летние осадки не всегда компенсируют расход влаги в результате испарения.

Не всегда можно изменить агроклиматические и агрометеорологические условия в нужную сторону, но всегда можно, маневрируя сроками сева, выбором сельскохозяйственных культур, максимально использовать благоприятные условия и в значительной степени нейтрализовать неблагоприятные.

С этой целью работникам сельскохозяйственного производства необходимо хорошо знать агроклиматические ресурсы своего хозяйства и учитывать сложившиеся агрометеорологические условия при проведении всех агротехнических мероприятий.

Основным источником для характеристики агроклиматических особенностей данной местности являются областные «Агроклиматические справочники», в которых содержатся значения средних многолетних величин основных метеорологических элементов и обобщенные результаты о росте и развитии сельскохозяйственных культур. Для оценки агрометеорологических условий текущего года необходимо использовать также лекальные «Агрометеорологические бюллетени» и данные наблюдений агрометстанций и постов.

Ниже излагаются указания для составления агроклиматической характеристики и характеристики агрометеорологических условий текущего года.

Глава XV. АГРОКЛИМАТИЧЕСКАЯ ХАРАКТЕРИСТИКА ДАННОЙ МЕСТНОСТИ

ЗАДАНИЕ

1. Выписать из «Агроклиматического справочника» метеорологические данные в таблицы 39, 40, 41, 42 и данные фенологических наблюдений в таблицы 46, 47, 48. Начертить графики годового хода осадков и температуры.

2. Составить агроклиматическую характеристику данной местности, пользуясь заготовленными (табл. 39—42, 46—48) и спрочечными таблицами (табл. 43—45).

При составлении агроклиматического описания данной местности должны быть освещены следующие вопросы: 1) физико-географическая характеристика; 2) характеристика климата по сезонам; 3) агроклиматическая характеристика вегетационного периода.

В заключении агроклиматической характеристики следует указать мероприятия, которые необходимо применять в данной местности с целью улучшения агроклиматических условий роста и развития сельскохозяйственных культур (орошение, осушение, облесение и т. д.).

§ 44. Указания для составления агроклиматической характеристики

ФИЗИКО-ГЕОГРАФИЧЕСКАЯ ХАРАКТЕРИСТИКА

Необходимость этого раздела в агроклиматическом описании вызвана тем, что на климат данной местности наряду с другими факторами оказывают влияние географическое положение и подстилающая поверхность.

При составлении этого раздела должны быть указаны широта колхоза или совхоза (рельеф местности, высота над уровнем моря, преобладающий почвенный покров, реки, озера, растительность).

Исходным материалом для этого раздела являются физические почвенные карты, сведения по местоположению агрометстанции или агрометостанции. Указанные карты и таблицы метеорологических станций даются в агроклиматических справочниках. Для этих целей можно использовать почвенные карты хозяйства или карты землепользования.

ХАРАКТЕРИСТИКА КЛИМАТА ПО СЕЗОНАМ

Описание климата данной местности следует составлять по сезонам: зима, весна, лето, осень.

За начало и конец сезонов принято считать устойчивый переход среднесуточной температуры воздуха через определенные пределы и время установления и схода устойчивого снежного покрова.

Зима начинается, когда среднесуточная температура воздуха переходит через -5° и устанавливается устойчивый снежный покров. Зиме предшествует предзимье — период времени со среднесуточными температурами воздуха от 0° до -5° . Окончание зимы определяется разрушением устойчивого снежного покрова и латой перехода температуры воздуха через 0° .

Весна — период времени со среднесуточной температурой воздуха выше 0° , но ниже $+10^{\circ}$.

С датой перехода температуры воздуха через $+10^{\circ}$ связано начало активной вегетации сельскохозяйственных культур или начало вегетационного периода.

Для сельскохозяйственного производства очень важно знать также дату перехода среднесуточной температуры воздуха через $+5^{\circ}$. Эта дата определяет возобновление вегетации зимних культур и начало полевых работ.

Лето — период времени со среднесуточными температурами воздуха выше 10° . Выделяется также наиболее теплая часть лета — период времени с температурами выше 15° .

Осень — начало определяется датой перехода среднесуточной температуры воздуха через $+10^{\circ}$, а конец — датой перехода среднесуточной температуры воздуха через 0° .

Для характеристики климата колхоза или совхоза по сезонам первоначально следует выписать необходимые для этой цели метеорологические данные из областного агроклиматического справочника. Если в колхозе или совхозе нет метеорологической станции, используют данные справочника по ближайшей метеорологической или агрометеорологической станции.

Все необходимые исходные данные заносят в таблицы (табл. 39, 40, 41, 42).

В таблицу 39 выписывают значения основных метеорологических элементов (температура, осадки, влажность воздуха и почвы и другие). В этой таблице слева по вертикали даны названия элементов и декады, а по горизонтали вверху — месяцы.

В таблицу 40 выписывают даты перехода температуры воздуха через определенные пределы. Эти данные необходимы для определения начала и конца сезонов, а также для определения начала полевых работ и вегетационного периода.

В таблицы 41 и 42 выписывают соответственно даты по заморозкам и снежному покрову. По данным таблицы 41, можно определить даты первого заморозка осенью и последнего заморозка весной, продолжительность безморозного периода (среднюю, наибольшую, наименьшую), а таблите 42 — даты образования и разрушения снежного покрова, а также число дней в году со снежным покровом.

Для иллюстрации изменений основных метеорологических элементов во времени могут быть построены графики. На рисунке 80 дан график годового хода температуры и осадков. По оси абсцисс в выбранном масштабе отложены месяцы, а по оси ординат — средняя температура воздуха и количество осадков. Ход температуры воздуха изображен плавной кривой, а ход осадков представлен диаграммой.

Аналогичные графики можно построить и для других важных метеорологических показателей, причем не только для средних месячных величин, но и средних декадных. Для этого при построении графика каждый месяц разбивается на три равные части, соответствующие I, II, III декадам.

Значение основных метеорологических элементов по декадам

Метеорологические элементы	Декада	Месяц											
		I	II	III	IV	V	VI	VII	VIII	IX	X	XI	XII
Средняя декадная температура воздуха (град.)	1												
Средняя из абсолютных минимумов температуры воздуха (град.)	2												
Сумма среднесуточных температур воздуха выше 10° (град.)	3												
Среднее количество осадков (мм)	1												
Средняя относительная влажность воздуха в 13 час. (%)	2												
Число дней с относительной влажностью $\leq 30\%$	3												
Среднедекадный дефицит влаги воздуха (мб)	1												
Среднее число дней с суховеями	2												
Высота снежного покрова (см)	3												
Запасы продуктивной влаги в почве в слое 0—100 см (мм)	1												
а) озимые	2												
б) яровые *	3												
Запасы продуктивной влаги в почве в слое 0—20 см (мм)	1												
а) озимые	2												
б) яровые	3												
Гидротермический коэффициент за весь вегетационный период	1												

* Берется культура, профилирующая в данной местности.

После того как подготовлены соответствующие таблицы и графики, составляется текст описания климата по сезонам.

При характеристике каждого сезона необходимо подробно описать термический режим и количество выпадающих осадков как за весь сезон, так и распределение их по сезону. Кроме того, для лима

Таблица 40

Даты перехода и число дней со среднесуточной температурой ниже -5° ,
 0° , 10° , 15°

Станция	Ниже -5°		
	В выше 0°		
	В выше 5°		
начало			
конец			
продолжи- тельность			
начало			
конец			
продолжи- тельность			
начало			
конец			
продолжи- тельность			
начало			
конец			
продолжи- тельность			
начало			
конец			
продолжи- тельность			

Таблицы

Станция	Последнего заморозка			Продолжительность безморозного периода
	средняя	самая ранняя	самая поздняя	
Первого заморозка осенью	средняя	самая ранняя	самая поздняя	средняя
наименьшая	наибольшая			

Даты образования и разрушения устойчивого снежного покрова

указываются еще высота снежного покрова, даты установления и разрушения его, число дней с оттепелью и дается оценка суровости зим. Суровость зимы оценивают по среднему из абсолютных минимумов температуры воздуха (табл. 43).

повторяемость, а также число дней с засухой и суховесом. Особо важно отметить даты перехода температуры воздуха через $+5^{\circ}$. Весной эта дата характеризует начало полевых работ, а осенью — прекращение вегетации.

Причины, приводящие к снижению производительности труда в сельском хозяйстве, неоднозначны.

Лето — наиболее важный период года для сельскохозяйственного производства. Для нормального роста и развития сельскохозяйственных культур необходимо определенное сочетание meteorологических факторов. Основными из них являются тепло и влага. Для термической характеристики лета наряду со средними, минимальными и максимальными значениями температуры воздуха нужно использовать суммы температур выше 10° . Этот показатель позволяет разрешить вопрос подбора сельскохозяйственных культур в данной местности, а также возможность пожнивных посевов, то есть возможность получения двух урожаев в один вегетационный период. В таблице 44 приводятся суммы температур выше 10° , необходимые для созревания некоторых сельскохозяйственных культур. Пользуясь этой таблицей и данными о сумме температур выше 10° в данной местности (табл. 39), можно определить, какие культуры целесообразно возделывать в этой местности. Так как в агроклиматических справочниках сумма температур выше 10° указана с нарастающим итогом,

Указана температура выше 10°, необходимая для вегетации данной культуры, можно определить также время окончания вегетации и возможность посева пожнивной культуры.

Вторым ведущим фактором роста и развития сельскохозяйственных культур являются условия увлажнения. Для оценки и использования общее количество осадков за весь летний период распределение по месяцам гидротермический коэффициент (ГТК), который представляет собой отношение осадков к испарению. На практике гидротермини-

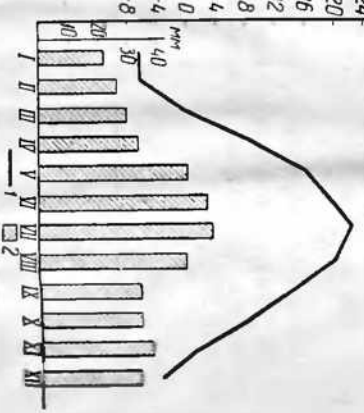


Рис. 80. Годовой ход температуры и осадков:

Таблица 44
Потребность в тепле некоторых сельскохозяйственных культур
и начальная температура проращивания семян

Культура	Культура	Начальная температура проращивания семян (в °)	Сумма температур выше 10°, необходимая при технической спелости (в °)	
			Начальная температура проращивания семян (в °)	Сумма температур выше 10°, необходимая при технической спелости (в °)
Редис, салат, лук на перво	—	100—400	Капуста кочанная, средние сорта	1300
Турнепс, репа	5—6	700—900	Огурцы, первый сбор	1500
Горох	8—10	1000—1600	Свекла столовая, морковь	4—5
Картофель, ранние сорта	7—8	1000—1200	Огурцы или полного созревания	1400
Картофель, средние сорта	—	1200—1600	Свекла сахарная	1900—2100
Картофель, поздние сорта	5—6	1600—2000	Кукуруза, ранние сорта	2000
Яровая пшеница	—	1600—1900	Кукуруза, средние сорта	1900—2100
Ячмень	—	1300—1600	Кукуруза, поздние сорта	2100—2500
Овес	—	1000—1800	Виноград, ранние сорта	2500—2700
Лен на волокно	—	800—1600	Виноград, поздние сорта	2500—2800
Грецка	8—10	1200—1500	Виноград, поздние сорта	3000—3500
Подсолнечник	8—10	1800—2600	Хлопчатник, ранние сорта	12—15
Пряно	8—10	1300—1600	Хлопчатник, поздние сорта	2700—3000
Помидоры (для полного созревания)	14—16	1800—2000	Хлопчатник, поздние сорта	4500—4800
Озимая пшеница	—	1300—1600	Цитрусовые	4000

Ческий коэффициент определяется как отношение количества осадков к сумме температур (Σt) выше 10°, уменьшенной в 10 раз: $GTK = \frac{\Sigma t}{10}$.

Если GTK больше 1, то условия увлажнения в данной местности будут удовлетворительными. В засушливых районах GTK меньше 1. В таблице 45 дана оценка обеспеченности влагой по величине GTK.

Обеспеченность влагой

Таблица 45

Зоны увлажнения	GTK
Влажная	1,6—1,3
Слабозасушливая	1,3—1,0
Засушливая	1,0—0,7
Очень засушливая	0,7—0,4

Так как во многих районах нашей страны, особенно на юго-западе, часто бывают засухи и суховеи, то при описании климата летнего сезона необходимо отметить повторяемость засух и суховеев в данной местности. Если в данной местности летом бывают опасные заморозки, то следует указать также их вероятность.

АГРОКЛИМАТИЧЕСКАЯ ХАРАКТЕРИСТИКА ВЕГЕТАЦИОННОГО ПЕРИОДА

Агроклиматическая характеристика условий роста и развития сельскохозяйственных культур должна базироваться на описание климата по сезонам и на метеорологических данных, использованных при этом (табл. 39, 40, 41, 42).

Кроме того, для оценки агроклиматических условий вегетационного периода необходимы также даты наступления основных фаз развития, наиболее распространенных в данной местности сельскохозяйственных культур. Эти даты выписываются из агроклиматического справочника в таблицы (табл. 46, 47, 48).

Таблица 46

Культура	Сорт	Дата сева	Всходы	Третий лист	Кущение	Прекращение вегетации	Возобновление вегетации	Выход в трубку	Колошение	Цветение	Молочная спелость	Восковая спелость

В таблицу 46 записывают даты наступления фаз развития озимых культур, в таблицу 47 — даты наступления фаз развития яровых культур, причем берется профилирующая в данной местности культура (яровая пшеница, ячмень, овес).

Таблица 48 служит для записи дат наступления фаз развития кукурузы, имеющей большое распространение в южных районах нашей страны.

Даты наступления фаз развития яровых культур

Таблица 47

Культура	Сорт	Посев	Всходы	Третий лист	Кущение	Выход в трубку	Колошение	Цветение	Молочная спелость	Восковая спелость

На основании климатической характеристики данной местности и дат основных фаз развития сельскохозяйственных культур надо делать анализ агроклиматических условий роста и развития растений на различных этапах.

При описании агроклиматических условий вегетационного периода необходимо особо обратить внимание на периоды сен-

Таблица 48

Даты наступления фаз развития кукурузы

Сорт	Посев	Всходы	Третий лист	Выметывание султана	Цветение	Молочная спелость	Восковая спелость	Полная спелость
------	-------	--------	-------------	---------------------	----------	-------------------	-------------------	-----------------

появления всходов, кущения, колошения, цветения, налива зерна и созревания, а также показать, для каких культур наиболее благоприятные агроклиматические условия наблюдаются в данной местности.

В период весеннего сева сельскохозяйственных культур большое значение имеют влажность почвы и температура. Чтобы правильно определить срок сева, нужно знать начальную температуру прорастания семян (табл. 44). Для прорастания семян запасы продуктивной влаги в почве в слое 0—20 см должны быть не меньше 20 мм. Особенно надо следить за влажностью почвы в период сева озимых, так как в отдельные годы запасы продуктивной влаги в почве к этому времени могут быть значительно ниже 20 мм.

В период всходов в качестве дополнения к термическому режиму и условиям увлажнения следует указать на вероятность заморозков.

В другие фазы развития растений температура воздуха, количество осадков и влажность почвы также являются важными агроклиматическими показателями, причем запасы продуктивной влаги в эти периоды надо знать как в слое 0—20 см, так и в слое 0—100 см. Уменьшение запасов продуктивной влаги в слое 0—100 см до 80 мм и ниже свидетельствует об ухудшении условий увлажнения, то есть о развитии засухи. Для характеристики засушливых периодов могут быть использованы число дней с относительной влажностью меньше 30% и повторяемость суховеев.

ГЛАВА XVI. АГРОМЕТЕОРОЛОГИЧЕСКИЕ УСЛОВИЯ ТЕКУЩЕГО ГОДА

ЗАДАНИЕ

1. Выписать метеорологические данные за осенне-зимний и вегетационный периоды текущего года и многолетние средние, рас-

считать отклонения от нормы (табл. 49—54). Начертить графики хода основных метеорологических элементов за соответствующие периоды.

2. Составить описание агрометеорологических условий осенне-зимнего и вегетационного периодов.

Исходными данными для составления описания агрометеорологических условий являются декадные «Агрометеорологические баллы» или наблюдения метеорологических станций и постов. Для

анализа сложившихся агрометеорологических условий текущего года используются также для сравнения многолетние средние величины, или, как их принято называть, нормы, ч.з «Агроклиматического справочника».

§ 45. Агрометеорологическая характеристика осенне-зимнего периода

Агрометеорологические условия осенне-зимнего периода имеют большое значение прежде всего для озимых культур. Возможность сева, густота всходов (число растений на 1 м²) и степень кущения зависят от агрометеорологических условий, которые наблюдались осенью как в период сева, так и во время осенне-зимней вегетации.

Важным фактором во время сева озимых являются запасы про-

ductивной влаги в пахотном горизонте.

Нормальные условия про-

растания семян и появление всходов обеспечивают запасы продуктивной влаги 20 мм и больше в слое почвы 0—20 см.

В период осенне-зимней вегетации озимых большое значение имеют условия увлажнения и температурный режим.

Перезимовка посевов озимых зависит от их состояния, температуры и температурный режим.

Перезимовка посевов озимых зависит от их состояния, температуры и температурный режим.

При значительных понижениях температуры может быть вымерзание озимых. Неблагоприятно скаживаются на состоянии озимых также резкие колебания температуры, частые и продолжительные отепели, гололед.

Для анализа агрометеорологических условий осенне-зимнего периода в первую очередь необходимо подготовить данные по температуре воздуха, количеству осадков, высоте снежного покрова и запасам продуктивной влаги в почве в слоях 0—20 и 0—100 см за январь, февраль и март текущего года и с августа по декабрь предшествующего года. Метеорологические данные за август и сентябрь необходимы для оценки условий в период сева озимых.

Метеорологические данные записываются в таблицы по прилагаемым формам (табл. 49, 50). В каждой таблице в первой строке записывают данные текущего года из таблиц метеорологических наблюдений или декадных агрометеорологических бюллетеней, во

Таблица 49
Даты перехода среднесуточной температуры через определенные пределы и даты установления и разрушения снежного покрова

	Осенью			Весной	Дата установления снежного покрова	Дата разрушения снежного покрова
	+5	+0	-5			
196—г.						
Многолетняя						
Отклонение от нормы						

второй строке — многолетние средние величины или нормы из агроклиматического справочника, в третью заносят отклонения от нормы, которые представляют собой разность между данными текущего года и многолетними средними. Если полученная разность имеет знак плюс, значит в текущем году было теплое (когда речь идет о температуре), если знак минус, то холодае.

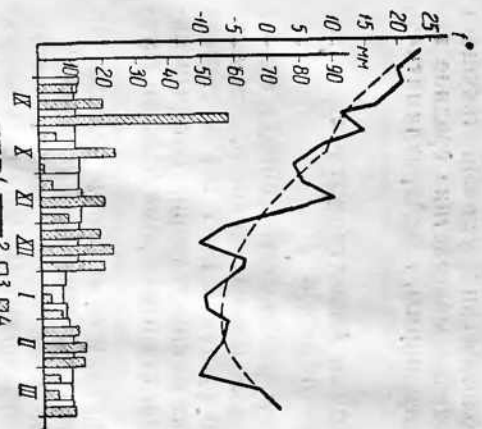


Рис. 81. Ход температуры и осадков за осенне-зимний период:
1 — многолетняя средняя декадная температура воздуха; 2 — средняя покадовая температура воздуха за 1963—1964 гг.;
3 — многолетнее декадное количество осадков; 4 — декадное количество осадков за 1963—1964 гг.

При анализе осадков положительная разность свидетельствует о том, что осадков выпало больше нормы, отрицательная — меньше нормы и т. д.

В таблицу 49 заносят сведения о датах перехода среднесуточной температуры воздуха через $+5$, 0 и -5° . Переход среднесуточной температуры воздуха через $+5^{\circ}$ характеризует окончание вегетации озимых, а переход температуры через 0° — начало появления снега на земле. В эту же таблицу выписываются даты образования и разрушения снежного покрова.

В таблицу 50 выписываются данные по температуре воздуха, количеству осадков, высоте снежного покрова и запасам продуктивной влаги в почве по зяблю и под озимыми. Данные по запасам продуктивной влаги в почве можно записывать дробью, например, в числителе — запасы продуктивной влаги под зяблю, в знаменателе — под озимыми.

Для сравнения основных метеорологических элементов с многолетними средними строят графики. На рисунке 81 дан график хода среднесуточной температуры и осадков за осенне-зимний период по данным Луганской агрометстанции за 1963—1964 гг.

На графике многолетняя средняя температура дана пунктирной кривой, осадки — белыми прямоугольниками, а за 1963—1964 гг. температура — сплошной линией, осадки — заштрихованными прямоугольниками. Графики могут быть построены для любых метеорологических показателей.

Как видно из графика, осенне-зимний период 1963—1964 гг. отличается большим количеством осадков и довольно высокими температурами осенью и сравнительно низкими зимой. В результате большого количества осадков осенью почва была хорошо увлажнена. Поэтому условия для сева и осенней вегетации озимых

Таблица 50

Метеорологические данные за осенне-зимний период 196—196 — года

	196—г.															196—г.									
	VIII			IX			X			XI			XII			I			II			III			
	1	2	3	1	2	3	1	2	3	1	2	3	1	2	3	1	2	3	1	2	3	1	2	3	
Средняя температура воздуха (град.)																									
196—г. Многолетняя Отклонение от нормы	—	—	—	—	—	—	—	—	—	—	—	—	—	—	—	—	—	—	—	—	—	—	—	—	—
196—г.	—	—	—	—	—	—	—	—	—	—	—	—	—	—	—	—	—	—	—	—	—	—	—	—	—
196—г.	—	—	—	—	—	—	—	—	—	—	—	—	—	—	—	—	—	—	—	—	—	—	—	—	—
196—г. Многолетнее Отклонение от нормы	—	—	—	—	—	—	—	—	—	—	—	—	—	—	—	—	—	—	—	—	—	—	—	—	—
196—г. Многолетняя Отклонение от нормы	—	—	—	—	—	—	—	—	—	—	—	—	—	—	—	—	—	—	—	—	—	—	—	—	—
196—г. Многолетние Отклонение от нормы	—	—	—	—	—	—	—	—	—	—	—	—	—	—	—	—	—	—	—	—	—	—	—	—	—
196—г. Многолетние Отклонение от нормы	—	—	—	—	—	—	—	—	—	—	—	—	—	—	—	—	—	—	—	—	—	—	—	—	—
196—г. Многолетние Отклонение от нормы	—	—	—	—	—	—	—	—	—	—	—	—	—	—	—	—	—	—	—	—	—	—	—	—	—
196—г. Многолетние Отклонение от нормы	—	—	—	—	—	—	—	—	—	—	—	—	—	—	—	—	—	—	—	—	—	—	—	—	—
196—г. Многолетние Отклонение от нормы	—	—	—	—	—	—	—	—	—	—	—	—	—	—	—	—	—	—	—	—	—	—	—	—	—
Максимальная температура воздуха (абсолютная)																									
Минимальная температура воздуха (абсолютная)																									
Количество осадков (мм)																									
Высота снежного покрова (см)																									
Запасы продуктивной влаги в почве в слое 0—20 см (мм)*																									
В слое 0—100 см (мм)*																									

* Запасы продуктивной влаги в почве записываются дробью: числитель — под зяблю, знаменатель — под озимым.

были вполне удовлетворительными. Большое количество осадков за холодное время года обусловило также хорошее увлажнение почвы к началу весны.

§ 46. Агрометеорологическая характеристика вегетационного периода

Агрометеорологические условия вегетационного периода оказывают влияние на рост, развитие и урожайность всех сельскохозяйственных культур. От условий увлажнения почвы и степени прогрева ее зависят сроки сева и глубина заделки семян. Температурный режим и условия увлажнения играют важную роль в течение всего вегетационного периода. Длительные периоды бездождя и высокие температуры воздуха приводят к иссушению почвы и соответственно к замедлению роста растений и снижению урожайности. Частичное повреждение растений, а иногда и полная гибель некоторых из них может произойти в результате поздних весенних заморозков или ранних осенних, а также вследствие продолжительных засух, суховеев.

Перед составлением описания агрометеорологических условий вегетационного периода необходимо подготовить метеорологические данные за период с апреля по октябрь. Формы записи их даны в таблицах 51, 52, 53, 54.

В таблицу 51 записывают основные метеорологические элементы за текущий год (температура воздуха и почвы, количество осадков и др.) по данным наблюдений метеорологических станций или из лекарских агрометеорологических бюллетеней, и многолетние средние величины из агроклиматического справочника. На основании этих данных рассчитывают отклонения от нормы, которые заносят в таблицу 52. Отклонения от нормы определяются как разность между данными текущего года и многолетними средними.

В таблицу 53 заносят даты перехода среднесуточной температуры через определенные пределы текущего года и многолетние средние, а также рассчитанные отклонения от нормы. Переход среднесуточной температуры через 0° характеризует начало весны и конец осени, через 5° весной — начало полевых работ и возобновление вегетации озимых, осенью — прекращение вегетации озимых. С переходом среднесуточной температуры воздуха через 10° связано начало активной вегетации почти всех сельскохозяйственных культур и древесной растительности.

В таблицу 54 выписывают даты окончания заморозков весной и начало их осенью как за текущий год, так и многолетние средние и отклонения от нормы.

При анализе агрометеорологических условий вегетационного периода для сравнения текущего года со средними многолетними условиями строятся графики.

На рисунке 82 дан график хода температуры и осадков по агрометстанции Луганск за 1964 г. Многолетние величины температуры

Основные метеорологические данные за вегетационный период текущего года и многолетние средние. Метеорологическая станция

Метеорологические данные	Данные за 196 г.											
	IV	V	VI	VII	VIII	IX	1	2	3	1	2	3
Средняя температура воздуха (град.)												
Максимальная температура воздуха (абсолютная) (град.)												
Температура почвы на глубине 10 см (град.)												
Количество осадков (мм)												
Относительная влажность воздуха в												
13 часов (%)												
Число дней с относительной влажностью < 30%												
Дефицит влажности воздуха в 13 часов (мб)												
Запасы продуктивной влаги в слое 0—20 см (мм)												
Запасы продуктивной влаги в слое 0—100 см (мм)												
Скорость ветра (м/сек)												

Многолетние средние

Температура воздуха (град.)												
Количество осадков (мм)												
Относительная влажность воздуха в												
13 часов (%)												
Число дней с относительной влажностью < 30%												
Дефицит влажности воздуха в 13 часов (мб)												
Запасы продуктивной влаги в слое 0—20 см (мм)*												
Запасы продуктивной влаги в слое 0—100 см (мм)												

* В числителе — под яровыми, в знаменателе — под озимыми.

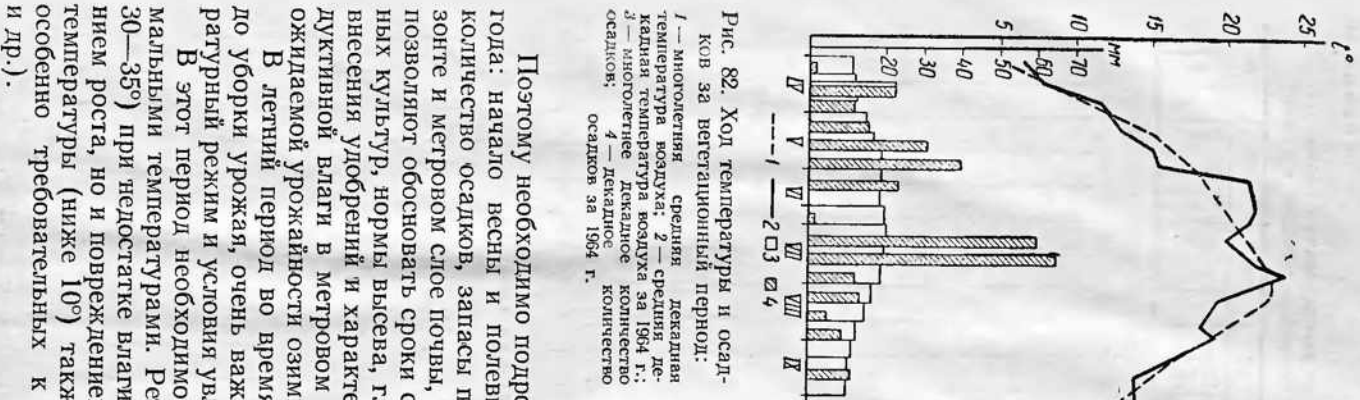


Рис. 82. Ход температуры и осад-

графика следует, что в 1964 г. почти все лето температура воздуха была ниже нормы, а количество осадков — выше нормы, особенно много выпало их в конце весны и середине лета.

На основании полученных табл. и графика составляется агрометеорологическая характеристика вегетационного периода. Вначале дается общая оценка агрометеорологических условий вегетационного периода текущего года в сравнении с многолетними средними. После этого рассматриваются агрометеорологические условия отдельных

изображены на графике пунктирной линией, осадки — белыми прямыми линиями. Температура воздуха текущего года показана сплошной линией, осадки — заштрихованными прямыми линиями. Из приведенного

Очень важным является весенний период. В это время проводится сев ранних и поздних яровых культур, высадка рассады в грунт и т. д.

погоду необходимо подробно осветить характер этого периода года: начало весны и полевых работ, степень прогрева почвы, количество осадков, запасы продуктивной влаги в пахотном горизонте и метровом слое почвы, возможность заморозков. Эти данные позволяют обосновать сроки сева тех или иных сельскохозяйственных культур, нормы высева, глубину заделки семян, необходимость внесения удобрений и характер обработки почвы. По запасам продуктивной влаги в метровом слое почвы можно судить также об ожидаемой урожайности озимых культур.

В этот период необходимо следить за максимальными и минимальными температурами. Резкие повышения температуры (выше 30—35°) при недостатке влаги сопровождаются не только замедлением роста, но и повреждением растений. Значительные понижения температуры (ниже 10°) также могут вызывать замедление роста особенно требовательных к теплу культур (кукурузы, огурцов и др.).

Даты перехода среднесуточной температуры воздуха через определенные пределы

УЧЕБНАЯ ПРАКТИКА

воздуха и запасы продуктивной влаги в почве. Понижение относительной влажности воздуха до 30% и меньше отрицательно отражается на росте и развитии растений. Поэтому при продолжительных периодах с относительной влажностью воздуха меньше 30% замедляются рост и развитие сельскохозяйственных культур, а также снижается их урожай.

Состояние посевов находится в большой зависимости от запасов продуктивной влаги в почве. При хорошем увлажнении почвы создаются благоприятные условия для формирования урожая. Уменьшение запасов продуктивной влаги в верхнем горизонте (0—20 см) до 9 мм, а в метровом слое до 80 мм характеризует начало сухого периода. Продолжительный период с недостаточным запасом продуктивной влаги вызывает значительное снижение урожая, особенно если исключение пахотного слоя почвы происходит в наиболее ответственные фазы развития растений.

Знание запасов продуктивной влаги в почве позволяет определить сроки полива и рассчитать оросительные нормы. Кроме того, запасы продуктивной влаги в пахотном слое определяют целесообразность внесения минеральных удобрений. Если в слое 0—10 см запасы продуктивной влаги близки к 0, то летние подкормки не дают положительного эффекта.

Таким образом, анализ сложившихся агрометеорологических условий позволяет определить степень благоприятности их для различных сельскохозяйственных культур (зимних, ранних и поздних зерновых и др.) и уточнить комплекс агротехнических мероприятий, направленных на максимальное использование благоприятных и ликвидацию неблагоприятных метеорологических факторов.

Важным звеном в агрометеорологической подготовке студентов агрономов является учебная практика. За время учебной практики студенты должны получить навыки исследования основных метеорологических, агрометеорологических и микроклиматических наблюдений, а также научиться использовать результаты наблюдений в практике сельскохозяйственного производства.

При двух днях учебной практики целесообразно один день, посвятить наблюдениям на агрометеорологической станции, а второй день — микроклиматическим наблюдениям. Наблюдения на метеостанции в этом случае проводятся в течение дня по графику. Если на учебную практику отводится больше двух дней, то наблюдения на метеостанции следует проводить круглосуточно в основные сроки наблюдений. При круглосуточных наблюдениях представляется возможность проследить за суточным ходом основных метеорологических элементов и проверить правдивость приводимых заморозков и потоков.

Наблюдения на метеорологической станции и микроклиматические наблюдения записываются в таблицы (табл. 55 и 56).

Объем работы в период учебной практики определяется заданиями. В соответствии с заданиями по учебной практике составляется письменный отчет, к которому прилагаются таблицы наблюдений, графики и расчеты.

ЗАДАНИЕ ПЕРВОЕ

1. Ознакомиться с организацией агрометеорологических станций и постов. Усвоить требования, предъявляемые к выбору места метеорологических площадок и наблюдательных участков, а также правила установки приборов и порядок наблюдений по ним.
 2. Провести метеорологические и агрометеорологические наблюдения. Обработать полученные данные.
 3. Построить графики хода основных метеорологических элементов (температуры, влажности и др.) по данным наблюдений и дать анализ их.
 4. Рассчитать ожидаемую минимальную температуру по методу Михалевского.
 5. Составить прогноз погоды по местным признакам.
- Необходимые сведения для выполнения первого задания и составления отчета изложены в соответствующих разделах практикума (введение, разделы I и II).

ЗАДАНИЕ ВТОРОЕ

1. Изучить методику микроклиматической маршрутной съемки.
2. Подготовить необходимые приборы и провести измерения основных метеорологических элементов в выбранных точках по ходу «туда» и «обратно».
3. Провести обработку и анализ полученных данных наблюдений.

Пояснения к выполнению второго задания излагаются ниже.

МИКРОКЛИМАТИЧЕСКИЕ НАБЛЮДЕНИЯ

Микроклиматом называются местные особенности климата, обусловленные неоднородностью подстилающей поверхности.

Неоднородность подстилающей поверхности вызывает различия в ходе метеорологических элементов даже в близко расположенных пунктах. Например, температура воздуха на южных склонах выше, а в котловинах ночью ниже, чем на ровном открытом месте; на лесных полянах про должительность безморозного периода меньше, а на побережье водоемов — больше по сравнению с открытым местом.

Микроклиматические особенности распространяются по вертикали до 1,5—2 м. Больше выражены они вблизи земной поверхности, то есть там, где находятся сельскохозяйственные растения. Поэтому сведения о микроклимате представляют большой интерес для сельскохозяйственного производства. Кроме того, значительные различия в ходе метеорологических элементов наблюдаются и на посевах сельскохозяйственных культур.

Для количественной оценки микроклиматических особенностей необходимы или одновременные наблюдения в точках с различной подстилающей поверхностью, или микроклиматическая маршрутная съемка. Для изучения микроклимата большой территории (колхоз, совхоз) первым методом необходимо несколько комплектов соответствующих приборов. Поэтому наиболее распространенным методом является маршрутная микроклиматическая съемка.

Микроклиматическая маршрутная съемка заключается в том, что наблюдатель с набором необходимых приборов обходит последовательно ряд точек и делает соответствующие наблюдения. Для уменьшения ошибок, которые могут возникнуть в результате неодновременности наблюдений, выбранный маршрут проходят дважды. Измерения в каждой точке проводят по ходу «туда» и «обратно» и сравнивают между собой средние значения метеорологических элементов из двух отсчетов. В этом случае ошибка, которая может возникнуть в результате неодновременности наблюдений, не превышает точность отсчетов по приборам.

Для получения более достоверных результатов микроклиматическую съемку следует проводить рано утром или в полдень, когда изменение метеорологических элементов во времени происходит

сравнительно медленно. Длина маршрута должна быть такой, чтобы его можно было пройти по ходу «туда» и «обратно» за 1,5—2 часа.

В сельскохозяйственной практике чаще всего необходимо иметь сведения о температуре почвы и воздуха, влажности воздуха, направлении и скорости ветра. Эти метеорологические элементы можно измерить аспирационным психрометром, термометром-циртом, ручным анемометром, пограничным вымпелом или погрометром Третьякова.

Для микроклиматической маршрутной съемки группу студентов разделяют на 4—5 бригад, в зависимости от наличия приборов. Каждая бригада, подготовив приборы, выходит в маршрут и проводит измерения по ходу «туда» и «обратно» в 5—6 точках с различным характером подстилающей поверхности (пар, посевы, лесопарковые культуры, лесополоса, побережье водоема и т. д.). На последней точке измерения проводится только один раз. Запись наблюдений ведут по прилагаемой форме (табл. 56, для трех точек).

Обработка результатов наблюдений заключается в вычислении средних из двух отсчетов, введенных соответствующих по признаку определении величин влажности воздуха.

После этого анализируют полученные данные: указывают причины, обуславливающие те или иные различия в ходе метеорологических элементов в точках с различной подстилающей поверхностью и составляют письменный отчет. В отчете должны быть освещены следующие вопросы.

1. Методика микроклиматической маршрутной съемки.
2. Приборы, использованные для микроклиматических наблюдений.
3. Результаты анализа микроклиматических наблюдений.
4. Выводы о преимуществах и недостатках в микроклиматическом отвлечении для сельскохозяйственного производства отдельных участков с различной подстилающей поверхностью.

Форма записи наблюдений на метеостанции

Таблица 55

Дата		Время	Время	Время
Облачность	Количество облаков	общая		
		нижняя		
	Форма облаков			
	Высота нижней границы облаков			
Ветер	Направление			
	Скорость в м/сек			
Осадки в мм				
Атмосферные явления				
Состояние поверхности почвы				
Температура почвы на поверхности	Срочный термометр		Отсчет	
	Минимальный термометр	спирт шифт	Поправка	Исправленная величина
	Максимальный термометр	отсчет после встряхивания		
			Отсчет	
глубине	Термометры Савинова	05 см	Поправка	Исправленная величина
		10 см		
		15 см		
		20 см		
			Отсчет	
Температура почвы на	Вытяжные термометры	20 см		
		40 см		
		60 см		
		80 см		
		120 см		
		160 см		
		240 см		
		320 см		
Температура воздуха	„Сухой“ термометр			
	„Смоченный“ термометр			
	Минимальный термометр	спирт шифт		
	Максимальный термометр	отсчет после встряхивания		
Влажность воздуха по психрометру	гигрометр (r)		x	x
	абсолютная (e)		x	x
	относительная (r)		x	x
	дефицит (d)		x	x
	точка росы (t)		x	x
Давление воздуха	Температура при барометре			
	Давление по барометру	мб мм		

Примечание

ПРИЛОЖЕНИЕ

Таблица 1

Таблица 55

Среднее солнечное время в истинный полдень

Месяцы

Метеорологические наблюдения	Наблюдение №											
	I точка				II точка				III точка			
	время	отсчет	время	отсчет	время	отсчет	время	отсчет	время	отсчет	время	отсчет
Давление воздуха	12 03	12 14 12	13 12	04 11	15 11	58	12 04	12 06	12 00	11 50	11 44	11 49
Температура	12 03	12 14 12	12 12	04 11	57	11 58	12 04	12 06	12 00	11 50	11 44	11 49
Влажность воздуха.	12 04	12 14 12	12 12	04 11	57	11 58	12 04	12 06	12 00	11 49	11 44	11 50
Температура почвы на глубине	12 04	12 14 12	12 12	03 11	57	11 58	12 04	12 06	11 59	11 49	11 44	11 50
Ветер	12 05	12 14 12	12 12	03 11	57	11 58	12 04	12 06	11 59	11 49	11 44	11 50
Облачность в баллах	12 05	12 14 12	12 12	03 11	57	11 58	12 04	12 06	11 59	11 48	11 44	11 50
Формы облаков	12 06	12 14 12	11 12	02 11	56	11 59	12 05	12 06	11 58	11 48	11 44	11 51
Атмосферные явления	12 06	12 14 12	11 12	02 11	56	11 59	12 05	12 06	11 58	11 48	11 44	11 52

Бригада

Число	1	II	III	IV	V	VI	VII	VIII	IX	X	XI	XII	Часы	
	час.	мин.	час.	мин.	час.	мин.	час.	мин.	час.	мин.	час.	мин.	час.	
1	12	03	12	14 12	13 12	04 11	15 11	58	12 04	12 06	12 00	11 50	11 44	11 49
2	12	03	12	14 12	12 12	04 11	57	11 58	12 04	12 06	12 00	11 50	11 44	11 49
3	12	04	12	14 12	12 12	04 11	57	11 58	12 04	12 06	12 00	11 49	11 44	11 50
4	12	04	12	14 12	12 12	03 11	57	11 58	12 04	12 06	11 59	11 49	11 44	11 50
5	12	05	12	14 12	12 12	03 11	57	11 58	12 04	12 06	11 59	11 49	11 44	11 50
6	12	05	12	14 12	12 12	03 11	57	11 58	12 04	12 06	11 59	11 48	11 44	11 51
7	12	06	12	14 12	11 12	02 11	56	11 59	12 05	12 06	11 58	11 48	11 44	11 51
8	12	06	12	14 12	11 12	02 11	56	11 59	12 05	12 06	11 58	11 48	11 44	11 52
9	12	07	12	14 12	11 12	02 11	56	11 59	12 05	12 05	11 58	11 48	11 44	11 52
10	12	07	12	14 12	11 12	02 11	56	11 59	12 05	12 05	11 57	11 47	11 44	11 53
11	12	08	12	14 12	10 12	01 11	56	11 59	12 05	12 05	11 57	11 47	11 44	11 53
12	12	08	12	14 12	10 12	01 11	56	12 00	12 05	12 05	11 56	11 46	11 44	11 54
13	12	09	12	14 12	10 12	01 11	56	12 00	12 05	12 05	11 56	11 46	11 44	11 54
14	12	09	12	14 12	09 12	00 11	56	12 00	12 06	12 05	11 56	11 46	11 44	11 54
15	12	09	12	14 12	09 12	00 11	56	12 00	12 06	12 05	11 55	11 46	11 45	11 55
16	12	10	12	14 12	09 12	00 11	56	12 00	12 06	12 04	11 55	11 46	11 45	11 55
17	12	10	12	14 12	09 12	00 11	56	12 01	12 06	12 04	11 55	11 46	11 45	11 56
18	12	10	12	14 12	08 12	01 11	56	12 01	12 06	12 04	11 54	11 45	11 45	11 56
19	12	11	12	14 12	08 12	01 11	56	12 01	12 06	12 04	11 54	11 45	11 45	11 57
20	12	11	12	14 12	08 11	59 11	56	12 01	12 06	12 03	11 54	11 45	11 46	11 57
21	12	11	12	14 12	07 11	59 11	56	12 01	12 06	12 03	11 53	11 45	11 46	11 58
22	12	12	12	14 12	07 11	59 11	56	12 02	12 06	12 03	11 53	11 45	11 46	11 58
23	12	12	12	14 12	07 11	58 11	57	12 02	12 06	12 03	11 53	11 44	11 46	11 59
24	12	12	12	13 12	07 11	58 11	57	12 02	12 06	12 02	11 52	11 44	11 47	11 59
25	12	12	12	13 12	06 11	58 11	57	12 02	12 06	12 02	11 52	11 44	11 47	12 00
26	12	13	12	13 12	06 11	58 11	57	12 03	12 06	12 02	11 52	11 44	11 47	12 00
27	12	13	12	13 12	06 11	58 11	57	12 03	12 06	12 02	11 51	11 44	11 48	12 01
28	12	13	12	13 12	05 11	57 11	57	12 03	12 06	12 01	11 51	11 44	11 48	12 01
29	12	13	—	12	05 11	57 11	57	12 03	12 06	12 01	11 51	11 44	11 48	12 02
30	12	13	—	12	05 11	57 11	57	12 03	12 06	12 01	11 50	11 44	11 49	12 02
31	12	14	—	12	04	11 57	—	12 06	12 00	—	11 47	—	12 03	31

Максимальная упругость водяного пара (в мб) над водой
при температуре выше 0°

Таблица 2
Таблица 3

Максимальная упругость водяного пара (мб) при температуре ниже 0°

Единицы градусов

Номер градуса	Десятичные доли градусов									
	0	1	2	3	4	5	6	7	8	9
0	6,1	6,2	6,2	6,2	6,3	6,3	6,4	6,4	6,4	6,5
1	6,6	6,6	6,7	6,7	6,8	6,8	6,9	6,9	6,9	6,5
2	7,0	7,1	7,2	7,2	7,3	7,3	7,4	7,4	7,5	7,5
3	7,6	7,6	7,7	7,7	7,8	7,8	7,9	8,0	8,0	8,1
4	8,1	8,2	8,3	8,4	8,4	8,5	8,5	8,6	8,7	—40
5	8,7	8,8	8,9	9,0	9,0	9,1	9,2	9,3	9,4	—30
6	9,4	9,4	9,5	9,6	9,7	9,7	9,8	9,9	10,0	—20
7	10,0	10,1	10,2	10,3	10,4	10,4	10,5	10,6	10,6	—10
8	10,7	10,8	10,9	11,0	11,1	11,2	11,3	11,4	12,1	0
9	11,5	11,6	11,7	11,8	11,9	12,0	12,0	12,1	12,2	6,11
10	12,3	12,4	12,5	12,6	12,7	12,8	12,9	13,0	13,0	5,63
11	13,1	13,2	13,3	13,4	13,5	13,6	13,7	13,8	13,8	13,9
12	14,0	14,1	14,2	14,3	14,4	14,5	14,6	14,7	14,8	14,9
13	15,0	15,1	15,2	15,3	15,4	15,5	15,6	15,7	15,8	15,9
14	16,0	16,1	16,2	16,3	16,4	16,5	16,6	16,7	16,8	17,0
15	17,1	17,2	17,3	17,4	17,5	17,6	17,7	17,8	18,0	18,1
16	18,2	18,3	18,4	18,5	18,7	18,8	18,9	19,0	19,1	19,3
17	19,4	19,5	19,6	19,8	20,0	20,1	20,3	20,4	20,5	20,5
18	20,6	20,8	20,9	21,0	21,2	21,3	21,4	21,6	21,7	21,8
19	22,0	22,1	22,3	22,4	22,5	22,7	22,8	23,0	23,1	23,2
20	23,4	23,5	23,7	23,8	24,0	24,1	24,3	24,4	24,6	24,7
21	24,9	25,0	25,2	25,4	25,5	25,7	25,8	26,0	26,1	26,3
22	26,5	26,6	26,8	26,9	27,1	27,3	27,4	27,6	27,8	27,9
23	28,1	28,3	28,5	28,6	28,8	29,0	29,2	29,3	29,5	29,7
24	29,9	30,0	30,2	30,4	30,6	30,8	31,0	31,1	31,3	31,5
25	31,7	31,9	32,1	32,3	32,5	32,7	32,9	33,0	33,2	33,4
26	33,6	33,8	34,0	34,2	34,4	34,6	34,9	35,1	35,3	35,5
27	35,7	35,9	36,1	36,3	36,5	36,8	37,0	37,2	37,4	37,6
28	37,8	38,1	38,3	38,5	38,7	39,0	39,2	39,4	39,6	39,9
29	40,1	40,3	40,6	40,8	41,0	41,3	41,5	41,8	42,0	42,2
30	42,5	42,7	43,0	43,2	43,5	43,7	44,0	44,2	44,5	44,7
31	45,0	45,2	45,5	45,8	46,0	46,3	46,5	46,8	47,1	47,3
32	47,6	47,9	48,1	48,4	48,7	49,0	49,2	49,5	49,8	50,1
33	50,4	50,6	50,9	51,2	51,5	51,8	52,1	52,4	53,0	53,0
34	53,3	53,6	53,8	54,2	54,5	54,8	55,1	55,4	55,7	56,0
35	56,3	56,6	56,9	57,2	57,5	57,9	58,2	58,5	58,8	59,2
36	59,5	59,8	60,1	60,5	61,1	61,5	62,2	62,5	62,8	63,1
37	62,8	63,2	63,5	63,9	64,2	64,6	64,9	65,3	65,6	66,0
38	66,7	67,0	67,4	67,8	68,2	68,5	68,9	69,3	69,6	70,0
39	70,4	71,1	71,5	72,3	73,1	73,5	74,1	74,8	75,3	76,0

Сотни и доли мб	Над переохлажденной полой									
	0	1	2	3	4	5	6	7	8	9
710	532,5	533,3	534,0	534,8	535,5	536,3	537,0	537,8	538,5	539,3
720	540,0	540,8	541,5	542,3	543,0	543,8	544,5	545,3	546,0	546,8
730	547,5	548,3	549,0	549,8	550,5	551,3	552,0	552,8	553,5	554,3
740	555,0	555,8	556,5	557,3	558,0	558,8	559,5	560,3	561,0	561,8
750	562,5	563,3	564,8	565,5	566,3	567,0	567,8	568,5	569,3	569,9
760	570,0	570,8	571,5	572,3	573,0	573,8	574,5	575,3	576,0	577,0
770	577,5	578,3	579,0	579,8	580,5	581,3	582,0	582,8	583,5	584,3
780	585,0	585,8	586,6	587,3	588,0	588,8	589,5	590,3	591,0	591,8
790	592,5	593,3	594,0	594,8	595,5	596,3	597,0	597,8	598,5	599,3
800	600,0	600,8	601,6	602,3	603,1	603,8	604,6	605,3	606,1	606,8
810	607,5	608,3	609,0	609,8	610,5	611,3	612,0	612,8	613,5	614,3
820	615,0	615,8	616,5	617,3	618,0	618,8	619,5	620,3	621,0	621,8
830	622,5	623,3	624,0	624,8	625,6	626,3	627,1	627,8	628,6	629,4
840	630,1	630,8	631,6	632,3	633,1	633,8	634,6	635,3	636,1	636,8
850	637,6	638,3	639,1	639,8	640,6	641,3	642,1	642,8	643,6	644,3
860	645,1	645,8	646,6	647,3	648,1	648,8	649,6	650,3	651,1	651,8
870	652,6	653,3	654,1	654,8	655,6	656,3	657,1	657,8	658,6	659,4
880	660,1	660,8	661,8	662,3	663,8	664,6	665,3	666,1	666,8	667,6
890	667,6	668,3	669,1	669,8	670,6	671,3	672,1	672,8	673,6	674,4
900	675,1	675,8	676,6	677,3	678,1	678,8	679,6	680,3	681,1	681,8
910	682,6	683,3	684,1	684,8	685,6	686,3	687,1	687,8	688,6	689,3
920	690,1	690,8	691,6	692,3	693,1	693,8	694,6	695,3	696,1	696,8
930	697,6	698,3	699,1	699,8	700,6	701,3	702,1	702,8	703,6	704,3
940	705,1	705,8	706,6	707,3	708,1	708,8	709,6	710,3	711,1	711,8
950	712,6	713,3	714,1	714,8	715,6	716,3	717,1	717,8	718,6	719,3
960	720,1	720,8	721,6	722,3	723,1	723,8	724,6	725,3	726,1	726,8
970	727,6	728,3	729,1	729,8	730,6	731,3	732,1	732,8	733,6	734,3
980	735,1	735,8	736,6	737,3	738,1	738,8	739,6	740,3	741,1	741,8
990	742,6	743,3	744,1	744,8	745,6	746,3	747,1	747,8	748,6	749,3
1000	750,1	750,8	751,6	752,3	753,1	753,8	754,6	755,3	756,1	756,8
1010	757,6	758,3	759,1	759,8	760,6	761,3	762,1	762,8	763,6	764,3
1020	765,1	765,8	766,6	767,3	768,1	768,8	769,6	770,3	771,1	771,8
1030	772,6	773,3	774,1	774,8	775,6	776,3	777,1	777,8	778,6	779,3
1040	780,1	780,8	781,6	782,3	783,1	783,8	784,6	785,3	786,1	786,8
1050	787,6	788,3	789,1	789,8	790,6	791,3	792,1	792,8	793,6	794,3

Перевод миллибаров в миллиметры ртутного столба	Единицы мб									
	0	1	2	3	4	5	6	7	8	9
—40	0,19	0,46	0,42	0,38	0,34	0,31	0,28	0,25	0,23	0,21
—30	0,51	1,05	0,96	0,88	0,80	0,73	0,67	0,61	0,56	0,51
—20	1,25	2,44	2,25	2,07	1,91	1,76	1,61	1,48	1,36	1,21
—10	2,86	5,05	8,77	1,71	0,64	0,52	0,47	0,43	0,39	0,34
0	5,68	5,27	4,90	4,54	4,21	3,90	3,61	3,32	3,03	2,86

Перевод миллиметров отрицательного столба в миллиметры

Первый столб в таблице

10

Сотни ситкы пртнто столба	0	1	2	3	4	5	6	7	8	9
520	693,3	694,6	695,9	697,3	698,6	699,9	701,3	702,6	703,9	705,3
530	706,6	707,8	709,3	710,6	711,9	713,3	714,6	715,9	717,3	718,6
540	719,9	721,3	722,6	723,9	725,3	726,6	727,9	729,3	730,6	731,9
550	733,3	734,6	735,9	737,3	738,6	739,9	741,3	742,6	743,9	745,3
560	746,6	747,9	749,3	750,6	751,9	753,3	754,9	757,3	758,6	760,9
570	759,9	761,3	762,6	763,9	765,3	766,6	767,9	769,3	770,6	771,9
580	773,3	774,6	775,9	777,3	778,6	779,9	781,3	782,6	783,9	785,3
590	786,6	787,9	789,3	790,6	791,9	793,3	794,6	795,9	797,3	798,6
600	799,9	810,3	802,6	803,9	805,3	806,6	807,9	809,3	810,6	811,9
610	813,3	814,6	815,9	817,3	818,6	819,9	821,3	822,6	823,9	825,3
620	826,6	827,9	829,3	830,6	831,9	833,3	834,6	835,9	837,2	838,6
630	839,9	841,2	842,6	843,9	845,2	846,6	847,9	849,2	850,6	851,9
640	853,2	854,6	855,9	857,2	858,6	859,9	861,2	862,6	863,9	865,3
650	866,6	867,9	869,2	870,6	871,9	873,2	875,6	877,2	878,6	879,9
660	879,9	881,2	882,6	883,9	885,2	886,6	887,9	889,2	890,6	891,9
670	893,2	894,6	895,9	897,2	898,6	899,9	901,2	902,6	903,9	905,2

Приведение показаний барометра к нормальной (стотисячной) части шкалы места) (в мб)

Приведение показаний барометра к 0°

Показания барометра (в мб)

卷之三

Темпера- тура	Темпера- тура																
	900	910	920	930	940	950	960	970	980	990	1000	1010	1020	1030	1040	1050	1060
10,0	1,5	1,5	1,5	1,5	1,5	1,6	1,6	1,6	1,6	1,6	1,6	1,7	1,7	1,7	1,7	1,7	10,0
11,0	1,6	1,6	1,6	1,7	1,7	1,7	1,7	1,7	1,8	1,8	1,8	1,8	1,8	1,9	1,9	1,9	11,0
12,0	1,8	1,8	1,8	1,8	1,9	1,9	1,9	1,9	1,9	1,9	1,9	2,0	2,0	2,0	2,0	2,1	12,0
13,0	1,9	1,9	2,0	2,0	2,0	2,0	2,0	2,1	2,1	2,1	2,1	2,2	2,2	2,2	2,2	2,3	13,0
14,0	2,0	2,1	2,1	2,1	2,2	2,2	2,2	2,2	2,3	2,3	2,3	2,4	2,4	2,4	2,4	2,4	14,0

Таблица 8

Поправки на высоту над уровнем моря (в мб)

Высота	Показания барометра (в мб)										Культура	Начало опрессажания и цветение		Годы, бывшие при заморозке (п. °)
	860	880	900	920	940	960	980	1000	1020	1040		метод	цветение	
100					0,02	0,02	0,02	0,02	0,02	0,02				-8, -10
200					0,04	0,04	0,04	0,04	0,04	0,04				-3, -4
300					0,05	0,05	0,06	0,06	0,06	0,06				-8, -10
400	0,07	0,07	0,07	0,07	0,07	0,07	0,08	0,08	0,08	0,08				-3, -4
500	0,08	0,08	0,09	0,09	0,09	0,09	0,09	0,09	0,10	0,10				-3, -4
600					0,11	0,11	0,11	0,12	0,12	0,12				-3, -4
700	0,12	0,12	0,13	0,13	0,13	0,13	0,13	0,13	0,14	0,14				-3, -4
800	0,13	0,14	0,14	0,14	0,15	0,15	0,15	0,15	0,16	0,16				-3, -4
900	0,15	0,16	0,16	0,16	0,17	0,17	0,17	0,17	0,17	0,17				-3, -4
1000	0,17	0,17	0,18	0,18	0,18	0,19	0,19	0,20	0,20	0,21				-3, -4
1100	0,19	0,19	0,20	0,20	0,20	0,20	0,20	0,20	0,20	0,21				-3, -4
1200	0,20	0,21	0,21	0,22	0,22	0,22	0,22	0,22	0,22	0,23				-3, -4
1300	0,22	0,22	0,23	0,23	0,23	0,23	0,23	0,23	0,23	0,24				-3, -4
1400	0,24	0,24	0,25	0,25	0,25	0,25	0,25	0,25	0,25	0,26				-3, -4
1500	0,25	0,26	0,26	0,26	0,27	0,27	0,27	0,27	0,27	0,28				-3, -4
1600	0,27	0,28	0,28	0,28	0,29	0,29	0,29	0,29	0,29	0,30				-3, -4
1700	0,29	0,30	0,30	0,30	0,30	0,30	0,30	0,30	0,30	0,31				-3, -4
1800	0,31	0,31	0,31	0,31	0,31	0,31	0,31	0,31	0,31	0,32				-3, -4
1900	0,32	0,32	0,32	0,32	0,32	0,32	0,32	0,32	0,32	0,33				-3, -4
2000	0,34	0,34	0,34	0,34	0,34	0,34	0,34	0,34	0,34	0,34				-3, -4

Критические минимальные температуры для основных сельскохозяйственных культур (по В. Н. Степанову)

Культура	Начало повреждения и частичная гибель (в °)		Гибель большинства растений (в °)		Таблица 9
	всходы	цветение (молодчина спелость)	всходы	цветение (молодчина спелость)	
Яровая пшеница	-9, -10	-1, -2	-2, -4	-10, -12	-2
Овес	-8, -9	-1, -2	-2, -4	-9, -11	-2
Чечевица	-7, -8	-1, -2	-2, -4	-8, -10	-2
Горох	-7, -8	-2, -3	-4, -9	-10, -13	-4
Чина	-7, -8	-3, -4	-8, -10	-13, -14	-4
Сераделла	-7, -8	-3, -2	-4, -8	-10, -13	-4
Рыжик яровой	-8, -10	-3, -4	-10, -12	-13, -14	-4
Кориандер	-8, -10	-2, -3	-3, -4	-10, -12	-4
Анис	-8, -10	-3, -4	-10, -12	-13, -14	-4
Мак	-7, -8	-2, -3	-2, -3	-10, -12	-3

Наиболее устойчивые к заморозкам

Культура	Показания барометра (в мб)										Культура	Начало опрессаживания и цветение		Годы, бывшие при заморозке (п. °)
	860	880	900	920	940	960	980	1000	1020	1040		метод	цветение	
Лютий многостебельный	-6, -7	-8	-3	-3	-3	-3	-3	-3	-3	-3				-8, -10
Вика яровая	-6, -7	-3	-3	-3	-3	-3	-3	-3	-3	-3				-8, -10
Нут	-6, -7	-2	-3	-2	-3	-2	-3	-2	-3	-2				-3, -4
Лютин узколистный	-5, -6	-2	-3	-3	-2	-3	-2	-3	-2	-3				-3, -4
Бобы	-5, -6	-2	-3	-2	-3	-2	-3	-2	-3	-2				-3, -4
Подсолнечник	-5, -6	-3	-2	-3	-2	-3	-2	-3	-2	-3				-3, -4
Сафлор	-6, -7	-2	-3	-2	-3	-2	-3	-2	-3	-2				-3, -4
Горчица белая	-6, -7	-2	-3	-2	-3	-2	-3	-2	-3	-2				-3, -4
Лимонемания	-7, -8	-2	-3	-2	-3	-2	-3	-2	-3	-2				-3, -4
Фенхель	-7, -8	-2	-3	-2	-3	-2	-3	-2	-3	-2				-3, -4
Лен	-5, -7	-1	-2	-2	-4	-2	-4	-2	-4	-2				-2, -4
Конопля	-5, -7	-1	-2	-2	-4	-2	-4	-2	-4	-2				-2, -4
Свекла сахарная	-6, -7	-2	-3	-2	-4	-2	-4	-2	-4	-2				-2, -4
Морковь	-6, -7	-2	-3	-2	-4	-2	-4	-2	-4	-2				-2, -4
Брюква	-6, -7	-2	-3	-2	-4	-2	-4	-2	-4	-2				-2, -4
Турнепс	-6, -7	-2	-3	-2	-4	-2	-4	-2	-4	-2				-2, -4

Малоустойчивые к заморозкам

Культура	Начало повреждения и частичная гибель (в °)		Гибель большинства растений (в °)		Таблица 9
	всходы	цветение	всходы	цветение	
Кукуруза	-2, -3	-1, -2	-2, -3	-3	-2
Пря	-2, -3	-1, -2	-2, -3	-3	-2
Суданская трава	-2, -3	-1, -2	-2, -3	-3	-2
Сорго	-2, -3	-1, -2	-2, -3	-3	-2
Перила	-2, -3	-1, -2	-2, -3	-3	-2
Картофель	-2, -3	-1, -2	-2, -3	-3	-2
Махорка	-2, -3	-1, -2	-2, -3	-3	-2

Наиболее устойчивые к заморозкам

Культура	Показания барометра (в мб)										Культура	Начало опрессаживания и цветение		Годы, бывшие при заморозке (п. °)
	860	880	900	920	940	960	980	1000	1020	1040		метод	цветение	
Грециха	-1, -2	-1	-2	-1, -2	-1	-2	-1, -2	-1, -2	-1	-2				-2
Фасоль	-1, -2	-1	-2	-1, -2	-1	-2	-1, -2	-1, -2	-1	-2				-2
Клевец вина	-1, -2	-1	-2	-1, -2	-1	-2	-1, -2	-1, -2	-1	-2				-2
Хлопчатник	-0,5, -1	-0,5, -1	-0,5, -1	-0,5, -1	-0,5, -1	-0,5, -1	-0,5, -1	-0,5, -1	-0,5, -1	-0,5, -1				-1, -2
Бахчевые	-0,5, -1	-0,5, -1	-0,5, -1	-0,5, -1	-0,5, -1	-0,5, -1	-0,5, -1	-0,5, -1	-0,5, -1	-0,5, -1				-1, -2
Рис	-0,5, -1	-0,5, -1	-0,5, -1	-0,5, -1	-0,5, -1	-0,5, -1	-0,5, -1	-0,5, -1	-0,5, -1	-0,5, -1				-1, -2
Кунжут	-0,5, -1	-0,5, -1	-0,5, -1	-0,5, -1	-0,5, -1	-0,5, -1	-0,5, -1	-0,5, -1	-0,5, -1	-0,5, -1				-1, -2
Кенаф	-0,5, -1	-0,5, -1	-0,5, -1	-0,5, -1	-0,5, -1	-0,5, -1	-0,5, -1	-0,5, -1	-0,5, -1	-0,5, -1				-1, -2
Арахис	-0,5, -1	-0,5, -1	-0,5, -1	-0,5, -1	-0,5, -1	-0,5, -1	-0,5, -1	-0,5, -1	-0,5, -1	-0,5, -1				-1, -2

ЛИТЕРАТУРА

СОЛГЕРЖАНИЕ

1. Агроклиматические справочники (областные). Гидрометеоиздат, М., 1958.
2. Атлас «Сельское хозяйство СССР». Главное управление геодезии и картографии Министерства геологии и охраны недр СССР. М., 1960.
3. Виткович В. И. Практические занятия по сельскохозяйственной метеорологии. «Колос», М., 1962.
4. Виткович В. И. Основы сельскохозяйственной метеорологии. «Колос», М., 1964.
5. Гольберг И. А. Микроклимат и его значение в сельском хозяйстве. Гидрометеоиздат, Л., 1957.
6. Гольцберг И. А. Агроклиматическая характеристика заморозков в СССР и методы борьбы с ними. Гидрометеоиздат, Л., 1961.
7. Жарков С. М. Народные приметы и предсказание погоды. Гидрометеоиздат, Л., 1954.
8. Костин С. И. Основы метеорологии и климатологии. Гидрометеоиздат, Л., 1958.
9. Каталог районированных сортов сельскохозяйственных культур. М., 1965.
10. Кероливанский В. Н. и Стернзат М. С. Метеорологические приборы. Л., 1953.
11. Кирilloв В. В. Международная система единиц измерений (СИ) в метеорологии. Гидрометеоиздат, Л., 1965.
12. Кричак О. Г. Синоптическая метеорология. Гидрометеоиздат, Л., 1956.
13. Лекции по сельскохозяйственной метеорологии. Пол. редакции М. С. Кулика и В. В. Синельщикова. Гидрометеоиздат, Л., 1966.
14. Максимов С. А. Погода и сельское хозяйство. Гидрометеоиздат, Л., 1963.
15. Изменения и дополнения к наставлению гидрометеорологическим станциям и постам, вып. 3, ч. 1 и 3. Гидрометеоиздат, М., 1965.
16. Наставления гидрометеорологическим станциям и постам, вып. 3, ч. 1. Гидрометеоиздат, Л., 1954.
17. Наставления гидрометеорологическим станциям и постам, вып. 2. Агрометеорологические наблюдения на станциях и постах, ч. 1. Гидрометеоиздат, Л., 1957.
18. Наставления гидрометеорологическим станциям и постам, вып. 2. Агрометеорологические наблюдения на станциях и постах, ч. 1. Гидрометеоиздат, Л., 1963.
19. Руднев Г. В. Агрометеорология. Гидрометеоиздат, Л., 1964.
20. Руководство для агрометеорологических постов в колхозах и совхозах. Л., 1962.
21. Руководство по составлению агрометеорологических прогнозов. Гидрометеоиздат, М., 1962.
22. Уланов Е. С. Методы агрометеорологических прогнозов. Гидрометеоиздат, Л., 1959.
23. Хромов С. П., Мамонтова Л. И. Метеорологический словарь. Гидрометеоиздат, Л., 1955.

Введение	3
Глава I. Организация и работа метеорологических станций	
§ 1. Метеорологические станции и посты	3
§ 2. Метеорологическая плошадка	4
§ 3. Сроки и порядок наблюдений	6
§ 4. Понятие о времени	7

Раздел I	—
Метеорологические приборы	
Глава II. Измерение солнечной радиации	10
§ 5. Виды солнечной радиации и единицы измерения	10
§ 6. Методы измерения солнечной радиации	12
§ 7. Приборы для измерения солнечной радиации	14
Глава III. Измерение температуры почвы и воздуха	27
§ 8. Общие сведения из термометрии	27
§ 9. Виды термометров	28
§ 10. Чувствительность термометров	29
§ 11. Измерение температуры почвы поверхности почвы	29
§ 12. Измерение температуры почвы на различных глубинах	32
§ 13. Измерение сведения из термометрии почвы на глубине залегания узла культуры	32
§ 14. Измерение температуры почвы	36
§ 15. Измерение температуры воздуха	39
Глава IV. Измерение влажности воздуха	40
§ 16. Влаги, характеризующие влажность воздуха	45
§ 17. Методы измерения влажности воздуха	47
§ 18. Приборы для измерения влажности воздуха	49
Глава V. Наблюдения над облаками	61
§ 19. Определение количества облаков	62
§ 20. Определение форм облаков	62
Глава VI. Измерение осадков и испарения	70
§ 21. Измерение осадков	70
§ 22. Приборы для измерения осадков	71
§ 23. Измерение испарения	71
Глава VII. Измерение атмосферного давления	83
§ 24. Единицы измерения атмосферного давления	83
§ 25. Изменение атмосферного давления с высотой	84
§ 26. Приборы для измерения атмосферного давления	85
Глава VIII. Измерение направления и скорости ветра	93
§ 27. Элементы ветра и значение его для сельского хозяйства	93
§ 28. Приборы для измерения направления и скорости ветра	94

Раздел II

Предсказание погоды	
Глава IX. Предсказание погоды синоптическим методом	
§ 29. Общие сведения	104
§ 30. Метеорологический код	105
Глава X. Синоптические карты	115
§ 31. Предсказание погоды по местным признакам	119
§ 32. Местные признаки погоды	119
§ 33. Народные приметы о погоде	122

<i>Глава XI.</i> Предсказание заморозков по наблюдениям в одном пункте	123
§ 34. Общие сведения по заморозкам	123
§ 35. Предсказание заморозков по способу Михалевского	125
§ 36. Предсказание заморозков по способу Чудновского	126

Раздел III

Агрометеорологические прогнозы

<i>Глава XII.</i> Прогнозы запасов продуктивной влаги в метровом слое почвы к началу весны	132
§ 37. Общие сведения по влажности почвы	132
§ 38. Прогнозы запасов продуктивной влаги в почве к началу весны	134
<i>Глава XIII.</i> Прогнозы сроков наступления фаз развития сельскохозяйственных культур	138
§ 39. Прогноз сроков цветения плодовых культур	139
§ 40. Прогноз сроков созревания зерновых культур	143
§ 41. Прогнозы сроков наступления фаз выметывания султана и молочной спелости кукурузы	150
<i>Глава XIV.</i> Долгосрочный прогноз урожая зерновых культур	155
§ 42. Долгосрочный прогноз урожая озимой пшеницы	156
§ 43. Долгосрочный прогноз урожая зерна кукурузы	162

Раздел IV

Агроклиматические справочники и их практическое использование

<i>Глава XV.</i> Агроклиматическая характеристика данной местности	168
§ 44. Указания для составления агроклиматической характеристики	169
<i>Глава XVI.</i> Агроклиматические условия текущего года	176
§ 45. Агрометеорологическая характеристика осенне-зимнего периода	177
§ 46. Агрометеорологическая характеристика вегетационного периода	180

Раздел V

Учебная практика

Приложение	191
Литература	198

Павлова Мария Дмитриевна

ПРАКТИКУМ ПО СЕЛЬСКОХОЗЯЙСТВЕННОЙ МЕТЕОРОЛОГИИ. М., «Колос», 1968.
200 с. (Учебники и учеб. пособия для высш. с.-х. учеб. заведений). УДК 63 : 551.5(075.8)

Редактор Ю. Г. Челышкин

Художественный редактор З. П. Зубрилина

Технические редакторы Л. М. Белова и В. И. Просвирина

Корректор А. И. Кудрявцева

Сдано в набор 18/I 1968 г. Подписано к печати 6/VI 1968 г. Т-08643. Формат 60 × 90^{1/16}.
Бумага тип. № 1. Печ. л. 12,5. Уч.-изд. л. 13,35. Изд. № 174. Т. п. 1968 г. № 271.
Тираж 15 000 экз. Заказ № 320. Цена 57 коп.

Издательство «Колос», Москва, К-31, ул. Дзержинского, д. 1/19.

Типография им. Котлякова издательства «Финансы» Комитета по печати
при Совете Министров СССР. Ленинград, Садовая, 21.